

COMMITTENTE / Client





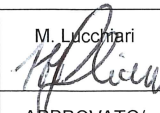
C330AV3P001

VALUTAZIONE PREVISIONALE IMPATTO ACUSTICO



Sersys Ambiente Srl

 Sede legale
 Via Acqui, 86
 10098 Rivoli (TO)
 Tel. +39 011 9513 901

0	PRIMA EMISSIONE / First Issue	09/08/21	C. Di Lucente 	C. Di Lucente 	M. Lucchiarri 
REV./ Rev.	DESCRIZIONE / Description	DATA / Date	ELABORATO / Prepared by	VERIFICATO / Checked by	APPROVATO/ Approved by

INDICE

1	PREMESSA E SCOPO.....	4
2	NORMATIVA DI RIFERIMENTO	5
3	AREA DI STUDIO.....	6
4	DEFINIZIONE PUNTI RICETTORI.....	7
5	CARATTERIZZAZIONE SITUAZIONE ACUSTICA PREESISTENTE	8
6	CARATTERIZZAZIONE ACUSTICA NUOVI INSEDIAMENTI.....	12
6.1	GRUPPI MOTORI/GENERATORI.....	14
6.1.1	Cabinato.....	14
6.1.2	Dissipatori.....	14
6.1.3	Caldaie a recupero	15
6.1.4	Camini espulsione fumi	15
6.2	TORRE DI RAFFREDDAMENTO	16
6.3	GENERATORI DI VAPORE AUSILIARI	16
6.3.1	Caldaie	16
6.3.2	Brucciatori	17
6.3.3	Camini espulsione fumi	17
6.4	SISTEMA DI STOCCAGGIO E TRASPORTO CIPPATO	18
6.4.1	Locale stoccaggio	18
6.4.2	Autoarticolato	18
6.4.3	Pala meccanica.....	19
6.5	CALDAIA A BIOMASSA	19
6.5.1	Griglia di combustione.....	19
6.5.2	Sistema di caricamento cippato	20
6.5.3	Sezione di scambio termico	20
6.5.4	Filtro a maniche.....	21
6.5.5	Ventilatore fumi	21
6.5.6	Camino espulsione fumi	22
6.6	EDIFICIO SERVIZI.....	22
6.6.1	Aperture locale compressori	22
6.6.2	Impianto di condizionamento	23
6.7	IMPIANTI AUSILIARI.....	23
6.7.1	Sistemi di pompaggio	23
6.7.2	Trasformati ausiliari	24
6.8	TRASFORMATORE ELEVATORE	24
7	OPERE DI MITIGAZIONE ACUSTICA	25
8	MODELLO DI CALCOLO UTILIZZATO PER LA VALUTAZIONE PREVISIONALE	26

9	CALCOLO PREVISIONALE	31
10	VALORI LIMITE DI RIFERIMENTO	33
10.1	VALORI LIMITE ASSOLUTI DI EMISSIONE	34
10.2	VALORI LIMITE ASSOLUTI DI IMMISSIONE	34
10.3	VALORI LIMITE DIFFERENZIALI	35
11	CONFRONTO LIVELLI CALCOLATI CON I VALORI LIMITE DI RIFERIMENTO	36
11.1	LIVELLI ASSOLUTI DI EMISSIONE	36
11.2	LIVELLI ASSOLUTI DI IMMISSIONE	36
11.3	LIVELLI DIFFERENZIALI DI IMMISSIONE	37
12	CONCLUSIONI	42

ALLEGATI:

ALLEGATO 1: CARTOGRAFIA GENERALE COMUNE DI CUNEO

ALLEGATO 2: CARTOGRAFIA DI DETTAGLIO AREA DI STUDIO

ALLEGATO 3: RAPPRESENTAZIONE 3D AREA DI STUDIO

ALLEGATI 4÷9: GRAFICI DELLE MISURAZIONI CLIMA PREESISTENTE

ALLEGATI 10-13: DISLOCAZIONE DELLE SORGENTI

ALLEGATI 14-15: MAPPE DEL RUMORE;

ALLEGATI 16-17: DETTAGLIO CALCOLI MODELLO PREVISIONALE

ALLEGATO 18: CERTIFICATI TARATURA STRUMENTI

1 PREMESSA E SCOPO

La presente relazione costituisce lo studio di previsione dell'impatto acustico sulle aree limitrofe derivante dall'installazione di un nuovo **Impianto di Trigenerazione di FENICE S.p.A.** presso lo Stabilimento MICHELIN di Cuneo.

Lo studio si è articolato attraverso le seguenti fasi:

- acquisizione dei dati necessari alla caratterizzazione geomorfologica dell'area di insediamento ed alla dislocazione delle sorgenti di rumore (macchine ed impianti);
- caratterizzazione della situazione acustica preesistente nell'area di studio;
- acquisizione tramite documentazione dei dati di emissione acustica delle sorgenti ai fini della loro caratterizzazione (potenza sonora, direttività, periodo di funzionamento);
- inserimento dei dati acquisiti nel modello di calcolo "SoundPLAN" versione 8.2 e calcolo dei livelli sonori immessi presso punti ricettori definiti;
- verifica della compatibilità di tali livelli con i valori limite previsti dalla legislazione vigente.

La presente relazione di valutazione previsionale di impatto acustico è stata elaborata dal p.i. Christian Di Lucente, iscritto con il n. 4568 nell'Elenco Nazionale dei Tecnici Competenti in Acustica (ENTECA).

2 **NORMATIVA DI RIFERIMENTO**

- LEGGE 26/10/1995 n. 447 *“Legge quadro sull’inquinamento acustico”* e s.m.i.;
- D.P.C.M. 14/11/1997 *“Determinazione dei valori limite delle sorgenti sonore”* e s.m.i.;
- D.M.A. 16/03/1998 *“Tecniche di rilevamento e di misurazione dell’inquinamento acustico”*;
- D.Lgs. 17/02/2017 n. 42 *“Disposizioni in materia di armonizzazione della normativa nazionale in materia di inquinamento acustico, a norma dell’articolo 19, comma 2, lettere a), b), c), d), e), f) e h) della legge 30 ottobre 2014, n. 161”*;
- LEGGE REGIONALE 25 ottobre 2000 *“Disposizioni per la tutela dell’ambiente in materia di inquinamento acustico”*;
- D.G.R. 2 febbraio 2004, n. 9-11616 *“Criteri per la redazione della documentazione di impatto acustico”*;
- UNI ISO 1996-1:2016 *“Acustica - Descrizione, misurazione e valutazione del rumore ambientale - Parte 1: Grandezze fondamentali e metodi di valutazione”*;
- UNI EN ISO 12354-3:2017 *“Acustica in edilizia – Valutazione delle prestazioni acustiche di edifici a partire dalle prestazioni di prodotti – Parte 3: isolamento acustico dal rumore proveniente dall’esterno per via aerea”*;
- ISO 9613-2:2006 *“Acoustics - Attenuation of sound during propagation outdoors General method of calculation”*.

3 AREA DI STUDIO

Il nuovo Impianto in oggetto verrà collocato all'interno dello Stabilimento Industriale MICHELIN di Cuneo, nella parte a Nord Ovest dello stesso.

Le informazioni geomorfologiche necessarie alla caratterizzazione dell'area di studio sono state ricavate dal "DBTR Database Geotopografico 2021" scaricato dal Geoportale della Regione Piemonte in formato shapefile e in seguito elaborato e direttamente importato dal software di modellizzazione acustica.

Gli elementi utilizzati sono stati i seguenti:

- **altimetria:** curve di livello e punti quota; tali elementi sono indispensabili per la realizzazione del Modello Digitale del Terreno (DGM);
- **fabbricati:** edifici, manufatti tecnici ed arredo urbano, tra cui gli edifici industriali limitrofi all'area oggetto dello studio e le abitazioni individuate come punti ricettori;
- **limiti amministrativi:** limiti comunali.

Per la caratterizzazione dell'area di insediamento, oltre ai dati ricavati dalla cartografia, sono state introdotte le seguenti integrazioni:

- aggiornamento topografico di alcune aree interne ed esterne allo Stabilimento, a seguito di modifiche avvenute in periodi successivi alla redazione della cartografia stessa;
- inserimento dei dati relativi alle altezze dei fabbricati e di quant'altro ritenuto influente ai fini della propagazione acustica.

In corrispondenza del confine Nord dello Stabilimento è presente un cavalcavia che in parte si sviluppa di fronte alle abitazioni limitrofe determinando un effetto schermante rispetto l'emissione sonora di alcune parti del nuovo insediamento. Dal momento che tale effetto schermante non è valutabile attraverso il modello di calcolo utilizzato, a titolo cautelativo non è stato considerata la presenza del cavalcavia nell'area di studio.

Le dimensioni dell'area di studio, pari a circa 600 x 500 metri, sono state definite sulla base della presumibile estensione dell'influenza acustica determinata dall'attività degli impianti. La caratterizzazione topografica dell'area in esame è rappresentata nei seguenti allegati:

- Allegato 1: cartografia generale Comune di Cuneo in scala 1:10000;
- Allegato 2: cartografia di dettaglio area di studio in scala 1:2000;
- Allegato 3: rappresentazione 3D area di studio.

4 DEFINIZIONE PUNTI RICETTORI

Per la verifica dell'impatto acustico sono stati identificati n. 3 punti ricettori ritenuti i più rappresentativi delle emissioni acustiche del nuovo impianto; tali punti sono riportati in cartografia di dettaglio dell'allegato 2 e sono i seguenti:

- **R1:** ad un metro dalla facciata dell'edificio abitativo di Via Pollino n. 72, a 4,5 metri dal suolo in corrispondenza del primo e ultimo piano;
- **R2:** ad un metro in facciata dell'edificio abitativo di Strada Statale n. 309, a 4,5 metri di altezza dal suolo in corrispondenza del primo e ultimo piano;
- **R3:** ad un metro dalla facciata dell'edificio abitativo di Via Michelin n. 2, a 5,5 metri di altezza dal suolo in corrispondenza del primo e ultimo piano;

Tali punti ricettori sono stati presi in esame per la verifica del rispetto dei valori limite assoluti di emissione e dei valori limite assoluti e differenziali di immissione.

5 CARATTERIZZAZIONE SITUAZIONE ACUSTICA PREESISTENTE

Il nuovo impianto oggetto dello studio sostituirà l'esistente impianto ENGIE collocato in un'area prossima a quella del nuovo insediamento, riportata in cartografia dell'allegato 2, e che attualmente è in funzione 24 ore al giorno e 7 giorni su 7 tranne che per brevi periodi di spegnimento per attività di manutenzione come il più recente avvenuto il giorno domenica 27/06/2021 dalle ore 07.00 alle ore 21.00. Nella suddetta giornata è stata quindi condotta una campagna di misurazioni fonometriche finalizzata alla caratterizzazione del clima acustico esistente presso i punti ricettori individuati prima dell'installazione del nuovo Impianto di Trigenerazione e senza il contributo acustico dell'impianto esistente in modo da poter quindi definire il cosiddetto "rumore residuo".

Le misurazioni fonometriche sono state effettuate presso le seguenti tre postazioni:

- P1 (44°26'30.56"N – 7°33'59.01"E) Presso ciglio strada, a 9 metri dalla facciata dell'abitazione di Via Pollino 72 (R1);
- P2 (44°26'30.91"N – 7°33'52.05"E) Presso ciglio strada, a 18 metri dalla facciata dell'abitazione di Via Torino sn (R2);
- P3 (44°26'23.75"N– 7°33'46.39"E) Presso ciglio strada, a 20 metri dalla facciata dell'abitazione di Via Michelin n. 2 (R3).

Le misurazioni sono state eseguite dal dott. Lorenzo Pavese, iscritto con il n. 4825 nell'Elenco Nazionale dei Tecnici Competenti in Acustica e dal dott. Filippo Di Santo.

Per l'esecuzione delle misurazioni e della successiva analisi è stata utilizzata la seguente strumentazione:

- Fonometro integratore LARSON DAVIS mod. 831C s/n. 10553 equipaggiato con preamplificatore microfónico LARSON DAVIS mod. PRM831 s/n. 058400 e capsula microfónica PCB mod. 377B02 s/n 307597, certificati conformemente alla normativa vigente dal Centro di Taratura Eurofins Product Testing Italy S.r.l. (LAT n. 062) con documento n. EPT.21.FON.002 del 11/01/2021 (in allegato 18);
- Software di elaborazione *Samurai* versione 2.0.7;
- Software di elaborazione *Noise & Vibration Works* versione 2.10.2.

Prima e dopo i periodi dei rilievi, la catena di misurazione è stata controllata mediante il calibratore LARSON DAVIS mod. CAL200 s/n. 15418 con livello sonoro di riferimento certificato conformemente alla normativa vigente dal Centro di Taratura Eurofins Product Testing Italy S.r.l. (LAT n. 062) con documento n. EPT.20.CAL.042 del 06/02/2020 (in allegato 18), riscontrando uno scostamento inferiore a 0.5 dB(A).

In tutti i punti di misurazione il microfono di rilevamento è stato posizionato all'altezza di 4,0 metri di altezza dal piano campagna.

Durante l'esecuzione di tutti i rilievi le condizioni meteorologiche sono state caratterizzate da assenza di precipitazioni atmosferiche, nebbia e da velocità del vento inferiore a 5 m/s.

Nel dettaglio i tempi di osservazione T_o sono stati i seguenti:

- dalle ore 18.00 alle ore 21.00 del 27/06/2021 per il tempo di riferimento diurno;
- dalle ore 22.00 alle ore 24.00 del 27/06/2021 per il tempo di riferimento notturno.

Il tempo di misura T_M è stato compreso tra 20 e 30 minuti per tutti i punti di misurazione in quanto i livelli di rumore ambientale $L_{Aeq, TM}$ riscontrati in tali intervalli di tempo sono da considerarsi sufficientemente rappresentativi dei livelli del rumore ambientale dei relativi tempi di riferimento $L_{Aeq, TR}$.

Per ciascuno dei punti e tempi di misurazione sono stati ricavati e riportati negli allegati 4÷9:

- il valore del livello sonoro equivalente $L_{Aeq, TM}$;
- il valore del livello statistico $L_{AS90, TM}$ che rappresenta il livello sonoro superato per il 90% del tempo di misurazione e risulta utile a definire il valore minimo della rumorosità, come indicato all'art. 2 della Delibera della Giunta Regionale del 2 Febbraio 2004 n. 9-11616;
- la registrazione grafica dell'andamento temporale del livello di pressione sonora globale con ponderazione "A" e costante di tempo "fast" (L_{AF}) e del livello $L_{Aeq, TM}$ con l'indicazione di eventi anomali mascherati;
- lo spettrogramma che mette in relazione i livelli istantanei di pressione sonora alle frequenze centri banda di terzi di ottava, comprese tra 20 Hz e 20 kHz, con il tempo;
- l'analisi spettrale dei livelli minimi di pressione sonora nelle singole bande di frequenza di terzi di ottava comprese tra i 20 Hz e 20kHz, per l'intero periodo di misurazione.

Dall'esame dei dati con il software di elaborazione dedicato non si è evidenziata la presenza di componenti tonali mentre sono state individuate componenti impulsive dovute all'infrastruttura stradale e alle attività antropiche dei residenti e pertanto non sono stati applicati i fattori correttivi previsti al punto 15 dell'allegato A del D.M. 16/3/1998.

I valori di rumore ambientale $L_{Aeq, TM}$ misurati sono stati riportati nelle tabelle 1 e 2 arrotondando a 0,5 i valori dei livelli sonori misurati, come indicato al punto 3 dell'allegato B del D.M. 16/03/1998, insieme ai corrispettivi livelli $L_{AS90, TM}$.

Tabella 1: Livelli di rumore misurati – Tempo di riferimento Diurno

Postazione di misura	Giorno	Ora	Livello di pressione sonora - dB(A)	
			$L_{Aeq, TM}$	$L_{AS90, TM}$
P1	27/06/2021	18:12÷18:47	58,5	46,6
P2	27/06/2021	18:51÷19:21	69,5	50,7
P3	27/06/2021	19:33÷20:03	59,0	49,7

Tabella 2: Livelli di rumore misurati – Tempo di riferimento Notturno

Postazione di misura	Giorno	Ora	Livello di pressione sonora - dB(A)	
			$L_{Aeq, TM}$	$L_{AS90, TM}$
P1	27/06/2021	22:07÷22:30	52,5	49,2
P2	27/06/2021	22:38÷23:00	64,0	45,6
P3	27/06/2021	23:13÷23:33	55,0	40,2

Le misurazioni effettuate presso le 3 postazioni, durante il periodo di inattività dell'impianto esistente, hanno permesso di definire il clima acustico preesistente (rumore residuo) presso i corrispettivi punti ricettori nel tempo di riferimento diurno.

Durante il tempo di riferimento notturno invece l'impianto era in funzione e il suo contributo acustico è risultato importante presso le postazioni P1 e P2, mentre presso la postazione P3 è risultato trascurabile ed ininfluenza. La postazione P3, infatti, è collocata a notevole distanza dall'impianto e risulta acusticamente schermata dai Fabbricati dello Stabilimento Michelin. Dal momento che le 3 postazioni di misura, al netto del contributo dell'impianto esistente, possono essere ritenute acusticamente analoghe, la misurazione effettuata presso la postazione P3 nel tempo di riferimento notturno può essere pertanto utilizzata come rumore residuo per le postazioni P1 e P2 secondo il criterio del punto analogo.

Sulla base di quanto sopra riportato, per le successive valutazioni relative ai valori limite assoluti e differenziali di immissione, verranno utilizzati i valori riportati in tabella 3.

Tabella 3: Livelli di rumore preesistente

Ricettore	Livello di pressione sonora - dB(A)			
	Tempo di riferimento diurno		Tempo di riferimento notturno	
	L _{Aeq,TM}	L _{AS90,TM}	L _{Aeq,TM}	L _{AS90,TM}
R1	58,5	46,6	55,0	40,2
R2	69,5	50,7	55,0	40,2
R3	59,0	49,7	55,0	40,2

6 CARATTERIZZAZIONE ACUSTICA NUOVI INSEDIAMENTI

Il nuovo Impianto di Trigenerazione verrà realizzato nella parte Nord Ovest dello Stabilimento e precisamente nelle seguenti due aree indicate sulle cartografie in allegato 1 e 2:

- **Area A1:** area attualmente libera compresa tra il parcheggio dipendenti l'angolo Nord Ovest dello Stabilimento e il Fabbricato 23 dove verranno installati due motori a gas con relativi generatori sincroni, due generatori di vapore a recupero termico, una caldaia a biomassa, tre caldaie ausiliarie e tutti i necessari sistemi e apparecchiature a supporto necessari.
- **Area A2:** area compresa tra il Fabbricato 6 e l'impianto esistente dove installati un gruppo frigo ad assorbimento (collocato all'interno del Fabbricato 6) è la relativa torre di raffreddamento all'esterno.

Nell'area A1 saranno inoltre realizzati un edificio servizi, alcuni serbatoi e una struttura per lo stoccaggio e il trasporto del cippato.

Le sorgenti del nuovo impianto di trigenerazione ritenute più significative nei riguardi dell'emissione sonora verso i ricettori precedentemente identificati, sono le seguenti:

- Gruppi Motori/Generatori:
 - Cabinato;
 - Dissipatori;
 - Caldaie a recupero;
 - Camini Espulsione fumi;
- Torre di raffreddamento;
- Generatori di vapore ausiliari:
 - Caldaie;
 - Bruciatori;
 - Camini espulsione fumi;
- Sistema di stoccaggio e trasporto cippato;
 - Locale stoccaggio;
 - Autoarticolato
 - Pala meccanica
- Caldaia a biomassa:
 - Griglia di combustione;
 - Sistema di caricamento cippato;
 - Sezione di scambio termico;
 - Filtro a maniche;
 - Ventilatore fumi;

- Camino di espulsione fumi
- Edificio Servizi;
 - Aperture locale compressori;
 - Impianto di condizionamento;
- Impianti ausiliari;
 - Sistemi di pompaggio;
 - Trasformatori ausiliari
- Trasformatore elevatore.

I livelli di emissione acustica relativi alle singole sorgenti, espressi in termini di livello di potenza sonora L_w , sia in valore globale ponderato A sia nelle singole bande di ottava comprese tra 63 Hz e 8 kHz, sono stati desunti dalla bibliografia tecnica di settore e saranno imposti nel capitolato di fornitura.

Tutte le sorgenti esaminate sono state considerate attive contemporaneamente e per l'intera durata del tempo di riferimento diurno e notturno ad eccezione delle seguenti due sorgenti:

- Autoarticolato: attivo n. 2 ore nel solo tempo di riferimento diurno;
- Pala Meccanica: attiva n. 5 ore nel solo tempo di riferimento diurno.

Sugli allegati 10, 11 e 12 sono riportate le dislocazioni delle sorgenti di seguito descritte e sull'allegato 13 è riportata la rappresentazione 3D dell'impianto nel suo complesso relativamente all'area A1.

6.1 Gruppi Motori/Generatori

6.1.1 Cabinato

Il cabinato, identificato con la sigla **CM**, contiene n. 2 motori a gas con i relativi generatori sincroni. Sorge alla quota di +0,00 m dal suolo ed il suo ingombro complessivo è pari a 36,5x 17,5 H 11,5 m. I livelli di potenza sonora di emissione di tipo superficiale delle pareti del Cabinato motori sono riportati in tabella 4 e la sua dislocazione è riportata sulla planimetria in allegato 10.

Tabella 4: Livelli di potenza sonora Cabinato

Sigla sorgente	Descrizione sorgente	Superficie (m ²)	Livello di potenza sonora L _w dB per bande di frequenza (Hz)								
			63	125	250	500	1k	2k	4k	8k	A
CM-N	Parete Nord	417,5	71,7	87,7	79,7	79,7	78,7	78,7	79,7	78,7	86,2
CM-S	Parete Sud	417,5	71,7	87,7	79,7	79,7	78,7	78,7	79,7	78,7	86,2
CM-E	Parete Est	198,9	68,5	84,5	76,5	76,5	75,5	75,5	76,5	75,5	83,0
CM-O	Parete Ovest	198,9	68,5	84,5	76,5	76,5	75,5	75,5	76,5	75,5	83,0
CM-T	Tetto	628,1	73,5	89,5	81,5	81,5	80,5	80,5	81,5	80,5	88,0

6.1.2 Dissipatori

In copertura del cabinato motori, alla quota di + 11,50 dal suolo, sono installati n. 4 dissipatori a servizio del cogeneratore ciascuno con ingombro complessivo pari a 12,0 x 2,4 H 2,70 m. Sono identificati con le sigle **D1÷D4** ed i livelli di potenza sonora di emissione di tipo superficiale delle loro pareti sono riportati in tabella 5. La loro dislocazione è riportata sulla planimetria in allegato 10.

Tabella 5: Livelli di potenza sonora Dissipatori

Sigla sorgente	Descrizione sorgente	Superficie (m ²)	Livello di potenza sonora L _w dB per bande di frequenza (Hz)								
			63	125	250	500	1k	2k	4k	8k	A
D1÷4-N	Parete Nord	32,4	89,2	88,2	84,2	81,2	78,2	71,2	62,2	52,2	83,1
D1÷4-S	Parete Sud	32,4	89,2	88,2	84,2	81,2	78,2	71,2	62,2	52,2	83,1
D1÷4-E	Parete Est	6,5	82,2	81,2	77,2	74,2	71,2	64,2	55,2	45,2	76,1
D1÷4-O	Parete Ovest	6,5	82,2	81,2	77,2	74,2	71,2	64,2	55,2	45,2	76,1
D1÷4-T	Tetto	28,8	88,7	87,7	83,7	80,7	77,7	70,7	61,7	51,7	82,6

6.1.3 Caldaie a recupero

A lato del cabinato, alla quota di + 0,00 m dal suolo, sono installate n. 2 caldaie a recupero ciascuna con ingombro complessivo pari a 7,5 x 3,5 H 5,60 m. Sono identificate con le sigle **CR1** e **CR2** ed i livelli di potenza sonora di emissione di tipo superficiale delle loro pareti sono riportati in tabella 6. La loro dislocazione è riportata sulla planimetria in allegato 10.

Tabella 6: Livelli di potenza sonora Caldaie a recupero

Sigla sorgente	Descrizione sorgente	Superficie (m ²)	Livello di potenza sonora L _w dB per bande di frequenza (Hz)								
			63	125	250	500	1k	2k	4k	8k	A
CR1-N CR2-N	Parete Nord	42,0	84,2	83,2	82,2	82,2	79,2	69,2	66,2	59,2	83,2
CR1-S CR2-S	Parete Sud	42,0	84,2	83,2	82,2	82,2	79,2	69,2	66,2	59,2	83,2
CR1-S CR2-S	Parete Est	19,6	80,9	79,9	78,9	78,9	75,9	65,9	62,9	55,9	79,9
CR1-S CR2-S	Parete Ovest	19,6	80,9	79,9	78,9	78,9	75,9	65,9	62,9	55,9	79,9
CR1-S CR2-S	Tetto	26,3	82,2	81,2	80,2	80,2	77,2	67,2	64,2	57,2	81,2

6.1.4 Camini espulsione fumi

In copertura del cabinato sorgono 2 camini con la bocca di espulsione fumi con diametro pari a 1,3 m e collocata alla quota di + 25,00 m dal suolo. Tali bocche sono identificate con le sigle **C1** e **C2** ed i livelli di potenza sonora di emissione di tipo superficiale con direttività verso l'alto delle bocche sono riportati in tabella 7. La loro dislocazione è riportata sulla planimetria in allegato 10.

Tabella 7: Livelli di potenza sonora bocche espulsione fumi

Sigla sorgente	Descrizione sorgente	Superficie (m ²)	Livello di potenza sonora L _w dB per bande di frequenza (Hz)								
			63	125	250	500	1k	2k	4k	8k	A
C1-C2	Bocca espulsione fumi	1,4	88,5	86,5	84,5	79,5	76,5	79,5	80,5	78,5	86,5

6.2 Torre di raffreddamento

In prossimità del Fabbricato 6 sorge la torre di raffreddamento a servizio dell'assorbitore che è invece installato all'interno dello stesso fabbricato. La torre è collocata alla quota di + 0,00 m dal suolo ed ha un ingombro complessivo pari a 11,0 x 8,0 H 4,00 m. È identificata con la sigla **TO** ed i livelli di potenza sonora di emissione di tipo superficiale delle sue pareti sono riportati in tabella 8. La sua dislocazione è riportata sulla planimetria in allegato 11.

Tabella 8: Livelli di potenza sonora Torre di raffreddamento

Sigla sorgente	Descrizione sorgente	Superficie (m ²)	Livello di potenza sonora L _w dB per bande di frequenza (Hz)								
			63	125	250	500	1k	2k	4k	8k	A
TO-N	Parete Nord	43,6	89,9	88,9	79,9	78,9	78,9	74,9	81,9	77,9	86,4
TO-S	Parete Sud	43,6	89,9	88,9	79,9	78,9	78,9	74,9	81,9	77,9	86,4
TO-E	Parete Est	32,0	88,6	87,6	78,6	77,6	77,6	73,6	80,6	76,6	85,1
TO-O	Parete Ovest	32,0	88,6	87,6	78,6	77,6	77,6	73,6	80,6	76,6	85,1
TO-T	Tetto	87,2	92,9	91,9	82,9	81,9	81,9	77,9	84,9	80,9	89,4

6.3 Generatori di vapore ausiliari

6.3.1 Caldaie

Le caldaie dei generatori di vapore sono installate alla quota di + 0,00 dal suolo e hanno ciascuna un ingombro complessivo pari a 9,0 x 5,4 H 5,40 m. Sono identificate con le sigle **CV1÷CV3** ed i livelli di potenza sonora di emissione di tipo superficiale delle pareti sono riportati in tabella 9. La loro dislocazione è riportata sulla planimetria in allegato 10.

Tabella 9: Livelli di potenza sonora Caldaie generatori a vapore

Sigla sorgente	Descrizione sorgente	Superficie (m ²)	Livello di potenza sonora L _w dB per bande di frequenza (Hz)								
			63	125	250	500	1k	2k	4k	8k	A
CV1÷3-N	Parete Nord	48,6	88,2	87,3	88,2	80,6	78,1	70,4	64,0	63,0	83,9
CV1÷3-S	Parete Sud	48,6	88,2	87,3	88,2	80,6	78,1	70,4	64,0	63,0	83,9
CV1÷3-E	Parete Est	29,1	86,0	85,1	85,9	78,4	75,8	68,2	61,8	60,8	81,6
CV1÷3-O	Parete Ovest	29,1	86,0	85,1	85,9	78,4	75,8	68,2	61,8	60,8	81,6
CV1÷3-T	Tetto	48,5	88,2	87,3	88,2	80,6	78,1	70,4	64,0	63,0	83,9

6.3.2 Bruciatori

Alla quota di +1,50 m dal suolo sono installati i bruciatori a servizio dei relativi Generatori di vapore. Hanno ciascuno un ingombro complessivo pari a 3,0 x 2,0 H 1,20 m e sono identificati con le sigle **BV1÷BV3**. I livelli di potenza sonora di emissione di tipo superficiale delle pareti dei bruciatori sono riportati in tabella 10 e la loro dislocazione è riportata sulla planimetria in allegato 10.

Tabella 10: Livelli di potenza sonora Bruciatori

Sigla sorgente	Descrizione sorgente	Superficie (m ²)	Livello di potenza sonora L _w dB per bande di frequenza (Hz)								
			63	125	250	500	1k	2k	4k	8k	A
BV1÷3-N	Parete Nord	3,6	79,9	79	79,9	72,3	69,8	62,1	55,7	54,7	75,6
BV1÷3-S	Parete Sud	3,6	79,9	79	79,9	72,3	69,8	62,1	55,7	54,7	75,6
BV1÷3-E	Parete Est	2,4	78,2	77,3	78,1	70,5	68,0	60,4	54,0	53,0	73,8
BV1÷3-O	Parete Ovest	2,4	78,2	77,3	78,1	70,5	68,0	60,4	54,0	53,0	73,8
BV1÷3-T	Tetto	6,0	82,1	81,2	82,1	74,5	72,0	64,4	58,0	56,9	77,8

6.3.3 Camini espulsione fumi

A lato delle caldaie sorgono i rispettivi camini con la bocca di espulsione con diametro pari a 1,25 m e collocata alla quota di + 25,00 m dal suolo. Tali bocche sono identificate con le sigle **C3÷C5** ed i livelli di potenza sonora di emissione di tipo superficiale con direttività verso l'alto delle bocche sono riportati in tabella 11. La loro dislocazione è riportata sulla planimetria in allegato 10.

Tabella 11: Livelli di potenza sonora Bocche espulsione fumi generatori di vapore

Sigla sorgente	Descrizione sorgente	Superficie (m ²)	Livello di potenza sonora L _w dB per bande di frequenza (Hz)								
			63	125	250	500	1k	2k	4k	8k	A
C3÷C5	Bocca espulsione fumi	1,2	72,2	71,3	72,1	64,6	62,0	54,4	48,0	47,0	67,8

6.4 Sistema di stoccaggio e trasporto cippato

6.4.1 Locale stoccaggio

Nella zona più a Nord è previsto un edificio opportunamente insonorizzato destinato allo stoccaggio e al successivo trasporto del cippato verso la caldaia a biomassa. L'edificio ha un ingombro complessivo pari 22,0 x 18,0 H 8,20 m con due aperture sul lato Nord per permettere il carico del cippato. Le suddette aperture sono identificate con le sigle **A1** e **A2** e hanno ciascuna una superficie pari a 27,5 m². I relativi livelli di potenza sonora di emissione di tipo superficiale sono riportati in tabella 12 e la loro dislocazione è riportata sulla planimetria in allegato 12.

Tabella 12: Livelli di potenza sonora Aperture Locale Stoccaggio

Sigla sorgente	Descrizione sorgente	Superficie (m ²)	Livello di potenza sonora L _w dB per bande di frequenza (Hz)								
			63	125	250	500	1k	2k	4k	8k	A
A1 A2	Aperture	27,5	73,3	69,3	80,3	77,3	71,3	73,3	64,3	55,3	79,4

6.4.2 Autoarticolato

Per l'approvvigionamento del cippato sono previsti n. 3 autoarticolati al giorno che effettuano manovre in corrispondenza delle aperture del locale stoccaggio per un tempo complessivo stimato in 2 ore all'interno del solo tempo di riferimento diurno. La suddetta sorgente sonora, identificata con la sigla **AU**, è stata posizionata alla quota di + 1,5 m dal suolo e i relativi livelli di potenza sonora di emissione di tipo puntiforme sono riportati in tabella 13, mentre la sua dislocazione è riportata sulla planimetria in allegato 10.

Tabella 13: Livelli di potenza sonora Autoarticolato

Sigla sorgente	Descrizione sorgente	Superficie (m ²)	Livello di potenza sonora L _w dB per bande di frequenza (Hz)								
			63	125	250	500	1k	2k	4k	8k	A
AU	Autoarticolato	-	104,9	105,6	103,0	96,9	98,0	96,0	89,9	83,9	102,8

6.4.3 Pala meccanica

Per lo scarico degli autoarticolati e per la movimentazione del cippato è previsto l'utilizzo di una pala meccanica nel solo tempo di riferimento diurno per una durata complessiva stimata in n.5 ore. La suddetta sorgente sonora, identificata con la sigla **PM** è stata posizionata alla quota di + 1,5 m dal suolo. I relativi livelli di potenza sonora di emissione di tipo puntiforme sono riportati in tabella 14 e la sua dislocazione è riportata sulla planimetria in allegato 10.

Tabella 14: Livelli di potenza sonora Pala meccanica

Sigla sorgente	Descrizione sorgente	Superficie (m ²)	Livello di potenza sonora L _w dB per bande di frequenza (Hz)								
			63	125	250	500	1k	2k	4k	8k	A
PM	Pala meccanica	-	106,7	106	104,2	102,6	101,6	99	94,3	87,0	106,2

6.5 Caldaia a biomassa

6.5.1 Griglia di combustione

La griglia di combustione è collocata alla quota di + 0,00 dal suolo ed ha un ingombro complessivo pari a 15,20 x 4,0 H 2,50 m. È identificata con la sigla **GC** ed i livelli di potenza sonora di emissione di tipo superficiale delle sue pareti sono riportati in tabella 15. La sua dislocazione è riportata sulla planimetria in allegato 10.

Tabella 15: Livelli di potenza sonora Griglia di combustione

Sigla sorgente	Descrizione sorgente	Superficie (m ²)	Livello di potenza sonora L _w dB per bande di frequenza (Hz)								
			63	125	250	500	1k	2k	4k	8k	A
GC-N	Parete Nord	38,0	75,2	74,3	75,1	67,5	65,0	57,4	51,0	50,0	70,8
GC -S	Parete Sud	38,0	75,2	74,3	75,1	67,5	65,0	57,4	51,0	50,0	70,8
GC -E	Parete Est	10,0	69,3	68,5	69,3	61,7	59,2	51,6	45,2	44,2	65
GC -O	Parete Ovest	10,0	69,3	68,5	69,3	61,7	59,2	51,6	45,2	44,2	65
GC -T	Tetto	60,7	77,2	76,3	77,1	69,6	67,0	59,4	53,0	52,0	72,8

6.5.2 Sistema di caricamento cippato

Per il caricamento della griglia di combustione è previsto un sistema di trasporto costituito da nastri trasportatori con sviluppo in verticale. La suddetta sorgente, identificata con la sigla **SC** è stata simulata come una struttura di ingombro complessivo pari a 2,20 x 2,0 H 11,00 m posizionata in copertura della griglia di combustione alla quota di + 2,50 m dal suolo. I livelli di potenza sonora di emissione di tipo superficiale delle pareti del sistema di trasporto cippato sono riportati in tabella 16 e la sua dislocazione è riportata sulla planimetria in allegato 10.

Tabella 16: Livelli di potenza sonora sistema caricamento cippato

Sigla sorgente	Descrizione sorgente	Superficie (m ²)	Livello di potenza sonora L _w dB per bande di frequenza (Hz)								
			63	125	250	500	1k	2k	4k	8k	A
SC-N	Parete Nord	24,0	62,8	58,8	69,8	66,8	60,8	62,8	53,8	44,8	68,8
SC-S	Parete Sud	24,0	62,8	58,8	69,8	66,8	60,8	62,8	53,8	44,8	68,8
SC-E	Parete Est	22,1	62,4	58,4	69,4	66,4	60,4	62,4	53,4	44,4	68,4
SC-O	Parete Ovest	22,1	62,4	58,4	69,4	66,4	60,4	62,4	53,4	44,4	68,4
SC-T	Tetto	4,4	55,4	51,4	62,4	59,4	53,4	55,4	46,4	37,4	61,4

6.5.3 Sezione di scambio termico

In copertura della Griglia di combustione alla quota di + 2,50 dal suolo è prevista la sezione di scambio termico con ingombro complessivo pari a 2,80 x 5,60 H 13,00 m. I livelli di potenza sonora di emissione di tipo superficiale delle pareti della sezione, identificata con la sigla **SS**, sono riportati in tabella 17 e la sua dislocazione è riportata sulla planimetria in allegato 10.

Tabella 17: Livelli di potenza sonora Sezione di scambio termico

Sigla sorgente	Descrizione sorgente	Superficie (m ²)	Livello di potenza sonora L _w dB per bande di frequenza (Hz)								
			63	125	250	500	1k	2k	4k	8k	A
SS-N	Parete Nord	36,8	71,7	70,7	69,7	69,7	66,7	56,7	53,7	46,7	70,7
SS-S	Parete Sud	36,8	71,7	70,7	69,7	69,7	66,7	56,7	53,7	46,7	70,7
SS-E	Parete Est	72,6	74,6	73,6	72,6	72,6	69,6	59,6	56,6	49,6	73,6
SS-O	Parete Ovest	72,6	74,6	73,6	72,6	72,6	69,6	59,6	56,6	49,6	73,6
SS-T	Tetto	15,9	68,0	67,0	66,0	66,0	63,0	53,0	50,0	43,0	67,0

6.5.4 Filtro a maniche

Per il trattamento dei fumi di combustione è previsto un impianto di filtraggio a maniche collocato alla quota di + 1,50 m dal suolo e con ingombro complessivo pari a 8,40 x 2,40 H 2,00 m. I livelli di potenza sonora di emissione di tipo superficiale delle pareti dell'Impianto di filtraggio a maniche, identificato con la sigla **FM**, sono riportati in tabella 18 e la sua dislocazione è riportata sulla planimetria in allegato 10.

Tabella 18: Livelli di potenza sonora Filtro a Maniche

Sigla sorgente	Descrizione sorgente	Superficie (m ²)	Livello di potenza sonora L _w dB per bande di frequenza (Hz)								
			63	125	250	500	1k	2k	4k	8k	A
FM-N	Parete Nord	16,9	67,9	69,9	70,9	69,9	68,9	61,9	55,9	47,9	72,3
FM-S	Parete Sud	16,9	67,9	69,9	70,9	69,9	68,9	61,9	55,9	47,9	72,3
FM-E	Parete Est	4,7	62,3	64,3	65,3	64,3	63,3	56,3	50,3	42,3	66,7
FM-O	Parete Ovest	4,7	62,3	64,3	65,3	64,3	63,3	56,3	50,3	42,3	66,7
FM-T	Tetto	19,9	68,6	70,6	71,6	70,6	69,6	62,6	56,6	48,6	73,0

6.5.5 Ventilatore fumi

Per il convogliamento dei fumi di combustione al camino di espulsione è previsto un ventilatore collocato alla quota di +1,50 m dal suolo. I livelli di potenza sonora di emissione di tipo puntiforme del suddetto ventilatore, identificato con la sigla **VF**, sono riportati in tabella 19 e la sua dislocazione è riportata sulla planimetria in allegato 10.

Tabella 19: Livelli di potenza sonora Ventilatore fumi

Sigla sorgente	Descrizione sorgente	Superficie (m ²)	Livello di potenza sonora L _w dB per bande di frequenza (Hz)								
			63	125	250	500	1k	2k	4k	8k	A
VF	Ventilatore fumi	-	66,6	68,6	69,6	68,6	67,6	60,6	54,6	46,6	71,0

6.5.6 Camino espulsione fumi

Il camino dell'impianto a biomassa ha la bocca di espulsione fumi con diametro pari a 0,82 m collocata alla quota di +25,00 m. I livelli di potenza sonora di emissione di tipo superficiale con direttività verso l'alto della suddetta bocca, identificata con la sigla **C6**, sono riportati in tabella 16 e la sua dislocazione è riportata sulla planimetria in allegato 10.

Tabella 20: Livelli di potenza sonora bocche espulsione fumi biomassa

Sigla sorgente	Descrizione sorgente	Superficie (m ²)	Livello di potenza sonora L _w dB per bande di frequenza (Hz)								
			63	125	250	500	1k	2k	4k	8k	A
C6	Bocca espulsione fumi	0,5	80,7	79,9	80,7	73,1	70,6	63,0	56,6	55,6	76,4

6.6 Edificio servizi

L'Edificio servizi sorge a Nord del Cabinato Motori e ha un ingombro complessivo pari a 15,20 x 4,0 H 2,50 m.

6.6.1 Aperture locale compressori

Per garantire l'areazione del locale compressori, sul lato Ovest dell'Edificio Servizi, sono previste n. 2 aperture grigliate ciascuna di sezione pari a 3,0 m² collocate con la base alla quota di + 0,00. I livelli di potenza sonora di emissione di tipo superficiale delle suddette aperture, identificate con le sigle **AC-1** e **AC-2**, sono riportati in tabella 21 e la loro dislocazione è riportata sulla planimetria in allegato 12.

Tabella 21: Livelli di potenza sonora Aperture locale compressori

Sigla sorgente	Descrizione sorgente	Superficie (m ²)	Livello di potenza sonora L _w dB per bande di frequenza (Hz)								
			63	125	250	500	1k	2k	4k	8k	A
AC1 AC2	Aperture	3,0	85,9	84,9	80,9	77,9	74,9	67,9	58,9	48,9	79,8

6.6.2 Impianto di condizionamento

In copertura dell'Edificio Servizi, alla quota di +7,00 m dal suolo, sono previsti due impianti di condizionamento e ventilazione aria ciascuno con ingombro complessivo pari a 2,00 x 2,00 H 1,00 m. I livelli di potenza sonora di emissione di tipo superficiale delle pareti dei suddetti impianti, identificati con le sigle **IC1** e **IC2**, sono riportati in tabella 22 e la loro dislocazione è riportata sulla planimetria in allegato 10.

Tabella 22: Livelli di potenza sonora Impianti di condizionamento

Sigla sorgente	Descrizione sorgente	Superficie (m ²)	Livello di potenza sonora L _w dB per bande di frequenza (Hz)								
			63	125	250	500	1k	2k	4k	8k	A
IC1-N IC2-N	Parete Nord	2,0	74,1	73,1	69,1	66,1	63,1	56,1	47,1	37,1	68,0
IC1-S IC2-S	Parete Sud	2,0	74,1	73,1	69,1	66,1	63,1	56,1	47,1	37,1	68,0
IC1-E IC2-E	Parete Est	2,0	74,1	73,1	69,1	66,1	63,1	56,1	47,1	37,1	68,0
IC1-O IC2-O	Parete Ovest	2,0	74,1	73,1	69,1	66,1	63,1	56,1	47,1	37,1	68,0
IC1-T IC2-T	Tetto	4,0	77,1	76,1	72,1	69,1	66,1	59,1	50,1	40,1	71,0

6.7 Impianti ausiliari

6.7.1 Sistemi di pompaggio

Per garantire la movimentazione dei vari fluidi sono installate n. 18 pompe, identificate con le sigle **P01÷P18**, che sono considerate sorgenti puntiformi collocate alla quota di + 0,50 m dal suolo. I livelli di potenza sonora di emissione delle suddette pompe, sono riportati in tabella 23 e la loro dislocazione è riportata sugli allegati 10 e 11.

Tabella 23: Livelli di potenza sonora Pompe

Sigla sorgente	Descrizione sorgente	Superficie (m ²)	Livello di potenza sonora L _w dB per bande di frequenza (Hz)								
			63	125	250	500	1k	2k	4k	8k	A
P1÷P18	Pompe	-	83,0	79,0	90,0	87,0	81,0	83,0	74,0	65,0	89,0

6.7.2 Trasformati ausiliari

Sul lato Ovest dell'Edificio Servizi alla quota di + 0,00 dal suolo sono installati n. 2 Trasformatori Ausiliari ciascuno ingombro con complessivo pari a 3,10 x 2,10 H 2,30 m. I livelli di potenza sonora di emissione di tipo superficiale delle pareti dei suddetti trasformatori, identificati con le sigle **T1** e **T2**, sono riportati in tabella 24 e la loro dislocazione è riportata sulla planimetria in allegato 10.

Tabella 24: Livelli di potenza sonora pareti Trasformatori Ausiliari

Sigla sorgente	Descrizione sorgente	Superficie (m ²)	Livello di potenza sonora L _w dB per bande di frequenza (Hz)								
			63	125	250	500	1k	2k	4k	8k	A
T1-N T2-N	Parete Nord	7,1	84,6	83,6	79,6	76,6	73,6	66,6	57,6	47,6	78,5
T1-S T2-S	Parete Sud	7,1	84,6	83,6	79,6	76,6	73,6	66,6	57,6	47,6	78,5
T1-E T2-E	Parete Est	4,8	83,0	82,0	78,0	75,0	72,0	65,0	56,0	46,0	76,8
T1-O T2-O	Parete Ovest	4,8	83,0	82,0	78,0	75,0	72,0	65,0	56,0	46,0	76,8
T1-T T2-T	Tetto	6,5	84,3	83,3	79,3	76,3	73,3	66,3	57,3	47,3	78,1

6.8 Trasformatore Elevatore

A sud del Cabinato motori, alla quota di + 0,00 dal suolo, sorge il Trasformatore Elevatore con ingombro complessivo pari a 00 x 2,00 H 1,00 m. I livelli di potenza sonora di emissione di tipo superficiale delle pareti del suddetto trasformatore elevatore, identificati con la sigla **TE**, sono riportati in tabella 25 e la sua dislocazione è riportata sulla planimetria in allegato 10.

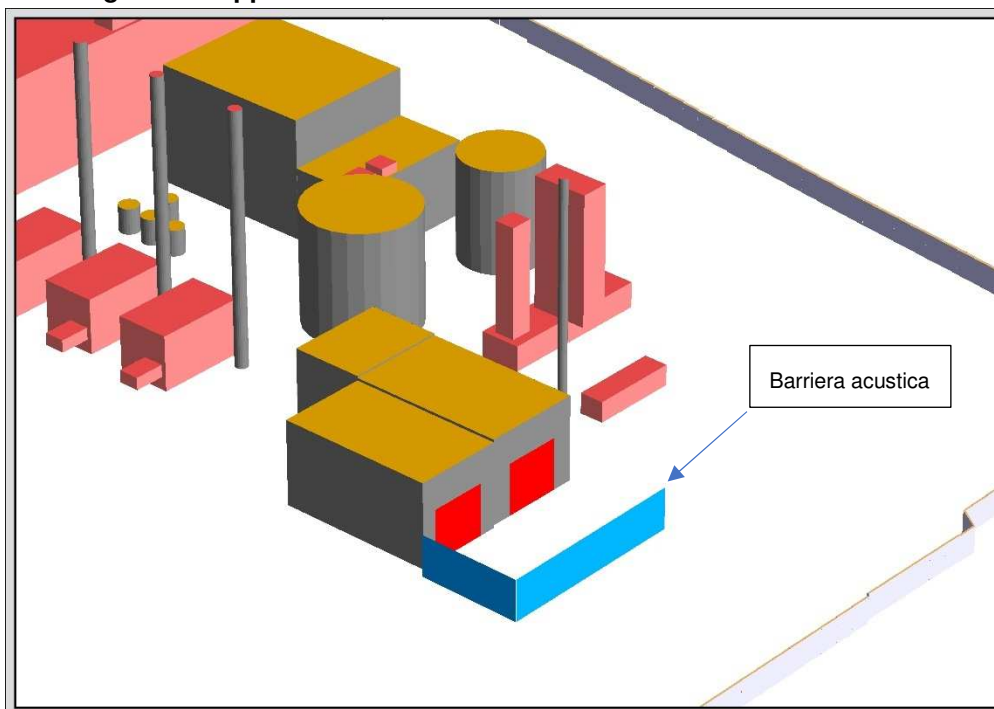
Tabella 25: Livelli di potenza sonora Pareti Trasformatore Elevatore

Sigla sorgente	Descrizione sorgente	Superficie (m ²)	Livello di potenza sonora L _w dB per bande di frequenza (Hz)								
			63	125	250	500	1k	2k	4k	8k	A
TE-N	Parete Nord	20,0	89,1	88,1	84,1	81,1	78,1	71,1	62,1	52,1	83,0
TE-S	Parete Sud	20,0	89,1	88,1	84,1	81,1	78,1	71,1	62,1	52,1	83,0
TE-E	Parete Est	10,0	86,1	85,1	81,1	78,1	75,1	68,1	59,1	49,1	80,0
TE-O	Parete Ovest	10,0	86,1	85,1	81,1	78,1	75,1	68,1	59,1	49,1	80,0
TE-T	Tetto	32,0	91,2	90,2	86,2	83,2	80,2	73,2	64,2	54,2	85,1

7 OPERE DI MITIGAZIONE ACUSTICA

Al fine di contenere l'immissione acustica derivante dalle attività di movimentazione cippato effettuate dalla pala meccanica, è prevista l'installazione di una barriera fonoisolante e fonoassorbente ridosso della zona a Nord del locale stoccaggio. La barriera prevista ha una lunghezza totale pari a 30 m e un'altezza complessiva pari a 4 m.

Figura 2: Rappresentazione Barriera fonoisolante e fonoassorbente



La dislocazione esatta della suddetta barriera è riportata sulla cartografia di dettaglio in allegato 2 e sulla rappresentazione 3D in allegato 3.

8 MODELLO DI CALCOLO UTILIZZATO PER LA VALUTAZIONE PREVISIONALE

Il modello di calcolo previsionale utilizzato è il software SoundPLAN versione 8.2, concepito per la modellazione acustica in ambito industriale sia in ambiente interno sia in ambiente esterno. Sviluppato da Braunstein & Berndt GmbH il codice di calcolo tiene conto di diversi fattori tra cui le tipologie delle sorgenti, le forme degli edifici, la topografia locale, gli schermi acustici, la tipologia del terreno, i parametri meteorologici.

SoundPLAN è costituito da diversi moduli tra cui quello di base permette di importare/inserire e gestire dati geografici e dati acustici e precisamente:

Dati geografici:

- caratterizzazione orografica dell'ambiente oggetto di studio ovvero introduzione della morfologia del terreno tramite opportune curve di isolivello e creazione del DGM - Digital Ground Model (Modello digitale del terreno) indispensabile per le fasi successive;
- definizione delle caratteristiche di assorbimento acustico del terreno in funzione della tipologia (terra, erba, asfalto, ecc.);
- localizzazione e dimensionamento dei principali ostacoli alla propagazione acustica (edifici, barriere naturali, ecc.) con relativa caratterizzazione dei parametri di riflessione/assorbimento acustico;

Dati acustici:

- inserimento delle sorgenti sonore attraverso la definizione del loro livello di potenza, dello spettro in frequenza, dell'eventuale direttività e delle caratteristiche temporali di funzionamento; le sorgenti sono state classificate di tipo puntiforme o areale sulla base delle loro caratteristiche geometriche e di emissione acustica;
- definizione dei punti ricettori in corrispondenza dei quali si vuole eseguire il calcolo del livello di pressione sonora risultante.

Per il calcolo della propagazione acustica SoundPLAN utilizza algoritmi proposti da diverse norme internazionali, tra cui la norma ISO 9613-2 (2006) "*Acoustics - Attenuation of sound during propagation outdoors - Part 2: General method of calculation*" per gli impianti industriali.

L'equazione di base proposta dalla norma ISO 9613-2 è la seguente:

$$L_p = L_w + DI - A \quad [1]$$

dove:

L_p = livello di pressione sonora calcolato in un punto ricettore per ogni frequenza

L_w = livello di potenza sonora di una sorgente

DI = correzione per l'eventuale direttività della sorgente sonora

A = attenuazione subita dal livello di pressione sonora nel percorso tra la sorgente ed il punto ricettore data dalla somma:

$$A = A_{div} + A_{atm} + A_{gr} + A_{bar} + A_{mic} \quad [2]$$

dove:

A_{div} = attenuazione dovuta alla divergenza geometrica;

A_{atm} = attenuazione causata dall'assorbimento atmosferico;

A_{gr} = attenuazione dovuta all'assorbimento del terreno;

A_{bar} = attenuazione prodotta dalla presenza di barriere;

A_{mic} = attenuazione causata da un insieme di altri effetti (vegetazione, presenza di elementi schermanti di varia natura e forma).

Essendo tale equazione valida solo per sorgenti di tipo puntiforme, SoundPLAN in presenza di altre tipologie di sorgenti di tipo lineare o superficiali riconduce queste ultime ad una o più sorgenti puntiformi equivalenti.

Di seguito vengono meglio definiti i parametri di attenuazione.

A_{div} - Divergenza geometrica

L'attenuazione dovuta alla divergenza geometrica dipende dalla forma d'onda sonora in funzione della distanza tra sorgente e ricevitore ed è descritta dalla seguente formula:

$$A_{div} = [20 \cdot \log(d/d_0) + 11] \quad [3]$$

dove:

d = distanza tra sorgente e ricevitore

d₀ = distanza di riferimento pari a 1 metro.

A_{atm} - Assorbimento atmosferico

L'attenuazione dovuta all'assorbimento atmosferico dipende dalla frequenza dell'onda sonora, dalla distanza tra sorgente sonora e ricevitore, dalla temperatura e dall'umidità relativa è data dalla seguente equazione:

$$A_{atm} = \alpha \cdot d / 1000 \quad [4]$$

dove:

d = distanza tra sorgente e ricevitore

α = coefficiente di attenuazione atmosferico

Nella presente modellazione sono stati utilizzati i seguenti coefficienti relativi alla temperatura di 10°C e all'umidità relativa del 70%:

Tabella 26: Coefficienti di attenuazione atmosferica

Frequenza (Hz)	63	125	250	500	1k	2k	4k	8k
α	0,1	0,4	1,0	1,9	3,7	9,7	32,8	117

A_{gr} - Attenuazione del terreno

L'assorbimento del terreno è dato dalla relazione:

$$A_{gr} = A_s + A_r + A_m \quad [5]$$

dove:

A_s = attenuazione in prossimità della sorgente

A_r = attenuazione in prossimità del ricevitore

A_m = attenuazione tra sorgente e ricevitore.

Nel caso specifico nel codice di calcolo SoundPLAN sono stati introdotti due tipologie principali di attenuazione del terreno e precisamente:

G = 0 per le aree con suolo in asfalto o similari

G = 1 per le aree con prato o similari.

Abar – Attenuazione per presenza di barriere/ostacoli

L'assorbimento per la presenza di ostacoli tra sorgente e ricevitore è legata alla differenza di percorso δ tra raggio diretto e raggio diffratto e dalla lunghezza d'onda λ :

$$\mathbf{Abar = (10 \cdot \log(3 + (40/\lambda) \cdot C_3 \cdot z \cdot K_{met})) - Agr} \quad \mathbf{[6]}$$

dove:

λ = lunghezza d'onda

C_3 = coefficiente che tiene conto del tipo di diffrazione (singola o multipla)

z = differenza di percorso δ tra raggio diretto e raggio diffratto

K_{met} = fattore che tiene conto delle condizioni metereologiche

Agr = Attenuazione del terreno.

Amic - Attenuazione per presenza di altri effetti

L'attenuazione suddetta nel caso specifico non è stata considerata per l'assenza di imponente vegetazione e di significative successioni di edifici tra sorgente e ricevitori.

Non sono stati presi in considerazione gli effetti sulla propagazione determinati dalle condizioni anemologiche in quanto le basse velocità medie dei venti e la loro provenienza prevalente non determina effetti significativi sulla propagazione acustica rispetto ai ricettori presi in esame.

Riflessioni/assorbimento

Il software SoundPLAN tiene inoltre conto della componente **Re**, cioè la componente dell'onda sonora riflessa dagli ostacoli di varia tipologia (abitazioni, edifici industriali e muri di contenimento) permettendo l'inserimento degli indici di perdita di riflessione:

Tabella 27: Indici di perdita di riflessione ostacoli

Elementi		Indice di perdita di riflessione
Facciate	Facciata liscia	1
	Facciata irregolare e/o con balconi	2
Barriere acustiche	Superficie riflettente	1
	Superficie assorbente	4
	Superficie molto assorbente	8

Per ogni coppia sorgente-ricettore l'algoritmo di calcolo "Ray-Tracing" genera dei raggi che si propagano nell'ambiente circostante subendo effetti di attenuazione, diffrazione e riflessione sopra citati.

Il risultato finale in un determinato punto ricettore è quindi dato dalla somma dei contributi di tutti i raggi sonori provenienti da ciascuna delle sorgenti introdotte nel modello e precisamente:

$$L_s = 10 \log \left\{ \sum_{i=1}^n \left[\sum_{j=1}^8 10^{0.1 [L_{fr}(ij) + A_f(j)]} \right] \right\} \quad [7]$$

dove :

L_s = Livello di pressione sonora totale

L_{fr} = livello di pressione sonora relativo alla singola sorgente

n = numero di sorgenti

j = indice relativo al valore di frequenza di centro banda di ottava

A_f = indice di pesatura A.

SoundPLAN permette di effettuare diverse tipologie di calcolo restituendo i risultati sia in forma tabellare sia grafica.

Nel nostro caso specifico sono state utilizzate le seguenti tipologie di calcolo/report:

- **Livello sonoro puntuale:** in ogni punto ricettore specificando il contributo singolo di ciascuna sorgente;
- **Mappa del rumore sul piano orizzontale:** che consente di calcolare su una determinata griglia di punti ad una altezza costante dal suolo il livello sonoro con le relative curve/aree isolivello.

Ovviamente il grado di precisione di un modello di calcolo previsionale è subordinato al dettaglio ed alla precisione dei dati di input inseriti.

Nel caso specifico non è stato possibile procedere con la calibrazione del modello per confronto con misurazioni dal momento che lo studio contempla sorgenti non ancora installate e non è stato tecnicamente possibile disporre di altre sorgenti ben definite.

Sulla base di precedenti analoghe simulazioni si può ragionevolmente ritenere che il margine di errore sia contenuto entro ± 1.5 dB(A).

9 CALCOLO PREVISIONALE

Sulla base dei dati relativi alle caratteristiche dell'area, descritta al paragrafo 3, e delle caratteristiche di emissione delle sorgenti, descritte al paragrafo 6, tramite il modello previsionale sono stati calcolati i livelli sonori stimati presso i punti ricettori individuati al paragrafo 4 con due distinte simulazioni e precisamente:

- **ASS**: simulazione che calcola i livelli sonori specifici riferiti all'intero tempo di riferimento e che verrà presa in esame per la verifica del rispetto dei valori limite assoluti;
- **DIFF**: simulazione che calcola i livelli sonori specifici riferiti al momento di massimo disturbo riscontrabile all'interno del tempo di riferimento (corrispondente al momento in cui tutte le sorgenti sonore sono attive contemporaneamente) e che verrà esaminata per la verifica del rispetto dei valori limite differenziali.

I risultati dei calcoli previsionali in termini di livelli sonori specifici L_s riscontrabili presso i ricettori identificati sono stati riassunti nella tabella 17.

Tabella 28: Livelli sonori specifici calcolati

Punto ricettore	Quota (m)	Rumore specifico L_s - dB(A)			
		Tempo di riferimento diurno		Tempo di riferimento notturno	
		ASS	DIFF	ASS	DIFF
R1	4,5	50,9	55,5	45,0	45,0
R2	4,5	45,8	48,7	43,5	43,5
R3	5,5	38,6	38,9	38,5	38,5

Nell'allegato 19 sono stati rappresentati graficamente, mediante curve isolivello sul piano orizzontale all'altezza di 4 metri dal suolo, i relativi livelli L_s .

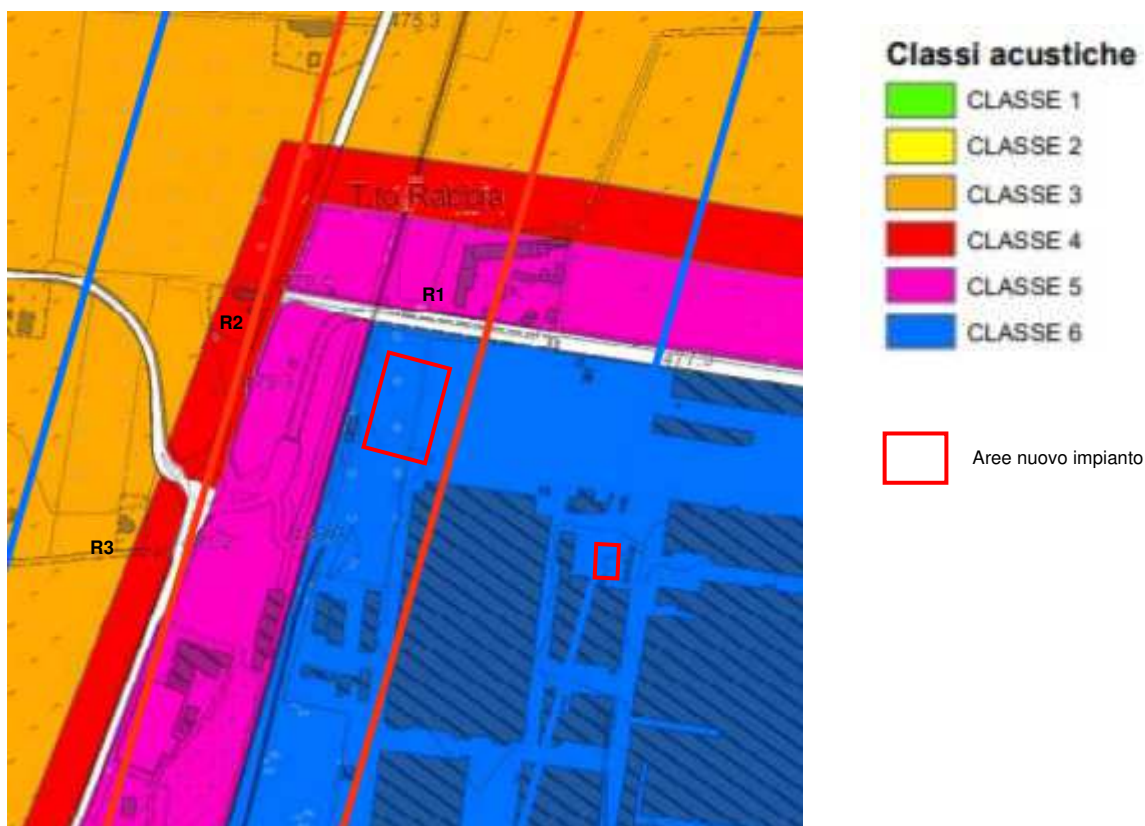
In allegato 16 e 17 sono state inoltre riportate le tabelle con i dettagli dei calcoli forniti dal modello previsionale rispettivamente per le simulazioni ASS e DIFF; le tabelle sono strutturate in modo da evidenziare per ciascuna delle sorgenti prese in considerazione:

- la tipologia della sorgente (**Punto/Area**)
- tempo di riferimento (**TR**)
- il valore della superficie di emissione (**A**);
- i livelli di potenza sonora (**L_w**) risultanti;
- la distanza tra sorgente e ricettore (**s**);
- le attenuazioni/riflessioni subite dai livelli di pressione sonora lungo il percorso sorgente/ricettore (**A_{div}, A_{gr}, A_{bar}, A_{atm}, dL_{Refl}**);
- i livelli di pressione sonora specifici risultanti presso i ricettori specifico (**L_s**);
- i livelli di pressione sonora specifici risultanti presso i ricettori specifico corretti dell'intervallo temporale (**L_r**).

10 VALORI LIMITE DI RIFERIMENTO

Per la valutazione della tollerabilità del rumore emesso da impianti industriali ed immesso negli ambienti limitrofi occorre fare riferimento al D.P.C.M. 14/11/1997 "**Determinazione dei valori limite delle sorgenti sonore**" in applicazione della Legge n. 447/95 "**Legge quadro sull'inquinamento acustico**" e s.m.i.. Tale Decreto fissa sia **valori limite assoluti** per la emissione (rumore specifico prodotto da sorgenti individuate) da rispettare in prossimità delle sorgenti e per la immissione (rumore ambientale prodotto dall'insieme di tutte le sorgenti) da rispettare all'esterno degli ambienti abitativi in funzione della classificazione acustica del territorio, sia **valori limite differenziali** da rispettare all'interno degli ambienti abitativi. Tutti i ricettori indagati ricadono nel territorio del Comune di Cuneo che dispone della classificazione acustica di cui si riportata lo stralcio relativo all'area di studio in figura 1.

Tabella 17 - Livelli sonori specifici



10.1 Valori limite assoluti di emissione

I valori limite di emissione, da rispettare in prossimità di sorgenti fisse (art. 2) sono stabiliti in funzione della classificazione delle aree secondo la tabella 29.

Tabella 29: Valori limite di emissione

Classi di destinazione d'uso del territorio	Limite diurno L _{Aeq}	Limite notturno L _{Aeq}
I Aree particolarmente protette	45	35
II Aree prevalentemente residenziali	50	40
III Aree di tipo misto	55	45
IV Aree di intensa attività umana	60	50
V Aree prevalentemente industriali	65	55
VI Aree esclusivamente industriali	65	65

L'area su cui insiste lo stabilimento MICHELIN e quindi anche il nuovo impianto ricade nella classe acustica VI "*Aree esclusivamente industriali*" mentre le aree su cui insistono i ricettori sono così classificate:

- **R1:** Classe acustica V "*Aree prevalentemente industriali*" con valore limite di emissione pari 65 dB(A) nel tempo di riferimento diurno e pari a 55 dB(A) nel tempo di riferimento notturno;
- **R2:** Classe acustica IV "*Aree ad intensa attività umana*" con valore limite di emissione pari 60 dB(A) nel tempo di riferimento diurno e pari a 50 dB(A) nel tempo di riferimento notturno;
- **R3:** Classe acustica III "*Aree di tipo misto*" con valore limite di emissione pari 55 dB(A) nel tempo di riferimento diurno e pari a 45 dB(A) nel tempo di riferimento notturno.

10.2 Valori limite assoluti di immissione

I valori limite assoluti di immissione per la somma delle sorgenti presenti nell'area (art.3) sono stabiliti in funzione della classificazione delle aree secondo la tabella 30.

Tabella 30: Valori limite di immissione

Classi di destinazione d'uso del territorio	Limite diurno LAeq	Limite notturno LAeq
I Aree particolarmente protette	50	40
II Aree prevalentemente	55	45
III Aree di tipo misto	60	50
IV Aree di intensa attività umana	65	55
V Aree prevalentemente industriali	70	60
VI Aree esclusivamente industriali	70	70

Le aree su cui insistono i punti ricettori possono essere così classificate:

- **R1:** Classe acustica V “Aree prevalentemente industriali” con valore limite di immissione pari 70 dB(A) nel tempo di riferimento diurno e pari a 60 dB(A) nel tempo di riferimento notturno;
- **R2:** Classe acustica IV “Aree ad intensa attività umana” con valore limite di immissione pari 65 dB(A) nel tempo di riferimento diurno e pari a 55 dB(A) nel tempo di riferimento notturno;
- **R3:** Classe acustica III “Aree di tipo misto” con valore limite di immissione pari 60 dB(A) nel tempo di riferimento diurno e pari a 50 dB(A) nel tempo di riferimento notturno.

10.3 Valori limite differenziali

I valori limite differenziali da rispettare all'interno degli ambienti abitativi (differenza tra i livelli sonori rilevati in presenza ed in assenza della sorgente disturbante ovvero tra livello di rumore ambientale L_A e livello di rumore residuo L_R) sono fissati all'articolo 4 comma 1 in 5 dB(A) nel periodo diurno e 3 dB(A) nel periodo notturno, ad esclusione della classe VI "Aree esclusivamente industriali" nella quale non vengono applicati.

L'articolo 4 comma 2 stabilisce inoltre che non sono applicabili i limiti differenziali “in quanto ogni effetto del rumore è da ritenersi trascurabile:

- se il livello del rumore ambientale misurato a finestre aperte sia inferiore a 50 dB(A) durante il periodo diurno e a 40 dB(A) durante il periodo notturno;
- se il livello del rumore ambientale misurato a finestre chiuse sia inferiore a 35 dB(A) durante il periodo diurno e a 25 dB(A) durante il periodo notturno.”

Nel caso specifico il criterio differenziale è applicabile a tutti i punti ricettori.

11 CONFRONTO LIVELLI CALCOLATI CON I VALORI LIMITE DI RIFERIMENTO

11.1 Livelli assoluti di emissione

Il livello di emissione, come già accennato in precedenza, deve essere riferito a specifiche sorgenti, nel nostro caso il nuovo impianto in esame. I relativi livelli sonori specifici L_S calcolati nei punti ricettori con la simulazione ASS sono riportati nella tabella 31 a confronto con i relativi valori limite di emissione in entrambi i tempi di riferimento

Tabella 31: Confronto livelli sonori L_S con valori limite di emissione

Ricettore	Livello di pressione sonora - dB(A)			
	Tempo di riferimento diurno		Tempo di riferimento notturno	
	Livello sonoro L_S	Valore limite	Livello sonoro L_S	Valore limite
R1	50,9	65	45,0	55
R2	45,8	60	43,5	50
R3	38,6	55	38,5	45

Dall'esame della tabella si può notare che in tutti i punti ricettori i livelli assoluti di emissione rispettano i corrispondenti valori limite in entrambi i tempi di riferimento.

11.2 Livelli assoluti di immissione

I livelli di rumore ambientale o di immissione assoluti L_A sono stati calcolati per i punti ricettori utilizzando la seguente relazione:

$$L_A = 10 \lg \left(10^{\frac{L_S}{10}} + 10^{\frac{L_R}{10}} \right) \quad [8]$$

dove:

L_A = rumore ambientale o di immissione

L_S = rumore specifico L_S ricavato dal calcolo previsionale ASS riportato in tabella 28

L_R = rumore preesistente riportato in tabella 3 in termini di $L_{Aeq, TM}$

I risultati dei calcoli ed i confronti con i rispettivi valori limite di immissione assoluti sono riportati nella tabella 32 per il tempo di riferimento diurno e nella tabella 33 per il tempo di riferimento notturno.

Tabella 32: Confronto con i valori limite di immissione – Tempo di riferimento diurno

Ricettore	Livello di pressione sonora dB(A)			
	Rumore specifico L _S	Rumore residuo L _R	Rumore ambientale L _A	Valore limite immissione
R1	48,6	58,5	58,9	70
R2	45,8	69,5	69,5	65
R3	38,6	59,0	59,0	60

Tabella 33: Confronto con i valori limite di immissione – Tempo di riferimento notturno

Ricettore	Livello di pressione sonora dB(A)			
	Rumore specifico L _S	Rumore residuo L _R	Rumore ambientale L _A	Valore limite immissione
R1	43,8	55,0	55,3	60
R2	43,5	55,0	55,3	55
R3	38,5	55,0	55,1	50

Dall'esame delle tabelle sopra riportate si evince che i valori limite di immissione vengono superati presso il ricettore R2 nel tempo di riferimento diurno e presso i ricettori R2 e R3 nel tempo di riferimento notturno. Tali superamenti, riscontrati anche nel clima acustico preesistente, non sono però da attribuire al nuovo Impianto di Trigenerazione ma al traffico veicolare sulle strade adiacenti. Il contributo acustico dell'impianto di Trigenerazione in esame sui valori di immissione presso punti ricettori si può considerare trascurabile.

11.3 Livelli differenziali di immissione

Per verificare l'applicabilità del criterio differenziale si è proceduto al calcolo dei livelli di rumore ambientale all'interno delle abitazioni tramite la norma UNI EN 12354-3:2017 "Acustica in edilizia – Valutazioni delle prestazioni acustiche di edifici a partire dalle prestazioni di prodotti – Isolamento acustico contro il rumore dall'esterno per via aerea" a partire dai livelli di rumore in facciata calcolati attraverso la simulazione DIFF.

In particolare è stata utilizzata la relazione riportata nell'appendice E della suddetta norma e precisamente:

$$L_{2,nT} = L_{1,2m} - D_{2m} \quad [9]$$

dove:

$L_{2,nT}$ = livello medio di pressione sonora nell'ambiente ricevente, normalizzato rispetto ad un tempo di riverberazione di 0,5 s, in decibel;

$L_{1,2m}$ = livello di pressione sonora all'esterno alla distanza di 2 m dalla facciata;

$D_{2m,nT}$ = isolamento acustico in facciata normalizzato rispetto ad un tempo di riverberazione di 0,5s

L'isolamento acustico in facciata $D_{2m,nT}$ è a sua volta ricavato dalla seguente relazione:

$$D_{2m,nT} = R' + \Delta_{Lfs} + \left[10 \log \left(C_{sab} \frac{V}{T_0 S} \right) \right] \quad [10]$$

dove:

R' = potere fonoisolante apparente della facciata

C_{sab} = costante di Sabine pari a 0,16 s/m

Δ_{Lfs} = differenza del livello di pressione sonora per la forma della facciata

V = volume dell'ambiente ricevente

T_0 = tempo di riverberazione dell'ambiente ricevente

S = area totale della facciata

Il potere fonoisolante apparente R' infine viene calcolato tramite la seguente relazione:

$$R' = -10 \log \left(\sum_{i=1}^n \tau_{e,i} + \sum_{f=1}^m \tau_f \right) \quad [11]$$

dove:

$\tau_{e,i}$ = il fattore di trasmissione della potenza sonora irradiato da un elemento i di facciata dovuto alla trasmissione diretta del suono incidente, e la potenza sonora incidente sull'intera facciata;

τ_f = il fattore di trasmissione della potenza sonora irradiato da una facciata o da un elemento laterale f nell'ambiente ricevente, dovuto alla trasmissione laterale, e la potenza sonora incidente sull'intera facciata;

n = numero di elementi della facciata per la trasmissione diretta

m = numero degli elementi laterali della facciata

Il fattore $\tau_{e,i}$ viene calcolato tramite la seguente relazione:

$$\tau_{e,i} = \frac{S_i}{S} 10^{-R_i/10} \quad [12]$$

dove:

R_i = potere fonoisolante dell'elemento i

S_i = area dell'elemento i

S = area totale della facciata

Nel caso specifico per le abitazioni in esame, non disponendo dei dati effettivi ottenibili solo con un sopralluogo all'interno della stessa, le grandezze interne delle stanze di cui sopra sono state ipotizzate e riportate in tabella 6 insieme agli altri parametri utilizzati.

Tabella 34: Dimensioni geometriche e parametri acustici ipotizzati

Ricettore	Volume V (L x P x H) (m ³)	Area facciata S (m ²)	Area muratura S ₁ (m ²)	Area finestra (L x H) S ₂ (m ²)	T ₀ (s)	ΔL_f (dB)	τ_f (dB)
R1	37,8 (3,5 x 4,0 x 2,7)	9,45	7,03	2,42 (1,1 x 2,2)	0,5	0,0	0,0
R2	33,07 (3,5 x 3,5 x 2,7)	9,45	7,95	1,5 (1,0 x 1,5)			
R3	37,8 (3,5 x 4 x 2,7)	9,45	7,03	2,42 (1,1 x 2,2)			

I livelli di potere fonoisolante degli elementi costituenti le facciate in esame sono stati desunti in modo cautelativo (rif. *Manuale di Acustica Applicata* - I. Sharland) e sono riportati in tabella 5.

Tabella 35: Potere fonoisolante stimati degli elementi di facciate

Elemento	Potere fonoisolante R'							
	63	125	250	500	1k	2k	4K	8K
Muratura	30	36	37	40	46	54	57	59
Finestra chiusa	17	11	24	28	32	27	35	39
Finestra aperta	0	0	0	0	0	0	0	0

I livelli di rumore specifico ricavati dalla simulazione DIFF (tabella 28) e i livelli di rumore residuo in termini di $L_{AS90, TM}$ (tabella 3), sono riportati nelle tabelle 36 e 37, espressi in bande di ottava come previsto dalla norma sopra citata, insieme al risultate livello di Rumore Ambientale.

Tabella 36: Livelli di Rumore Ambientale esterno abitazione - Diurno

Ricettore	Tipologia di rumore	Livello di pressione sonora per bande di frequenza (Hz)							
		63	125	250	500	1k	2k	4k	8k
R1	Rumore Specifico	63,1	61,3	57,7	52,7	49,8	44,9	36,3	23,9
	Rumore Residuo	47,1	43,6	40,7	39,9	41,2	36,5	35,6	22,7
	Rumore Ambientale	63,2	61,4	57,8	52,9	50,4	45,5	39,0	26,4
R2	Rumore Specifico	52,0	51,1	49,0	45,7	43,9	40,8	32,2	13,8
	Rumore Residuo	51,3	43,6	42,8	44,8	47,3	42,0	37,1	31,4
	Rumore Ambientale	54,7	51,8	49,9	48,3	48,9	44,5	38,3	31,5
R3	Rumore Specifico	45,6	42,9	39,7	36,9	33,6	29,4	21,3	0,0
	Rumore Residuo	49,9	44,0	42,5	42,1	44,5	39,4	36,4	22,2
	Rumore Ambientale	51,3	46,5	44,3	43,2	44,8	39,8	36,5	22,2

Tabella 37: Livelli di Rumore Ambientale esterno abitazione - Notturno

Ricettore	Tipologia di rumore	Livello di pressione sonora per bande di frequenza (Hz)							
		63	125	250	500	1k	2k	4k	8k
R1	Rumore Specifico	51,7	48,7	47,9	42,7	38,0	35,5	28,2	12,8
	Rumore Residuo	46,1	40,2	39,6	36,9	35,3	29,6	24,7	20,6
	Rumore Ambientale	52,8	49,3	48,5	43,7	39,9	36,5	29,8	21,3
R2	Rumore Specifico	49,0	47,1	45,2	41,3	37,1	34,9	27,1	11,4
	Rumore Residuo	46,1	40,2	39,6	36,9	35,3	29,6	24,7	20,6
	Rumore Ambientale	50,8	47,9	46,3	42,6	39,3	36,0	29,1	21,1
R3	Rumore Specifico	45,2	42,7	39,6	36,4	33,0	28,9	21,1	0,0
	Rumore Residuo	46,1	40,2	39,6	36,9	35,3	29,6	24,7	20,6
	Rumore Ambientale	48,7	44,6	42,6	39,7	37,3	32,3	26,3	20,6

I livelli sonori all'interno delle abitazioni, calcolati utilizzando la relazione [9] per le singole bande di ottava sono riportati nelle tabelle 38 e 39 rispettivamente per i tempi di riferimento diurno e notturno.

Tabella 38: Livelli di Rumore Ambientale interno abitazioni - Diurno

Ricettore	Condizione Finestra	Livello di pressione sonora per bande di frequenza (Hz)								
		63	125	250	500	1k	2k	4k	8k	A
R1	Aperta	56,2	54,4	50,8	45,9	43,4	38,5	32,0	19,4	48,8
	Chiusa	39,8	43,4	27,4	18,7	11,8	11,5	-2,9	-19,5	28,5
R2	Aperta	46,2	43,3	41,5	39,8	40,4	36,0	29,8	23,0	43,9
	Chiusa	30,2	32,4	18,5	13,1	9,3	9,0	-5,0	-15,8	19,2
R3	Aperta	44,3	39,5	37,3	36,3	37,9	32,8	29,5	15,2	41,1
	Chiusa	27,9	28,5	13,9	9,0	6,3	5,9	-5,4	-23,6	15,6

Tabella 39: Livelli di Rumore Ambientale interno abitazioni - Notturno

Ricettore	Condizione Finestra	Livello di pressione sonora per bande di frequenza (Hz)								
		63	125	250	500	1k	2k	4k	8k	A
R1	Aperta	45,8	42,3	41,5	36,7	32,9	29,5	22,8	14,3	39,1
	Chiusa	29,4	31,3	18,1	9,5	1,4	2,5	-12,1	-24,6	17,2
R2	Aperta	42,3	39,4	37,8	34,2	30,8	27,5	20,6	12,6	36,5
	Chiusa	26,3	28,5	14,8	7,4	-0,4	0,6	-14,3	-26,2	14,4
R3	Aperta	42,1	38,0	36,0	33,1	30,7	25,7	19,7	14,0	35,5
	Chiusa	25,6	27,1	12,5	5,7	-0,9	-1,3	-15,3	-24,9	12,9

Dall'analisi delle tabelle sopra riportate, si evince che il criterio differenziale risulta non applicabile presso tutti i ricettori e per entrambi i tempi di riferimento diurno e notturno, *"in quanto ogni effetto del rumore è da ritenersi trascurabile"* sulla base dell'art. 4 comma 2 del D.P.C.M. 14/11/1997. Presso tutti i ricettori, infatti, i livelli di rumore ambientale calcolati all'interno delle relative abitazioni risultano inferiore a 50 dB(A) durante il periodo diurno e a 40 dB(A) durante il periodo notturno con le finestre aperte, e inferiori a 35 dB(A) durante il periodo diurno e a 25 dB(A) durante il periodo notturno con le finestre chiuse.

12 CONCLUSIONI

La valutazione previsionale, sviluppata e descritta nella presente relazione, ha evidenziato che l'impatto acustico derivante dall'installazione del **Nuovo Impianto di Trigenerazione di FENICE S.p.A.** presso lo Stabilimento MICHELIN di Cuneo risulta limitato e tale da consentire il rispetto dei valori limiti previsti dalla normativa vigente



MICHELIN CUNEO - TRIGENERAZIONE

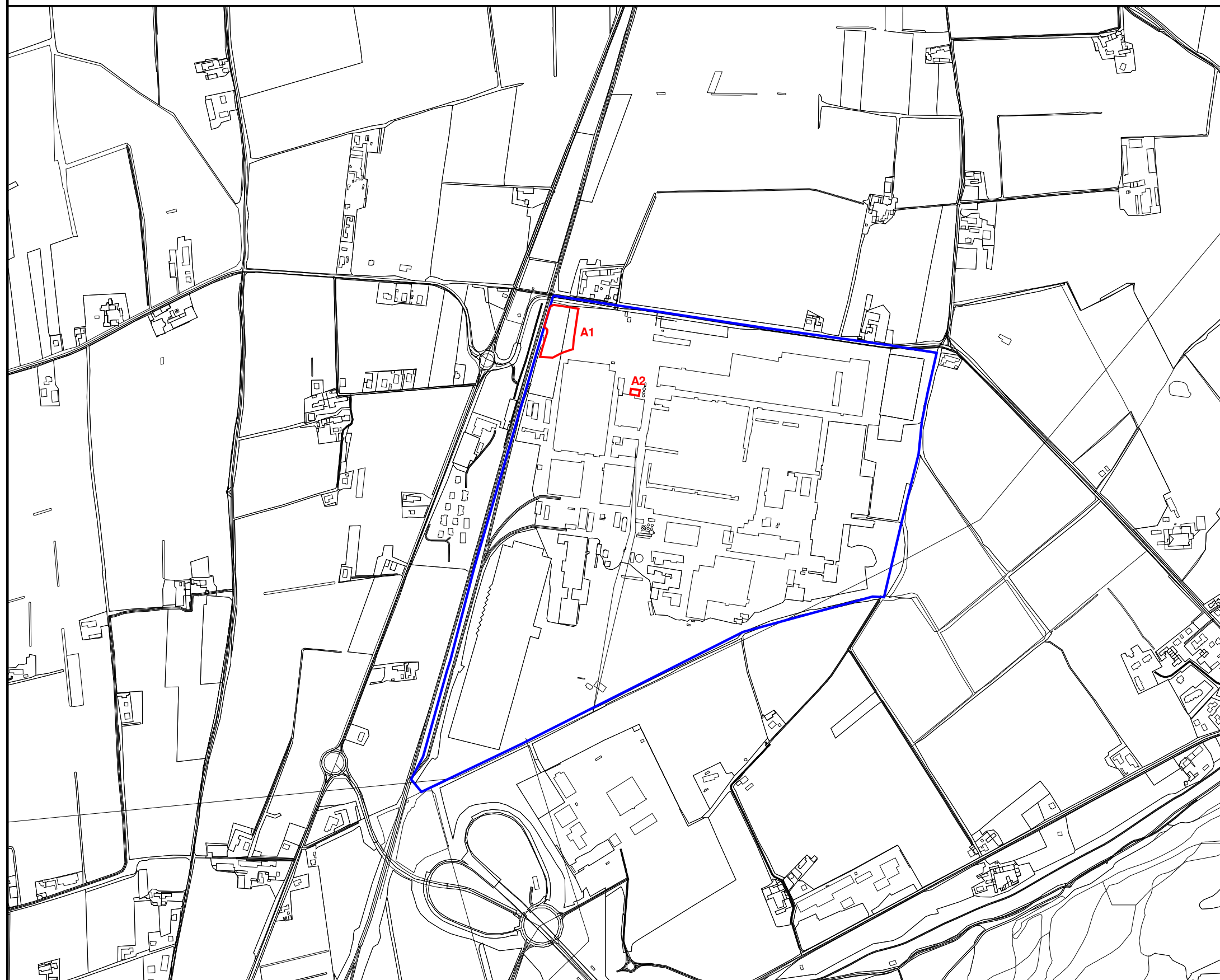
VALUTAZIONE PREVISIONALE IMPATTO ACUSTICO

Allegato: 1



Codifica Doc: C330AV3P001

Rev. 0 del 09/08/21

Cartografia generale Comune di Cuneo



Legenda

-  Stabilimento MICHELIN
-  Aree nuovi insediamenti



Scala 1:10000





MICHELIN CUNEO - TRIGENERAZIONE

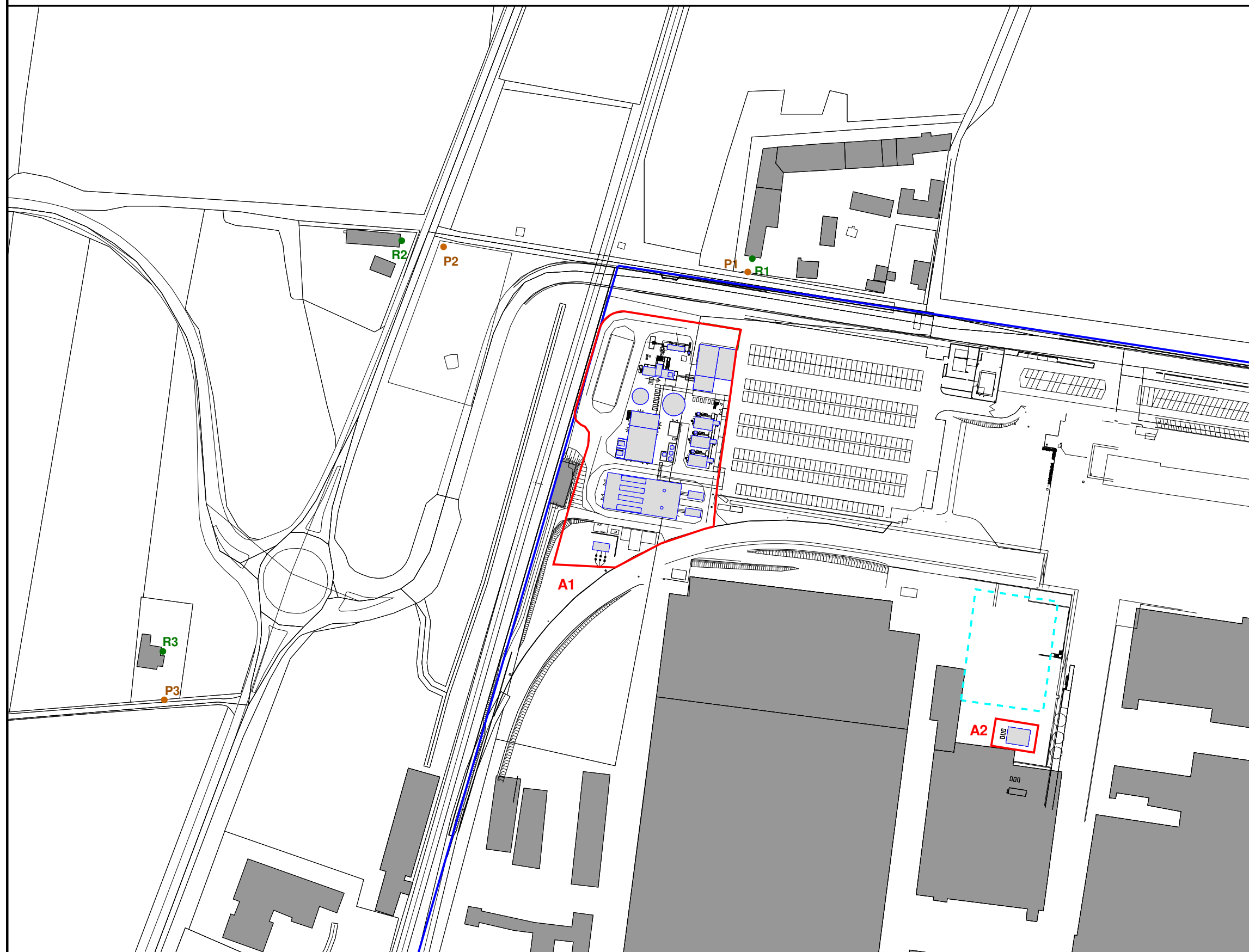
VALUTAZIONE PREVISIONALE IMPATTO ACUSTICO

Allegato: 2

Codifica Doc: C330AV3P001

Rev. 0 del 09/08/21

Cartografia di dettaglio area di studio



Legenda

- Stabilimento MICHELIN
- Aree nuovi insediamenti
- Nuovi Impianti
- Edifici esistenti
- Punti ricettori
- Punti di misurazione
- Impianto esistente



Scala 1:2000





MICHELIN CUNEO - TRIGENERAZIONE

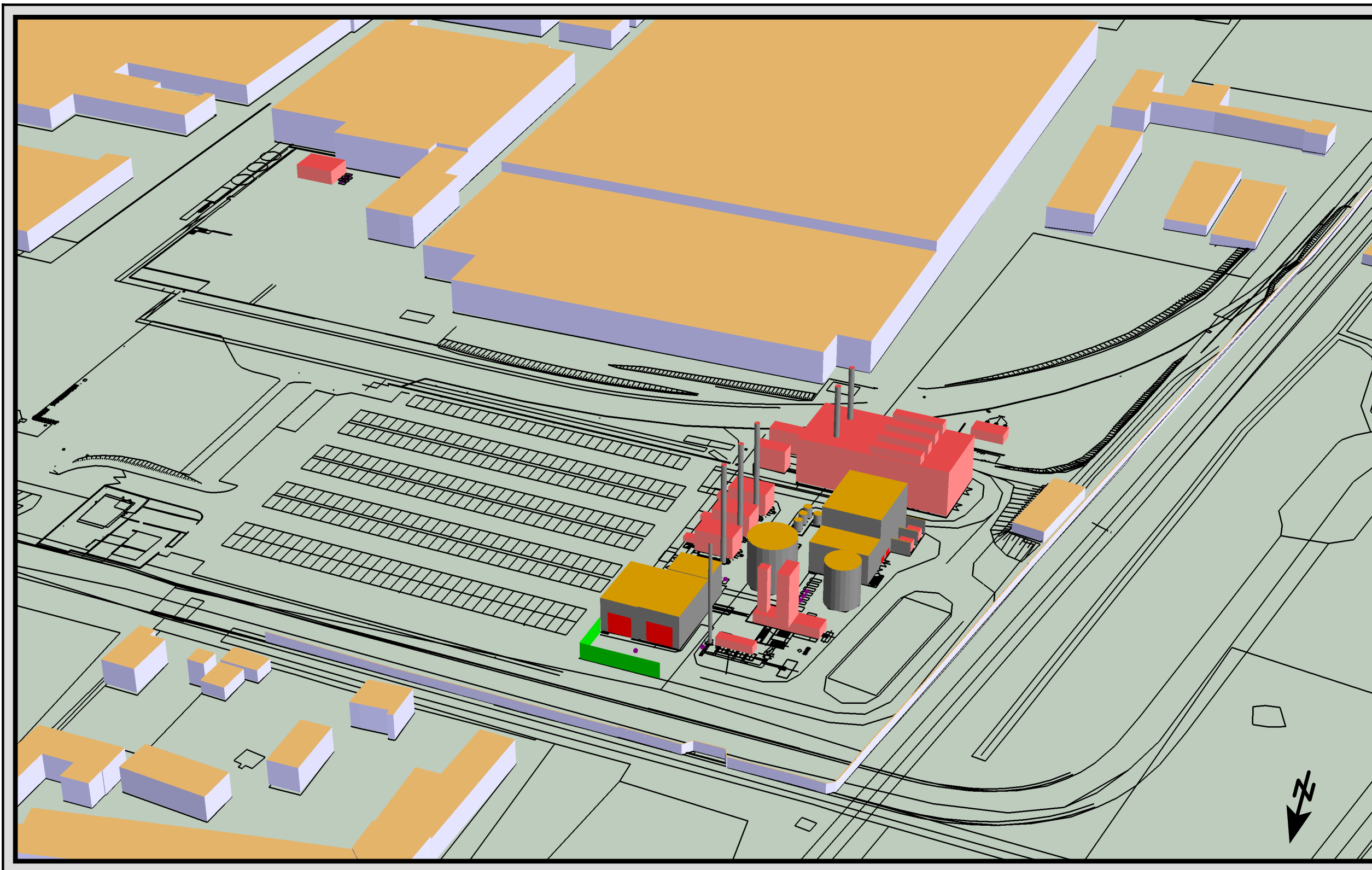
VALUTAZIONE PREVISIONALE IMPATTO ACUSTICO

Allegato: 3

Codifica Doc: C330AV3P001

Rev. 0 del 09/08/21

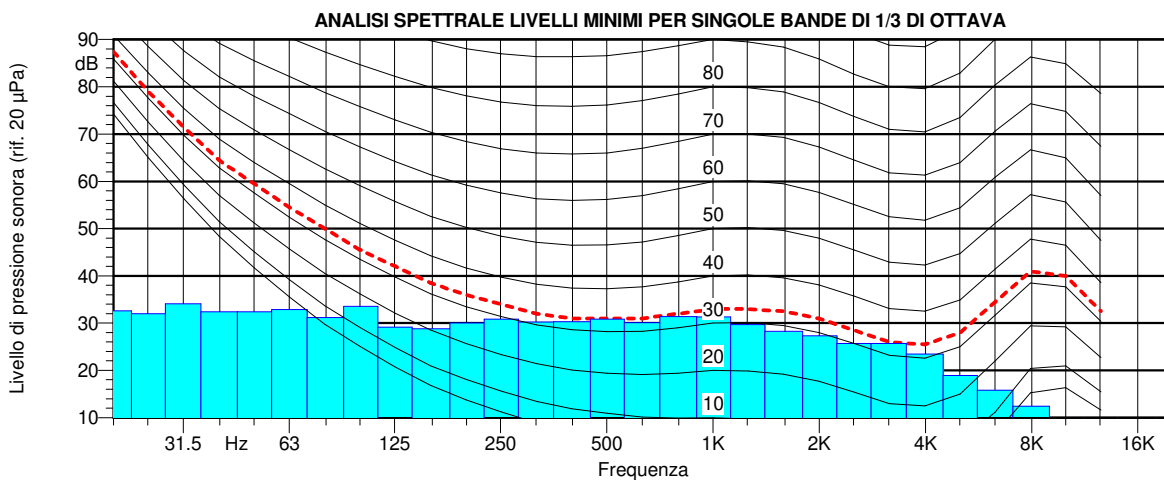
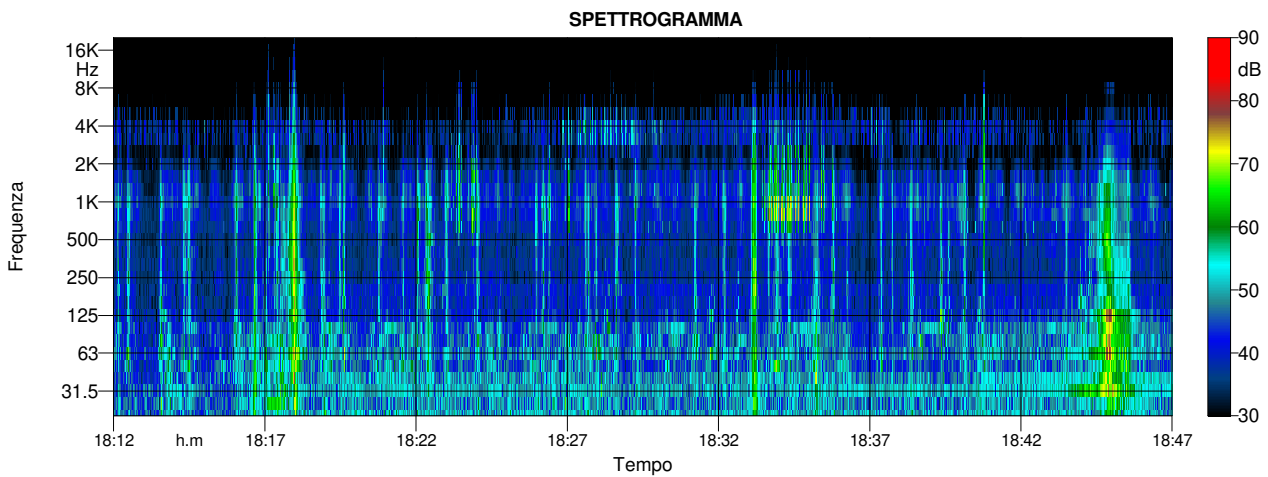
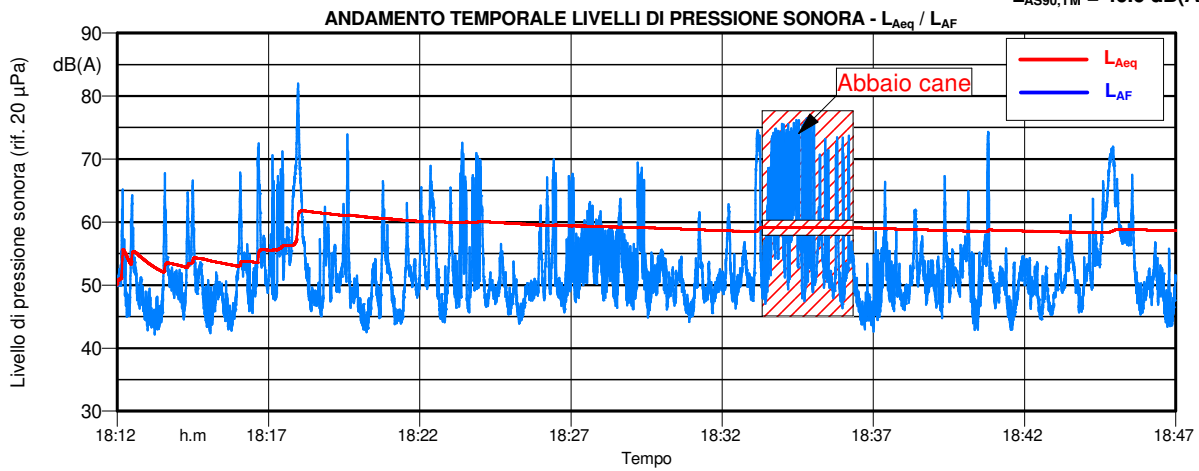
Rappresentazione 3D area di studio



Punto di misurazione: P1 (44°26'30.56"N – 7°33'59.01"E) Presso ciglio strada, a 9 metri dalla facciata dell'abitazione di Via Pollino 72 (R1)
Condizioni di rilevamento: Rumore ambientale
Periodo di riferimento: Diurno
Data esecuzione misurazione: 27/06/2021

$L_{Aeq, TM} = 58.6 \text{ dB(A)}$

$L_{A90, TM} = 46.6 \text{ dB(A)}$



Punto di misurazione: P2 (44°26'30.91"N – 7°33'52.05"E) Presso ciglio strada, a 18 metri dalla facciata dell'abitazione di Via Torino sn (R2)

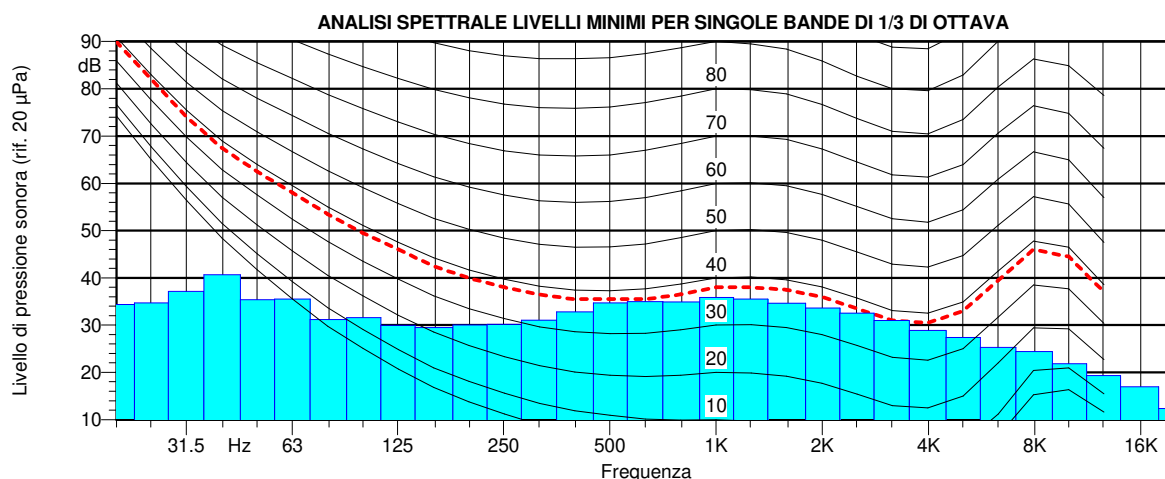
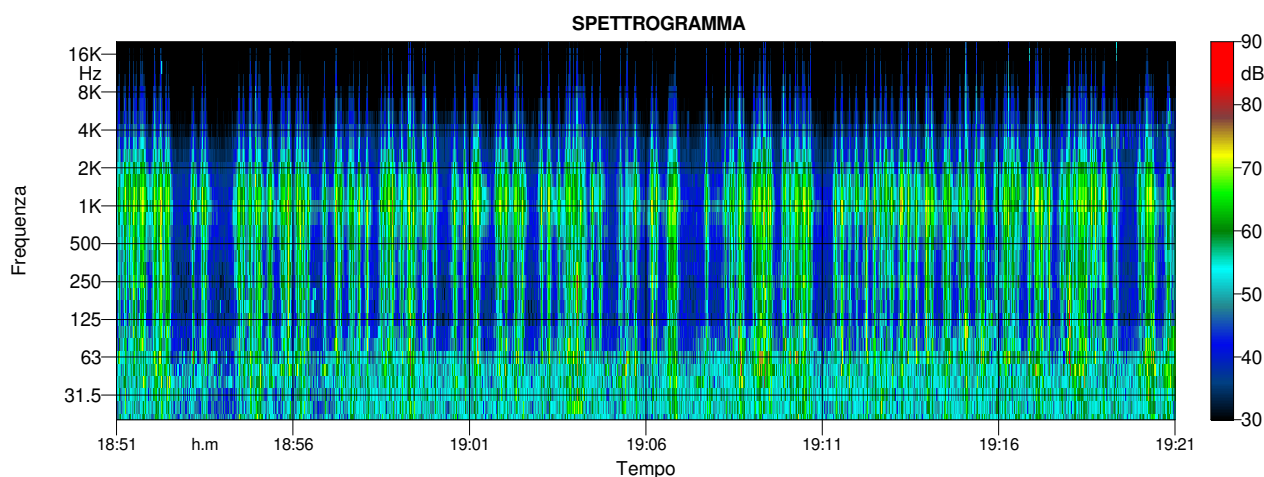
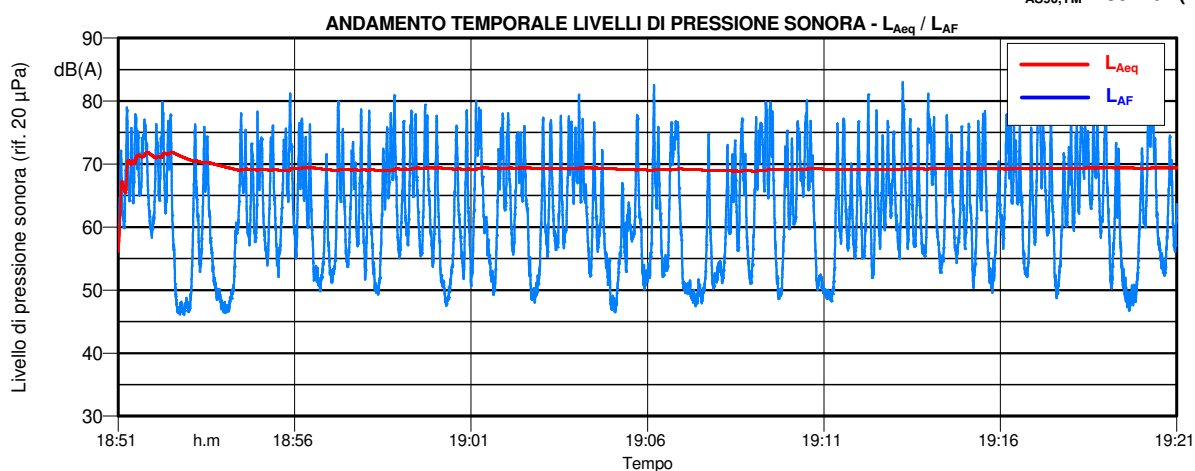
Condizioni di rilevamento: Rumore ambientale

Periodo di riferimento: Diurno

Data esecuzione misurazione: 27/06/2021

$L_{Aeq, TM} = 69.4 \text{ dB(A)}$

$L_{AS90, TM} = 50.7 \text{ dB(A)}$





MICHELIN CUNEO - TRIGENERAZIONE

Codifica Doc. C330AV3P001
Allegato: 6

VALUTAZIONE PREVISIONALE IMPATTO ACUSTICO

Punto di misurazione: P3 (44°26'23.75"N– 7°33'46.39"E) Presso ciglio strada, a 20 metri dalla facciata dell'abitazione di Via Michelin n. 2 (R3)

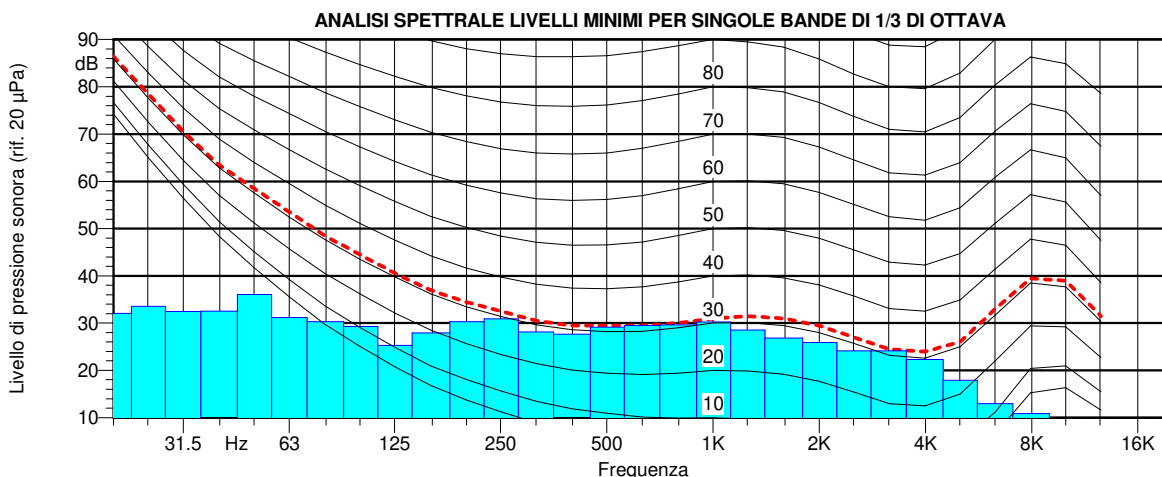
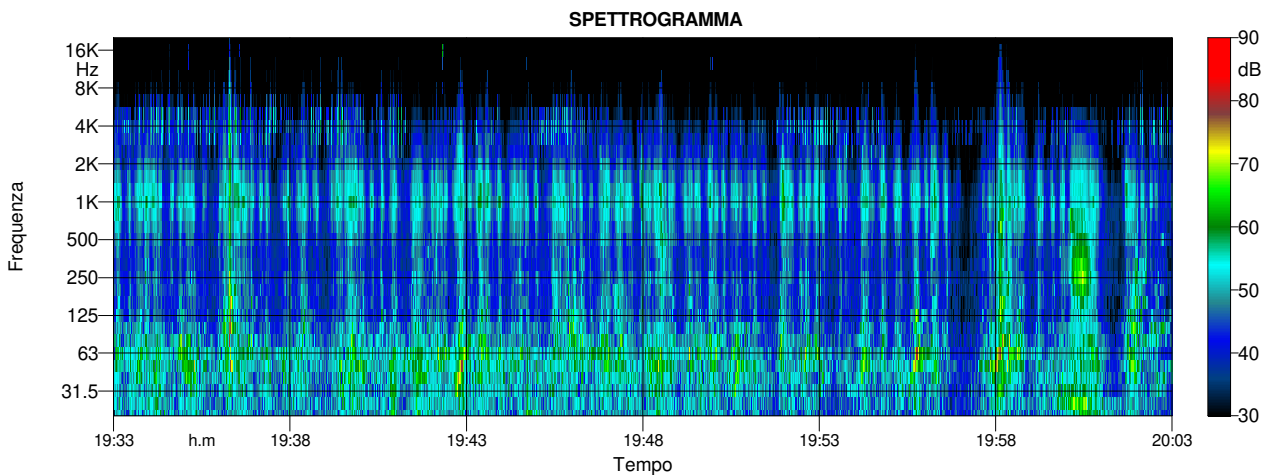
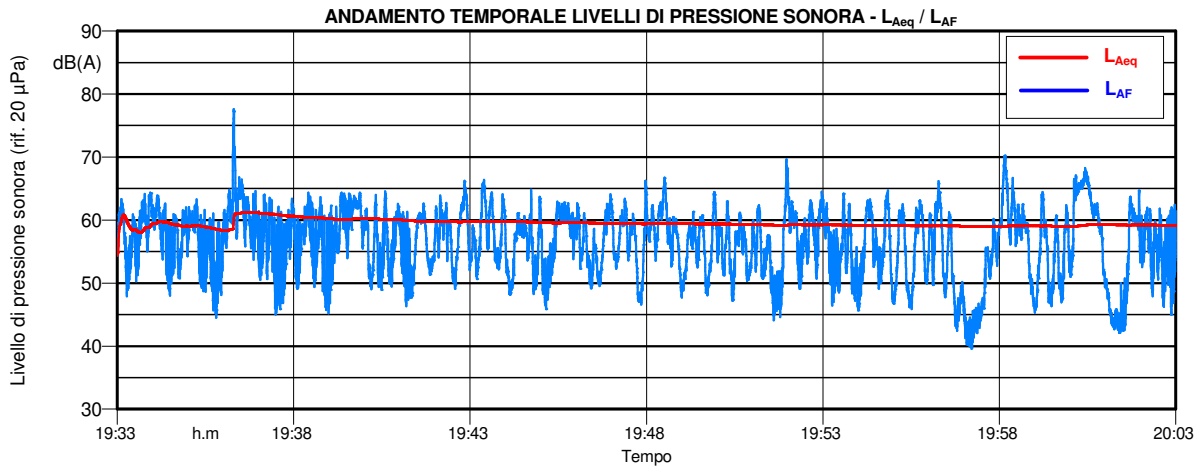
Condizioni di rilevamento: Rumore ambientale

Periodo di riferimento: Diurno

Data esecuzione misurazione: 27/06/2021


$L_{Aeq, TM} = 59.2 \text{ dB(A)}$

$L_{AS90, TM} = 49.7 \text{ dB(A)}$



Punto di misurazione: P1 (44°26'30.56"N – 7°33'59.01"E) Presso ciglio strada, a 9 metri dalla facciata dell'abitazione di Via Pollino 72 (R1)

Condizioni di rilevamento: Rumore ambientale

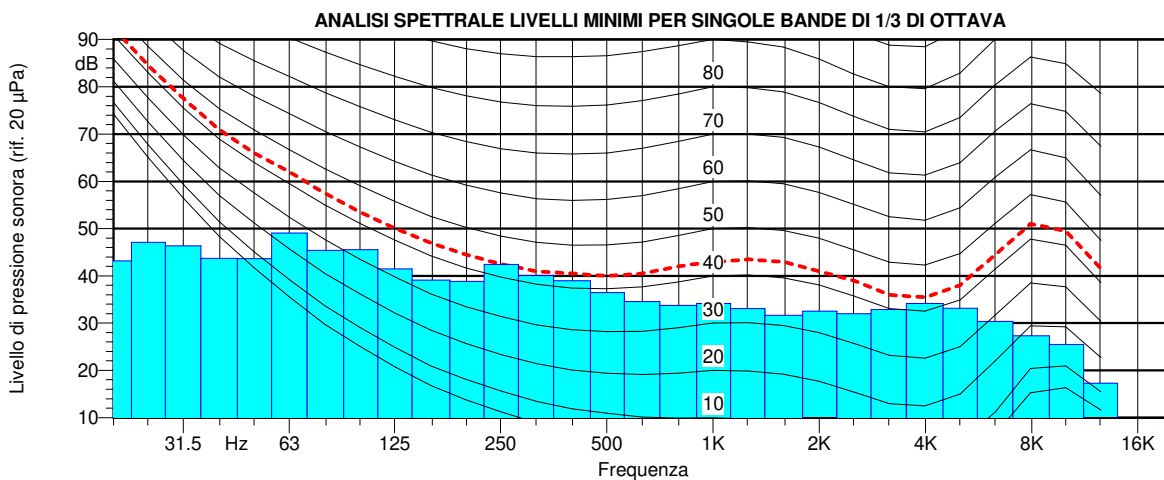
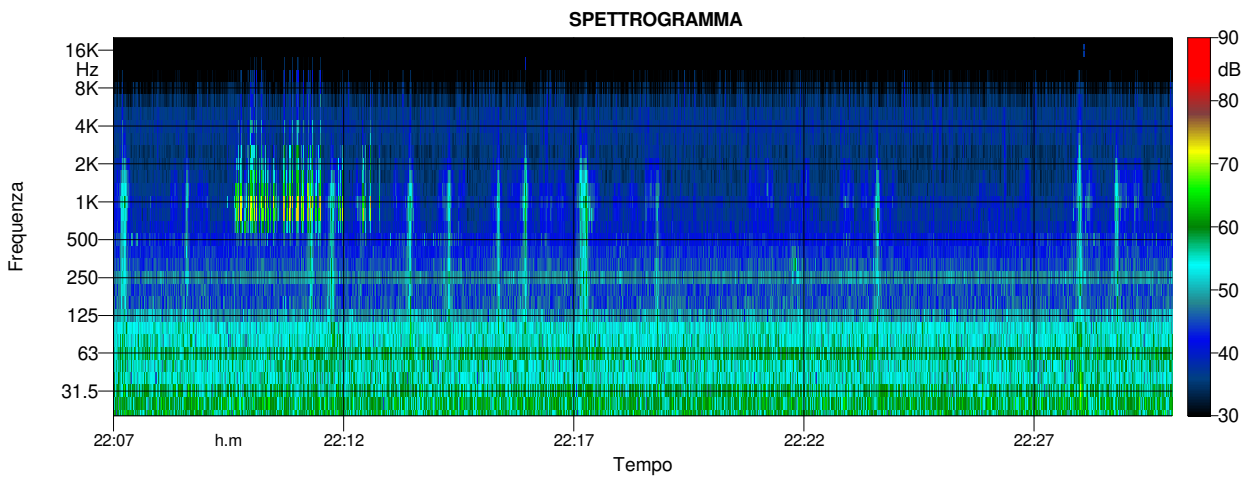
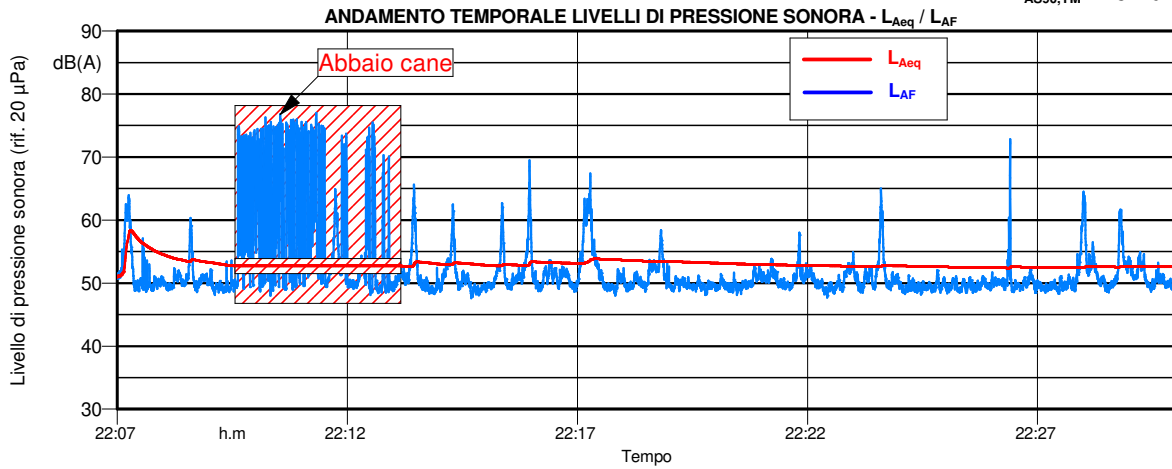
 Mascheramento eventi anomali

Periodo di riferimento: Notturno

Data esecuzione misurazione: 27/06/2021

$L_{Aeq, TM} = 52.6 \text{ dB(A)}$

$L_{AS90, TM} = 49.2 \text{ dB(A)}$



Punto di misurazione: P2 (44°26'30.91"N – 7°33'52.05"E) Presso ciglio strada, a 18 metri dalla facciata dell'abitazione di Via Torino sn (R2)

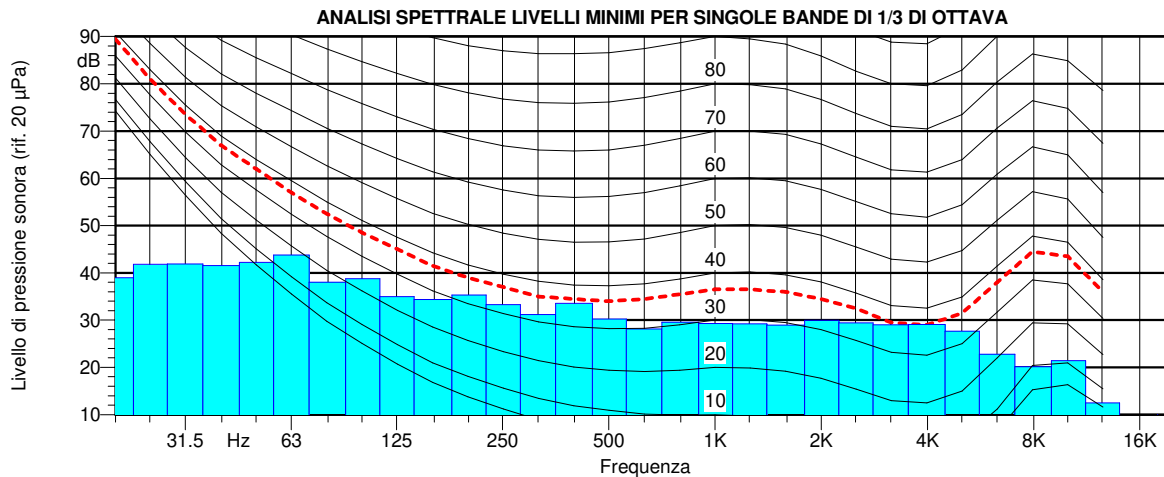
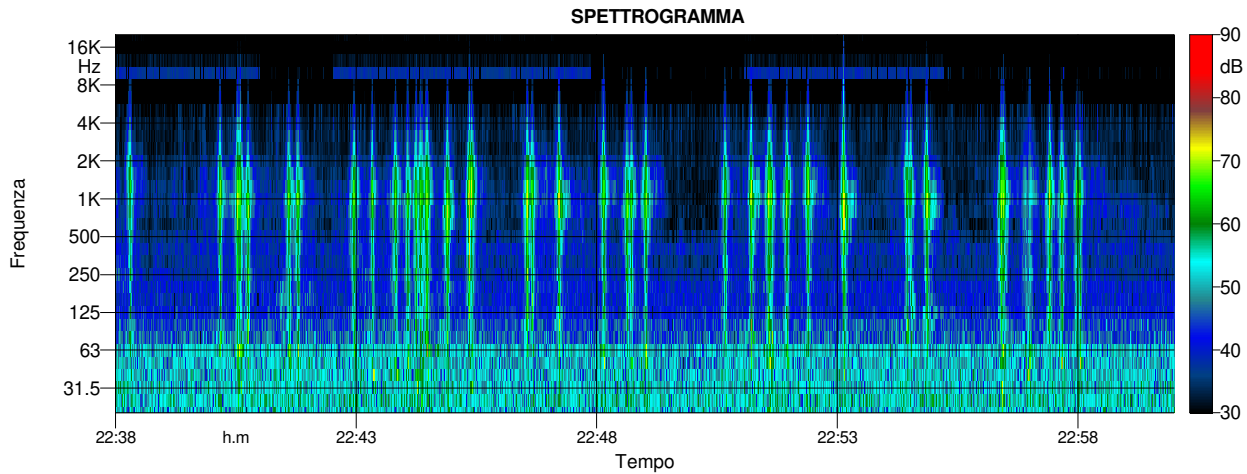
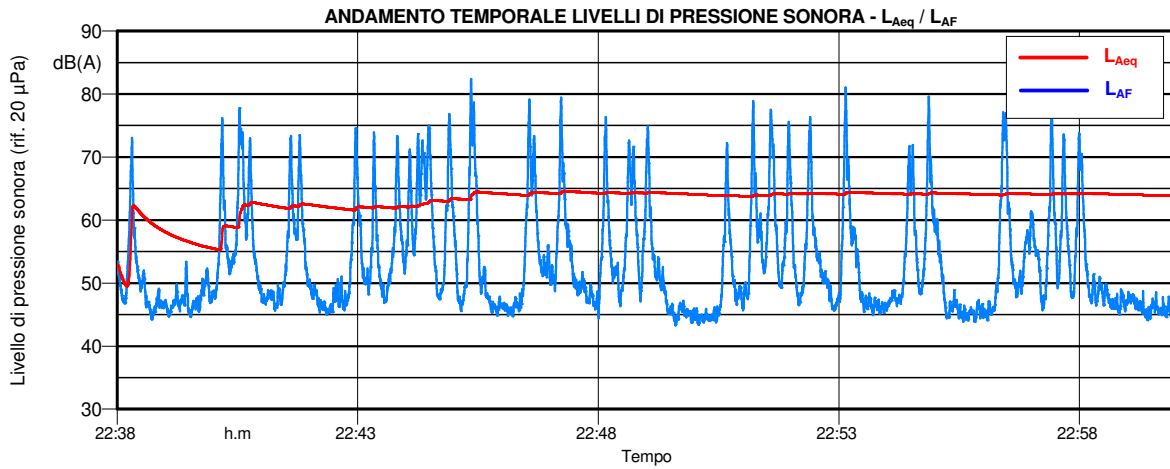
Condizioni di rilevamento: Rumore ambientale

Periodo di riferimento: Notturmo

Data esecuzione misurazione: 27/06/2021

$L_{Aeq, TM} = 63.8 \text{ dB(A)}$

$L_{AS90, TM} = 45.6 \text{ dB(A)}$





MICHELIN CUNEO - TRIGENERAZIONE

Codifica Doc. C330AV3P001
Allegato: 9

VALUTAZIONE PREVISIONALE IMPATTO ACUSTICO

Punto di misurazione: P3 (44°26'23.75"N– 7°33'46.39"E) Presso ciglio strada, a 20 metri dalla facciata dell'abitazione di Via Michelin n. 2 (R3)

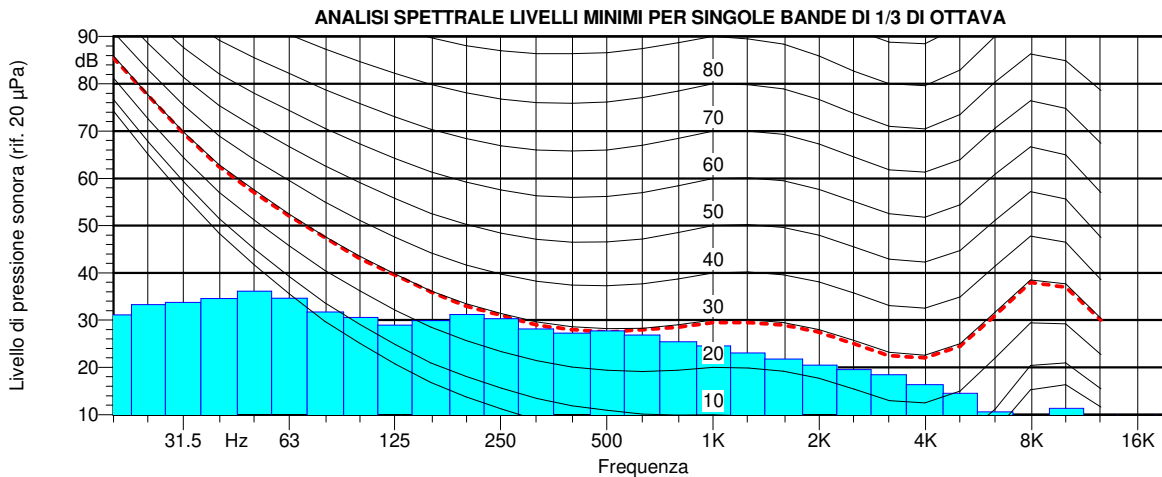
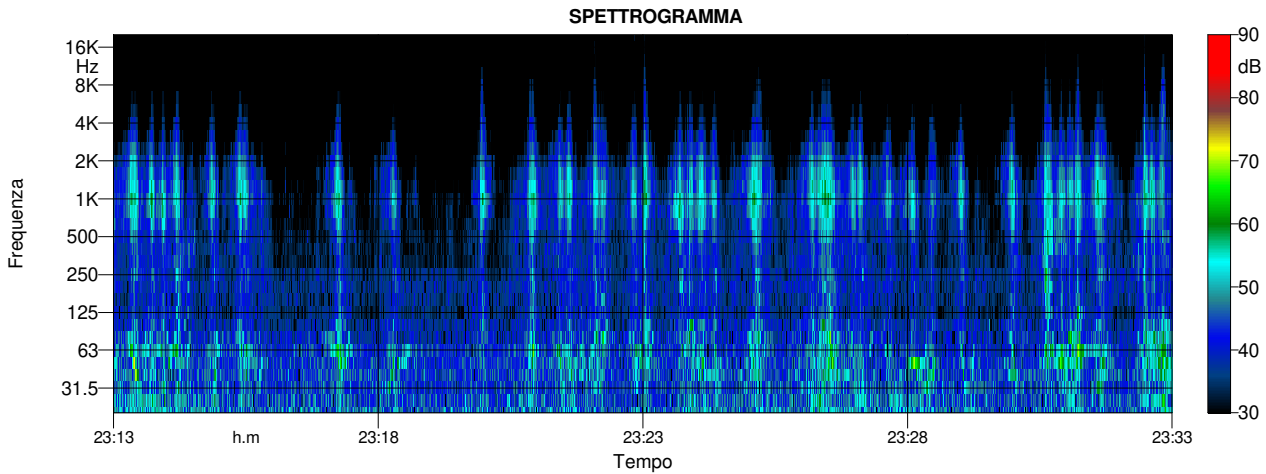
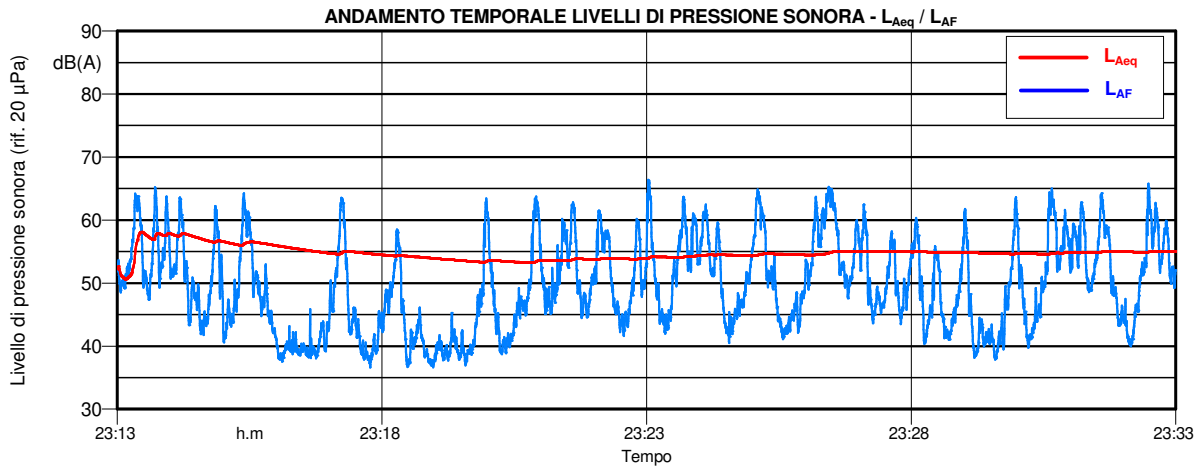
Condizioni di rilevamento: Rumore ambientale

Periodo di riferimento: Notturno

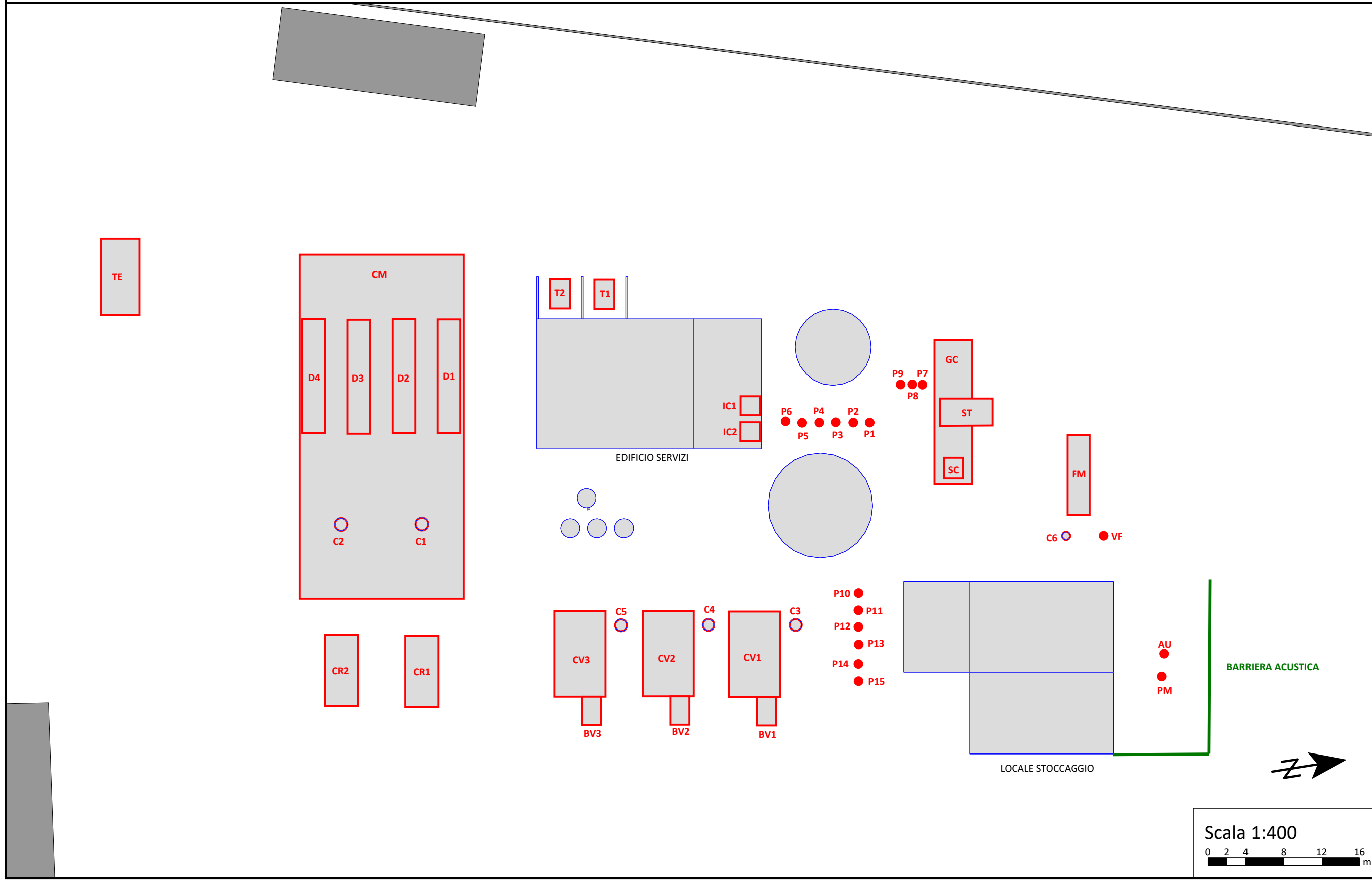
Data esecuzione misurazione: 27/06/2021

$L_{Aeq, TM} = 55.1 \text{ dB(A)}$

$L_{AS90, TM} = 40.2 \text{ dB(A)}$



Cartografia di dettaglio area di studio A1 con indicazione sorgenti sonore





MICHELIN CUNEO - TRIGENERAZIONE

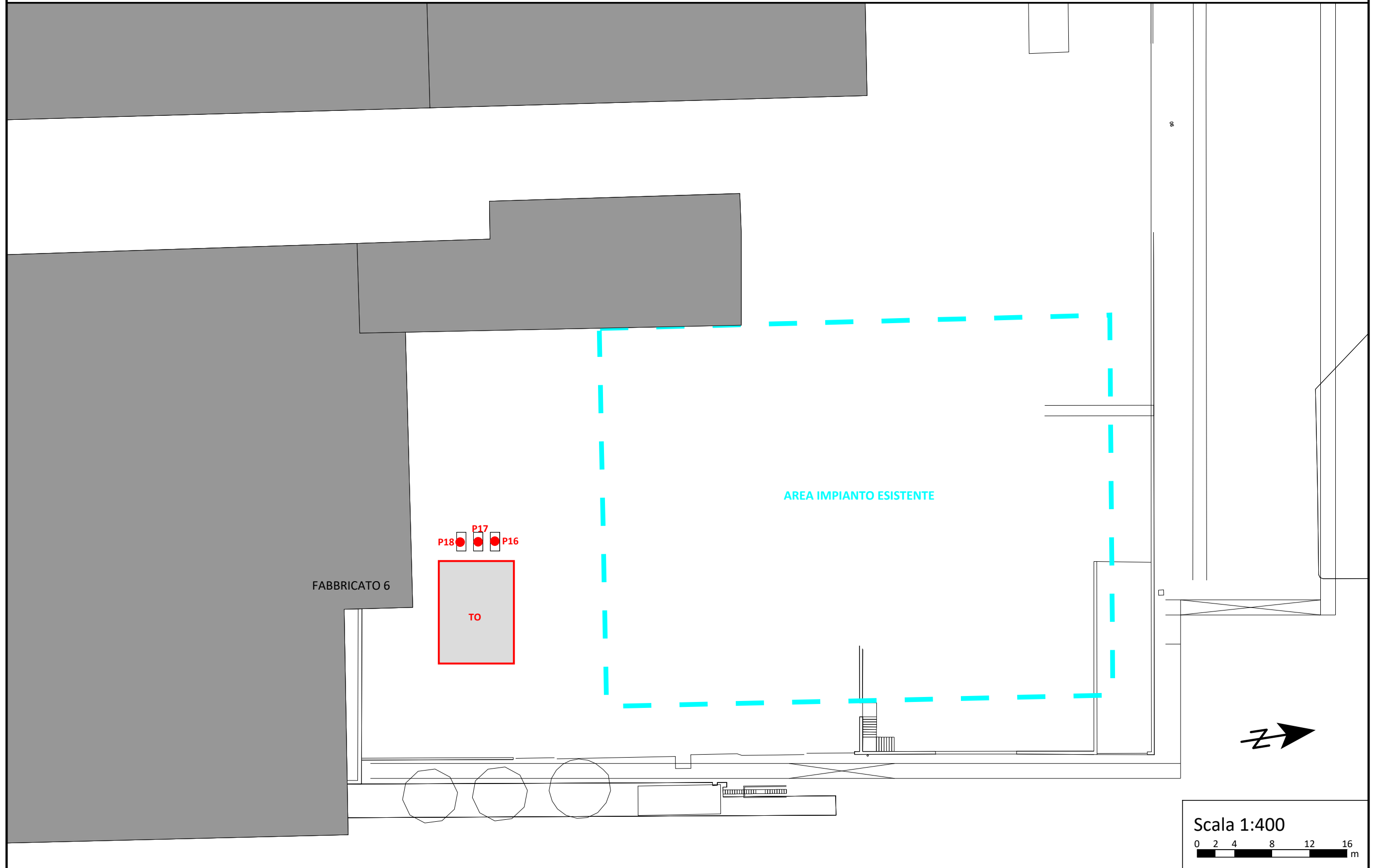
VALUTAZIONE PREVISIONALE IMPATTO ACUSTICO

Allegato: 11

Codifica Doc: C330AV3P001

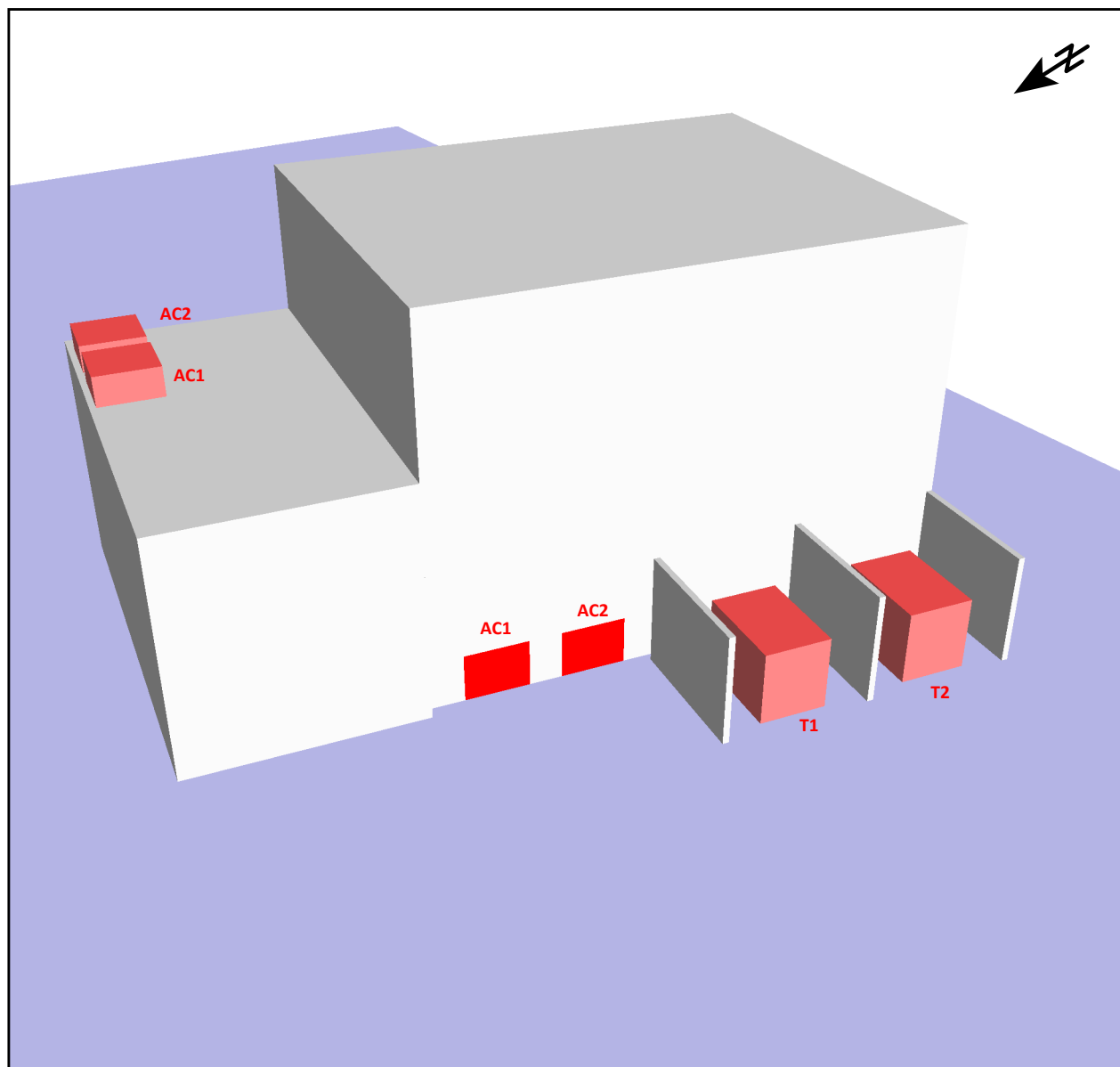
Rev. 0 del 09/08/21

Cartografia di dettaglio area di studio A2 con indicazione sorgenti sonore

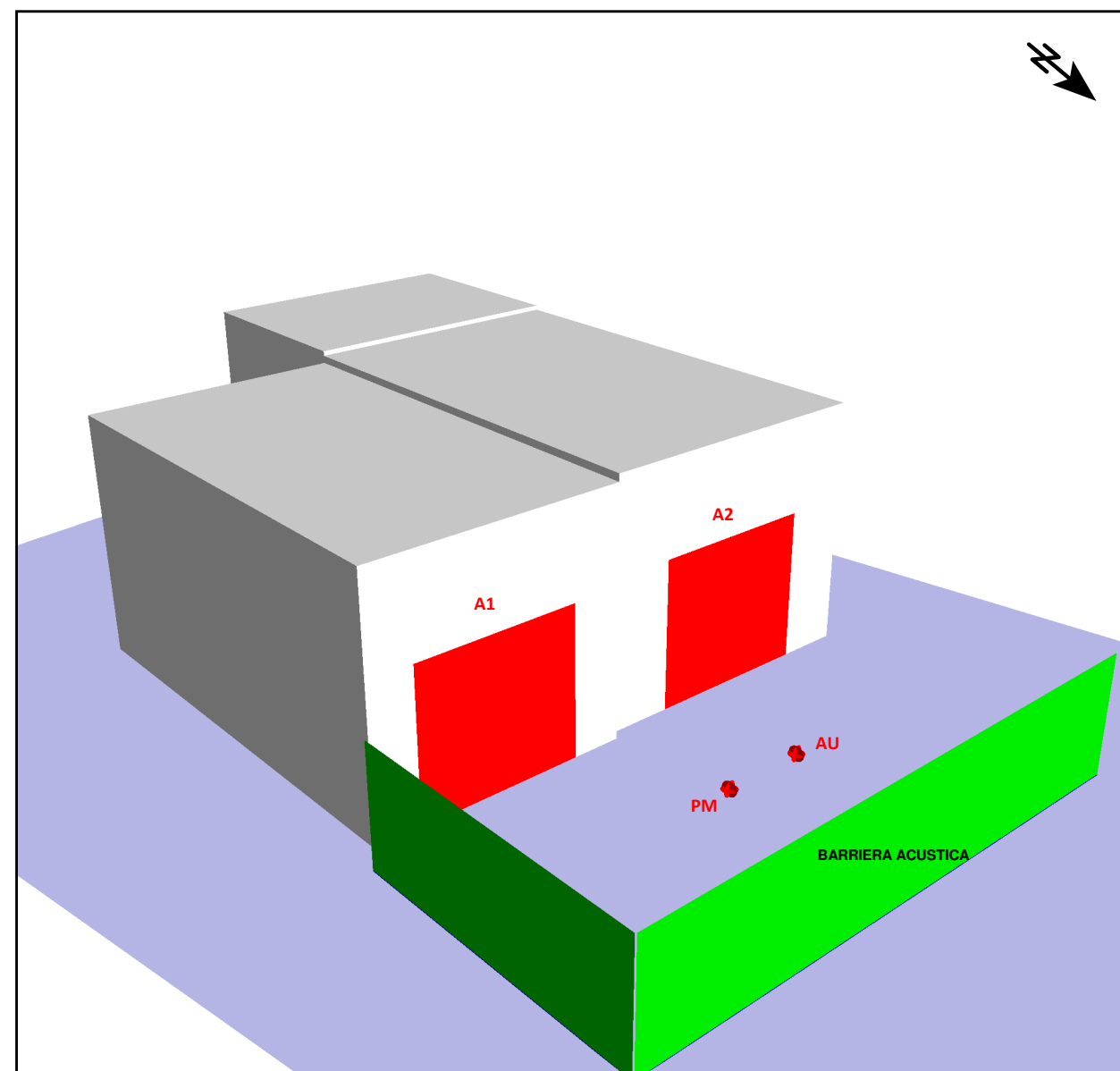


Rappresentazioni 3D con indicazioni sorgenti sonore

EDIFICIO SERVIZI



LOCALE STOCCAGGIO





MICHELIN CUNEO - TRIGENERAZIONE

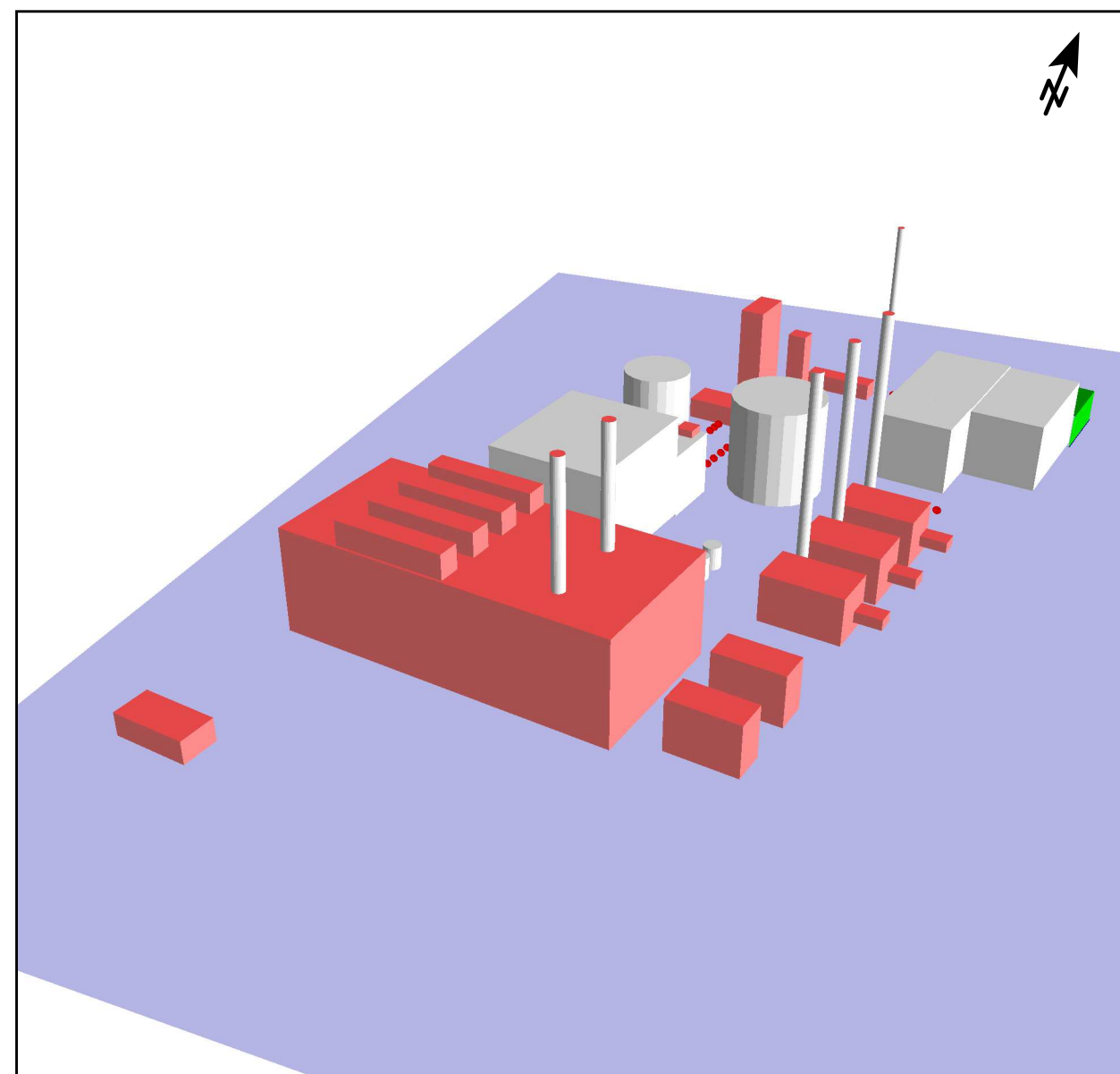
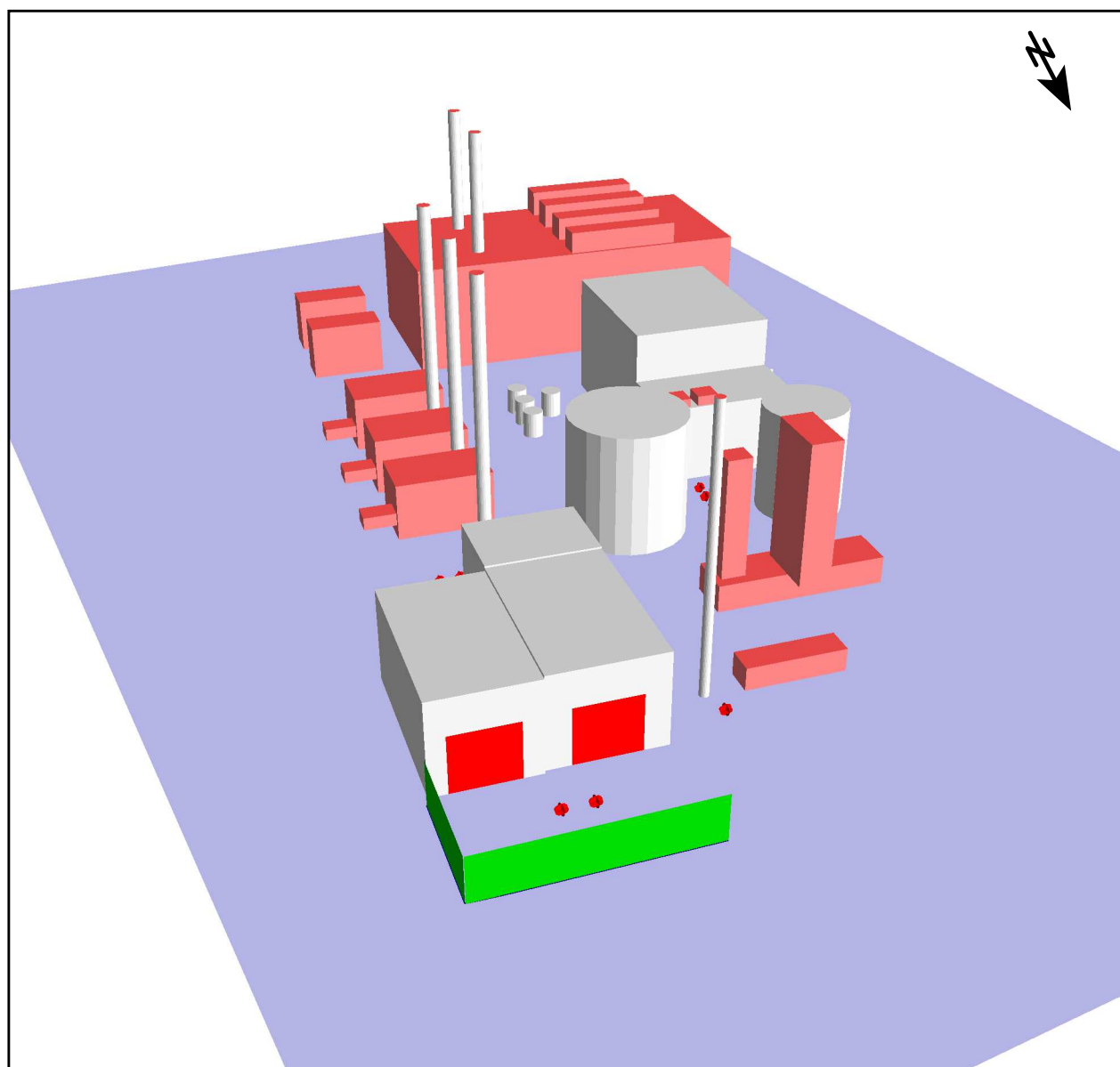
VALUTAZIONE PREVISIONALE IMPATTO ACUSTICO

Allegato: 13

Codifica Doc: C330AV3P001

Rev. 0 del 09/08/21

Rappresentazione 3D Impianto Area A1





MICHELIN CUNEO - TRIGENERAZIONE

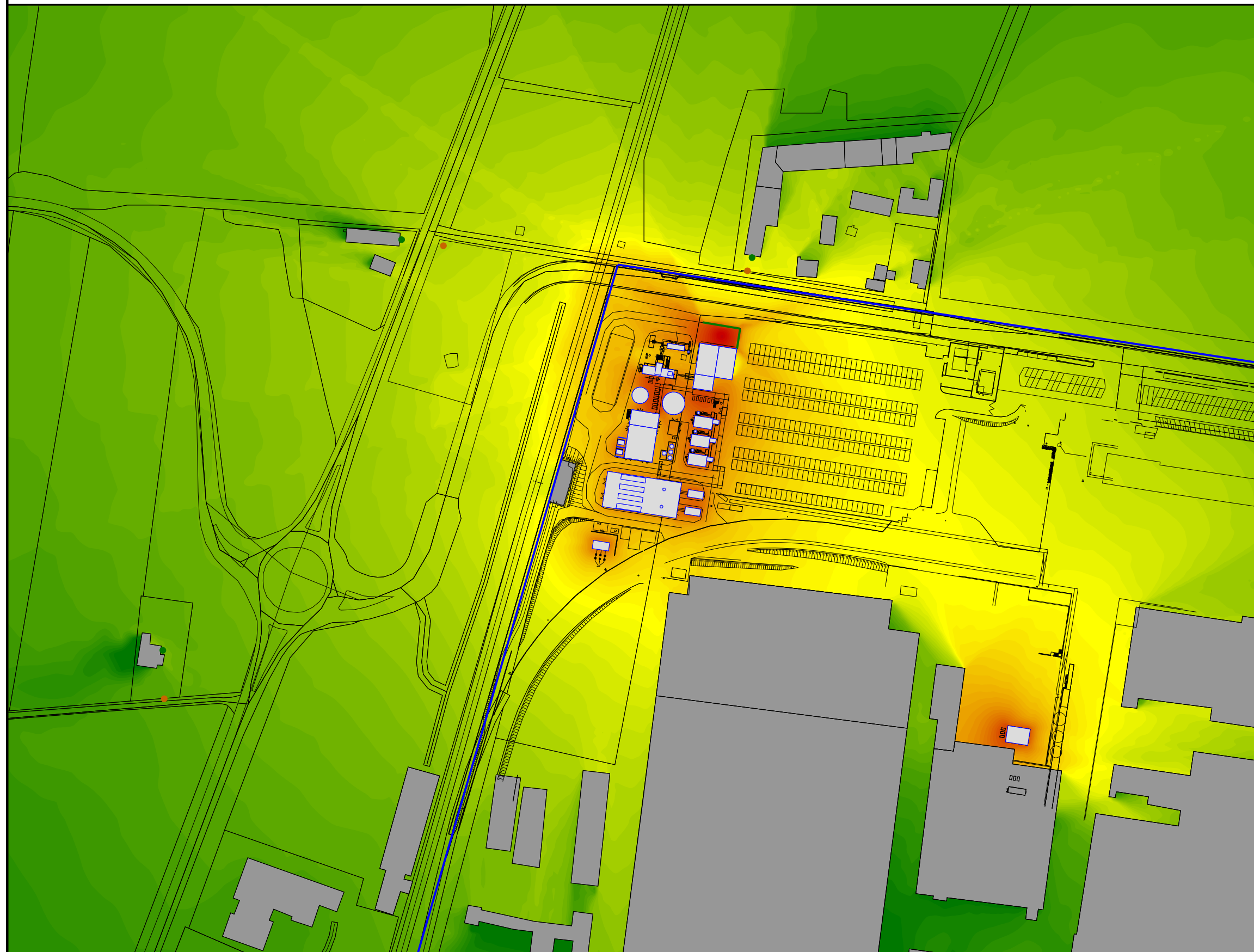
VALUTAZIONE PREVISIONALE IMPATTO ACUSTICO

Allegato: 14

Codifica Doc: C330AV3P001

Rev. 0 del 09/08/21

Mappa del rumore sul piano orizzontale all'altezza di 4 metri dal suolo - Tempo di riferimento Diurno



Legenda

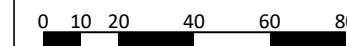
- Stabilimento MICHELIN
- Aree nuovi insediamenti
- Nuovi Impianti
- Edifici esistenti
- Punti ricettori
- Punti di misurazione

Rumore Specifico
L_s (06-22)
in dB(A)

<= 30
30 < <= 35
35 < <= 40
40 < <= 45
45 < <= 50
50 < <= 55
55 < <= 60
60 < <= 65
65 < <= 70
70 < <= 75
75 < <= 80
80 < <= 85
85 < <= 90
90 < <= 95
95 < <= 100
100 <



Scala 1:2000





MICHELIN CUNEO - TRIGENERAZIONE

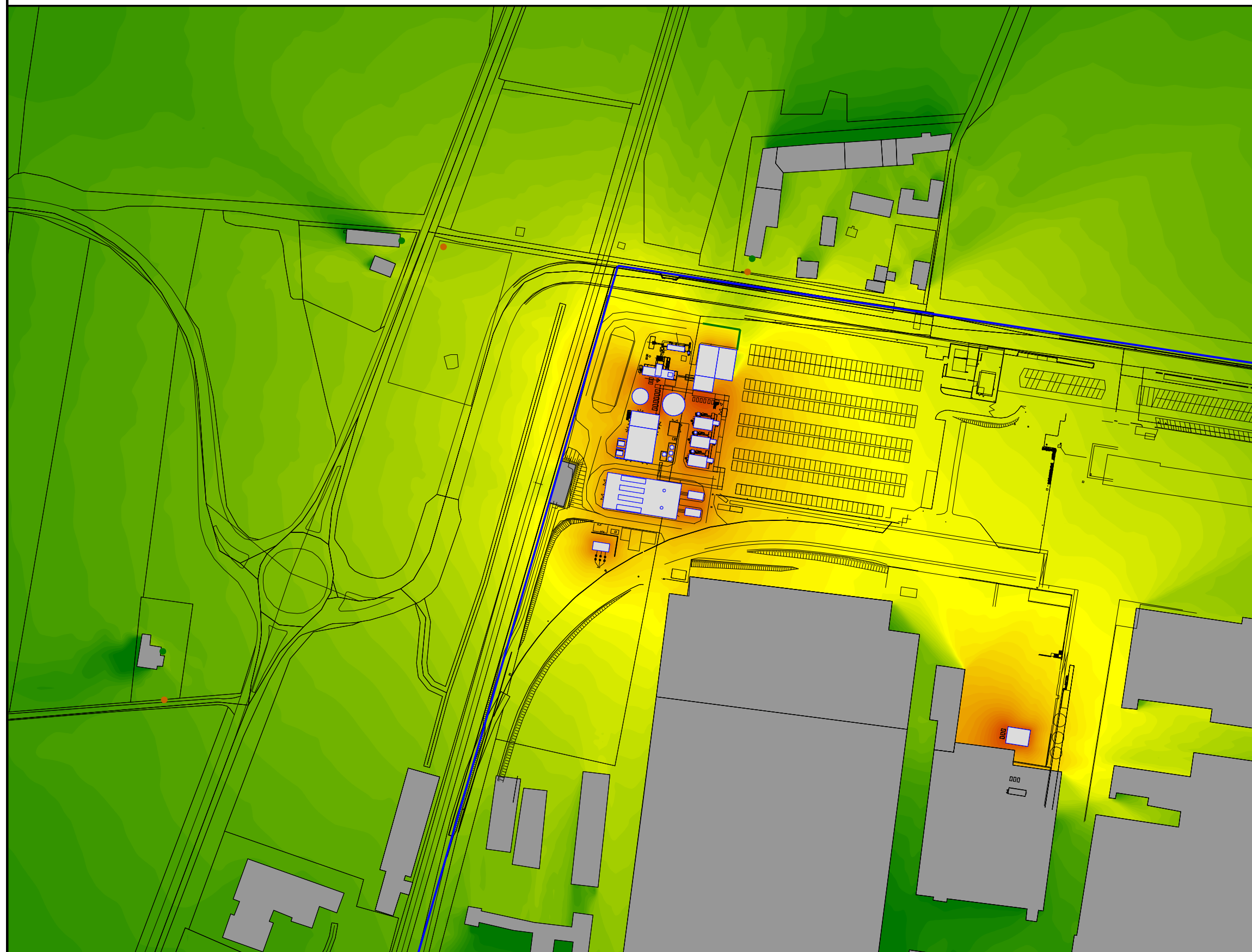
VALUTAZIONE PREVISIONALE IMPATTO ACUSTICO

Allegato: 15

Codifica Doc: C330AV3P001

Rev. 0 del 09/08/21

Mappa del rumore sul piano orizzontale all'altezza di 4 metri dal suolo - Tempo di riferimento Notturmo



Legenda

- Stabilimento MICHELIN
- Aree nuovi insediamenti
- Nuovi Impianti
- Edifici esistenti
- Punti ricettori
- Punti di misurazione

Rumore Specifico
L_s (06-22)
in dB(A)

	<= 30
	30 < <= 35
	35 < <= 40
	40 < <= 45
	45 < <= 50
	50 < <= 55
	55 < <= 60
	60 < <= 65
	65 < <= 70
	70 < <= 75
	75 < <= 80
	80 < <= 85
	85 < <= 90
	90 < <= 95
	95 < <= 100
	100 <



Scala 1:2000





IMPIANTO / Plant
MICHELIN CUNEO - TRIGENERAZIONE
TITOLO/Title

Allegato: 16

Codifica Doc.
C330AV3P001

Valutazione Previsionale Impatto Acustico

Rev.0 del/of 09/08/21

ALLEGATO 16
DETTAGLIO CALCOLI PREVISIONALI
SIMULAZIONE ASS

MICHELIN CUNEO - TRIGENERAZIONE

ALLEGATO 16

Ident:
C330AV3P001

Valutazione previsionale impatto acustico

Simulazione ASS

Sorgente	ipo sorgent	TR	A	S	Lw	Adiv	Agr	Abar	Aatm	dLrefl	Ls	Lr
			m ²	m	dB(A)	dB	dB	dB	dB	dB	dB(A)	dB(A)
Ricevitore R1 L(6-22) 50,9 dB(A) L(22-6) 45,0 dB(A)												
A1	Area	L(6-22)	27,5	45,28	79,4	-44,1	2,3	-5,9	-0,3	0,1	34,4	34,4
A1	Area	L(22-6)	27,5	45,28	79,4	-44,1	2,3	-5,9	-0,3	0,1	34,4	34,4
A2	Area	L(6-22)	27,5	47,08	79,4	-44,4	2,3	-6,2	-0,3	0,1	33,8	33,8
A2	Area	L(22-6)	27,5	47,08	79,4	-44,4	2,3	-6,2	-0,3	0,1	33,8	33,8
AC1	Area	L(6-22)	3,0	102,38	79,8	-51,2	2,8	-21,6	-0,2	1,5	14,1	14,1
AC1	Area	L(22-6)	3,0	102,38	79,8	-51,2	2,8	-21,6	-0,2	1,5	14,1	14,1
AC2	Area	L(6-22)	3,0	105,06	79,8	-51,4	2,8	-21,8	-0,2	1,7	13,8	13,8
AC2	Area	L(22-6)	3,0	105,06	79,8	-51,4	2,8	-21,8	-0,2	1,7	13,8	13,8
AU	Punto	L(6-22)		41,21	102,8	-43,3	2,0	-14,0	-0,1	3,1	50,4	41,4
AU	Punto	L(22-6)		41,21	102,8	-43,3	2,0	-14,0	-0,1	3,1	50,4	41,4
BV1-E	Area	L(6-22)	2,4	81,69	73,8	-49,2	2,7	-8,0	-0,1	0,3	22,5	22,5
BV1-E	Area	L(22-6)	2,4	81,69	73,8	-49,2	2,7	-8,0	-0,1	0,3	22,5	22,5
BV1-N	Area	L(6-22)	3,6	80,77	75,6	-49,1	2,7	-10,1	-0,1	0,1	22,1	22,1
BV1-N	Area	L(22-6)	3,6	80,77	75,6	-49,1	2,7	-10,1	-0,1	0,1	22,1	22,1
BV1-O	Area	L(6-22)	2,4	81,87	73,8	-49,3	2,7	-25,5	-0,2	0,5	5,1	5,1
BV1-O	Area	L(22-6)	2,4	81,87	73,8	-49,3	2,7	-25,5	-0,2	0,5	5,1	5,1
BV1-S	Area	L(6-22)	3,6	82,79	75,6	-49,4	2,7	-17,1	-0,1	1,2	15,9	15,9
BV1-S	Area	L(22-6)	3,6	82,79	75,6	-49,4	2,7	-17,1	-0,1	1,2	15,9	15,9
BV1-T	Area	L(6-22)	6,0	81,77	77,8	-49,2	2,4	-9,8	-0,1	0,5	21,4	21,4
BV1-T	Area	L(22-6)	6,0	81,77	77,8	-49,2	2,4	-9,8	-0,1	0,5	21,4	21,4
BV2-E	Area	L(6-22)	2,4	90,80	73,8	-50,2	2,8	-7,1	-0,2	0,4	22,5	22,5
BV2-E	Area	L(22-6)	2,4	90,80	73,8	-50,2	2,8	-7,1	-0,2	0,4	22,5	22,5
BV2-N	Area	L(6-22)	3,6	89,87	75,6	-50,1	2,8	-11,0	-0,1	0,4	20,5	20,5
BV2-N	Area	L(22-6)	3,6	89,87	75,6	-50,1	2,8	-11,0	-0,1	0,4	20,5	20,5
BV2-O	Area	L(6-22)	2,4	90,96	73,8	-50,2	2,8	-25,6	-0,2	0,3	3,9	3,9
BV2-O	Area	L(22-6)	2,4	90,96	73,8	-50,2	2,8	-25,6	-0,2	0,3	3,9	3,9
BV2-S	Area	L(6-22)	3,6	91,89	75,6	-50,3	2,8	-16,2	-0,1	1,3	16,0	16,0
BV2-S	Area	L(22-6)	3,6	91,89	75,6	-50,3	2,8	-16,2	-0,1	1,3	16,0	16,0
BV2-T	Area	L(6-22)	6,0	90,87	77,8	-50,2	2,7	-8,6	-0,2	0,4	22,0	22,0
BV2-T	Area	L(22-6)	6,0	90,87	77,8	-50,2	2,7	-8,6	-0,2	0,4	22,0	22,0
BV3-E	Area	L(6-22)	2,4	100,08	73,8	-51,0	2,8	-6,4	-0,2	0,4	22,4	22,4
BV3-E	Area	L(22-6)	2,4	100,08	73,8	-51,0	2,8	-6,4	-0,2	0,4	22,4	22,4
BV3-N	Area	L(6-22)	3,6	99,15	75,6	-50,9	2,8	-9,8	-0,2	0,3	20,9	20,9
BV3-N	Area	L(22-6)	3,6	99,15	75,6	-50,9	2,8	-9,8	-0,2	0,3	20,9	20,9
BV3-O	Area	L(6-22)	2,4	100,23	73,8	-51,0	2,8	-25,7	-0,2	0,9	3,6	3,6
BV3-O	Area	L(22-6)	2,4	100,23	73,8	-51,0	2,8	-25,7	-0,2	0,9	3,6	3,6
BV3-S	Area	L(6-22)	3,6	101,17	75,6	-51,1	2,8	-15,9	-0,2	1,9	16,1	16,1
BV3-S	Area	L(22-6)	3,6	101,17	75,6	-51,1	2,8	-15,9	-0,2	1,9	16,1	16,1
BV3-T	Area	L(6-22)	6,0	100,15	77,8	-51,0	2,8	-7,7	-0,2	0,3	22,1	22,1
BV3-T	Area	L(22-6)	6,0	100,15	77,8	-51,0	2,8	-7,7	-0,2	0,3	22,1	22,1
C1	Area	L(6-22)	1,4	122,79	86,5	-52,8	2,7	-6,0	-1,2	0,0	29,2	29,2
C1	Area	L(22-6)	1,4	122,79	86,5	-52,8	2,7	-6,0	-1,2	0,0	29,2	29,2
C2	Area	L(6-22)	1,4	131,02	86,5	-53,3	2,8	-6,1	-1,2	0,0	28,6	28,6
C2	Area	L(22-6)	1,4	131,02	86,5	-53,3	2,8	-6,1	-1,2	0,0	28,6	28,6
C3	Area	L(6-22)	1,2	82,92	67,8	-49,4	2,6	-2,5	-0,1	0,0	18,4	18,4
C3	Area	L(22-6)	1,2	82,92	67,8	-49,4	2,6	-2,5	-0,1	0,0	18,4	18,4
C4	Area	L(6-22)	1,2	91,70	67,8	-50,2	2,6	-2,4	-0,2	0,0	17,6	17,6
C4	Area	L(22-6)	1,2	91,70	67,8	-50,2	2,6	-2,4	-0,2	0,0	17,6	17,6
C5	Area	L(6-22)	1,2	100,58	67,8	-51,0	2,6	-2,4	-0,2	0,0	16,8	16,8
C5	Area	L(22-6)	1,2	100,58	67,8	-51,0	2,6	-2,4	-0,2	0,0	16,8	16,8
C6	Area	L(6-22)	0,5	59,59	76,4	-46,5	2,3	-2,4	-0,1	0,0	29,7	29,7
C6	Area	L(22-6)	0,5	59,59	76,4	-46,5	2,3	-2,4	-0,1	0,0	29,7	29,7
CM-E	Area	L(6-22)	198,9	123,13	83,0	-52,8	2,8	-15,5	-0,9	0,8	20,3	20,3
CM-E	Area	L(22-6)	198,9	123,13	83,0	-52,8	2,8	-15,5	-0,9	0,8	20,3	20,3

SERSYS AMBIENTE SRL Via Acqui, 86 I-10098 Torino (TO) ITALY

1

MICHELIN CUNEO - TRIGENERAZIONE

ALLEGATO 16

Ident:
C330AV3P001

Valutazione previsionale impatto acustico

Simulazione ASS

Sorgente	ipo sorgent	TR	A	S	Lw	Adiv	Agr	Abar	Aatm	dLrefl	Ls	Lr
			m ²	m	dB(A)	dB	dB	dB	dB	dB	dB(A)	dB(A)
CM-N	Area	L(6-22)	417,5	119,20	86,2	-52,5	2,8	-16,3	-0,8	1,1	23,4	23,4
CM-N	Area	L(22-6)	417,5	119,20	86,2	-52,5	2,8	-16,3	-0,8	1,1	23,4	23,4
CM-O	Area	L(6-22)	198,9	133,10	83,0	-53,5	2,8	-22,2	-0,9	2,2	14,4	14,4
CM-O	Area	L(22-6)	198,9	133,10	83,0	-53,5	2,8	-22,2	-0,9	2,2	14,4	14,4
CM-S	Area	L(6-22)	417,5	135,82	86,2	-53,7	2,8	-25,4	-1,4	0,7	12,2	12,2
CM-S	Area	L(22-6)	417,5	135,82	86,2	-53,7	2,8	-25,4	-1,4	0,7	12,2	12,2
CM-T	Area	L(6-22)	628,1	127,55	88,0	-53,1	2,7	-18,1	-0,9	0,6	19,3	19,3
CM-T	Area	L(22-6)	628,1	127,55	88,0	-53,1	2,7	-18,1	-0,9	0,6	19,3	19,3
CR1-E	Area	L(6-22)	19,6	118,06	79,9	-52,4	2,8	-8,1	-0,3	0,2	25,0	25,0
CR1-E	Area	L(22-6)	19,6	118,06	79,9	-52,4	2,8	-8,1	-0,3	0,2	25,0	25,0
CR1-N	Area	L(6-22)	42,0	116,58	83,2	-52,3	2,8	-12,3	-0,3	0,4	24,6	24,6
CR1-N	Area	L(22-6)	42,0	116,58	83,2	-52,3	2,8	-12,3	-0,3	0,4	24,6	24,6
CR1-O	Area	L(6-22)	19,6	118,64	79,9	-52,5	2,8	-21,2	-0,3	0,4	12,2	12,2
CR1-O	Area	L(22-6)	19,6	118,64	79,9	-52,5	2,8	-21,2	-0,3	0,4	12,2	12,2
CR1-S	Area	L(6-22)	42,0	120,09	83,2	-52,6	2,8	-20,0	-0,3	2,2	18,4	18,4
CR1-S	Area	L(22-6)	42,0	120,09	83,2	-52,6	2,8	-20,0	-0,3	2,2	18,4	18,4
CR1-T	Area	L(6-22)	26,3	118,39	81,2	-52,5	2,7	-14,3	-0,3	0,7	17,6	17,6
CR1-T	Area	L(22-6)	26,3	118,39	81,2	-52,5	2,7	-14,3	-0,3	0,7	17,6	17,6
CR2-E	Area	L(6-22)	19,6	126,51	79,9	-53,0	2,8	-7,7	-0,3	0,2	24,9	24,9
CR2-E	Area	L(22-6)	19,6	126,51	79,9	-53,0	2,8	-7,7	-0,3	0,2	24,9	24,9
CR2-N	Area	L(6-22)	42,0	125,02	83,2	-52,9	2,8	-15,1	-0,3	0,8	21,6	21,6
CR2-N	Area	L(22-6)	42,0	125,02	83,2	-52,9	2,8	-15,1	-0,3	0,8	21,6	21,6
CR2-O	Area	L(6-22)	19,6	127,06	79,9	-53,1	2,8	-21,3	-0,3	0,4	11,5	11,5
CR2-O	Area	L(22-6)	19,6	127,06	79,9	-53,1	2,8	-21,3	-0,3	0,4	11,5	11,5
CR2-S	Area	L(6-22)	42,0	128,53	83,2	-53,2	2,8	-19,7	-0,3	1,9	17,8	17,8
CR2-S	Area	L(22-6)	42,0	128,53	83,2	-53,2	2,8	-19,7	-0,3	1,9	17,8	17,8
CR2-T	Area	L(6-22)	26,3	126,82	81,2	-53,1	2,7	-14,1	-0,3	0,9	17,4	17,4
CR2-T	Area	L(22-6)	26,3	126,82	81,2	-53,1	2,7	-14,1	-0,3	0,9	17,4	17,4
CV1-E	Area	L(6-22)	29,1	83,42	81,6	-49,4	2,6	-12,9	-0,1	1,2	26,0	26,0
CV1-E	Area	L(22-6)	29,1	83,42	81,6	-49,4	2,6	-12,9	-0,1	1,2	26,0	26,0
CV1-N	Area	L(6-22)	48,6	80,95	83,9	-49,2	2,6	-14,1	-0,1	0,2	26,2	26,2
CV1-N	Area	L(22-6)	48,6	80,95	83,9	-49,2	2,6	-14,1	-0,1	0,2	26,2	26,2
CV1-O	Area	L(6-22)	29,1	84,25	81,6	-49,5	2,7	-20,1	-0,1	0,1	17,7	17,7
CV1-O	Area	L(22-6)	29,1	84,25	81,6	-49,5	2,7	-20,1	-0,1	0,1	17,7	17,7
CV1-S	Area	L(6-22)	48,6	86,32	83,9	-49,7	2,6	-19,4	-0,1	1,7	22,0	22,0
CV1-S	Area	L(22-6)	48,6	86,32	83,9	-49,7	2,6	-19,4	-0,1	1,7	22,0	22,0
CV1-T	Area	L(6-22)	48,5	83,65	83,9	-49,4	2,5	-15,1	-0,1	0,4	22,1	22,1
CV1-T	Area	L(22-6)	48,5	83,65	83,9	-49,4	2,5	-15,1	-0,1	0,4	22,1	22,1
CV2-E	Area	L(6-22)	29,1	92,51	81,6	-50,3	2,7	-11,8	-0,1	0,4	25,5	25,5
CV2-E	Area	L(22-6)	29,1	92,51	81,6	-50,3	2,7	-11,8	-0,1	0,4	25,5	25,5
CV2-N	Area	L(6-22)	48,6	89,99	83,9	-50,1	2,6	-16,2	-0,1	0,8	23,9	23,9
CV2-N	Area	L(22-6)	48,6	89,99	83,9	-50,1	2,6	-16,2	-0,1	0,8	23,9	23,9
CV2-O	Area	L(6-22)	29,1	93,24	81,6	-50,4	2,7	-20,3	-0,2	0,2	16,7	16,7
CV2-O	Area	L(22-6)	29,1	93,24	81,6	-50,4	2,7	-20,3	-0,2	0,2	16,7	16,7
CV2-S	Area	L(6-22)	48,6	95,36	83,9	-50,6	2,7	-19,4	-0,1	1,8	21,3	21,3
CV2-S	Area	L(22-6)	48,6	95,36	83,9	-50,6	2,7	-19,4	-0,1	1,8	21,3	21,3
CV2-T	Area	L(6-22)	48,5	92,70	83,9	-50,3	2,6	-14,5	-0,1	0,6	22,0	22,0
CV2-T	Area	L(22-6)	48,5	92,70	83,9	-50,3	2,6	-14,5	-0,1	0,6	22,0	22,0
CV3-E	Area	L(6-22)	29,1	101,79	81,6	-51,1	2,7	-10,9	-0,2	0,5	25,6	25,6
CV3-E	Area	L(22-6)	29,1	101,79	81,6	-51,1	2,7	-10,9	-0,2	0,5	25,6	25,6
CV3-N	Area	L(6-22)	48,6	99,21	83,9	-50,9	2,7	-15,7	-0,1	0,9	23,7	23,7
CV3-N	Area	L(22-6)	48,6	99,21	83,9	-50,9	2,7	-15,7	-0,1	0,9	23,7	23,7
CV3-O	Area	L(6-22)	29,1	102,42	81,6	-51,2	2,7	-20,6	-0,2	0,2	15,6	15,6
CV3-O	Area	L(22-6)	29,1	102,42	81,6	-51,2	2,7	-20,6	-0,2	0,2	15,6	15,6
CV3-S	Area	L(6-22)	48,6	104,59	83,9	-51,4	2,7	-19,3	-0,2	2,2	20,9	20,9

Ident:
C330AV3P001

Valutazione previsionale impatto acustico

Simulazione ASS

Sorgente	ipo sorgent	TR	A	S	Lw	Adiv	Agr	Abar	Aatm	dLrefl	Ls	Lr
			m ²	m	dB(A)	dB	dB	dB	dB	dB	dB(A)	dB(A)
CV3-S	Area	L(22-6)	48,6	104,59	83,9	-51,4	2,7	-19,3	-0,2	2,2	20,9	20,9
CV3-T	Area	L(6-22)	48,5	101,93	83,9	-51,2	2,6	-14,0	-0,1	0,8	22,0	22,0
CV3-T	Area	L(22-6)	48,5	101,93	83,9	-51,2	2,6	-14,0	-0,1	0,8	22,0	22,0
DIS1-E	Area	L(6-22)	6,5	120,59	76,1	-52,6	2,7	-8,7	-0,3	0,0	20,2	20,2
DIS1-E	Area	L(22-6)	6,5	120,59	76,1	-52,6	2,7	-8,7	-0,3	0,0	20,2	20,2
DIS1-N	Area	L(6-22)	32,4	121,32	83,1	-52,7	2,7	-9,8	-0,3	0,3	26,3	26,3
DIS1-N	Area	L(22-6)	32,4	121,32	83,1	-52,7	2,7	-9,8	-0,3	0,3	26,3	26,3
DIS1-O	Area	L(6-22)	6,5	124,53	76,1	-52,9	2,7	-17,3	-0,2	2,2	13,6	13,6
DIS1-O	Area	L(22-6)	6,5	124,53	76,1	-52,9	2,7	-17,3	-0,2	2,2	13,6	13,6
DIS1-S	Area	L(6-22)	32,4	123,60	83,1	-52,8	2,7	-19,5	-0,2	5,5	21,7	21,7
DIS1-S	Area	L(22-6)	32,4	123,60	83,1	-52,8	2,7	-19,5	-0,2	5,5	21,7	21,7
DIS1-T	Area	L(6-22)	28,8	122,59	82,6	-52,8	2,7	-10,3	-0,3	2,8	24,8	24,8
DIS1-T	Area	L(22-6)	28,8	122,59	82,6	-52,8	2,7	-10,3	-0,3	2,8	24,8	24,8
DIS2-E	Area	L(6-22)	6,5	125,16	76,1	-52,9	2,7	-9,2	-0,3	0,0	19,4	19,4
DIS2-E	Area	L(22-6)	6,5	125,16	76,1	-52,9	2,7	-9,2	-0,3	0,0	19,4	19,4
DIS2-N	Area	L(6-22)	32,4	125,83	83,1	-53,0	2,7	-14,4	-0,2	2,9	24,1	24,1
DIS2-N	Area	L(22-6)	32,4	125,83	83,1	-53,0	2,7	-14,4	-0,2	2,9	24,1	24,1
DIS2-O	Area	L(6-22)	6,5	128,96	76,1	-53,2	2,7	-17,3	-0,2	1,7	12,9	12,9
DIS2-O	Area	L(22-6)	6,5	128,96	76,1	-53,2	2,7	-17,3	-0,2	1,7	12,9	12,9
DIS2-S	Area	L(6-22)	32,4	128,11	83,1	-53,1	2,7	-19,6	-0,2	4,8	20,7	20,7
DIS2-S	Area	L(22-6)	32,4	128,11	83,1	-53,1	2,7	-19,6	-0,2	4,8	20,7	20,7
DIS2-T	Area	L(6-22)	28,8	127,09	82,6	-53,1	2,7	-10,8	-0,3	2,6	23,8	23,8
DIS2-T	Area	L(22-6)	28,8	127,09	82,6	-53,1	2,7	-10,8	-0,3	2,6	23,8	23,8
DIS3-E	Area	L(6-22)	6,5	129,69	76,1	-53,3	2,7	-8,5	-0,3	0,0	19,8	19,8
DIS3-E	Area	L(22-6)	6,5	129,69	76,1	-53,3	2,7	-8,5	-0,3	0,0	19,8	19,8
DIS3-N	Area	L(6-22)	32,4	130,28	83,1	-53,3	2,7	-15,0	-0,2	2,6	22,9	22,9
DIS3-N	Area	L(22-6)	32,4	130,28	83,1	-53,3	2,7	-15,0	-0,2	2,6	22,9	22,9
DIS3-O	Area	L(6-22)	6,5	133,35	76,1	-53,5	2,7	-18,8	-0,2	1,4	10,7	10,7
DIS3-O	Area	L(22-6)	6,5	133,35	76,1	-53,5	2,7	-18,8	-0,2	1,4	10,7	10,7
DIS3-S	Area	L(6-22)	32,4	132,58	83,1	-53,4	2,7	-19,7	-0,2	4,1	19,5	19,5
DIS3-S	Area	L(22-6)	32,4	132,58	83,1	-53,4	2,7	-19,7	-0,2	4,1	19,5	19,5
DIS3-T	Area	L(6-22)	28,8	131,56	82,6	-53,4	2,7	-11,2	-0,3	2,1	22,6	22,6
DIS3-T	Area	L(22-6)	28,8	131,56	82,6	-53,4	2,7	-11,2	-0,3	2,1	22,6	22,6
DIS4-E	Area	L(6-22)	6,5	134,33	76,1	-53,6	2,7	-8,1	-0,3	0,0	19,8	19,8
DIS4-E	Area	L(22-6)	6,5	134,33	76,1	-53,6	2,7	-8,1	-0,3	0,0	19,8	19,8
DIS4-N	Area	L(6-22)	32,4	134,87	83,1	-53,6	2,7	-15,0	-0,3	1,7	21,7	21,7
DIS4-N	Area	L(22-6)	32,4	134,87	83,1	-53,6	2,7	-15,0	-0,3	1,7	21,7	21,7
DIS4-O	Area	L(6-22)	6,5	137,88	76,1	-53,8	2,7	-18,0	-0,2	0,0	9,9	9,9
DIS4-O	Area	L(22-6)	6,5	137,88	76,1	-53,8	2,7	-18,0	-0,2	0,0	9,9	9,9
DIS4-S	Area	L(6-22)	32,4	137,17	83,1	-53,7	2,7	-19,8	-0,2	0,2	15,2	15,2
DIS4-S	Area	L(22-6)	32,4	137,17	83,1	-53,7	2,7	-19,8	-0,2	0,2	15,2	15,2
DIS4-T	Area	L(6-22)	28,8	136,14	82,6	-53,7	2,7	-11,5	-0,3	0,4	20,3	20,3
DIS4-T	Area	L(22-6)	28,8	136,14	82,6	-53,7	2,7	-11,5	-0,3	0,4	20,3	20,3
FM-E	Area	L(6-22)	4,7	55,00	66,7	-45,8	2,3	-3,6	-0,2	0,0	22,4	22,4
FM-E	Area	L(22-6)	4,7	55,00	66,7	-45,8	2,3	-3,6	-0,2	0,0	22,4	22,4
FM-N	Area	L(6-22)	16,9	56,06	72,3	-46,0	2,3	-0,6	-0,3	0,0	30,7	30,7
FM-N	Area	L(22-6)	16,9	56,06	72,3	-46,0	2,3	-0,6	-0,3	0,0	30,7	30,7
FM-O	Area	L(6-22)	4,7	59,40	66,7	-46,5	2,3	-9,7	-0,2	0,0	15,7	15,7
FM-O	Area	L(22-6)	4,7	59,40	66,7	-46,5	2,3	-9,7	-0,2	0,0	15,7	15,7
FM-S	Area	L(6-22)	16,9	58,10	72,3	-46,3	2,3	-15,6	-0,1	0,3	15,8	15,8
FM-S	Area	L(22-6)	16,9	58,10	72,3	-46,3	2,3	-15,6	-0,1	0,3	15,8	15,8
FM-T	Area	L(6-22)	19,9	57,03	73,0	-46,1	2,3	-7,1	-0,3	0,0	21,8	21,8
FM-T	Area	L(22-6)	19,9	57,03	73,0	-46,1	2,3	-7,1	-0,3	0,0	21,8	21,8
GC-E	Area	L(6-22)	10,0	68,26	65,0	-47,7	2,6	-7,0	-0,1	0,0	15,8	15,8
GC-E	Area	L(22-6)	10,0	68,26	65,0	-47,7	2,6	-7,0	-0,1	0,0	15,8	15,8

Ident:
C330AV3P001

Valutazione previsionale impatto acustico

Simulazione ASS

Sorgente	ipo sorgent	TR	A	S	Lw	Adiv	Agr	Abar	Aatm	dLrefl	Ls	Lr
			m ²	m	dB(A)	dB	dB	dB	dB	dB	dB(A)	dB(A)
GC-N	Area	L(6-22)	38,0	70,09	70,8	-47,9	2,6	-6,9	-0,2	0,0	21,4	21,4
GC-N	Area	L(22-6)	38,0	70,09	70,8	-47,9	2,6	-6,9	-0,2	0,0	21,4	21,4
GC-O	Area	L(6-22)	10,0	75,95	65,0	-48,6	2,6	-9,3	-0,1	0,1	12,7	12,7
GC-O	Area	L(22-6)	10,0	75,95	65,0	-48,6	2,6	-9,3	-0,1	0,1	12,7	12,7
GC-S	Area	L(6-22)	38,0	73,56	70,8	-48,3	2,7	-18,1	-0,1	0,7	10,7	10,7
GC-S	Area	L(22-6)	38,0	73,56	70,8	-48,3	2,7	-18,1	-0,1	0,7	10,7	10,7
GC-T	Area	L(6-22)	60,7	71,80	72,8	-48,1	2,2	-8,1	-0,2	0,3	19,0	19,0
GC-T	Area	L(22-6)	60,7	71,80	72,8	-48,1	2,2	-8,1	-0,2	0,3	19,0	19,0
IC1-E	Area	L(6-22)	2,0	91,01	68,0	-50,2	2,6	-2,7	-0,3	0,1	20,5	20,5
IC1-E	Area	L(22-6)	2,0	91,01	68,0	-50,2	2,6	-2,7	-0,3	0,1	20,5	20,5
IC1-N	Area	L(6-22)	2,0	90,50	68,0	-50,1	2,6	-1,6	-0,3	0,0	21,6	21,6
IC1-N	Area	L(22-6)	2,0	90,50	68,0	-50,1	2,6	-1,6	-0,3	0,0	21,6	21,6
IC1-O	Area	L(6-22)	2,0	91,83	68,0	-50,3	2,6	-7,3	-0,2	0,2	16,0	16,0
IC1-O	Area	L(22-6)	2,0	91,83	68,0	-50,3	2,6	-7,3	-0,2	0,2	16,0	16,0
IC1-S	Area	L(6-22)	2,0	92,34	68,0	-50,3	2,6	-8,4	-0,1	0,4	15,1	15,1
IC1-S	Area	L(22-6)	2,0	92,34	68,0	-50,3	2,6	-8,4	-0,1	0,4	15,1	15,1
IC1-T	Area	L(6-22)	4,0	91,47	71,0	-50,2	2,6	-5,2	-0,2	0,2	18,1	18,1
IC1-T	Area	L(22-6)	4,0	91,47	71,0	-50,2	2,6	-5,2	-0,2	0,2	18,1	18,1
IC2-E	Area	L(6-22)	2,0	89,96	68,0	-50,1	2,6	-11,2	-0,2	0,7	12,9	12,9
IC2-E	Area	L(22-6)	2,0	89,96	68,0	-50,1	2,6	-11,2	-0,2	0,7	12,9	12,9
IC2-N	Area	L(6-22)	2,0	89,41	68,0	-50,0	2,6	-6,0	-0,2	0,0	17,3	17,3
IC2-N	Area	L(22-6)	2,0	89,41	68,0	-50,0	2,6	-6,0	-0,2	0,0	17,3	17,3
IC2-O	Area	L(6-22)	2,0	90,73	68,0	-50,1	2,6	-7,4	-0,2	0,2	16,0	16,0
IC2-O	Area	L(22-6)	2,0	90,73	68,0	-50,1	2,6	-7,4	-0,2	0,2	16,0	16,0
IC2-S	Area	L(6-22)	2,0	91,28	68,0	-50,2	2,6	-15,1	-0,1	1,1	9,2	9,2
IC2-S	Area	L(22-6)	2,0	91,28	68,0	-50,2	2,6	-15,1	-0,1	1,1	9,2	9,2
IC2-T	Area	L(6-22)	4,0	90,38	71,0	-50,1	2,6	-12,1	-0,2	0,6	11,9	11,9
IC2-T	Area	L(22-6)	4,0	90,38	71,0	-50,1	2,6	-12,1	-0,2	0,6	11,9	11,9
P1	Punto	L(6-22)		79,05	89,0	-49,0	2,8	-20,7	-0,2	0,2	22,2	22,2
P1	Punto	L(22-6)		79,05	89,0	-49,0	2,8	-20,7	-0,2	0,2	22,2	22,2
P10	Punto	L(6-22)		73,96	89,0	-48,4	2,8	-21,6	-0,2	0,2	21,8	21,8
P10	Punto	L(22-6)		73,96	89,0	-48,4	2,8	-21,6	-0,2	0,2	21,8	21,8
P11	Punto	L(6-22)		73,58	89,0	-48,3	2,8	-22,0	-0,2	0,6	21,9	21,9
P11	Punto	L(22-6)		73,58	89,0	-48,3	2,8	-22,0	-0,2	0,6	21,9	21,9
P12	Punto	L(6-22)		73,22	89,0	-48,3	2,8	-20,3	-0,2	1,4	24,4	24,4
P12	Punto	L(22-6)		73,22	89,0	-48,3	2,8	-20,3	-0,2	1,4	24,4	24,4
P13	Punto	L(6-22)		72,87	89,0	-48,2	2,8	-19,9	-0,2	1,2	24,7	24,7
P13	Punto	L(22-6)		72,87	89,0	-48,2	2,8	-19,9	-0,2	1,2	24,7	24,7
P14	Punto	L(6-22)		72,59	89,0	-48,2	2,8	-19,0	-0,2	1,3	25,7	25,7
P14	Punto	L(22-6)		72,59	89,0	-48,2	2,8	-19,0	-0,2	1,3	25,7	25,7
P15	Punto	L(6-22)		72,37	89,0	-48,2	2,8	-17,5	-0,2	0,9	26,8	26,8
P15	Punto	L(22-6)		72,37	89,0	-48,2	2,8	-17,5	-0,2	0,9	26,8	26,8
P16	Punto	L(6-22)		259,59	89,0	-59,3	4,1	-8,1	-1,5	0,4	24,7	24,7
P16	Punto	L(22-6)		259,59	89,0	-59,3	4,1	-8,1	-1,5	0,4	24,7	24,7
P17	Punto	L(6-22)		261,05	89,0	-59,3	4,1	-8,1	-1,5	2,7	27,0	27,0
P17	Punto	L(22-6)		261,05	89,0	-59,3	4,1	-8,1	-1,5	2,7	27,0	27,0
P18	Punto	L(6-22)		262,60	89,0	-59,4	4,1	-8,1	-1,5	2,6	26,8	26,8
P18	Punto	L(22-6)		262,60	89,0	-59,4	4,1	-8,1	-1,5	2,6	26,8	26,8
P2	Punto	L(6-22)		80,59	89,0	-49,1	2,8	-20,5	-0,2	0,2	22,2	22,2
P2	Punto	L(22-6)		80,59	89,0	-49,1	2,8	-20,5	-0,2	0,2	22,2	22,2
P3	Punto	L(6-22)		82,27	89,0	-49,3	2,8	-20,7	-0,3	0,2	21,8	21,8
P3	Punto	L(22-6)		82,27	89,0	-49,3	2,8	-20,7	-0,3	0,2	21,8	21,8
P4	Punto	L(6-22)		83,84	89,0	-49,5	2,8	-20,4	-0,3	0,7	22,4	22,4
P4	Punto	L(22-6)		83,84	89,0	-49,5	2,8	-20,4	-0,3	0,7	22,4	22,4
P5	Punto	L(6-22)		85,50	89,0	-49,6	2,8	-13,6	-0,3	0,2	28,5	28,5

Ident:
C330AV3P001

Valutazione previsionale impatto acustico

Simulazione ASS

Sorgente	ipo sorgent	TR	A	S	Lw	Adiv	Agr	Abar	Aatm	dLrefl	Ls	Lr
			m ²	m	dB(A)	dB	dB	dB	dB	dB	dB(A)	dB(A)
P5	Punto	L(22-6)		85,50	89,0	-49,6	2,8	-13,6	-0,3	0,2	28,5	28,5
P6	Punto	L(6-22)		87,14	89,0	-49,8	2,8	-6,8	-0,3	0,1	35,0	35,0
P6	Punto	L(22-6)		87,14	89,0	-49,8	2,8	-6,8	-0,3	0,1	35,0	35,0
P7	Punto	L(6-22)		76,10	89,0	-48,6	2,7	-20,0	-0,2	0,2	23,2	23,2
P7	Punto	L(22-6)		76,10	89,0	-48,6	2,7	-20,0	-0,2	0,2	23,2	23,2
P8	Punto	L(6-22)		77,06	89,0	-48,7	2,7	-19,4	-0,2	0,2	23,6	23,6
P8	Punto	L(22-6)		77,06	89,0	-48,7	2,7	-19,4	-0,2	0,2	23,6	23,6
P9	Punto	L(6-22)		78,11	89,0	-48,8	2,8	-18,8	-0,2	0,2	24,1	24,1
P9	Punto	L(22-6)		78,11	89,0	-48,8	2,8	-18,8	-0,2	0,2	24,1	24,1
PM	Punto	L(6-22)		40,90	106,2	-43,2	2,0	-14,8	-0,1	3,1	53,2	49,0
PM	Punto	L(22-6)		40,90	106,2	-43,2	2,0	-14,8	-0,1	3,1	53,2	49,0
SC-E	Area	L(6-22)	22,1	68,82	68,4	-47,7	2,5	-1,7	-0,4	0,0	24,1	24,1
SC-E	Area	L(22-6)	22,1	68,82	68,4	-47,7	2,5	-1,7	-0,4	0,0	24,1	24,1
SC-N	Area	L(6-22)	24,0	68,40	68,8	-47,7	2,5	-0,9	-0,4	0,0	25,2	25,2
SC-N	Area	L(22-6)	24,0	68,40	68,8	-47,7	2,5	-0,9	-0,4	0,0	25,2	25,2
SC-O	Area	L(6-22)	22,1	69,79	68,4	-47,9	2,5	-7,9	-0,3	0,0	17,9	17,9
SC-O	Area	L(22-6)	22,1	69,79	68,4	-47,9	2,5	-7,9	-0,3	0,0	17,9	17,9
SC-S	Area	L(6-22)	24,0	70,22	68,8	-47,9	2,5	-12,2	-0,2	0,3	14,3	14,3
SC-S	Area	L(22-6)	24,0	70,22	68,8	-47,9	2,5	-12,2	-0,2	0,3	14,3	14,3
SC-T	Area	L(6-22)	4,4	69,91	61,4	-47,9	2,5	-6,9	-0,3	0,1	8,9	8,9
SC-T	Area	L(22-6)	4,4	69,91	61,4	-47,9	2,5	-6,9	-0,3	0,1	8,9	8,9
SS-E	Area	L(6-22)	72,6	70,44	73,6	-47,9	2,5	-0,6	-0,3	0,0	30,3	30,3
SS-E	Area	L(22-6)	72,6	70,44	73,6	-47,9	2,5	-0,6	-0,3	0,0	30,3	30,3
SS-N	Area	L(6-22)	36,8	68,68	70,7	-47,7	2,4	-0,6	-0,3	0,0	27,5	27,5
SS-N	Area	L(22-6)	36,8	68,68	70,7	-47,7	2,4	-0,6	-0,3	0,0	27,5	27,5
SS-O	Area	L(6-22)	72,6	71,77	73,6	-48,1	2,5	-10,6	-0,2	0,0	20,2	20,2
SS-O	Area	L(22-6)	72,6	71,77	73,6	-48,1	2,5	-10,6	-0,2	0,0	20,2	20,2
SS-S	Area	L(6-22)	37,3	73,45	70,7	-48,3	2,5	-12,5	-0,2	0,5	15,8	15,8
SS-S	Area	L(22-6)	37,3	73,45	70,7	-48,3	2,5	-12,5	-0,2	0,5	15,8	15,8
SS-T	Area	L(6-22)	15,9	71,88	67,0	-48,1	2,5	-6,8	-0,2	0,2	14,5	14,5
SS-T	Area	L(22-6)	15,9	71,88	67,0	-48,1	2,5	-6,8	-0,2	0,2	14,5	14,5
T1-E	Area	L(6-22)	4,8	109,42	76,8	-51,8	2,8	-23,1	-0,2	2,5	10,0	10,0
T1-E	Area	L(22-6)	4,8	109,42	76,8	-51,8	2,8	-23,1	-0,2	2,5	10,0	10,0
T1-N	Area	L(6-22)	7,1	109,16	78,5	-51,8	2,8	-22,3	-0,2	3,1	13,2	13,2
T1-N	Area	L(22-6)	7,1	109,16	78,5	-51,8	2,8	-22,3	-0,2	3,1	13,2	13,2
T1-O	Area	L(6-22)	4,8	110,81	76,8	-51,9	2,8	-20,9	-0,2	2,2	11,8	11,8
T1-O	Area	L(22-6)	4,8	110,81	76,8	-51,9	2,8	-20,9	-0,2	2,2	11,8	11,8
T1-S	Area	L(6-22)	7,1	111,06	78,5	-51,9	2,8	-22,7	-0,2	2,9	12,4	12,4
T1-S	Area	L(22-6)	7,1	111,06	78,5	-51,9	2,8	-22,7	-0,2	2,9	12,4	12,4
T1-T	Area	L(6-22)	6,5	110,11	78,1	-51,8	2,8	-19,1	-0,2	1,4	11,3	11,3
T1-T	Area	L(22-6)	6,5	110,11	78,1	-51,8	2,8	-19,1	-0,2	1,4	11,3	11,3
T2-E	Area	L(6-22)	4,8	113,69	76,8	-52,1	2,8	-23,0	-0,2	3,1	10,3	10,3
T2-E	Area	L(22-6)	4,8	113,69	76,8	-52,1	2,8	-23,0	-0,2	3,1	10,3	10,3
T2-N	Area	L(6-22)	7,1	113,40	78,5	-52,1	2,8	-22,5	-0,2	3,8	13,4	13,4
T2-N	Area	L(22-6)	7,1	113,40	78,5	-52,1	2,8	-22,5	-0,2	3,8	13,4	13,4
T2-O	Area	L(6-22)	4,8	115,02	76,8	-52,2	2,8	-21,4	-0,2	2,5	11,3	11,3
T2-O	Area	L(22-6)	4,8	115,02	76,8	-52,2	2,8	-21,4	-0,2	2,5	11,3	11,3
T2-S	Area	L(6-22)	7,1	115,31	78,5	-52,2	2,8	-22,7	-0,2	3,2	12,3	12,3
T2-S	Area	L(22-6)	7,1	115,31	78,5	-52,2	2,8	-22,7	-0,2	3,2	12,3	12,3
T2-T	Area	L(6-22)	6,5	114,34	78,1	-52,2	2,8	-19,9	-0,2	2,1	10,8	10,8
T2-T	Area	L(22-6)	6,5	114,34	78,1	-52,2	2,8	-19,9	-0,2	2,1	10,8	10,8
TE-E	Area	L(6-22)	10,0	156,81	80,0	-54,9	2,9	-22,4	-0,3	0,0	8,2	8,2
TE-E	Area	L(22-6)	10,0	156,81	80,0	-54,9	2,9	-22,4	-0,3	0,0	8,2	8,2
TE-N	Area	L(6-22)	20,0	156,17	83,0	-54,9	2,9	-21,9	-0,3	0,1	12,0	12,0
TE-N	Area	L(22-6)	20,0	156,17	83,0	-54,9	2,9	-21,9	-0,3	0,1	12,0	12,0

Ident:
C330AV3P001

Valutazione previsionale impatto acustico

Simulazione ASS

Sorgente	ipo sorgent	TR	A	S	Lw	Adiv	Agr	Abar	Aatm	dLrefl	Ls	Lr
			m ²	m	dB(A)	dB	dB	dB	dB	dB	dB(A)	dB(A)
TE-O	Area	L(6-22)	10,0	159,38	80,0	-55,0	2,9	-21,4	-0,3	0,4	9,6	9,6
TE-O	Area	L(22-6)	10,0	159,38	80,0	-55,0	2,9	-21,4	-0,3	0,4	9,6	9,6
TE-S	Area	L(6-22)	20,0	159,98	83,0	-55,1	2,9	-22,9	-0,3	0,0	10,6	10,6
TE-S	Area	L(22-6)	20,0	159,98	83,0	-55,1	2,9	-22,9	-0,3	0,0	10,6	10,6
TE-T	Area	L(6-22)	32,0	158,08	85,1	-55,0	2,8	-22,2	-0,3	0,1	10,6	10,6
TE-T	Area	L(22-6)	32,0	158,08	85,1	-55,0	2,8	-22,2	-0,3	0,1	10,6	10,6
TO-E	Area	L(6-22)	32,0	269,13	85,1	-59,6	3,7	-16,5	-1,3	0,1	14,4	14,4
TO-E	Area	L(22-6)	32,0	269,13	85,1	-59,6	3,7	-16,5	-1,3	0,1	14,4	14,4
TO-N	Area	L(6-22)	43,6	262,58	86,4	-59,4	3,6	-1,3	-6,0	0,0	26,4	26,4
TO-N	Area	L(22-6)	43,6	262,58	86,4	-59,4	3,6	-1,3	-6,0	0,0	26,4	26,4
TO-O	Area	L(6-22)	32,0	262,39	85,1	-59,4	3,6	-1,3	-5,8	0,1	25,4	25,4
TO-O	Area	L(22-6)	32,0	262,39	85,1	-59,4	3,6	-1,3	-5,8	0,1	25,4	25,4
TO-S	Area	L(6-22)	43,6	268,91	86,4	-59,6	3,7	-18,2	-1,2	4,6	18,6	18,6
TO-S	Area	L(22-6)	43,6	268,91	86,4	-59,6	3,7	-18,2	-1,2	4,6	18,6	18,6
TO-T	Area	L(6-22)	87,2	265,74	89,4	-59,5	3,0	-7,7	-3,9	1,3	22,6	22,6
TO-T	Area	L(22-6)	87,2	265,74	89,4	-59,5	3,0	-7,7	-3,9	1,3	22,6	22,6
VF	Punto	L(6-22)		51,65	71,0	-45,3	2,4	-6,0	-0,2	0,0	21,9	21,9
VF	Punto	L(22-6)		51,65	71,0	-45,3	2,4	-6,0	-0,2	0,0	21,9	21,9

MICHELIN CUNEO - TRIGENERAZIONE

ALLEGATO 16

Ident:
C330AV3P001

Valutazione previsionale impatto acustico

Simulazione ASS

Sorgente	ipo sorgent	TR	A	S	Lw	Adiv	Agr	Abar	Aatm	dLrefl	Ls	Lr
			m ²	m	dB(A)	dB	dB	dB	dB	dB	dB(A)	dB(A)
Ricevitore R2 L(6-22) 45,8 dB(A) L(22-6) 43,5 dB(A)												
A1	Area	L(6-22)	27,5	167,07	79,4	-55,4	2,8	-4,6	-1,3	0,2	24,1	24,1
A1	Area	L(22-6)	27,5	167,07	79,4	-55,4	2,8	-4,6	-1,3	0,2	24,1	24,1
A2	Area	L(6-22)	27,5	158,07	79,4	-55,0	2,8	-4,3	-1,2	0,1	24,9	24,9
A2	Area	L(22-6)	27,5	158,07	79,4	-55,0	2,8	-4,3	-1,2	0,1	24,9	24,9
AC1	Area	L(6-22)	3,0	143,45	79,8	-54,1	2,8	-7,6	-0,4	0,0	23,4	23,4
AC1	Area	L(22-6)	3,0	143,45	79,8	-54,1	2,8	-7,6	-0,4	0,0	23,4	23,4
AC2	Area	L(6-22)	3,0	145,01	79,8	-54,2	2,8	-7,6	-0,4	1,7	25,0	25,0
AC2	Area	L(22-6)	3,0	145,01	79,8	-54,2	2,8	-7,6	-0,4	1,7	25,0	25,0
AU	Punto	L(6-22)		160,09	102,8	-55,1	2,8	-7,6	-0,9	0,2	42,2	33,2
AU	Punto	L(22-6)		160,09	102,8	-55,1	2,8	-7,6	-0,9	0,2	42,2	
BV1-E	Area	L(6-22)	2,4	177,94	73,8	-56,0	2,8	-14,3	-0,3	0,2	9,3	9,3
BV1-E	Area	L(22-6)	2,4	177,94	73,8	-56,0	2,8	-14,3	-0,3	0,2	9,3	9,3
BV1-N	Area	L(6-22)	3,6	176,16	75,6	-55,9	2,8	-8,5	-0,3	0,0	16,6	16,6
BV1-N	Area	L(22-6)	3,6	176,16	75,6	-55,9	2,8	-8,5	-0,3	0,0	16,6	16,6
BV1-O	Area	L(6-22)	2,4	175,12	73,8	-55,9	2,8	-25,4	-0,3	0,6	-1,4	-1,4
BV1-O	Area	L(22-6)	2,4	175,12	73,8	-55,9	2,8	-25,4	-0,3	0,6	-1,4	-1,4
BV1-S	Area	L(6-22)	3,6	176,89	75,6	-55,9	2,8	-19,4	-0,3	0,7	6,4	6,4
BV1-S	Area	L(22-6)	3,6	176,89	75,6	-55,9	2,8	-19,4	-0,3	0,7	6,4	6,4
BV1-T	Area	L(6-22)	6,0	176,53	77,8	-55,9	2,8	-11,6	-0,3	0,1	12,8	12,8
BV1-T	Area	L(22-6)	6,0	176,53	77,8	-55,9	2,8	-11,6	-0,3	0,1	12,8	12,8
BV2-E	Area	L(6-22)	2,4	181,32	73,8	-56,2	2,8	-19,0	-0,3	1,4	5,6	5,6
BV2-E	Area	L(22-6)	2,4	181,32	73,8	-56,2	2,8	-19,0	-0,3	1,4	5,6	5,6
BV2-N	Area	L(6-22)	3,6	179,53	75,6	-56,1	2,8	-12,7	-0,3	0,3	12,6	12,6
BV2-N	Area	L(22-6)	3,6	179,53	75,6	-56,1	2,8	-12,7	-0,3	0,3	12,6	12,6
BV2-O	Area	L(6-22)	2,4	178,56	73,8	-56,0	2,8	-26,0	-0,4	6,5	3,6	3,6
BV2-O	Area	L(22-6)	2,4	178,56	73,8	-56,0	2,8	-26,0	-0,4	6,5	3,6	3,6
BV2-S	Area	L(6-22)	3,6	180,34	75,6	-56,1	2,8	-19,4	-0,3	1,1	6,7	6,7
BV2-S	Area	L(22-6)	3,6	180,34	75,6	-56,1	2,8	-19,4	-0,3	1,1	6,7	6,7
BV2-T	Area	L(6-22)	6,0	179,93	77,8	-56,1	2,8	-15,6	-0,3	0,4	9,0	9,0
BV2-T	Area	L(22-6)	6,0	179,93	77,8	-56,1	2,8	-15,6	-0,3	0,4	9,0	9,0
BV3-E	Area	L(6-22)	2,4	185,27	73,8	-56,3	2,8	-18,0	-0,3	0,8	5,8	5,8
BV3-E	Area	L(22-6)	2,4	185,27	73,8	-56,3	2,8	-18,0	-0,3	0,8	5,8	5,8
BV3-N	Area	L(6-22)	3,6	183,47	75,6	-56,3	2,8	-17,9	-0,2	0,9	7,9	7,9
BV3-N	Area	L(22-6)	3,6	183,47	75,6	-56,3	2,8	-17,9	-0,2	0,9	7,9	7,9
BV3-O	Area	L(6-22)	2,4	182,57	73,8	-56,2	2,8	-24,9	-0,3	3,8	1,9	1,9
BV3-O	Area	L(22-6)	2,4	182,57	73,8	-56,2	2,8	-24,9	-0,3	3,8	1,9	1,9
BV3-S	Area	L(6-22)	3,6	184,37	75,6	-56,3	2,8	-20,5	-0,3	1,0	5,3	5,3
BV3-S	Area	L(22-6)	3,6	184,37	75,6	-56,3	2,8	-20,5	-0,3	1,0	5,3	5,3
BV3-T	Area	L(6-22)	6,0	183,92	77,8	-56,3	2,8	-15,4	-0,3	0,5	9,0	9,0
BV3-T	Area	L(22-6)	6,0	183,92	77,8	-56,3	2,8	-15,4	-0,3	0,5	9,0	9,0
C1	Area	L(6-22)	1,4	177,51	86,5	-56,0	2,7	-5,7	-1,8	0,0	25,8	25,8
C1	Area	L(22-6)	1,4	177,51	86,5	-56,0	2,7	-5,7	-1,8	0,0	25,8	25,8
C2	Area	L(6-22)	1,4	182,49	86,5	-56,2	2,7	-5,5	-1,6	0,0	25,8	25,8
C2	Area	L(22-6)	1,4	182,49	86,5	-56,2	2,7	-5,5	-1,6	0,0	25,8	25,8
C3	Area	L(6-22)	1,2	168,35	67,8	-55,5	2,7	-2,3	-0,3	0,0	12,4	12,4
C3	Area	L(22-6)	1,2	168,35	67,8	-55,5	2,7	-2,3	-0,3	0,0	12,4	12,4
C4	Area	L(6-22)	1,2	171,87	67,8	-55,7	2,7	-2,4	-0,3	0,0	12,1	12,1
C4	Area	L(22-6)	1,2	171,87	67,8	-55,7	2,7	-2,4	-0,3	0,0	12,1	12,1
C5	Area	L(6-22)	1,2	175,86	67,8	-55,9	2,7	-2,3	-0,3	0,0	12,0	12,0
C5	Area	L(22-6)	1,2	175,86	67,8	-55,9	2,7	-2,3	-0,3	0,0	12,0	12,0
C6	Area	L(6-22)	0,5	151,20	76,4	-54,6	2,6	-2,1	-0,3	0,0	22,1	22,1
C6	Area	L(22-6)	0,5	151,20	76,4	-54,6	2,6	-2,1	-0,3	0,0	22,1	22,1
CM-E	Area	L(6-22)	198,9	184,98	83,0	-56,3	2,8	-24,5	-1,5	0,5	7,0	7,0
CM-E	Area	L(22-6)	198,9	184,98	83,0	-56,3	2,8	-24,5	-1,5	0,5	7,0	7,0

Ident:
C330AV3P001

Valutazione previsionale impatto acustico

Simulazione ASS

Sorgente	ipo sorgent	TR	A	S	Lw	Adiv	Agr	Abar	Aatm	dLrefl	Ls	Lr
			m ²	m	dB(A)	dB	dB	dB	dB	dB	dB(A)	dB(A)
CM-N	Area	L(6-22)	417,5	164,60	86,2	-55,3	2,7	-3,6	-2,5	1,3	31,9	31,9
CM-N	Area	L(22-6)	417,5	164,60	86,2	-55,3	2,7	-3,6	-2,5	1,3	31,9	31,9
CM-O	Area	L(6-22)	198,9	156,27	83,0	-54,9	2,7	-1,2	-2,6	0,0	30,1	30,1
CM-O	Area	L(22-6)	198,9	156,27	83,0	-54,9	2,7	-1,2	-2,6	0,0	30,1	30,1
CM-S	Area	L(6-22)	417,5	175,30	86,2	-55,9	2,7	-20,8	-1,2	0,2	14,4	14,4
CM-S	Area	L(22-6)	417,5	175,30	86,2	-55,9	2,7	-20,8	-1,2	0,2	14,4	14,4
CM-T	Area	L(6-22)	628,1	169,99	88,0	-55,6	2,7	-12,7	-2,0	1,6	22,0	22,0
CM-T	Area	L(22-6)	628,1	169,99	88,0	-55,6	2,7	-12,7	-2,0	1,6	22,0	22,0
CR1-E	Area	L(6-22)	19,6	192,22	79,9	-56,7	2,9	-21,6	-0,4	0,0	7,2	7,2
CR1-E	Area	L(22-6)	19,6	192,22	79,9	-56,7	2,9	-21,6	-0,4	0,0	7,2	7,2
CR1-N	Area	L(6-22)	42,0	188,07	83,2	-56,5	2,9	-16,8	-0,4	0,0	15,5	15,5
CR1-N	Area	L(22-6)	42,0	188,07	83,2	-56,5	2,9	-16,8	-0,4	0,0	15,5	15,5
CR1-O	Area	L(6-22)	19,6	185,84	79,9	-56,4	2,9	-21,5	-0,4	0,0	7,5	7,5
CR1-O	Area	L(22-6)	19,6	185,84	79,9	-56,4	2,9	-21,5	-0,4	0,0	7,5	7,5
CR1-S	Area	L(6-22)	42,0	189,93	83,2	-56,6	2,9	-23,8	-0,5	0,0	8,3	8,3
CR1-S	Area	L(22-6)	42,0	189,93	83,2	-56,6	2,9	-23,8	-0,5	0,0	8,3	8,3
CR1-T	Area	L(6-22)	26,3	189,04	81,2	-56,5	2,8	-19,8	-0,4	0,0	7,3	7,3
CR1-T	Area	L(22-6)	26,3	189,04	81,2	-56,5	2,8	-19,8	-0,4	0,0	7,3	7,3
CR2-E	Area	L(6-22)	19,6	196,66	79,9	-56,9	3,0	-23,8	-0,5	0,4	5,2	5,2
CR2-E	Area	L(22-6)	19,6	196,66	79,9	-56,9	3,0	-23,8	-0,5	0,4	5,2	5,2
CR2-N	Area	L(6-22)	42,0	192,53	83,2	-56,7	2,9	-22,0	-0,4	0,4	10,5	10,5
CR2-N	Area	L(22-6)	42,0	192,53	83,2	-56,7	2,9	-22,0	-0,4	0,4	10,5	10,5
CR2-O	Area	L(6-22)	19,6	190,42	79,9	-56,6	2,9	-24,4	-0,5	0,4	4,8	4,8
CR2-O	Area	L(22-6)	19,6	190,42	79,9	-56,6	2,9	-24,4	-0,5	0,4	4,8	4,8
CR2-S	Area	L(6-22)	42,0	194,50	83,2	-56,8	2,9	-24,6	-0,5	0,6	7,9	7,9
CR2-S	Area	L(22-6)	42,0	194,50	83,2	-56,8	2,9	-24,6	-0,5	0,6	7,9	7,9
CR2-T	Area	L(6-22)	26,3	193,54	81,2	-56,7	2,8	-22,7	-0,4	0,8	5,0	5,0
CR2-T	Area	L(22-6)	26,3	193,54	81,2	-56,7	2,8	-22,7	-0,4	0,8	5,0	5,0
CV1-E	Area	L(6-22)	29,1	175,60	81,6	-55,9	2,8	-18,1	-0,3	0,3	13,5	13,5
CV1-E	Area	L(22-6)	29,1	175,60	81,6	-55,9	2,8	-18,1	-0,3	0,3	13,5	13,5
CV1-N	Area	L(6-22)	48,6	170,36	83,9	-55,6	2,8	-11,1	-0,2	0,0	22,7	22,7
CV1-N	Area	L(22-6)	48,6	170,36	83,9	-55,6	2,8	-11,1	-0,2	0,0	22,7	22,7
CV1-O	Area	L(6-22)	29,1	167,25	81,6	-55,5	2,8	-14,0	-0,2	0,2	17,9	17,9
CV1-O	Area	L(22-6)	29,1	167,25	81,6	-55,5	2,8	-14,0	-0,2	0,2	17,9	17,9
CV1-S	Area	L(6-22)	48,6	172,41	83,9	-55,7	2,8	-17,1	-0,2	0,5	17,2	17,2
CV1-S	Area	L(22-6)	48,6	172,41	83,9	-55,7	2,8	-17,1	-0,2	0,5	17,2	17,2
CV1-T	Area	L(6-22)	48,5	171,38	83,9	-55,7	2,7	-15,2	-0,2	0,6	16,1	16,1
CV1-T	Area	L(22-6)	48,5	171,38	83,9	-55,7	2,7	-15,2	-0,2	0,6	16,1	16,1
CV2-E	Area	L(6-22)	29,1	179,09	81,6	-56,1	2,8	-19,5	-0,3	1,0	12,7	12,7
CV2-E	Area	L(22-6)	29,1	179,09	81,6	-56,1	2,8	-19,5	-0,3	1,0	12,7	12,7
CV2-N	Area	L(6-22)	48,6	173,82	83,9	-55,8	2,8	-9,4	-0,3	0,1	24,3	24,3
CV2-N	Area	L(22-6)	48,6	173,82	83,9	-55,8	2,8	-9,4	-0,3	0,1	24,3	24,3
CV2-O	Area	L(6-22)	29,1	170,91	81,6	-55,6	2,8	-10,1	-0,3	1,4	22,8	22,8
CV2-O	Area	L(22-6)	29,1	170,91	81,6	-55,6	2,8	-10,1	-0,3	1,4	22,8	22,8
CV2-S	Area	L(6-22)	48,6	176,11	83,9	-55,9	2,9	-21,3	-0,3	8,5	20,8	20,8
CV2-S	Area	L(22-6)	48,6	176,11	83,9	-55,9	2,9	-21,3	-0,3	8,5	20,8	20,8
CV2-T	Area	L(6-22)	48,5	174,97	83,9	-55,9	2,7	-13,5	-0,2	4,1	21,0	21,0
CV2-T	Area	L(22-6)	48,5	174,97	83,9	-55,9	2,7	-13,5	-0,2	4,1	21,0	21,0
CV3-E	Area	L(6-22)	29,1	183,15	81,6	-56,2	2,8	-19,6	-0,3	0,9	12,3	12,3
CV3-E	Area	L(22-6)	29,1	183,15	81,6	-56,2	2,8	-19,6	-0,3	0,9	12,3	12,3
CV3-N	Area	L(6-22)	48,6	177,86	83,9	-56,0	2,8	-11,9	-0,3	1,9	23,5	23,5
CV3-N	Area	L(22-6)	48,6	177,86	83,9	-56,0	2,8	-11,9	-0,3	1,9	23,5	23,5
CV3-O	Area	L(6-22)	29,1	175,16	81,6	-55,9	2,8	-15,2	-0,2	2,7	18,8	18,8
CV3-O	Area	L(22-6)	29,1	175,16	81,6	-55,9	2,8	-15,2	-0,2	2,7	18,8	18,8
CV3-S	Area	L(6-22)	48,6	180,38	83,9	-56,1	2,9	-21,6	-0,3	2,9	14,6	14,6

Ident:
C330AV3P001

Valutazione previsionale impatto acustico

Simulazione ASS

Sorgente	ipo sorgent	TR	A	S	Lw	Adiv	Agr	Abar	Aatm	dLrefl	Ls	Lr
			m ²	m	dB(A)	dB	dB	dB	dB	dB	dB(A)	dB(A)
CV3-S	Area	L(22-6)	48,6	180,38	83,9	-56,1	2,9	-21,6	-0,3	2,9	14,6	14,6
CV3-T	Area	L(6-22)	48,5	179,13	83,9	-56,1	2,7	-14,0	-0,3	1,6	17,9	17,9
CV3-T	Area	L(22-6)	48,5	179,13	83,9	-56,1	2,7	-14,0	-0,3	1,6	17,9	17,9
DIS1-E	Area	L(6-22)	6,5	166,90	76,1	-55,4	2,7	-11,0	-0,3	0,6	15,6	15,6
DIS1-E	Area	L(22-6)	6,5	166,90	76,1	-55,4	2,7	-11,0	-0,3	0,6	15,6	15,6
DIS1-N	Area	L(6-22)	32,4	161,28	83,1	-55,1	2,6	-1,3	-0,5	0,0	31,9	31,9
DIS1-N	Area	L(22-6)	32,4	161,28	83,1	-55,1	2,6	-1,3	-0,5	0,0	31,9	31,9
DIS1-O	Area	L(6-22)	6,5	157,31	76,1	-54,9	2,6	-1,7	-0,5	0,0	24,7	24,7
DIS1-O	Area	L(22-6)	6,5	157,31	76,1	-54,9	2,6	-1,7	-0,5	0,0	24,7	24,7
DIS1-S	Area	L(6-22)	32,4	162,73	83,1	-55,2	2,6	-12,8	-0,3	3,4	23,8	23,8
DIS1-S	Area	L(22-6)	32,4	162,73	83,1	-55,2	2,6	-12,8	-0,3	3,4	23,8	23,8
DIS1-T	Area	L(6-22)	28,8	162,09	82,6	-55,2	2,6	-7,3	-0,5	1,7	24,0	24,0
DIS1-T	Area	L(22-6)	28,8	162,09	82,6	-55,2	2,6	-7,3	-0,5	1,7	24,0	24,0
DIS2-E	Area	L(6-22)	6,5	169,70	76,1	-55,6	2,6	-15,5	-0,2	1,5	11,9	11,9
DIS2-E	Area	L(22-6)	6,5	169,70	76,1	-55,6	2,6	-15,5	-0,2	1,5	11,9	11,9
DIS2-N	Area	L(6-22)	32,4	164,14	83,1	-55,3	2,6	-6,4	-0,5	0,8	27,3	27,3
DIS2-N	Area	L(22-6)	32,4	164,14	83,1	-55,3	2,6	-6,4	-0,5	0,8	27,3	27,3
DIS2-O	Area	L(6-22)	6,5	160,27	76,1	-55,1	2,6	-3,3	-0,6	0,0	22,8	22,8
DIS2-O	Area	L(22-6)	6,5	160,27	76,1	-55,1	2,6	-3,3	-0,6	0,0	22,8	22,8
DIS2-S	Area	L(6-22)	32,4	165,64	83,1	-55,4	2,6	-13,4	-0,3	3,7	23,4	23,4
DIS2-S	Area	L(22-6)	32,4	165,64	83,1	-55,4	2,6	-13,4	-0,3	3,7	23,4	23,4
DIS2-T	Area	L(6-22)	28,8	164,99	82,6	-55,3	2,6	-7,7	-0,4	2,4	24,2	24,2
DIS2-T	Area	L(22-6)	28,8	164,99	82,6	-55,3	2,6	-7,7	-0,4	2,4	24,2	24,2
DIS3-E	Area	L(6-22)	6,5	172,64	76,1	-55,7	2,6	-16,5	-0,3	1,2	10,6	10,6
DIS3-E	Area	L(22-6)	6,5	172,64	76,1	-55,7	2,6	-16,5	-0,3	1,2	10,6	10,6
DIS3-N	Area	L(6-22)	32,4	167,15	83,1	-55,5	2,6	-7,3	-0,5	1,0	26,4	26,4
DIS3-N	Area	L(22-6)	32,4	167,15	83,1	-55,5	2,6	-7,3	-0,5	1,0	26,4	26,4
DIS3-O	Area	L(6-22)	6,5	163,38	76,1	-55,3	2,6	-3,3	-0,6	0,0	22,6	22,6
DIS3-O	Area	L(22-6)	6,5	163,38	76,1	-55,3	2,6	-3,3	-0,6	0,0	22,6	22,6
DIS3-S	Area	L(6-22)	32,4	168,69	83,1	-55,5	2,6	-13,3	-0,3	3,4	23,1	23,1
DIS3-S	Area	L(22-6)	32,4	168,69	83,1	-55,5	2,6	-13,3	-0,3	3,4	23,1	23,1
DIS3-T	Area	L(6-22)	28,8	168,01	82,6	-55,5	2,6	-7,9	-0,4	2,2	23,6	23,6
DIS3-T	Area	L(22-6)	28,8	168,01	82,6	-55,5	2,6	-7,9	-0,4	2,2	23,6	23,6
DIS4-E	Area	L(6-22)	6,5	175,57	76,1	-55,9	2,6	-17,0	-0,3	0,3	9,0	9,0
DIS4-E	Area	L(22-6)	6,5	175,57	76,1	-55,9	2,6	-17,0	-0,3	0,3	9,0	9,0
DIS4-N	Area	L(6-22)	32,4	170,15	83,1	-55,6	2,6	-7,0	-0,5	0,8	26,5	26,5
DIS4-N	Area	L(22-6)	32,4	170,15	83,1	-55,6	2,6	-7,0	-0,5	0,8	26,5	26,5
DIS4-O	Area	L(6-22)	6,5	166,49	76,1	-55,4	2,6	-3,1	-0,6	0,0	22,6	22,6
DIS4-O	Area	L(22-6)	6,5	166,49	76,1	-55,4	2,6	-3,1	-0,6	0,0	22,6	22,6
DIS4-S	Area	L(6-22)	32,4	171,73	83,1	-55,7	2,6	-12,9	-0,3	0,1	20,0	20,0
DIS4-S	Area	L(22-6)	32,4	171,73	83,1	-55,7	2,6	-12,9	-0,3	0,1	20,0	20,0
DIS4-T	Area	L(6-22)	28,8	171,04	82,6	-55,7	2,6	-7,8	-0,4	0,7	22,0	22,0
DIS4-T	Area	L(22-6)	28,8	171,04	82,6	-55,7	2,6	-7,8	-0,4	0,7	22,0	22,0
FM-E	Area	L(6-22)	4,7	147,21	66,7	-54,4	2,8	-12,3	-0,4	5,3	10,9	10,9
FM-E	Area	L(22-6)	4,7	147,21	66,7	-54,4	2,8	-12,3	-0,4	5,3	10,9	10,9
FM-N	Area	L(6-22)	16,9	142,74	72,3	-54,1	2,8	-5,8	-0,8	1,5	18,8	18,8
FM-N	Area	L(22-6)	16,9	142,74	72,3	-54,1	2,8	-5,8	-0,8	1,5	18,8	18,8
FM-O	Area	L(6-22)	4,7	138,96	66,7	-53,8	2,8	-5,9	-0,8	0,1	12,0	12,0
FM-O	Area	L(22-6)	4,7	138,96	66,7	-53,8	2,8	-5,9	-0,8	0,1	12,0	12,0
FM-S	Area	L(6-22)	16,9	143,26	72,3	-54,1	2,8	-8,2	-0,4	0,1	15,5	15,5
FM-S	Area	L(22-6)	16,9	143,26	72,3	-54,1	2,8	-8,2	-0,4	0,1	15,5	15,5
FM-T	Area	L(6-22)	19,9	143,01	73,0	-54,1	2,8	-7,6	-0,6	2,0	15,5	15,5
FM-T	Area	L(22-6)	19,9	143,01	73,0	-54,1	2,8	-7,6	-0,6	2,0	15,5	15,5
GC-E	Area	L(6-22)	10,0	147,44	65,0	-54,4	2,8	-17,6	-0,2	8,5	7,2	7,2
GC-E	Area	L(22-6)	10,0	147,44	65,0	-54,4	2,8	-17,6	-0,2	8,5	7,2	7,2

Ident:
C330AV3P001

Valutazione previsionale impatto acustico

Simulazione ASS

Sorgente	ipo sorgent	TR	A	S	Lw	Adiv	Agr	Abar	Aatm	dLrefl	Ls	Lr
			m ²	m	dB(A)	dB	dB	dB	dB	dB	dB(A)	dB(A)
GC-N	Area	L(6-22)	38,0	139,39	70,8	-53,9	2,8	-10,4	-0,4	3,0	14,9	14,9
GC-N	Area	L(22-6)	38,0	139,39	70,8	-53,9	2,8	-10,4	-0,4	3,0	14,9	14,9
GC-O	Area	L(6-22)	10,0	132,99	65,0	-53,5	2,8	-7,5	-0,4	0,1	9,5	9,5
GC-O	Area	L(22-6)	10,0	132,99	65,0	-53,5	2,8	-7,5	-0,4	0,1	9,5	9,5
GC-S	Area	L(6-22)	38,0	140,65	70,8	-54,0	2,8	-14,0	-0,3	0,6	8,9	8,9
GC-S	Area	L(22-6)	38,0	140,65	70,8	-54,0	2,8	-14,0	-0,3	0,6	8,9	8,9
GC-T	Area	L(6-22)	60,7	139,98	72,8	-53,9	2,8	-9,6	-0,4	1,9	13,6	13,6
GC-T	Area	L(22-6)	60,7	139,98	72,8	-53,9	2,8	-9,6	-0,4	1,9	13,6	13,6
IC1-E	Area	L(6-22)	2,0	148,68	68,0	-54,4	2,6	-8,2	-0,2	1,7	12,6	12,6
IC1-E	Area	L(22-6)	2,0	148,68	68,0	-54,4	2,6	-8,2	-0,2	1,7	12,6	12,6
IC1-N	Area	L(6-22)	2,0	147,33	68,0	-54,4	2,6	-1,6	-0,5	0,0	17,3	17,3
IC1-N	Area	L(22-6)	2,0	147,33	68,0	-54,4	2,6	-1,6	-0,5	0,0	17,3	17,3
IC1-O	Area	L(6-22)	2,0	146,87	68,0	-54,3	2,6	-3,2	-0,5	0,0	15,6	15,6
IC1-O	Area	L(22-6)	2,0	146,87	68,0	-54,3	2,6	-3,2	-0,5	0,0	15,6	15,6
IC1-S	Area	L(6-22)	2,0	148,22	68,0	-54,4	2,6	-7,0	-0,3	1,6	13,5	13,5
IC1-S	Area	L(22-6)	2,0	148,22	68,0	-54,4	2,6	-7,0	-0,3	1,6	13,5	13,5
IC1-T	Area	L(6-22)	4,0	147,79	71,0	-54,4	2,6	-5,5	-0,3	0,3	13,7	13,7
IC1-T	Area	L(22-6)	4,0	147,79	71,0	-54,4	2,6	-5,5	-0,3	0,3	13,7	13,7
IC2-E	Area	L(6-22)	2,0	151,15	68,0	-54,6	2,7	-13,3	-0,2	1,4	7,0	7,0
IC2-E	Area	L(22-6)	2,0	151,15	68,0	-54,6	2,7	-13,3	-0,2	1,4	7,0	7,0
IC2-N	Area	L(6-22)	2,0	149,80	68,0	-54,5	2,6	-6,7	-0,3	0,5	12,6	12,6
IC2-N	Area	L(22-6)	2,0	149,80	68,0	-54,5	2,6	-6,7	-0,3	0,5	12,6	12,6
IC2-O	Area	L(6-22)	2,0	149,33	68,0	-54,5	2,6	-6,8	-0,3	1,0	13,0	13,0
IC2-O	Area	L(22-6)	2,0	149,33	68,0	-54,5	2,6	-6,8	-0,3	1,0	13,0	13,0
IC2-S	Area	L(6-22)	2,0	150,68	68,0	-54,6	2,6	-10,2	-0,2	3,4	12,1	12,1
IC2-S	Area	L(22-6)	2,0	150,68	68,0	-54,6	2,6	-10,2	-0,2	3,4	12,1	12,1
IC2-T	Area	L(6-22)	4,0	150,25	71,0	-54,5	2,7	-8,2	-0,3	2,2	12,8	12,8
IC2-T	Area	L(22-6)	4,0	150,25	71,0	-54,5	2,7	-8,2	-0,3	2,2	12,8	12,8
P1	Punto	L(6-22)		144,24	89,0	-54,2	2,8	-7,6	-0,8	0,0	29,3	29,3
P1	Punto	L(22-6)		144,24	89,0	-54,2	2,8	-7,6	-0,8	0,0	29,3	29,3
P10	Punto	L(6-22)		161,49	89,0	-55,2	3,0	-9,6	-0,6	0,0	26,7	26,7
P10	Punto	L(22-6)		161,49	89,0	-55,2	3,0	-9,6	-0,6	0,0	26,7	26,7
P11	Punto	L(6-22)		163,21	89,0	-55,2	3,0	-9,6	-0,7	0,0	26,6	26,6
P11	Punto	L(22-6)		163,21	89,0	-55,2	3,0	-9,6	-0,7	0,0	26,6	26,6
P12	Punto	L(6-22)		164,87	89,0	-55,3	3,1	-9,7	-0,7	0,0	26,4	26,4
P12	Punto	L(22-6)		164,87	89,0	-55,3	3,1	-9,7	-0,7	0,0	26,4	26,4
P13	Punto	L(6-22)		166,59	89,0	-55,4	3,1	-22,7	-0,5	0,6	14,1	14,1
P13	Punto	L(22-6)		166,59	89,0	-55,4	3,1	-22,7	-0,5	0,6	14,1	14,1
P14	Punto	L(6-22)		168,55	89,0	-55,5	3,1	-23,1	-0,5	0,7	13,8	13,8
P14	Punto	L(22-6)		168,55	89,0	-55,5	3,1	-23,1	-0,5	0,7	13,8	13,8
P15	Punto	L(6-22)		170,26	89,0	-55,6	3,2	-23,0	-0,5	1,0	14,1	14,1
P15	Punto	L(22-6)		170,26	89,0	-55,6	3,2	-23,0	-0,5	1,0	14,1	14,1
P16	Punto	L(6-22)		376,85	89,0	-62,5	4,6	-22,1	-0,9	3,0	11,1	11,1
P16	Punto	L(22-6)		376,85	89,0	-62,5	4,6	-22,1	-0,9	3,0	11,1	11,1
P17	Punto	L(6-22)		377,80	89,0	-62,5	4,6	-22,5	-0,9	3,2	10,9	10,9
P17	Punto	L(22-6)		377,80	89,0	-62,5	4,6	-22,5	-0,9	3,2	10,9	10,9
P18	Punto	L(6-22)		378,80	89,0	-62,6	4,6	-22,8	-0,9	3,4	10,8	10,8
P18	Punto	L(22-6)		378,80	89,0	-62,6	4,6	-22,8	-0,9	3,4	10,8	10,8
P2	Punto	L(6-22)		144,88	89,0	-54,2	2,8	-7,6	-0,8	0,9	30,1	30,1
P2	Punto	L(22-6)		144,88	89,0	-54,2	2,8	-7,6	-0,8	0,9	30,1	30,1
P3	Punto	L(6-22)		145,55	89,0	-54,3	2,8	-24,4	-0,5	0,0	12,7	12,7
P3	Punto	L(22-6)		145,55	89,0	-54,3	2,8	-24,4	-0,5	0,0	12,7	12,7
P4	Punto	L(6-22)		146,26	89,0	-54,3	2,8	-24,6	-0,5	9,3	21,8	21,8
P4	Punto	L(22-6)		146,26	89,0	-54,3	2,8	-24,6	-0,5	9,3	21,8	21,8
P5	Punto	L(6-22)		147,01	89,0	-54,3	2,8	-24,7	-0,5	15,7	28,0	28,0

Ident:
C330AV3P001

Valutazione previsionale impatto acustico

Simulazione ASS

Sorgente	ipo sorgent	TR	A	S	Lw	Adiv	Agr	Abar	Aatm	dLrefl	Ls	Lr
			m ²	m	dB(A)	dB	dB	dB	dB	dB	dB(A)	dB(A)
P5	Punto	L(22-6)		147,01	89,0	-54,3	2,8	-24,7	-0,5	15,7	28,0	28,0
P6	Punto	L(6-22)		147,58	89,0	-54,4	2,8	-24,7	-0,5	17,1	29,4	29,4
P6	Punto	L(22-6)		147,58	89,0	-54,4	2,8	-24,7	-0,5	17,1	29,4	29,4
P7	Punto	L(6-22)		138,54	89,0	-53,8	2,8	-15,6	-0,4	0,0	22,1	22,1
P7	Punto	L(22-6)		138,54	89,0	-53,8	2,8	-15,6	-0,4	0,0	22,1	22,1
P8	Punto	L(6-22)		138,88	89,0	-53,8	2,8	-7,7	-0,7	0,5	30,1	30,1
P8	Punto	L(22-6)		138,88	89,0	-53,8	2,8	-7,7	-0,7	0,5	30,1	30,1
P9	Punto	L(6-22)		139,33	89,0	-53,9	2,8	-7,7	-0,7	1,4	31,0	31,0
P9	Punto	L(22-6)		139,33	89,0	-53,9	2,8	-7,7	-0,7	1,4	31,0	31,0
PM	Punto	L(6-22)		162,51	106,2	-55,2	2,8	-7,6	-1,0	0,2	45,5	41,3
PM	Punto	L(22-6)		162,51	106,2	-55,2	2,8	-7,6	-1,0	0,2	45,5	41,3
SC-E	Area	L(6-22)	22,1	146,96	68,4	-54,3	2,7	-15,1	-0,3	9,4	13,7	13,7
SC-E	Area	L(22-6)	22,1	146,96	68,4	-54,3	2,7	-15,1	-0,3	9,4	13,7	13,7
SC-N	Area	L(6-22)	24,0	145,60	68,8	-54,3	2,7	-11,1	-0,4	10,4	19,1	19,1
SC-N	Area	L(22-6)	24,0	145,60	68,8	-54,3	2,7	-11,1	-0,4	10,4	19,1	19,1
SC-O	Area	L(6-22)	22,1	144,86	68,4	-54,2	2,7	-13,0	-0,4	4,7	11,3	11,3
SC-O	Area	L(22-6)	22,1	144,86	68,4	-54,2	2,7	-13,0	-0,4	4,7	11,3	11,3
SC-S	Area	L(6-22)	24,0	146,21	68,8	-54,3	2,7	-14,2	-0,3	1,3	7,0	7,0
SC-S	Area	L(22-6)	24,0	146,21	68,8	-54,3	2,7	-14,2	-0,3	1,3	7,0	7,0
SC-T	Area	L(6-22)	4,4	146,15	61,4	-54,3	2,7	-13,4	-0,3	0,0	-3,9	-3,9
SC-T	Area	L(22-6)	4,4	146,15	61,4	-54,3	2,7	-13,4	-0,3	0,0	-3,9	-3,9
SS-E	Area	L(6-22)	72,6	141,30	73,6	-54,0	2,7	-14,0	-0,3	8,0	19,0	19,0
SS-E	Area	L(22-6)	72,6	141,30	73,6	-54,0	2,7	-14,0	-0,3	8,0	19,0	19,0
SS-N	Area	L(6-22)	36,8	139,07	70,7	-53,9	2,7	0,0	-0,5	0,0	22,0	22,0
SS-N	Area	L(22-6)	36,8	139,07	70,7	-53,9	2,7	0,0	-0,5	0,0	22,0	22,0
SS-O	Area	L(6-22)	72,6	138,56	73,6	-53,8	2,7	-0,3	-0,5	0,0	24,7	24,7
SS-O	Area	L(22-6)	72,6	138,56	73,6	-53,8	2,7	-0,3	-0,5	0,0	24,7	24,7
SS-S	Area	L(6-22)	37,3	140,80	70,7	-54,0	2,7	-7,4	-0,4	0,0	14,7	14,7
SS-S	Area	L(22-6)	37,3	140,80	70,7	-54,0	2,7	-7,4	-0,4	0,0	14,7	14,7
SS-T	Area	L(6-22)	15,9	140,32	67,0	-53,9	2,7	-6,9	-0,4	0,0	8,4	8,4
SS-T	Area	L(22-6)	15,9	140,32	67,0	-53,9	2,7	-6,9	-0,4	0,0	8,4	8,4
T1-E	Area	L(6-22)	4,8	146,46	76,8	-54,3	2,8	-15,7	-0,2	5,1	17,5	17,5
T1-E	Area	L(22-6)	4,8	146,46	76,8	-54,3	2,8	-15,7	-0,2	5,1	17,5	17,5
T1-N	Area	L(6-22)	7,1	144,57	78,5	-54,2	2,8	-9,3	-0,4	0,6	21,0	21,0
T1-N	Area	L(22-6)	7,1	144,57	78,5	-54,2	2,8	-9,3	-0,4	0,6	21,0	21,0
T1-O	Area	L(6-22)	4,8	143,87	76,8	-54,2	2,8	-7,7	-0,4	0,4	20,8	20,8
T1-O	Area	L(22-6)	4,8	143,87	76,8	-54,2	2,8	-7,7	-0,4	0,4	20,8	20,8
T1-S	Area	L(6-22)	7,1	145,75	78,5	-54,3	2,8	-13,7	-0,3	5,7	21,8	21,8
T1-S	Area	L(22-6)	7,1	145,75	78,5	-54,3	2,8	-13,7	-0,3	5,7	21,8	21,8
T1-T	Area	L(6-22)	6,5	145,15	78,1	-54,2	2,8	-7,1	-0,4	2,4	21,6	21,6
T1-T	Area	L(22-6)	6,5	145,15	78,1	-54,2	2,8	-7,1	-0,4	2,4	21,6	21,6
T2-E	Area	L(6-22)	4,8	149,06	76,8	-54,5	2,8	-16,1	-0,2	5,4	17,3	17,3
T2-E	Area	L(22-6)	4,8	149,06	76,8	-54,5	2,8	-16,1	-0,2	5,4	17,3	17,3
T2-N	Area	L(6-22)	7,1	147,17	78,5	-54,3	2,8	-9,6	-0,4	0,5	20,5	20,5
T2-N	Area	L(22-6)	7,1	147,17	78,5	-54,3	2,8	-9,6	-0,4	0,5	20,5	20,5
T2-O	Area	L(6-22)	4,8	146,51	76,8	-54,3	2,8	-7,5	-0,4	0,2	20,6	20,6
T2-O	Area	L(22-6)	4,8	146,51	76,8	-54,3	2,8	-7,5	-0,4	0,2	20,6	20,6
T2-S	Area	L(6-22)	7,1	148,39	78,5	-54,4	2,8	-14,0	-0,3	5,6	21,2	21,2
T2-S	Area	L(22-6)	7,1	148,39	78,5	-54,4	2,8	-14,0	-0,3	5,6	21,2	21,2
T2-T	Area	L(6-22)	6,5	147,78	78,1	-54,4	2,8	-7,0	-0,4	2,3	21,4	21,4
T2-T	Area	L(22-6)	6,5	147,78	78,1	-54,4	2,8	-7,0	-0,4	2,3	21,4	21,4
TE-E	Area	L(6-22)	10,0	180,11	80,0	-56,1	2,9	-18,8	-0,3	0,0	10,8	10,8
TE-E	Area	L(22-6)	10,0	180,11	80,0	-56,1	2,9	-18,8	-0,3	0,0	10,8	10,8
TE-N	Area	L(6-22)	20,0	175,90	83,0	-55,9	2,9	-9,9	-0,4	0,0	22,7	22,7
TE-N	Area	L(22-6)	20,0	175,90	83,0	-55,9	2,9	-9,9	-0,4	0,0	22,7	22,7

Ident:
C330AV3P001

Valutazione previsionale impatto acustico

Simulazione ASS

Sorgente	ipo sorgent	TR	A	S	Lw	Adiv	Agr	Abar	Aatm	dLrefl	Ls	Lr
			m ²	m	dB(A)	dB	dB	dB	dB	dB	dB(A)	dB(A)
TE-O	Area	L(6-22)	10,0	174,74	80,0	-55,8	2,9	-10,2	-0,4	0,1	19,6	19,6
TE-O	Area	L(22-6)	10,0	174,74	80,0	-55,8	2,9	-10,2	-0,4	0,1	19,6	19,6
TE-S	Area	L(6-22)	20,0	178,89	83,0	-56,0	2,9	-19,1	-0,3	0,0	13,5	13,5
TE-S	Area	L(22-6)	20,0	178,89	83,0	-56,0	2,9	-19,1	-0,3	0,0	13,5	13,5
TE-T	Area	L(6-22)	32,0	177,39	85,1	-56,0	2,8	-7,8	-0,5	0,0	23,6	23,6
TE-T	Area	L(22-6)	32,0	177,39	85,1	-56,0	2,8	-7,8	-0,5	0,0	23,6	23,6
TO-E	Area	L(6-22)	32,0	389,12	85,1	-62,8	4,3	-23,5	-1,7	0,7	5,0	5,0
TO-E	Area	L(22-6)	32,0	389,12	85,1	-62,8	4,3	-23,5	-1,7	0,7	5,0	5,0
TO-N	Area	L(6-22)	43,6	382,37	86,4	-62,6	4,3	-20,6	-1,4	0,4	9,4	9,4
TO-N	Area	L(22-6)	43,6	382,37	86,4	-62,6	4,3	-20,6	-1,4	0,4	9,4	9,4
TO-O	Area	L(6-22)	32,0	379,64	85,1	-62,6	4,3	-22,8	-1,5	1,4	7,0	7,0
TO-O	Area	L(22-6)	32,0	379,64	85,1	-62,6	4,3	-22,8	-1,5	1,4	7,0	7,0
TO-S	Area	L(6-22)	43,6	386,35	86,4	-62,7	4,3	-26,5	-2,4	3,3	5,4	5,4
TO-S	Area	L(22-6)	43,6	386,35	86,4	-62,7	4,3	-26,5	-2,4	3,3	5,4	5,4
TO-T	Area	L(6-22)	87,2	384,35	89,4	-62,7	3,8	-20,8	-1,3	1,7	10,1	10,1
TO-T	Area	L(22-6)	87,2	384,35	89,4	-62,7	3,8	-20,8	-1,3	1,7	10,1	10,1
VF	Punto	L(6-22)		148,85	71,0	-54,4	2,8	-7,6	-0,6	2,5	13,7	13,7
VF	Punto	L(22-6)		148,85	71,0	-54,4	2,8	-7,6	-0,6	2,5	13,7	13,7

Ident:
C330AV3P001

Valutazione previsionale impatto acustico

Simulazione ASS

Sorgente	ipo sorgent	TR	A	S	Lw	Adiv	Agr	Abar	Aatm	dLrefl	Ls	Lr
			m ²	m	dB(A)	dB	dB	dB	dB	dB	dB(A)	dB(A)
Ricevitore R3 L(6-22) 38,6 dB(A) L(22-6) 38,5 dB(A)												
A1	Area	L(6-22)	27,5	311,76	79,4	-60,9	2,8	-21,9	-0,9	2,2	3,7	3,7
A1	Area	L(22-6)	27,5	311,76	79,4	-60,9	2,8	-21,9	-0,9	2,2	3,7	3,7
A2	Area	L(6-22)	27,5	304,54	79,4	-60,7	2,7	-19,5	-0,8	0,0	4,2	4,2
A2	Area	L(22-6)	27,5	304,54	79,4	-60,7	2,7	-19,5	-0,8	0,0	4,2	4,2
AC1	Area	L(6-22)	3,0	250,91	79,8	-59,0	2,8	-8,6	-0,6	0,2	17,6	17,6
AC1	Area	L(22-6)	3,0	250,91	79,8	-59,0	2,8	-8,6	-0,6	0,2	17,6	17,6
AC2	Area	L(6-22)	3,0	249,23	79,8	-58,9	2,9	-19,3	-0,4	0,6	7,6	7,6
AC2	Area	L(22-6)	3,0	249,23	79,8	-58,9	2,9	-19,3	-0,4	0,6	7,6	7,6
AU	Punto	L(6-22)		310,07	102,8	-60,8	3,1	-26,6	-1,2	6,1	23,4	14,3
AU	Punto	L(22-6)		310,07	102,8	-60,8	3,1	-26,6	-1,2	6,1	23,4	14,3
BV1-E	Area	L(6-22)	2,4	292,19	73,8	-60,3	2,9	-20,5	-0,5	0,0	-1,6	-1,6
BV1-E	Area	L(22-6)	2,4	292,19	73,8	-60,3	2,9	-20,5	-0,5	0,0	-1,6	-1,6
BV1-N	Area	L(6-22)	3,6	291,43	75,6	-60,3	2,8	-21,3	-0,5	0,0	-0,6	-0,6
BV1-N	Area	L(22-6)	3,6	291,43	75,6	-60,3	2,8	-21,3	-0,5	0,0	-0,6	-0,6
BV1-O	Area	L(6-22)	2,4	289,62	73,8	-60,2	2,8	-23,2	-0,4	0,0	-4,2	-4,2
BV1-O	Area	L(22-6)	2,4	289,62	73,8	-60,2	2,8	-23,2	-0,4	0,0	-4,2	-4,2
BV1-S	Area	L(6-22)	3,6	290,38	75,6	-60,3	2,9	-21,1	-0,5	0,0	-0,4	-0,4
BV1-S	Area	L(22-6)	3,6	290,38	75,6	-60,3	2,9	-21,1	-0,5	0,0	-0,4	-0,4
BV1-T	Area	L(6-22)	6,0	290,88	77,8	-60,3	2,7	-19,4	-0,4	0,0	0,4	0,4
BV1-T	Area	L(22-6)	6,0	290,88	77,8	-60,3	2,7	-19,4	-0,4	0,0	0,4	0,4
BV2-E	Area	L(6-22)	2,4	287,50	73,8	-60,2	2,8	-22,7	-0,5	0,0	-3,7	-3,7
BV2-E	Area	L(22-6)	2,4	287,50	73,8	-60,2	2,8	-22,7	-0,5	0,0	-3,7	-3,7
BV2-N	Area	L(6-22)	3,6	286,69	75,6	-60,1	2,8	-22,4	-0,5	1,1	-0,5	-0,5
BV2-N	Area	L(22-6)	3,6	286,69	75,6	-60,1	2,8	-22,4	-0,5	1,1	-0,5	-0,5
BV2-O	Area	L(6-22)	2,4	284,88	73,8	-60,1	2,8	-22,7	-0,4	0,0	-3,6	-3,6
BV2-O	Area	L(22-6)	2,4	284,88	73,8	-60,1	2,8	-22,7	-0,4	0,0	-3,6	-3,6
BV2-S	Area	L(6-22)	3,6	285,68	75,6	-60,1	2,8	-22,1	-0,5	0,0	-1,3	-1,3
BV2-S	Area	L(22-6)	3,6	285,68	75,6	-60,1	2,8	-22,1	-0,5	0,0	-1,3	-1,3
BV2-T	Area	L(6-22)	6,0	286,18	77,8	-60,1	2,6	-21,4	-0,4	0,0	-1,6	-1,6
BV2-T	Area	L(22-6)	6,0	286,18	77,8	-60,1	2,6	-21,4	-0,4	0,0	-1,6	-1,6
BV3-E	Area	L(6-22)	2,4	283,03	73,8	-60,0	2,8	-21,0	-0,4	0,8	-1,1	-1,1
BV3-E	Area	L(22-6)	2,4	283,03	73,8	-60,0	2,8	-21,0	-0,4	0,8	-1,1	-1,1
BV3-N	Area	L(6-22)	3,6	282,18	75,6	-60,0	2,8	-20,7	-0,4	1,7	1,8	1,8
BV3-N	Area	L(22-6)	3,6	282,18	75,6	-60,0	2,8	-20,7	-0,4	1,7	1,8	1,8
BV3-O	Area	L(6-22)	2,4	280,37	73,8	-59,9	2,8	-23,0	-0,4	3,4	-0,3	-0,3
BV3-O	Area	L(22-6)	2,4	280,37	73,8	-59,9	2,8	-23,0	-0,4	3,4	-0,3	-0,3
BV3-S	Area	L(6-22)	3,6	281,22	75,6	-60,0	2,8	-21,0	-0,4	0,4	0,4	0,4
BV3-S	Area	L(22-6)	3,6	281,22	75,6	-60,0	2,8	-21,0	-0,4	0,4	0,4	0,4
BV3-T	Area	L(6-22)	6,0	281,67	77,8	-60,0	2,6	-20,8	-0,4	1,3	0,5	0,5
BV3-T	Area	L(22-6)	6,0	281,67	77,8	-60,0	2,6	-20,8	-0,4	1,3	0,5	0,5
C1	Area	L(6-22)	1,4	256,65	86,5	-59,2	2,0	-5,2	-2,4	0,0	21,7	21,7
C1	Area	L(22-6)	1,4	256,65	86,5	-59,2	2,0	-5,2	-2,4	0,0	21,7	21,7
C2	Area	L(6-22)	1,4	253,00	86,5	-59,1	2,0	-5,5	-2,5	0,0	21,4	21,4
C2	Area	L(22-6)	1,4	253,00	86,5	-59,1	2,0	-5,5	-2,5	0,0	21,4	21,4
C3	Area	L(6-22)	1,2	285,40	67,8	-60,1	1,8	-2,7	-0,5	0,0	6,3	6,3
C3	Area	L(22-6)	1,2	285,40	67,8	-60,1	1,8	-2,7	-0,5	0,0	6,3	6,3
C4	Area	L(6-22)	1,2	280,53	67,8	-60,0	1,9	-2,9	-0,5	0,0	6,4	6,4
C4	Area	L(22-6)	1,2	280,53	67,8	-60,0	1,9	-2,9	-0,5	0,0	6,4	6,4
C5	Area	L(6-22)	1,2	275,90	67,8	-59,8	1,9	-2,9	-0,5	0,0	6,5	6,5
C5	Area	L(22-6)	1,2	275,90	67,8	-59,8	1,9	-2,9	-0,5	0,0	6,5	6,5
C6	Area	L(6-22)	0,5	294,40	76,4	-60,4	1,7	-2,7	-0,5	0,0	14,6	14,6
C6	Area	L(22-6)	0,5	294,40	76,4	-60,4	1,7	-2,7	-0,5	0,0	14,6	14,6
CM-E	Area	L(6-22)	198,9	261,19	83,0	-59,3	2,3	-20,1	-1,5	0,2	7,6	7,6
CM-E	Area	L(22-6)	198,9	261,19	83,0	-59,3	2,3	-20,1	-1,5	0,2	7,6	7,6

Ident:
C330AV3P001

Valutazione previsionale impatto acustico

Simulazione ASS

Sorgente	ipo sorgent	TR	A	S	Lw	Adiv	Agr	Abar	Aatm	dLrefl	Ls	Lr
			m ²	m	dB(A)	dB	dB	dB	dB	dB	dB(A)	dB(A)
CM-N	Area	L(6-22)	417,5	248,46	86,2	-58,9	2,2	-19,6	-1,5	8,7	20,2	20,2
CM-N	Area	L(22-6)	417,5	248,46	86,2	-58,9	2,2	-19,6	-1,5	8,7	20,2	20,2
CM-O	Area	L(6-22)	198,9	228,83	83,0	-58,2	2,2	-1,4	-3,2	0,0	25,5	25,5
CM-O	Area	L(22-6)	198,9	228,83	83,0	-58,2	2,2	-1,4	-3,2	0,0	25,5	25,5
CM-S	Area	L(6-22)	417,5	240,53	86,2	-58,6	2,3	-1,1	-3,4	0,1	28,5	28,5
CM-S	Area	L(22-6)	417,5	240,53	86,2	-58,6	2,3	-1,1	-3,4	0,1	28,5	28,5
CM-T	Area	L(6-22)	628,1	244,45	88,0	-58,8	2,0	-11,0	-2,9	1,3	18,7	18,7
CM-T	Area	L(22-6)	628,1	244,45	88,0	-58,8	2,0	-11,0	-2,9	1,3	18,7	18,7
CR1-E	Area	L(6-22)	19,6	273,29	79,9	-59,7	2,7	-20,5	-0,6	0,0	4,9	4,9
CR1-E	Area	L(22-6)	19,6	273,29	79,9	-59,7	2,7	-20,5	-0,6	0,0	4,9	4,9
CR1-N	Area	L(6-22)	42,0	270,62	83,2	-59,6	2,7	-23,0	-0,6	0,1	5,8	5,8
CR1-N	Area	L(22-6)	42,0	270,62	83,2	-59,6	2,7	-23,0	-0,6	0,1	5,8	5,8
CR1-O	Area	L(6-22)	19,6	266,49	79,9	-59,5	2,7	-20,4	-0,6	0,1	5,2	5,2
CR1-O	Area	L(22-6)	19,6	266,49	79,9	-59,5	2,7	-20,4	-0,6	0,1	5,2	5,2
CR1-S	Area	L(6-22)	42,0	269,11	83,2	-59,6	2,7	-17,8	-0,6	0,0	10,9	10,9
CR1-S	Area	L(22-6)	42,0	269,11	83,2	-59,6	2,7	-17,8	-0,6	0,0	10,9	10,9
CR1-T	Area	L(6-22)	26,3	269,83	81,2	-59,6	2,4	-17,9	-0,6	0,0	5,5	5,5
CR1-T	Area	L(22-6)	26,3	269,83	81,2	-59,6	2,4	-17,9	-0,6	0,0	5,5	5,5
CR2-E	Area	L(6-22)	19,6	269,72	79,9	-59,6	2,7	-14,9	-0,6	0,2	10,8	10,8
CR2-E	Area	L(22-6)	19,6	269,72	79,9	-59,6	2,7	-14,9	-0,6	0,2	10,8	10,8
CR2-N	Area	L(6-22)	42,0	266,96	83,2	-59,5	2,7	-22,5	-0,6	0,3	6,7	6,7
CR2-N	Area	L(22-6)	42,0	266,96	83,2	-59,5	2,7	-22,5	-0,6	0,3	6,7	6,7
CR2-O	Area	L(6-22)	19,6	262,84	79,9	-59,4	2,7	-13,0	-0,6	0,0	12,7	12,7
CR2-O	Area	L(22-6)	19,6	262,84	79,9	-59,4	2,7	-13,0	-0,6	0,0	12,7	12,7
CR2-S	Area	L(6-22)	42,0	265,55	83,2	-59,5	2,7	-4,8	-1,0	0,1	23,8	23,8
CR2-S	Area	L(22-6)	42,0	265,55	83,2	-59,5	2,7	-4,8	-1,0	0,1	23,8	23,8
CR2-T	Area	L(6-22)	26,3	266,23	81,2	-59,5	2,4	-7,9	-0,7	0,1	15,6	15,6
CR2-T	Area	L(22-6)	26,3	266,23	81,2	-59,5	2,4	-7,9	-0,7	0,1	15,6	15,6
CV1-E	Area	L(6-22)	29,1	288,98	81,6	-60,2	2,7	-21,1	-0,4	0,0	5,5	5,5
CV1-E	Area	L(22-6)	29,1	288,98	81,6	-60,2	2,7	-21,1	-0,4	0,0	5,5	5,5
CV1-N	Area	L(6-22)	48,6	286,55	83,9	-60,1	2,7	-21,7	-0,4	0,0	7,2	7,2
CV1-N	Area	L(22-6)	48,6	286,55	83,9	-60,1	2,7	-21,7	-0,4	0,0	7,2	7,2
CV1-O	Area	L(6-22)	29,1	281,32	81,6	-60,0	2,7	-17,8	-0,4	0,0	9,2	9,2
CV1-O	Area	L(22-6)	29,1	281,32	81,6	-60,0	2,7	-17,8	-0,4	0,0	9,2	9,2
CV1-S	Area	L(6-22)	48,6	283,69	83,9	-60,0	2,6	-17,4	-0,4	0,0	11,6	11,6
CV1-S	Area	L(22-6)	48,6	283,69	83,9	-60,0	2,6	-17,4	-0,4	0,0	11,6	11,6
CV1-T	Area	L(6-22)	48,5	285,09	83,9	-60,1	2,2	-12,9	-0,4	0,0	12,6	12,6
CV1-T	Area	L(22-6)	48,5	285,09	83,9	-60,1	2,2	-12,9	-0,4	0,0	12,6	12,6
CV2-E	Area	L(6-22)	29,1	284,27	81,6	-60,1	2,7	-22,9	-0,5	0,0	3,9	3,9
CV2-E	Area	L(22-6)	29,1	284,27	81,6	-60,1	2,7	-22,9	-0,5	0,0	3,9	3,9
CV2-N	Area	L(6-22)	48,6	281,72	83,9	-60,0	2,6	-22,6	-0,4	1,2	7,7	7,7
CV2-N	Area	L(22-6)	48,6	281,72	83,9	-60,0	2,6	-22,6	-0,4	1,2	7,7	7,7
CV2-O	Area	L(6-22)	29,1	276,48	81,6	-59,8	2,6	-18,1	-0,4	0,0	9,0	9,0
CV2-O	Area	L(22-6)	29,1	276,48	81,6	-59,8	2,6	-18,1	-0,4	0,0	9,0	9,0
CV2-S	Area	L(6-22)	48,6	278,99	83,9	-59,9	2,6	-16,2	-0,4	0,0	13,0	13,0
CV2-S	Area	L(22-6)	48,6	278,99	83,9	-59,9	2,6	-16,2	-0,4	0,0	13,0	13,0
CV2-T	Area	L(6-22)	48,5	280,32	83,9	-59,9	2,2	-13,0	-0,4	0,0	12,7	12,7
CV2-T	Area	L(22-6)	48,5	280,32	83,9	-59,9	2,2	-13,0	-0,4	0,0	12,7	12,7
CV3-E	Area	L(6-22)	29,1	279,80	81,6	-59,9	2,6	-22,0	-0,4	1,1	6,0	6,0
CV3-E	Area	L(22-6)	29,1	279,80	81,6	-59,9	2,6	-22,0	-0,4	1,1	6,0	6,0
CV3-N	Area	L(6-22)	48,6	277,11	83,9	-59,8	2,6	-19,8	-0,4	0,3	9,7	9,7
CV3-N	Area	L(22-6)	48,6	277,11	83,9	-59,8	2,6	-19,8	-0,4	0,3	9,7	9,7
CV3-O	Area	L(6-22)	29,1	271,88	81,6	-59,7	2,6	-15,8	-0,4	2,2	13,6	13,6
CV3-O	Area	L(22-6)	29,1	271,88	81,6	-59,7	2,6	-15,8	-0,4	2,2	13,6	13,6
CV3-S	Area	L(6-22)	48,6	274,52	83,9	-59,8	2,6	-16,0	-0,4	3,1	16,4	16,4

Ident:
C330AV3P001

Valutazione previsionale impatto acustico

Simulazione ASS

Sorgente	ipo sorgent	TR	A	S	Lw	Adiv	Agr	Abar	Aatm	dLrefl	Ls	Lr
			m ²	m	dB(A)	dB	dB	dB	dB	dB	dB(A)	dB(A)
CV3-S	Area	L(22-6)	48,6	274,52	83,9	-59,8	2,6	-16,0	-0,4	3,1	16,4	16,4
CV3-T	Area	L(6-22)	48,5	275,78	83,9	-59,8	2,3	-13,1	-0,4	2,5	15,3	15,3
CV3-T	Area	L(22-6)	48,5	275,78	83,9	-59,8	2,3	-13,1	-0,4	2,5	15,3	15,3
DIS1-E	Area	L(6-22)	6,5	248,88	76,1	-58,9	1,9	-15,4	-0,4	1,0	7,3	7,3
DIS1-E	Area	L(22-6)	6,5	248,88	76,1	-58,9	1,9	-15,4	-0,4	1,0	7,3	7,3
DIS1-N	Area	L(6-22)	32,4	244,15	83,1	-58,7	1,9	-11,5	-0,4	0,0	17,3	17,3
DIS1-N	Area	L(22-6)	32,4	244,15	83,1	-58,7	1,9	-11,5	-0,4	0,0	17,3	17,3
DIS1-O	Area	L(6-22)	6,5	238,38	76,1	-58,5	1,8	-2,6	-0,8	0,0	19,0	19,0
DIS1-O	Area	L(22-6)	6,5	238,38	76,1	-58,5	1,8	-2,6	-0,8	0,0	19,0	19,0
DIS1-S	Area	L(6-22)	32,4	242,97	83,1	-58,7	1,9	-5,3	-0,7	0,5	23,8	23,8
DIS1-S	Area	L(22-6)	32,4	242,97	83,1	-58,7	1,9	-5,3	-0,7	0,5	23,8	23,8
DIS1-T	Area	L(6-22)	28,8	243,59	82,6	-58,7	1,9	-6,5	-0,7	0,3	18,8	18,8
DIS1-T	Area	L(22-6)	28,8	243,59	82,6	-58,7	1,9	-6,5	-0,7	0,3	18,8	18,8
DIS2-E	Area	L(6-22)	6,5	246,64	76,1	-58,8	1,9	-15,4	-0,4	0,9	7,4	7,4
DIS2-E	Area	L(22-6)	6,5	246,64	76,1	-58,8	1,9	-15,4	-0,4	0,9	7,4	7,4
DIS2-N	Area	L(6-22)	32,4	241,84	83,1	-58,7	1,9	-11,3	-0,4	3,5	21,2	21,2
DIS2-N	Area	L(22-6)	32,4	241,84	83,1	-58,7	1,9	-11,3	-0,4	3,5	21,2	21,2
DIS2-O	Area	L(6-22)	6,5	236,03	76,1	-58,5	1,9	-2,0	-0,8	0,0	19,7	19,7
DIS2-O	Area	L(22-6)	6,5	236,03	76,1	-58,5	1,9	-2,0	-0,8	0,0	19,7	19,7
DIS2-S	Area	L(6-22)	32,4	240,69	83,1	-58,6	1,9	-4,9	-0,7	0,5	24,2	24,2
DIS2-S	Area	L(22-6)	32,4	240,69	83,1	-58,6	1,9	-4,9	-0,7	0,5	24,2	24,2
DIS2-T	Area	L(6-22)	28,8	241,33	82,6	-58,6	1,9	-6,5	-0,7	0,2	18,9	18,9
DIS2-T	Area	L(22-6)	28,8	241,33	82,6	-58,6	1,9	-6,5	-0,7	0,2	18,9	18,9
DIS3-E	Area	L(6-22)	6,5	244,56	76,1	-58,8	1,9	-15,3	-0,3	0,6	7,3	7,3
DIS3-E	Area	L(22-6)	6,5	244,56	76,1	-58,8	1,9	-15,3	-0,3	0,6	7,3	7,3
DIS3-N	Area	L(6-22)	32,4	239,70	83,1	-58,6	1,9	-11,2	-0,4	3,9	21,7	21,7
DIS3-N	Area	L(22-6)	32,4	239,70	83,1	-58,6	1,9	-11,2	-0,4	3,9	21,7	21,7
DIS3-O	Area	L(6-22)	6,5	233,87	76,1	-58,4	1,9	-1,8	-0,8	0,0	20,0	20,0
DIS3-O	Area	L(22-6)	6,5	233,87	76,1	-58,4	1,9	-1,8	-0,8	0,0	20,0	20,0
DIS3-S	Area	L(6-22)	32,4	238,59	83,1	-58,5	1,9	-4,5	-0,7	0,4	24,7	24,7
DIS3-S	Area	L(22-6)	32,4	238,59	83,1	-58,5	1,9	-4,5	-0,7	0,4	24,7	24,7
DIS3-T	Area	L(6-22)	28,8	239,19	82,6	-58,6	1,9	-6,6	-0,7	1,0	19,7	19,7
DIS3-T	Area	L(22-6)	28,8	239,19	82,6	-58,6	1,9	-6,6	-0,7	1,0	19,7	19,7
DIS4-E	Area	L(6-22)	6,5	242,40	76,1	-58,7	1,9	-10,1	-0,5	0,2	11,9	11,9
DIS4-E	Area	L(22-6)	6,5	242,40	76,1	-58,7	1,9	-10,1	-0,5	0,2	11,9	11,9
DIS4-N	Area	L(6-22)	32,4	237,46	83,1	-58,5	1,9	-10,9	-0,4	3,9	22,1	22,1
DIS4-N	Area	L(22-6)	32,4	237,46	83,1	-58,5	1,9	-10,9	-0,4	3,9	22,1	22,1
DIS4-O	Area	L(6-22)	6,5	231,60	76,1	-58,3	1,9	-0,9	-0,7	0,0	21,1	21,1
DIS4-O	Area	L(22-6)	6,5	231,60	76,1	-58,3	1,9	-0,9	-0,7	0,0	21,1	21,1
DIS4-S	Area	L(6-22)	32,4	236,40	83,1	-58,5	1,9	-0,4	-0,7	0,0	28,5	28,5
DIS4-S	Area	L(22-6)	32,4	236,40	83,1	-58,5	1,9	-0,4	-0,7	0,0	28,5	28,5
DIS4-T	Area	L(6-22)	28,8	236,96	82,6	-58,5	1,9	-6,4	-0,7	0,7	19,6	19,6
DIS4-T	Area	L(22-6)	28,8	236,96	82,6	-58,5	1,9	-6,4	-0,7	0,7	19,6	19,6
FM-E	Area	L(6-22)	4,7	293,00	66,7	-60,3	2,7	-18,7	-0,7	1,1	-6,1	-6,1
FM-E	Area	L(22-6)	4,7	293,00	66,7	-60,3	2,7	-18,7	-0,7	1,1	-6,1	-6,1
FM-N	Area	L(6-22)	16,9	290,48	72,3	-60,3	2,7	-12,7	-0,8	0,3	4,5	4,5
FM-N	Area	L(22-6)	16,9	290,48	72,3	-60,3	2,7	-12,7	-0,8	0,3	4,5	4,5
FM-O	Area	L(6-22)	4,7	286,49	66,7	-60,1	2,7	-6,5	-1,2	0,3	4,9	4,9
FM-O	Area	L(22-6)	4,7	286,49	66,7	-60,1	2,7	-6,5	-1,2	0,3	4,9	4,9
FM-S	Area	L(6-22)	16,9	288,96	72,3	-60,2	2,7	-7,5	-1,1	0,4	9,6	9,6
FM-S	Area	L(22-6)	16,9	288,96	72,3	-60,2	2,7	-7,5	-1,1	0,4	9,6	9,6
FM-T	Area	L(6-22)	19,9	289,70	73,0	-60,2	2,4	-6,8	-1,1	0,5	7,8	7,8
FM-T	Area	L(22-6)	19,9	289,70	73,0	-60,2	2,4	-6,8	-1,1	0,5	7,8	7,8
GC-E	Area	L(6-22)	10,0	282,32	65,0	-60,0	3,0	-21,8	-0,4	0,1	-11,3	-11,3
GC-E	Area	L(22-6)	10,0	282,32	65,0	-60,0	3,0	-21,8	-0,4	0,1	-11,3	-11,3

Ident:
C330AV3P001

Valutazione previsionale impatto acustico

Simulazione ASS

Sorgente	ipo sorgent	TR	A	S	Lw	Adiv	Agr	Abar	Aatm	dLrefl	Ls	Lr
			m ²	m	dB(A)	dB	dB	dB	dB	dB	dB(A)	dB(A)
GC-N	Area	L(6-22)	38,0	277,51	70,8	-59,9	2,9	-17,6	-0,5	0,6	-0,6	-0,6
GC-N	Area	L(22-6)	38,0	277,51	70,8	-59,9	2,9	-17,6	-0,5	0,6	-0,6	-0,6
GC-O	Area	L(6-22)	10,0	270,39	65,0	-59,6	2,8	-7,6	-0,7	0,1	3,0	3,0
GC-O	Area	L(22-6)	10,0	270,39	65,0	-59,6	2,8	-7,6	-0,7	0,1	3,0	3,0
GC-S	Area	L(6-22)	38,0	275,02	70,8	-59,8	2,9	-9,5	-0,7	0,2	6,9	6,9
GC-S	Area	L(22-6)	38,0	275,02	70,8	-59,8	2,9	-9,5	-0,7	0,2	6,9	6,9
GC-T	Area	L(6-22)	60,7	276,24	72,8	-59,8	2,5	-9,1	-0,7	0,8	6,6	6,6
GC-T	Area	L(22-6)	60,7	276,24	72,8	-59,8	2,5	-9,1	-0,7	0,8	6,6	6,6
IC1-E	Area	L(6-22)	2,0	263,78	68,0	-59,4	1,9	-15,1	-0,4	1,0	-1,0	-1,0
IC1-E	Area	L(22-6)	2,0	263,78	68,0	-59,4	1,9	-15,1	-0,4	1,0	-1,0	-1,0
IC1-N	Area	L(6-22)	2,0	263,52	68,0	-59,4	1,9	-7,3	-0,5	0,0	5,6	5,6
IC1-N	Area	L(22-6)	2,0	263,52	68,0	-59,4	1,9	-7,3	-0,5	0,0	5,6	5,6
IC1-O	Area	L(6-22)	2,0	262,12	68,0	-59,4	1,9	-5,3	-0,9	0,0	7,4	7,4
IC1-O	Area	L(22-6)	2,0	262,12	68,0	-59,4	1,9	-5,3	-0,9	0,0	7,4	7,4
IC1-S	Area	L(6-22)	2,0	262,37	68,0	-59,4	1,9	-6,5	-0,6	0,0	6,4	6,4
IC1-S	Area	L(22-6)	2,0	262,37	68,0	-59,4	1,9	-6,5	-0,6	0,0	6,4	6,4
IC1-T	Area	L(6-22)	4,0	262,95	71,0	-59,4	1,8	-6,0	-0,6	0,0	6,8	6,8
IC1-T	Area	L(22-6)	4,0	262,95	71,0	-59,4	1,8	-6,0	-0,6	0,0	6,8	6,8
IC2-E	Area	L(6-22)	2,0	266,03	68,0	-59,5	1,9	-17,0	-0,4	0,0	-4,0	-4,0
IC2-E	Area	L(22-6)	2,0	266,03	68,0	-59,5	1,9	-17,0	-0,4	0,0	-4,0	-4,0
IC2-N	Area	L(6-22)	2,0	265,77	68,0	-59,5	1,9	-13,3	-0,4	0,0	-0,3	-0,3
IC2-N	Area	L(22-6)	2,0	265,77	68,0	-59,5	1,9	-13,3	-0,4	0,0	-0,3	-0,3
IC2-O	Area	L(6-22)	2,0	264,37	68,0	-59,4	1,9	-11,7	-0,5	0,0	1,4	1,4
IC2-O	Area	L(22-6)	2,0	264,37	68,0	-59,4	1,9	-11,7	-0,5	0,0	1,4	1,4
IC2-S	Area	L(6-22)	2,0	264,63	68,0	-59,4	1,9	-9,6	-0,5	0,0	3,3	3,3
IC2-S	Area	L(22-6)	2,0	264,63	68,0	-59,4	1,9	-9,6	-0,5	0,0	3,3	3,3
IC2-T	Area	L(6-22)	4,0	265,20	71,0	-59,5	1,8	-9,5	-0,5	0,0	3,4	3,4
IC2-T	Area	L(22-6)	4,0	265,20	71,0	-59,5	1,8	-9,5	-0,5	0,0	3,4	3,4
P1	Punto	L(6-22)		271,84	89,0	-59,7	3,3	-27,1	-1,1	11,7	16,2	16,2
P1	Punto	L(22-6)		271,84	89,0	-59,7	3,3	-27,1	-1,1	11,7	16,2	16,2
P10	Punto	L(6-22)		285,79	89,0	-60,1	3,4	-27,6	-1,2	0,0	3,5	3,5
P10	Punto	L(22-6)		285,79	89,0	-60,1	3,4	-27,6	-1,2	0,0	3,5	3,5
P11	Punto	L(6-22)		287,27	89,0	-60,2	3,4	-27,9	-1,3	0,0	3,1	3,1
P11	Punto	L(22-6)		287,27	89,0	-60,2	3,4	-27,9	-1,3	0,0	3,1	3,1
P12	Punto	L(6-22)		288,73	89,0	-60,2	3,4	-27,8	-1,2	0,0	3,2	3,2
P12	Punto	L(22-6)		288,73	89,0	-60,2	3,4	-27,8	-1,2	0,0	3,2	3,2
P13	Punto	L(6-22)		290,27	89,0	-60,2	3,4	-27,6	-1,2	3,1	6,6	6,6
P13	Punto	L(22-6)		290,27	89,0	-60,2	3,4	-27,6	-1,2	3,1	6,6	6,6
P14	Punto	L(6-22)		291,97	89,0	-60,3	3,4	-24,8	-0,8	1,8	8,4	8,4
P14	Punto	L(22-6)		291,97	89,0	-60,3	3,4	-24,8	-0,8	1,8	8,4	8,4
P15	Punto	L(6-22)		293,47	89,0	-60,3	3,5	-25,0	-0,8	1,9	8,3	8,3
P15	Punto	L(22-6)		293,47	89,0	-60,3	3,5	-25,0	-0,8	1,9	8,3	8,3
P16	Punto	L(6-22)		410,32	89,0	-63,3	4,2	-24,6	-1,0	2,7	7,0	7,0
P16	Punto	L(22-6)		410,32	89,0	-63,3	4,2	-24,6	-1,0	2,7	7,0	7,0
P17	Punto	L(6-22)		410,27	89,0	-63,3	4,2	-24,6	-1,0	2,7	7,0	7,0
P17	Punto	L(22-6)		410,27	89,0	-63,3	4,2	-24,6	-1,0	2,7	7,0	7,0
P18	Punto	L(6-22)		410,19	89,0	-63,3	4,2	-24,8	-1,1	2,7	6,8	6,8
P18	Punto	L(22-6)		410,19	89,0	-63,3	4,2	-24,8	-1,1	2,7	6,8	6,8
P2	Punto	L(6-22)		270,82	89,0	-59,6	3,3	-26,9	-1,0	9,0	13,7	13,7
P2	Punto	L(22-6)		270,82	89,0	-59,6	3,3	-26,9	-1,0	9,0	13,7	13,7
P3	Punto	L(6-22)		269,70	89,0	-59,6	3,3	-20,6	-0,7	4,7	16,1	16,1
P3	Punto	L(22-6)		269,70	89,0	-59,6	3,3	-20,6	-0,7	4,7	16,1	16,1
P4	Punto	L(6-22)		268,69	89,0	-59,6	3,2	-22,7	-0,6	5,3	14,7	14,7
P4	Punto	L(22-6)		268,69	89,0	-59,6	3,2	-22,7	-0,6	5,3	14,7	14,7
P5	Punto	L(6-22)		267,63	89,0	-59,5	3,2	-24,8	-0,8	0,0	7,2	7,2

Ident:
C330AV3P001

Valutazione previsionale impatto acustico

Simulazione ASS

Sorgente	ipo sorgent	TR	A	S	Lw	Adiv	Agr	Abar	Aatm	dLrefl	Ls	Lr
			m ²	m	dB(A)	dB	dB	dB	dB	dB	dB(A)	dB(A)
P5	Punto	L(22-6)		267,63	89,0	-59,5	3,2	-24,8	-0,8	0,0	7,2	7,2
P6	Punto	L(6-22)		266,50	89,0	-59,5	3,2	-26,3	-0,9	0,0	5,5	5,5
P6	Punto	L(22-6)		266,50	89,0	-59,5	3,2	-26,3	-0,9	0,0	5,5	5,5
P7	Punto	L(6-22)		272,06	89,0	-59,7	3,2	-8,1	-1,3	2,6	25,9	25,9
P7	Punto	L(22-6)		272,06	89,0	-59,7	3,2	-8,1	-1,3	2,6	25,9	25,9
P8	Punto	L(6-22)		271,35	89,0	-59,7	3,2	-8,1	-1,3	2,2	25,5	25,5
P8	Punto	L(22-6)		271,35	89,0	-59,7	3,2	-8,1	-1,3	2,2	25,5	25,5
P9	Punto	L(6-22)		270,61	89,0	-59,6	3,2	-26,7	-1,0	13,7	18,6	18,6
P9	Punto	L(22-6)		270,61	89,0	-59,6	3,2	-26,7	-1,0	13,7	18,6	18,6
PM	Punto	L(6-22)		311,80	106,2	-60,9	3,3	-26,9	-1,3	6,5	26,9	22,7
PM	Punto	L(22-6)		311,80	106,2	-60,9	3,3	-26,9	-1,3	6,5	26,9	22,7
SC-E	Area	L(6-22)	22,1	281,80	68,4	-60,0	2,0	-14,5	-0,7	0,0	-1,8	-1,8
SC-E	Area	L(22-6)	22,1	281,80	68,4	-60,0	2,0	-14,5	-0,7	0,0	-1,8	-1,8
SC-N	Area	L(6-22)	24,0	281,55	68,8	-60,0	2,0	-11,5	-0,8	0,0	1,6	1,6
SC-N	Area	L(22-6)	24,0	281,55	68,8	-60,0	2,0	-11,5	-0,8	0,0	1,6	1,6
SC-O	Area	L(6-22)	22,1	280,06	68,4	-59,9	2,1	-4,7	-1,2	0,0	7,6	7,6
SC-O	Area	L(22-6)	22,1	280,06	68,4	-59,9	2,1	-4,7	-1,2	0,0	7,6	7,6
SC-S	Area	L(6-22)	24,0	280,31	68,8	-59,9	2,1	-6,2	-1,2	0,0	6,5	6,5
SC-S	Area	L(22-6)	24,0	280,31	68,8	-59,9	2,1	-6,2	-1,2	0,0	6,5	6,5
SC-T	Area	L(6-22)	4,4	281,00	61,4	-60,0	1,8	-6,6	-1,4	0,0	-4,6	-4,6
SC-T	Area	L(22-6)	4,4	281,00	61,4	-60,0	1,8	-6,6	-1,4	0,0	-4,6	-4,6
SS-E	Area	L(6-22)	72,6	278,26	73,6	-59,9	2,0	-13,6	-0,6	0,2	4,7	4,7
SS-E	Area	L(22-6)	72,6	278,26	73,6	-59,9	2,0	-13,6	-0,6	0,2	4,7	4,7
SS-N	Area	L(6-22)	36,8	278,88	70,7	-59,9	2,0	-10,0	-0,7	0,0	5,1	5,1
SS-N	Area	L(22-6)	36,8	278,88	70,7	-59,9	2,0	-10,0	-0,7	0,0	5,1	5,1
SS-O	Area	L(6-22)	72,6	276,01	73,6	-59,8	1,9	-0,4	-0,9	0,0	17,5	17,5
SS-O	Area	L(22-6)	72,6	276,01	73,6	-59,8	1,9	-0,4	-0,9	0,0	17,5	17,5
SS-S	Area	L(6-22)	37,3	275,40	70,7	-59,8	2,0	-0,6	-0,9	0,0	14,4	14,4
SS-S	Area	L(22-6)	37,3	275,40	70,7	-59,8	2,0	-0,6	-0,9	0,0	14,4	14,4
SS-T	Area	L(6-22)	15,9	277,24	67,0	-59,8	1,8	-6,5	-0,9	0,0	1,6	1,6
SS-T	Area	L(22-6)	15,9	277,24	67,0	-59,8	1,8	-6,5	-0,9	0,0	1,6	1,6
T1-E	Area	L(6-22)	4,8	245,95	76,8	-58,8	2,8	-19,7	-0,4	6,7	10,4	10,4
T1-E	Area	L(22-6)	4,8	245,95	76,8	-58,8	2,8	-19,7	-0,4	6,7	10,4	10,4
T1-N	Area	L(6-22)	7,1	245,23	78,5	-58,8	2,8	-18,6	-0,4	8,1	14,7	14,7
T1-N	Area	L(22-6)	7,1	245,23	78,5	-58,8	2,8	-18,6	-0,4	8,1	14,7	14,7
T1-O	Area	L(6-22)	4,8	243,35	76,8	-58,7	2,7	-9,4	-0,6	0,4	14,2	14,2
T1-O	Area	L(22-6)	4,8	243,35	76,8	-58,7	2,7	-9,4	-0,6	0,4	14,2	14,2
T1-S	Area	L(6-22)	7,1	244,06	78,5	-58,7	2,8	-12,2	-0,5	0,6	13,4	13,4
T1-S	Area	L(22-6)	7,1	244,06	78,5	-58,7	2,8	-12,2	-0,5	0,6	13,4	13,4
T1-T	Area	L(6-22)	6,5	244,62	78,1	-58,8	2,3	-6,3	-0,6	1,9	16,6	16,6
T1-T	Area	L(22-6)	6,5	244,62	78,1	-58,8	2,3	-6,3	-0,6	1,9	16,6	16,6
T2-E	Area	L(6-22)	4,8	243,37	76,8	-58,7	2,7	-19,5	-0,4	6,3	10,3	10,3
T2-E	Area	L(22-6)	4,8	243,37	76,8	-58,7	2,7	-19,5	-0,4	6,3	10,3	10,3
T2-N	Area	L(6-22)	7,1	242,62	78,5	-58,7	2,7	-18,5	-0,4	7,6	14,2	14,2
T2-N	Area	L(22-6)	7,1	242,62	78,5	-58,7	2,7	-18,5	-0,4	7,6	14,2	14,2
T2-O	Area	L(6-22)	4,8	240,74	76,8	-58,6	2,7	-9,4	-0,6	0,3	14,3	14,3
T2-O	Area	L(22-6)	4,8	240,74	76,8	-58,6	2,7	-9,4	-0,6	0,3	14,3	14,3
T2-S	Area	L(6-22)	7,1	241,49	78,5	-58,6	2,7	-11,6	-0,6	0,4	13,8	13,8
T2-S	Area	L(22-6)	7,1	241,49	78,5	-58,6	2,7	-11,6	-0,6	0,4	13,8	13,8
T2-T	Area	L(6-22)	6,5	242,02	78,1	-58,7	2,3	-7,1	-0,6	2,0	16,0	16,0
T2-T	Area	L(22-6)	6,5	242,02	78,1	-58,7	2,3	-7,1	-0,6	2,0	16,0	16,0
TE-E	Area	L(6-22)	10,0	222,72	80,0	-57,9	2,6	-13,5	-0,4	3,5	17,2	17,2
TE-E	Area	L(22-6)	10,0	222,72	80,0	-57,9	2,6	-13,5	-0,4	3,5	17,2	17,2
TE-N	Area	L(6-22)	20,0	219,75	83,0	-57,8	2,6	-12,4	-0,4	0,3	18,2	18,2
TE-N	Area	L(22-6)	20,0	219,75	83,0	-57,8	2,6	-12,4	-0,4	0,3	18,2	18,2

Ident:
C330AV3P001

Valutazione previsionale impatto acustico

Simulazione ASS

Sorgente	ipo sorgent	TR	A	S	Lw	Adiv	Agr	Abar	Aatm	dLrefl	Ls	Lr
			m ²	m	dB(A)	dB	dB	dB	dB	dB	dB(A)	dB(A)
TE-O	Area	L(6-22)	10,0	215,31	80,0	-57,7	2,6	-7,3	-0,6	0,2	20,2	20,2
TE-O	Area	L(22-6)	10,0	215,31	80,0	-57,7	2,6	-7,3	-0,6	0,2	20,2	20,2
TE-S	Area	L(6-22)	20,0	218,21	83,0	-57,8	2,6	-7,3	-0,6	1,1	24,0	24,0
TE-S	Area	L(22-6)	20,0	218,21	83,0	-57,8	2,6	-7,3	-0,6	1,1	24,0	24,0
TE-T	Area	L(6-22)	32,0	218,98	85,1	-57,8	2,3	-7,1	-0,6	1,1	22,9	22,9
TE-T	Area	L(22-6)	32,0	218,98	85,1	-57,8	2,3	-7,1	-0,6	1,1	22,9	22,9
TO-E	Area	L(6-22)	32,0	423,16	85,1	-63,5	3,9	-26,5	-2,5	0,0	-0,6	-0,6
TO-E	Area	L(22-6)	32,0	423,16	85,1	-63,5	3,9	-26,5	-2,5	0,0	-0,6	-0,6
TO-N	Area	L(6-22)	43,6	417,91	86,4	-63,4	3,9	-26,3	-2,4	0,0	1,2	1,2
TO-N	Area	L(22-6)	43,6	417,91	86,4	-63,4	3,9	-26,3	-2,4	0,0	1,2	1,2
TO-O	Area	L(6-22)	32,0	412,26	85,1	-63,3	3,8	-24,0	-1,6	0,0	3,0	3,0
TO-O	Area	L(22-6)	32,0	412,26	85,1	-63,3	3,8	-24,0	-1,6	0,0	3,0	3,0
TO-S	Area	L(6-22)	43,6	417,42	86,4	-63,4	3,9	-23,9	-1,6	0,0	4,4	4,4
TO-S	Area	L(22-6)	43,6	417,42	86,4	-63,4	3,9	-23,9	-1,6	0,0	4,4	4,4
TO-T	Area	L(6-22)	87,2	417,69	89,4	-63,4	3,4	-20,7	-1,4	0,0	7,3	7,3
TO-T	Area	L(22-6)	87,2	417,69	89,4	-63,4	3,4	-20,7	-1,4	0,0	7,3	7,3
VF	Punto	L(6-22)		296,41	71,0	-60,4	3,1	-24,5	-0,8	4,2	-7,4	-7,4
VF	Punto	L(22-6)		296,41	71,0	-60,4	3,1	-24,5	-0,8	4,2	-7,4	-7,4



IMPIANTO / Plant

MICHELIN CUNEO - TRIGENERAZIONE

TITOLO/Title

Valutazione Previsionale Impatto Acustico

Allegato: 17

Codifica Doc.

C330AV3P001

Rev.0 del/of 09/08/21

ALLEGATO 17

**DETTAGLIO CALCOLI PREVISIONALI
SIMULAZIONE DIFF**

MICHELIN CUNEO - TRIGENERAZIONE

ALLEGATO 17

Ident:
C330AV3P001

Valutazione previsionale impatto acustico

Simulazione DIFF

Sorgente	ipo sorgent	TR	Lw	A	S	Adiv	Agr	Abar	Aatm	dLrefl	Ls	Lr
			dB(A)	m ²	m	dB	dB	dB	dB	dB	dB(A)	dB(A)
Ricevitore R1		L(6-22) 55,5 dB(A)	L(22-6) 45,0 dB(A)									
A1	Area	L(6-22)	79,4	27,5	45,28	-44,1	2,3	-5,9	-0,3	0,1	34,4	34,4
A1	Area	L(22-6)	79,4	27,5	45,28	-44,1	2,3	-5,9	-0,3	0,1	34,4	34,4
A2	Area	L(6-22)	79,4	27,5	47,08	-44,4	2,3	-6,2	-0,3	0,1	33,8	33,8
A2	Area	L(22-6)	79,4	27,5	47,08	-44,4	2,3	-6,2	-0,3	0,1	33,8	33,8
AC1	Area	L(6-22)	79,8	3,0	102,38	-51,2	2,8	-21,6	-0,2	1,5	14,1	14,1
AC1	Area	L(22-6)	79,8	3,0	102,38	-51,2	2,8	-21,6	-0,2	1,5	14,1	14,1
AC2	Area	L(6-22)	79,8	3,0	105,06	-51,4	2,8	-21,8	-0,2	1,7	13,8	13,8
AC2	Area	L(22-6)	79,8	3,0	105,06	-51,4	2,8	-21,8	-0,2	1,7	13,8	13,8
AU	Punto	L(6-22)	102,8		41,21	-43,3	2,0	-14,0	-0,1	3,1	50,4	50,4
AU	Punto	L(22-6)	102,8		41,21	-43,3	2,0	-14,0	-0,1	3,1	50,4	50,4
BV1-E	Area	L(6-22)	73,8	2,4	81,69	-49,2	2,7	-8,0	-0,1	0,3	22,5	22,5
BV1-E	Area	L(22-6)	73,8	2,4	81,69	-49,2	2,7	-8,0	-0,1	0,3	22,5	22,5
BV1-N	Area	L(6-22)	75,6	3,6	80,77	-49,1	2,7	-10,1	-0,1	0,1	22,1	22,1
BV1-N	Area	L(22-6)	75,6	3,6	80,77	-49,1	2,7	-10,1	-0,1	0,1	22,1	22,1
BV1-O	Area	L(6-22)	73,8	2,4	81,87	-49,3	2,7	-25,5	-0,2	0,5	5,1	5,1
BV1-O	Area	L(22-6)	73,8	2,4	81,87	-49,3	2,7	-25,5	-0,2	0,5	5,1	5,1
BV1-S	Area	L(6-22)	75,6	3,6	82,79	-49,4	2,7	-17,1	-0,1	1,2	15,9	15,9
BV1-S	Area	L(22-6)	75,6	3,6	82,79	-49,4	2,7	-17,1	-0,1	1,2	15,9	15,9
BV1-T	Area	L(6-22)	77,8	6,0	81,77	-49,2	2,4	-9,8	-0,1	0,5	21,4	21,4
BV1-T	Area	L(22-6)	77,8	6,0	81,77	-49,2	2,4	-9,8	-0,1	0,5	21,4	21,4
BV2-E	Area	L(6-22)	73,8	2,4	90,80	-50,2	2,8	-7,1	-0,2	0,4	22,5	22,5
BV2-E	Area	L(22-6)	73,8	2,4	90,80	-50,2	2,8	-7,1	-0,2	0,4	22,5	22,5
BV2-N	Area	L(6-22)	75,6	3,6	89,87	-50,1	2,8	-11,0	-0,1	0,4	20,5	20,5
BV2-N	Area	L(22-6)	75,6	3,6	89,87	-50,1	2,8	-11,0	-0,1	0,4	20,5	20,5
BV2-O	Area	L(6-22)	73,8	2,4	90,96	-50,2	2,8	-25,6	-0,2	0,3	3,9	3,9
BV2-O	Area	L(22-6)	73,8	2,4	90,96	-50,2	2,8	-25,6	-0,2	0,3	3,9	3,9
BV2-S	Area	L(6-22)	75,6	3,6	91,89	-50,3	2,8	-16,2	-0,1	1,3	16,0	16,0
BV2-S	Area	L(22-6)	75,6	3,6	91,89	-50,3	2,8	-16,2	-0,1	1,3	16,0	16,0
BV2-T	Area	L(6-22)	77,8	6,0	90,87	-50,2	2,7	-8,6	-0,2	0,4	22,0	22,0
BV2-T	Area	L(22-6)	77,8	6,0	90,87	-50,2	2,7	-8,6	-0,2	0,4	22,0	22,0
BV3-E	Area	L(6-22)	73,8	2,4	100,08	-51,0	2,8	-6,4	-0,2	0,4	22,4	22,4
BV3-E	Area	L(22-6)	73,8	2,4	100,08	-51,0	2,8	-6,4	-0,2	0,4	22,4	22,4
BV3-N	Area	L(6-22)	75,6	3,6	99,15	-50,9	2,8	-9,8	-0,2	0,3	20,9	20,9
BV3-N	Area	L(22-6)	75,6	3,6	99,15	-50,9	2,8	-9,8	-0,2	0,3	20,9	20,9
BV3-O	Area	L(6-22)	73,8	2,4	100,23	-51,0	2,8	-25,7	-0,2	0,9	3,6	3,6
BV3-O	Area	L(22-6)	73,8	2,4	100,23	-51,0	2,8	-25,7	-0,2	0,9	3,6	3,6
BV3-S	Area	L(6-22)	75,6	3,6	101,17	-51,1	2,8	-15,9	-0,2	1,9	16,1	16,1
BV3-S	Area	L(22-6)	75,6	3,6	101,17	-51,1	2,8	-15,9	-0,2	1,9	16,1	16,1
BV3-T	Area	L(6-22)	77,8	6,0	100,15	-51,0	2,8	-7,7	-0,2	0,3	22,1	22,1
BV3-T	Area	L(22-6)	77,8	6,0	100,15	-51,0	2,8	-7,7	-0,2	0,3	22,1	22,1
C1	Area	L(6-22)	86,5	1,4	122,79	-52,8	2,7	-6,0	-1,2	0,0	29,2	29,2
C1	Area	L(22-6)	86,5	1,4	122,79	-52,8	2,7	-6,0	-1,2	0,0	29,2	29,2
C2	Area	L(6-22)	86,5	1,4	131,02	-53,3	2,8	-6,1	-1,2	0,0	28,6	28,6
C2	Area	L(22-6)	86,5	1,4	131,02	-53,3	2,8	-6,1	-1,2	0,0	28,6	28,6
C3	Area	L(6-22)	67,8	1,2	82,92	-49,4	2,6	-2,5	-0,1	0,0	18,4	18,4
C3	Area	L(22-6)	67,8	1,2	82,92	-49,4	2,6	-2,5	-0,1	0,0	18,4	18,4
C4	Area	L(6-22)	67,8	1,2	91,70	-50,2	2,6	-2,4	-0,2	0,0	17,6	17,6
C4	Area	L(22-6)	67,8	1,2	91,70	-50,2	2,6	-2,4	-0,2	0,0	17,6	17,6
C5	Area	L(6-22)	67,8	1,2	100,58	-51,0	2,6	-2,4	-0,2	0,0	16,8	16,8
C5	Area	L(22-6)	67,8	1,2	100,58	-51,0	2,6	-2,4	-0,2	0,0	16,8	16,8
C6	Area	L(6-22)	76,4	0,5	59,59	-46,5	2,3	-2,4	-0,1	0,0	29,7	29,7
C6	Area	L(22-6)	76,4	0,5	59,59	-46,5	2,3	-2,4	-0,1	0,0	29,7	29,7
CM-E	Area	L(6-22)	83,0	198,9	123,13	-52,8	2,8	-15,5	-0,9	0,8	20,3	20,3
CM-E	Area	L(22-6)	83,0	198,9	123,13	-52,8	2,8	-15,5	-0,9	0,8	20,3	20,3

MICHELIN CUNEO - TRIGENERAZIONE

ALLEGATO 17

Ident:
C330AV3P001

Valutazione previsionale impatto acustico

Simulazione DIFF

Sorgente	ipo sorgent	TR	Lw	A	S	Adiv	Agr	Abar	Aatm	dLrefl	Ls	Lr
			dB(A)	m ²	m	dB	dB	dB	dB	dB	dB(A)	dB(A)
CM-N	Area	L(6-22)	86,2	417,5	119,20	-52,5	2,8	-16,3	-0,8	1,1	23,4	23,4
CM-N	Area	L(22-6)	86,2	417,5	119,20	-52,5	2,8	-16,3	-0,8	1,1	23,4	23,4
CM-O	Area	L(6-22)	83,0	198,9	133,10	-53,5	2,8	-22,2	-0,9	2,2	14,4	14,4
CM-O	Area	L(22-6)	83,0	198,9	133,10	-53,5	2,8	-22,2	-0,9	2,2	14,4	14,4
CM-S	Area	L(6-22)	86,2	417,5	135,82	-53,7	2,8	-25,4	-1,4	0,7	12,2	12,2
CM-S	Area	L(22-6)	86,2	417,5	135,82	-53,7	2,8	-25,4	-1,4	0,7	12,2	12,2
CM-T	Area	L(6-22)	88,0	628,1	127,55	-53,1	2,7	-18,1	-0,9	0,6	19,3	19,3
CM-T	Area	L(22-6)	88,0	628,1	127,55	-53,1	2,7	-18,1	-0,9	0,6	19,3	19,3
CR1-E	Area	L(6-22)	79,9	19,6	118,06	-52,4	2,8	-8,1	-0,3	0,2	25,0	25,0
CR1-E	Area	L(22-6)	79,9	19,6	118,06	-52,4	2,8	-8,1	-0,3	0,2	25,0	25,0
CR1-N	Area	L(6-22)	83,2	42,0	116,58	-52,3	2,8	-12,3	-0,3	0,4	24,6	24,6
CR1-N	Area	L(22-6)	83,2	42,0	116,58	-52,3	2,8	-12,3	-0,3	0,4	24,6	24,6
CR1-O	Area	L(6-22)	79,9	19,6	118,64	-52,5	2,8	-21,2	-0,3	0,4	12,2	12,2
CR1-O	Area	L(22-6)	79,9	19,6	118,64	-52,5	2,8	-21,2	-0,3	0,4	12,2	12,2
CR1-S	Area	L(6-22)	83,2	42,0	120,09	-52,6	2,8	-20,0	-0,3	2,2	18,4	18,4
CR1-S	Area	L(22-6)	83,2	42,0	120,09	-52,6	2,8	-20,0	-0,3	2,2	18,4	18,4
CR1-T	Area	L(6-22)	81,2	26,3	118,39	-52,5	2,7	-14,3	-0,3	0,7	17,6	17,6
CR1-T	Area	L(22-6)	81,2	26,3	118,39	-52,5	2,7	-14,3	-0,3	0,7	17,6	17,6
CR2-E	Area	L(6-22)	79,9	19,6	126,51	-53,0	2,8	-7,7	-0,3	0,2	24,9	24,9
CR2-E	Area	L(22-6)	79,9	19,6	126,51	-53,0	2,8	-7,7	-0,3	0,2	24,9	24,9
CR2-N	Area	L(6-22)	83,2	42,0	125,02	-52,9	2,8	-15,1	-0,3	0,8	21,6	21,6
CR2-N	Area	L(22-6)	83,2	42,0	125,02	-52,9	2,8	-15,1	-0,3	0,8	21,6	21,6
CR2-O	Area	L(6-22)	79,9	19,6	127,06	-53,1	2,8	-21,3	-0,3	0,4	11,5	11,5
CR2-O	Area	L(22-6)	79,9	19,6	127,06	-53,1	2,8	-21,3	-0,3	0,4	11,5	11,5
CR2-S	Area	L(6-22)	83,2	42,0	128,53	-53,2	2,8	-19,7	-0,3	1,9	17,8	17,8
CR2-S	Area	L(22-6)	83,2	42,0	128,53	-53,2	2,8	-19,7	-0,3	1,9	17,8	17,8
CR2-T	Area	L(6-22)	81,2	26,3	126,82	-53,1	2,7	-14,1	-0,3	0,9	17,4	17,4
CR2-T	Area	L(22-6)	81,2	26,3	126,82	-53,1	2,7	-14,1	-0,3	0,9	17,4	17,4
CV1-E	Area	L(6-22)	81,6	29,1	83,42	-49,4	2,6	-12,9	-0,1	1,2	26,0	26,0
CV1-E	Area	L(22-6)	81,6	29,1	83,42	-49,4	2,6	-12,9	-0,1	1,2	26,0	26,0
CV1-N	Area	L(6-22)	83,9	48,6	80,95	-49,2	2,6	-14,1	-0,1	0,2	26,2	26,2
CV1-N	Area	L(22-6)	83,9	48,6	80,95	-49,2	2,6	-14,1	-0,1	0,2	26,2	26,2
CV1-O	Area	L(6-22)	81,6	29,1	84,25	-49,5	2,7	-20,1	-0,1	0,1	17,7	17,7
CV1-O	Area	L(22-6)	81,6	29,1	84,25	-49,5	2,7	-20,1	-0,1	0,1	17,7	17,7
CV1-S	Area	L(6-22)	83,9	48,6	86,32	-49,7	2,6	-19,4	-0,1	1,7	22,0	22,0
CV1-S	Area	L(22-6)	83,9	48,6	86,32	-49,7	2,6	-19,4	-0,1	1,7	22,0	22,0
CV1-T	Area	L(6-22)	83,9	48,5	83,65	-49,4	2,5	-15,1	-0,1	0,4	22,1	22,1
CV1-T	Area	L(22-6)	83,9	48,5	83,65	-49,4	2,5	-15,1	-0,1	0,4	22,1	22,1
CV2-E	Area	L(6-22)	81,6	29,1	92,51	-50,3	2,7	-11,8	-0,1	0,4	25,5	25,5
CV2-E	Area	L(22-6)	81,6	29,1	92,51	-50,3	2,7	-11,8	-0,1	0,4	25,5	25,5
CV2-N	Area	L(6-22)	83,9	48,6	89,99	-50,1	2,6	-16,2	-0,1	0,8	23,9	23,9
CV2-N	Area	L(22-6)	83,9	48,6	89,99	-50,1	2,6	-16,2	-0,1	0,8	23,9	23,9
CV2-O	Area	L(6-22)	81,6	29,1	93,24	-50,4	2,7	-20,3	-0,2	0,2	16,7	16,7
CV2-O	Area	L(22-6)	81,6	29,1	93,24	-50,4	2,7	-20,3	-0,2	0,2	16,7	16,7
CV2-S	Area	L(6-22)	83,9	48,6	95,36	-50,6	2,7	-19,4	-0,1	1,8	21,3	21,3
CV2-S	Area	L(22-6)	83,9	48,6	95,36	-50,6	2,7	-19,4	-0,1	1,8	21,3	21,3
CV2-T	Area	L(6-22)	83,9	48,5	92,70	-50,3	2,6	-14,5	-0,1	0,6	22,0	22,0
CV2-T	Area	L(22-6)	83,9	48,5	92,70	-50,3	2,6	-14,5	-0,1	0,6	22,0	22,0
CV3-E	Area	L(6-22)	81,6	29,1	101,79	-51,1	2,7	-10,9	-0,2	0,5	25,6	25,6
CV3-E	Area	L(22-6)	81,6	29,1	101,79	-51,1	2,7	-10,9	-0,2	0,5	25,6	25,6
CV3-N	Area	L(6-22)	83,9	48,6	99,21	-50,9	2,7	-15,7	-0,1	0,9	23,7	23,7
CV3-N	Area	L(22-6)	83,9	48,6	99,21	-50,9	2,7	-15,7	-0,1	0,9	23,7	23,7
CV3-O	Area	L(6-22)	81,6	29,1	102,42	-51,2	2,7	-20,6	-0,2	0,2	15,6	15,6
CV3-O	Area	L(22-6)	81,6	29,1	102,42	-51,2	2,7	-20,6	-0,2	0,2	15,6	15,6
CV3-S	Area	L(6-22)	83,9	48,6	104,59	-51,4	2,7	-19,3	-0,2	2,2	20,9	20,9

Ident:
C330AV3P001

Valutazione previsionale impatto acustico

Simulazione DIFF

Sorgente	ipo sorgent	TR	Lw	A	S	Adiv	Agr	Abar	Aatm	dLrefl	Ls	Lr	
			dB(A)	m ²	m	dB	dB	dB	dB	dB	dB	dB(A)	
CV3-S	Area	L(22-6)	83,9	48,6	104,59	-51,4	2,7	-19,3	-0,2	2,2	20,9	20,9	
CV3-T	Area	L(6-22)	83,9	48,5	101,93	-51,2	2,6	-14,0	-0,1	0,8	22,0	22,0	
CV3-T	Area	L(22-6)	83,9	48,5	101,93	-51,2	2,6	-14,0	-0,1	0,8	22,0	22,0	
DIS1-E	Area	L(6-22)	76,1	6,5	120,59	-52,6	2,7	-8,7	-0,3	0,0	20,2	20,2	
DIS1-E	Area	L(22-6)	76,1	6,5	120,59	-52,6	2,7	-8,7	-0,3	0,0	20,2	20,2	
DIS1-N	Area	L(6-22)	83,1	32,4	121,32	-52,7	2,7	-9,8	-0,3	0,3	26,3	26,3	
DIS1-N	Area	L(22-6)	83,1	32,4	121,32	-52,7	2,7	-9,8	-0,3	0,3	26,3	26,3	
DIS1-O	Area	L(6-22)	76,1	6,5	124,53	-52,9	2,7	-17,3	-0,2	2,2	13,6	13,6	
DIS1-O	Area	L(22-6)	76,1	6,5	124,53	-52,9	2,7	-17,3	-0,2	2,2	13,6	13,6	
DIS1-S	Area	L(6-22)	83,1	32,4	123,60	-52,8	2,7	-19,5	-0,2	5,5	21,7	21,7	
DIS1-S	Area	L(22-6)	83,1	32,4	123,60	-52,8	2,7	-19,5	-0,2	5,5	21,7	21,7	
DIS1-T	Area	L(6-22)	82,6	28,8	122,59	-52,8	2,7	-10,3	-0,3	2,8	24,8	24,8	
DIS1-T	Area	L(22-6)	82,6	28,8	122,59	-52,8	2,7	-10,3	-0,3	2,8	24,8	24,8	
DIS2-E	Area	L(6-22)	76,1	6,5	125,16	-52,9	2,7	-9,2	-0,3	0,0	19,4	19,4	
DIS2-E	Area	L(22-6)	76,1	6,5	125,16	-52,9	2,7	-9,2	-0,3	0,0	19,4	19,4	
DIS2-N	Area	L(6-22)	83,1	32,4	125,83	-53,0	2,7	-14,4	-0,2	2,9	24,1	24,1	
DIS2-N	Area	L(22-6)	83,1	32,4	125,83	-53,0	2,7	-14,4	-0,2	2,9	24,1	24,1	
DIS2-O	Area	L(6-22)	76,1	6,5	128,96	-53,2	2,7	-17,3	-0,2	1,7	12,9	12,9	
DIS2-O	Area	L(22-6)	76,1	6,5	128,96	-53,2	2,7	-17,3	-0,2	1,7	12,9	12,9	
DIS2-S	Area	L(6-22)	83,1	32,4	128,11	-53,1	2,7	-19,6	-0,2	4,8	20,7	20,7	
DIS2-S	Area	L(22-6)	83,1	32,4	128,11	-53,1	2,7	-19,6	-0,2	4,8	20,7	20,7	
DIS2-T	Area	L(6-22)	82,6	28,8	127,09	-53,1	2,7	-10,8	-0,3	2,6	23,8	23,8	
DIS2-T	Area	L(22-6)	82,6	28,8	127,09	-53,1	2,7	-10,8	-0,3	2,6	23,8	23,8	
DIS3-E	Area	L(6-22)	76,1	6,5	129,69	-53,3	2,7	-8,5	-0,3	0,0	19,8	19,8	
DIS3-E	Area	L(22-6)	76,1	6,5	129,69	-53,3	2,7	-8,5	-0,3	0,0	19,8	19,8	
DIS3-N	Area	L(6-22)	83,1	32,4	130,28	-53,3	2,7	-15,0	-0,2	2,6	22,9	22,9	
DIS3-N	Area	L(22-6)	83,1	32,4	130,28	-53,3	2,7	-15,0	-0,2	2,6	22,9	22,9	
DIS3-O	Area	L(6-22)	76,1	6,5	133,35	-53,5	2,7	-18,8	-0,2	1,4	10,7	10,7	
DIS3-O	Area	L(22-6)	76,1	6,5	133,35	-53,5	2,7	-18,8	-0,2	1,4	10,7	10,7	
DIS3-S	Area	L(6-22)	83,1	32,4	132,58	-53,4	2,7	-19,7	-0,2	4,1	19,5	19,5	
DIS3-S	Area	L(22-6)	83,1	32,4	132,58	-53,4	2,7	-19,7	-0,2	4,1	19,5	19,5	
DIS3-T	Area	L(6-22)	82,6	28,8	131,56	-53,4	2,7	-11,2	-0,3	2,1	22,6	22,6	
DIS3-T	Area	L(22-6)	82,6	28,8	131,56	-53,4	2,7	-11,2	-0,3	2,1	22,6	22,6	
DIS4-E	Area	L(6-22)	76,1	6,5	134,33	-53,6	2,7	-8,1	-0,3	0,0	19,8	19,8	
DIS4-E	Area	L(22-6)	76,1	6,5	134,33	-53,6	2,7	-8,1	-0,3	0,0	19,8	19,8	
DIS4-N	Area	L(6-22)	83,1	32,4	134,87	-53,6	2,7	-15,0	-0,3	1,7	21,7	21,7	
DIS4-N	Area	L(22-6)	83,1	32,4	134,87	-53,6	2,7	-15,0	-0,3	1,7	21,7	21,7	
DIS4-O	Area	L(6-22)	76,1	6,5	137,88	-53,8	2,7	-18,0	-0,2	0,0	9,9	9,9	
DIS4-O	Area	L(22-6)	76,1	6,5	137,88	-53,8	2,7	-18,0	-0,2	0,0	9,9	9,9	
DIS4-S	Area	L(6-22)	83,1	32,4	137,17	-53,7	2,7	-19,8	-0,2	0,2	15,2	15,2	
DIS4-S	Area	L(22-6)	83,1	32,4	137,17	-53,7	2,7	-19,8	-0,2	0,2	15,2	15,2	
DIS4-T	Area	L(6-22)	82,6	28,8	136,14	-53,7	2,7	-11,5	-0,3	0,4	20,3	20,3	
DIS4-T	Area	L(22-6)	82,6	28,8	136,14	-53,7	2,7	-11,5	-0,3	0,4	20,3	20,3	
FM-E	Area	L(6-22)	66,7	4,7	55,00	-45,8	2,3	-3,6	-0,2	0,0	22,4	22,4	
FM-E	Area	L(22-6)	66,7	4,7	55,00	-45,8	2,3	-3,6	-0,2	0,0	22,4	22,4	
FM-N	Area	L(6-22)	72,3	16,9	56,06	-46,0	2,3	-0,6	-0,3	0,0	30,7	30,7	
FM-N	Area	L(22-6)	72,3	16,9	56,06	-46,0	2,3	-0,6	-0,3	0,0	30,7	30,7	
FM-O	Area	L(6-22)	66,7	4,7	59,40	-46,5	2,3	-9,7	-0,2	0,0	15,7	15,7	
FM-O	Area	L(22-6)	66,7	4,7	59,40	-46,5	2,3	-9,7	-0,2	0,0	15,7	15,7	
FM-S	Area	L(6-22)	72,3	16,9	58,10	-46,3	2,3	-15,6	-0,1	0,3	15,8	15,8	
FM-S	Area	L(22-6)	72,3	16,9	58,10	-46,3	2,3	-15,6	-0,1	0,3	15,8	15,8	
FM-T	Area	L(6-22)	73,0	19,9	57,03	-46,1	2,3	-7,1	-0,3	0,0	21,8	21,8	
FM-T	Area	L(22-6)	73,0	19,9	57,03	-46,1	2,3	-7,1	-0,3	0,0	21,8	21,8	
GC-E	Area	L(6-22)	65,0	10,0	68,26	-47,7	2,6	-7,0	-0,1	0,0	15,8	15,8	
GC-E	Area	L(22-6)	65,0	10,0	68,26	-47,7	2,6	-7,0	-0,1	0,0	15,8	15,8	

Ident:
C330AV3P001

Valutazione previsionale impatto acustico

Simulazione DIFF

Sorgente	ipo sorgent	TR	Lw	A	S	Adiv	Agr	Abar	Aatm	dLrefl	Ls	Lr
			dB(A)	m ²	m	dB	dB	dB	dB	dB	dB(A)	dB(A)
GC-N	Area	L(6-22)	70,8	38,0	70,09	-47,9	2,6	-6,9	-0,2	0,0	21,4	21,4
GC-N	Area	L(22-6)	70,8	38,0	70,09	-47,9	2,6	-6,9	-0,2	0,0	21,4	21,4
GC-O	Area	L(6-22)	65,0	10,0	75,95	-48,6	2,6	-9,3	-0,1	0,1	12,7	12,7
GC-O	Area	L(22-6)	65,0	10,0	75,95	-48,6	2,6	-9,3	-0,1	0,1	12,7	12,7
GC-S	Area	L(6-22)	70,8	38,0	73,56	-48,3	2,7	-18,1	-0,1	0,7	10,7	10,7
GC-S	Area	L(22-6)	70,8	38,0	73,56	-48,3	2,7	-18,1	-0,1	0,7	10,7	10,7
GC-T	Area	L(6-22)	72,8	60,7	71,80	-48,1	2,2	-8,1	-0,2	0,3	19,0	19,0
GC-T	Area	L(22-6)	72,8	60,7	71,80	-48,1	2,2	-8,1	-0,2	0,3	19,0	19,0
IC1-E	Area	L(6-22)	68,0	2,0	91,01	-50,2	2,6	-2,7	-0,3	0,1	20,5	20,5
IC1-E	Area	L(22-6)	68,0	2,0	91,01	-50,2	2,6	-2,7	-0,3	0,1	20,5	20,5
IC1-N	Area	L(6-22)	68,0	2,0	90,50	-50,1	2,6	-1,6	-0,3	0,0	21,6	21,6
IC1-N	Area	L(22-6)	68,0	2,0	90,50	-50,1	2,6	-1,6	-0,3	0,0	21,6	21,6
IC1-O	Area	L(6-22)	68,0	2,0	91,83	-50,3	2,6	-7,3	-0,2	0,2	16,0	16,0
IC1-O	Area	L(22-6)	68,0	2,0	91,83	-50,3	2,6	-7,3	-0,2	0,2	16,0	16,0
IC1-S	Area	L(6-22)	68,0	2,0	92,34	-50,3	2,6	-8,4	-0,1	0,4	15,1	15,1
IC1-S	Area	L(22-6)	68,0	2,0	92,34	-50,3	2,6	-8,4	-0,1	0,4	15,1	15,1
IC1-T	Area	L(6-22)	71,0	4,0	91,47	-50,2	2,6	-5,2	-0,2	0,2	18,1	18,1
IC1-T	Area	L(22-6)	71,0	4,0	91,47	-50,2	2,6	-5,2	-0,2	0,2	18,1	18,1
IC2-E	Area	L(6-22)	68,0	2,0	89,96	-50,1	2,6	-11,2	-0,2	0,7	12,9	12,9
IC2-E	Area	L(22-6)	68,0	2,0	89,96	-50,1	2,6	-11,2	-0,2	0,7	12,9	12,9
IC2-N	Area	L(6-22)	68,0	2,0	89,41	-50,0	2,6	-6,0	-0,2	0,0	17,3	17,3
IC2-N	Area	L(22-6)	68,0	2,0	89,41	-50,0	2,6	-6,0	-0,2	0,0	17,3	17,3
IC2-O	Area	L(6-22)	68,0	2,0	90,73	-50,1	2,6	-7,4	-0,2	0,2	16,0	16,0
IC2-O	Area	L(22-6)	68,0	2,0	90,73	-50,1	2,6	-7,4	-0,2	0,2	16,0	16,0
IC2-S	Area	L(6-22)	68,0	2,0	91,28	-50,2	2,6	-15,1	-0,1	1,1	9,2	9,2
IC2-S	Area	L(22-6)	68,0	2,0	91,28	-50,2	2,6	-15,1	-0,1	1,1	9,2	9,2
IC2-T	Area	L(6-22)	71,0	4,0	90,38	-50,1	2,6	-12,1	-0,2	0,6	11,9	11,9
IC2-T	Area	L(22-6)	71,0	4,0	90,38	-50,1	2,6	-12,1	-0,2	0,6	11,9	11,9
P1	Punto	L(6-22)	89,0		79,05	-49,0	2,8	-20,7	-0,2	0,2	22,2	22,2
P1	Punto	L(22-6)	89,0		79,05	-49,0	2,8	-20,7	-0,2	0,2	22,2	22,2
P10	Punto	L(6-22)	89,0		73,96	-48,4	2,8	-21,6	-0,2	0,2	21,8	21,8
P10	Punto	L(22-6)	89,0		73,96	-48,4	2,8	-21,6	-0,2	0,2	21,8	21,8
P11	Punto	L(6-22)	89,0		73,58	-48,3	2,8	-22,0	-0,2	0,6	21,9	21,9
P11	Punto	L(22-6)	89,0		73,58	-48,3	2,8	-22,0	-0,2	0,6	21,9	21,9
P12	Punto	L(6-22)	89,0		73,22	-48,3	2,8	-20,3	-0,2	1,4	24,4	24,4
P12	Punto	L(22-6)	89,0		73,22	-48,3	2,8	-20,3	-0,2	1,4	24,4	24,4
P13	Punto	L(6-22)	89,0		72,87	-48,2	2,8	-19,9	-0,2	1,2	24,7	24,7
P13	Punto	L(22-6)	89,0		72,87	-48,2	2,8	-19,9	-0,2	1,2	24,7	24,7
P14	Punto	L(6-22)	89,0		72,59	-48,2	2,8	-19,0	-0,2	1,3	25,7	25,7
P14	Punto	L(22-6)	89,0		72,59	-48,2	2,8	-19,0	-0,2	1,3	25,7	25,7
P15	Punto	L(6-22)	89,0		72,37	-48,2	2,8	-17,5	-0,2	0,9	26,8	26,8
P15	Punto	L(22-6)	89,0		72,37	-48,2	2,8	-17,5	-0,2	0,9	26,8	26,8
P16	Punto	L(6-22)	89,0		259,59	-59,3	4,1	-8,1	-1,5	0,4	24,7	24,7
P16	Punto	L(22-6)	89,0		259,59	-59,3	4,1	-8,1	-1,5	0,4	24,7	24,7
P17	Punto	L(6-22)	89,0		261,05	-59,3	4,1	-8,1	-1,5	2,7	27,0	27,0
P17	Punto	L(22-6)	89,0		261,05	-59,3	4,1	-8,1	-1,5	2,7	27,0	27,0
P18	Punto	L(6-22)	89,0		262,60	-59,4	4,1	-8,1	-1,5	2,6	26,8	26,8
P18	Punto	L(22-6)	89,0		262,60	-59,4	4,1	-8,1	-1,5	2,6	26,8	26,8
P2	Punto	L(6-22)	89,0		80,59	-49,1	2,8	-20,5	-0,2	0,2	22,2	22,2
P2	Punto	L(22-6)	89,0		80,59	-49,1	2,8	-20,5	-0,2	0,2	22,2	22,2
P3	Punto	L(6-22)	89,0		82,27	-49,3	2,8	-20,7	-0,3	0,2	21,8	21,8
P3	Punto	L(22-6)	89,0		82,27	-49,3	2,8	-20,7	-0,3	0,2	21,8	21,8
P4	Punto	L(6-22)	89,0		83,84	-49,5	2,8	-20,4	-0,3	0,7	22,4	22,4
P4	Punto	L(22-6)	89,0		83,84	-49,5	2,8	-20,4	-0,3	0,7	22,4	22,4
P5	Punto	L(6-22)	89,0		85,50	-49,6	2,8	-13,6	-0,3	0,2	28,5	28,5

Ident:
C330AV3P001

Valutazione previsionale impatto acustico

Simulazione DIFF

Sorgente	ipo sorgent	TR	Lw	A	S	Adiv	Agr	Abar	Aatm	dLrefl	Ls	Lr
			dB(A)	m ²	m	dB	dB	dB	dB	dB	dB(A)	dB(A)
P5	Punto	L(22-6)	89,0		85,50	-49,6	2,8	-13,6	-0,3	0,2	28,5	28,5
P6	Punto	L(6-22)	89,0		87,14	-49,8	2,8	-6,8	-0,3	0,1	35,0	35,0
P6	Punto	L(22-6)	89,0		87,14	-49,8	2,8	-6,8	-0,3	0,1	35,0	35,0
P7	Punto	L(6-22)	89,0		76,10	-48,6	2,7	-20,0	-0,2	0,2	23,2	23,2
P7	Punto	L(22-6)	89,0		76,10	-48,6	2,7	-20,0	-0,2	0,2	23,2	23,2
P8	Punto	L(6-22)	89,0		77,06	-48,7	2,7	-19,4	-0,2	0,2	23,6	23,6
P8	Punto	L(22-6)	89,0		77,06	-48,7	2,7	-19,4	-0,2	0,2	23,6	23,6
P9	Punto	L(6-22)	89,0		78,11	-48,8	2,8	-18,8	-0,2	0,2	24,1	24,1
P9	Punto	L(22-6)	89,0		78,11	-48,8	2,8	-18,8	-0,2	0,2	24,1	24,1
PM	Punto	L(6-22)	106,2		40,90	-43,2	2,0	-14,8	-0,1	3,1	53,2	53,2
PM	Punto	L(22-6)	106,2		40,90	-43,2	2,0	-14,8	-0,1	3,1	53,2	53,2
SC-E	Area	L(6-22)	68,4	22,1	68,82	-47,7	2,5	-1,7	-0,4	0,0	24,1	24,1
SC-E	Area	L(22-6)	68,4	22,1	68,82	-47,7	2,5	-1,7	-0,4	0,0	24,1	24,1
SC-N	Area	L(6-22)	68,8	24,0	68,40	-47,7	2,5	-0,9	-0,4	0,0	25,2	25,2
SC-N	Area	L(22-6)	68,8	24,0	68,40	-47,7	2,5	-0,9	-0,4	0,0	25,2	25,2
SC-O	Area	L(6-22)	68,4	22,1	69,79	-47,9	2,5	-7,9	-0,3	0,0	17,9	17,9
SC-O	Area	L(22-6)	68,4	22,1	69,79	-47,9	2,5	-7,9	-0,3	0,0	17,9	17,9
SC-S	Area	L(6-22)	68,8	24,0	70,22	-47,9	2,5	-12,2	-0,2	0,3	14,3	14,3
SC-S	Area	L(22-6)	68,8	24,0	70,22	-47,9	2,5	-12,2	-0,2	0,3	14,3	14,3
SC-T	Area	L(6-22)	61,4	4,4	69,91	-47,9	2,5	-6,9	-0,3	0,1	8,9	8,9
SC-T	Area	L(22-6)	61,4	4,4	69,91	-47,9	2,5	-6,9	-0,3	0,1	8,9	8,9
SS-E	Area	L(6-22)	73,6	72,6	70,44	-47,9	2,5	-0,6	-0,3	0,0	30,3	30,3
SS-E	Area	L(22-6)	73,6	72,6	70,44	-47,9	2,5	-0,6	-0,3	0,0	30,3	30,3
SS-N	Area	L(6-22)	70,7	36,8	68,68	-47,7	2,4	-0,6	-0,3	0,0	27,5	27,5
SS-N	Area	L(22-6)	70,7	36,8	68,68	-47,7	2,4	-0,6	-0,3	0,0	27,5	27,5
SS-O	Area	L(6-22)	73,6	72,6	71,77	-48,1	2,5	-10,6	-0,2	0,0	20,2	20,2
SS-O	Area	L(22-6)	73,6	72,6	71,77	-48,1	2,5	-10,6	-0,2	0,0	20,2	20,2
SS-S	Area	L(6-22)	70,7	37,3	73,45	-48,3	2,5	-12,5	-0,2	0,5	15,8	15,8
SS-S	Area	L(22-6)	70,7	37,3	73,45	-48,3	2,5	-12,5	-0,2	0,5	15,8	15,8
SS-T	Area	L(6-22)	67,0	15,9	71,88	-48,1	2,5	-6,8	-0,2	0,2	14,5	14,5
SS-T	Area	L(22-6)	67,0	15,9	71,88	-48,1	2,5	-6,8	-0,2	0,2	14,5	14,5
T1-E	Area	L(6-22)	76,8	4,8	109,42	-51,8	2,8	-23,1	-0,2	2,5	10,0	10,0
T1-E	Area	L(22-6)	76,8	4,8	109,42	-51,8	2,8	-23,1	-0,2	2,5	10,0	10,0
T1-N	Area	L(6-22)	78,5	7,1	109,16	-51,8	2,8	-22,3	-0,2	3,1	13,2	13,2
T1-N	Area	L(22-6)	78,5	7,1	109,16	-51,8	2,8	-22,3	-0,2	3,1	13,2	13,2
T1-O	Area	L(6-22)	76,8	4,8	110,81	-51,9	2,8	-20,9	-0,2	2,2	11,8	11,8
T1-O	Area	L(22-6)	76,8	4,8	110,81	-51,9	2,8	-20,9	-0,2	2,2	11,8	11,8
T1-S	Area	L(6-22)	78,5	7,1	111,06	-51,9	2,8	-22,7	-0,2	2,9	12,4	12,4
T1-S	Area	L(22-6)	78,5	7,1	111,06	-51,9	2,8	-22,7	-0,2	2,9	12,4	12,4
T1-T	Area	L(6-22)	78,1	6,5	110,11	-51,8	2,8	-19,1	-0,2	1,4	11,3	11,3
T1-T	Area	L(22-6)	78,1	6,5	110,11	-51,8	2,8	-19,1	-0,2	1,4	11,3	11,3
T2-E	Area	L(6-22)	76,8	4,8	113,69	-52,1	2,8	-23,0	-0,2	3,1	10,3	10,3
T2-E	Area	L(22-6)	76,8	4,8	113,69	-52,1	2,8	-23,0	-0,2	3,1	10,3	10,3
T2-N	Area	L(6-22)	78,5	7,1	113,40	-52,1	2,8	-22,5	-0,2	3,8	13,4	13,4
T2-N	Area	L(22-6)	78,5	7,1	113,40	-52,1	2,8	-22,5	-0,2	3,8	13,4	13,4
T2-O	Area	L(6-22)	76,8	4,8	115,02	-52,2	2,8	-21,4	-0,2	2,5	11,3	11,3
T2-O	Area	L(22-6)	76,8	4,8	115,02	-52,2	2,8	-21,4	-0,2	2,5	11,3	11,3
T2-S	Area	L(6-22)	78,5	7,1	115,31	-52,2	2,8	-22,7	-0,2	3,2	12,3	12,3
T2-S	Area	L(22-6)	78,5	7,1	115,31	-52,2	2,8	-22,7	-0,2	3,2	12,3	12,3
T2-T	Area	L(6-22)	78,1	6,5	114,34	-52,2	2,8	-19,9	-0,2	2,1	10,8	10,8
T2-T	Area	L(22-6)	78,1	6,5	114,34	-52,2	2,8	-19,9	-0,2	2,1	10,8	10,8
TE-E	Area	L(6-22)	80,0	10,0	156,81	-54,9	2,9	-22,4	-0,3	0,0	8,2	8,2
TE-E	Area	L(22-6)	80,0	10,0	156,81	-54,9	2,9	-22,4	-0,3	0,0	8,2	8,2
TE-N	Area	L(6-22)	83,0	20,0	156,17	-54,9	2,9	-21,9	-0,3	0,1	12,0	12,0
TE-N	Area	L(22-6)	83,0	20,0	156,17	-54,9	2,9	-21,9	-0,3	0,1	12,0	12,0

Ident:
C330AV3P001

Valutazione previsionale impatto acustico

Simulazione DIFF

Sorgente	ipo sorgent	TR	Lw	A	S	Adiv	Agr	Abar	Aatm	dLrefl	Ls	Lr
			dB(A)	m ²	m	dB	dB	dB	dB	dB	dB(A)	dB(A)
TE-O	Area	L(6-22)	80,0	10,0	159,38	-55,0	2,9	-21,4	-0,3	0,4	9,6	9,6
TE-O	Area	L(22-6)	80,0	10,0	159,38	-55,0	2,9	-21,4	-0,3	0,4	9,6	9,6
TE-S	Area	L(6-22)	83,0	20,0	159,98	-55,1	2,9	-22,9	-0,3	0,0	10,6	10,6
TE-S	Area	L(22-6)	83,0	20,0	159,98	-55,1	2,9	-22,9	-0,3	0,0	10,6	10,6
TE-T	Area	L(6-22)	85,1	32,0	158,08	-55,0	2,8	-22,2	-0,3	0,1	10,6	10,6
TE-T	Area	L(22-6)	85,1	32,0	158,08	-55,0	2,8	-22,2	-0,3	0,1	10,6	10,6
TO-E	Area	L(6-22)	85,1	32,0	269,13	-59,6	3,7	-16,5	-1,3	0,1	14,4	14,4
TO-E	Area	L(22-6)	85,1	32,0	269,13	-59,6	3,7	-16,5	-1,3	0,1	14,4	14,4
TO-N	Area	L(6-22)	86,4	43,6	262,58	-59,4	3,6	-1,3	-6,0	0,0	26,4	26,4
TO-N	Area	L(22-6)	86,4	43,6	262,58	-59,4	3,6	-1,3	-6,0	0,0	26,4	26,4
TO-O	Area	L(6-22)	85,1	32,0	262,39	-59,4	3,6	-1,3	-5,8	0,1	25,4	25,4
TO-O	Area	L(22-6)	85,1	32,0	262,39	-59,4	3,6	-1,3	-5,8	0,1	25,4	25,4
TO-S	Area	L(6-22)	86,4	43,6	268,91	-59,6	3,7	-18,2	-1,2	4,6	18,6	18,6
TO-S	Area	L(22-6)	86,4	43,6	268,91	-59,6	3,7	-18,2	-1,2	4,6	18,6	18,6
TO-T	Area	L(6-22)	89,4	87,2	265,74	-59,5	3,0	-7,7	-3,9	1,3	22,6	22,6
TO-T	Area	L(22-6)	89,4	87,2	265,74	-59,5	3,0	-7,7	-3,9	1,3	22,6	22,6
VF	Punto	L(6-22)	71,0		51,65	-45,3	2,4	-6,0	-0,2	0,0	21,9	21,9
VF	Punto	L(22-6)	71,0		51,65	-45,3	2,4	-6,0	-0,2	0,0	21,9	21,9

Ident:
C330AV3P001

Valutazione previsionale impatto acustico

Simulazione DIFF

Sorgente	ipo sorgent	TR	Lw	A	S	Adiv	Agr	Abar	Aatm	dLrefl	Ls	Lr
			dB(A)	m ²	m	dB	dB	dB	dB	dB	dB(A)	dB(A)
Ricevitore R2		L(6-22)	48,7 dB(A)	L(22-6)		43,5 dB(A)						
A1	Area	L(6-22)	79,4	27,5	167,07	-55,4	2,8	-4,6	-1,3	0,2	24,1	24,1
A1	Area	L(22-6)	79,4	27,5	167,07	-55,4	2,8	-4,6	-1,3	0,2	24,1	24,1
A2	Area	L(6-22)	79,4	27,5	158,07	-55,0	2,8	-4,3	-1,2	0,1	24,9	24,9
A2	Area	L(22-6)	79,4	27,5	158,07	-55,0	2,8	-4,3	-1,2	0,1	24,9	24,9
AC1	Area	L(6-22)	79,8	3,0	143,45	-54,1	2,8	-7,6	-0,4	0,0	23,4	23,4
AC1	Area	L(22-6)	79,8	3,0	143,45	-54,1	2,8	-7,6	-0,4	0,0	23,4	23,4
AC2	Area	L(6-22)	79,8	3,0	145,01	-54,2	2,8	-7,6	-0,4	1,7	25,0	25,0
AC2	Area	L(22-6)	79,8	3,0	145,01	-54,2	2,8	-7,6	-0,4	1,7	25,0	25,0
AU	Punto	L(6-22)	102,8		160,09	-55,1	2,8	-7,6	-0,9	0,2	42,2	42,2
AU	Punto	L(22-6)	102,8		160,09	-55,1	2,8	-7,6	-0,9	0,2	42,2	42,2
BV1-E	Area	L(6-22)	73,8	2,4	177,94	-56,0	2,8	-14,3	-0,3	0,2	9,3	9,3
BV1-E	Area	L(22-6)	73,8	2,4	177,94	-56,0	2,8	-14,3	-0,3	0,2	9,3	9,3
BV1-N	Area	L(6-22)	75,6	3,6	176,16	-55,9	2,8	-8,5	-0,3	0,0	16,6	16,6
BV1-N	Area	L(22-6)	75,6	3,6	176,16	-55,9	2,8	-8,5	-0,3	0,0	16,6	16,6
BV1-O	Area	L(6-22)	73,8	2,4	175,12	-55,9	2,8	-25,4	-0,3	0,6	-1,4	-1,4
BV1-O	Area	L(22-6)	73,8	2,4	175,12	-55,9	2,8	-25,4	-0,3	0,6	-1,4	-1,4
BV1-S	Area	L(6-22)	75,6	3,6	176,89	-55,9	2,8	-19,4	-0,3	0,7	6,4	6,4
BV1-S	Area	L(22-6)	75,6	3,6	176,89	-55,9	2,8	-19,4	-0,3	0,7	6,4	6,4
BV1-T	Area	L(6-22)	77,8	6,0	176,53	-55,9	2,8	-11,6	-0,3	0,1	12,8	12,8
BV1-T	Area	L(22-6)	77,8	6,0	176,53	-55,9	2,8	-11,6	-0,3	0,1	12,8	12,8
BV2-E	Area	L(6-22)	73,8	2,4	181,32	-56,2	2,8	-19,0	-0,3	1,4	5,6	5,6
BV2-E	Area	L(22-6)	73,8	2,4	181,32	-56,2	2,8	-19,0	-0,3	1,4	5,6	5,6
BV2-N	Area	L(6-22)	75,6	3,6	179,53	-56,1	2,8	-12,7	-0,3	0,3	12,6	12,6
BV2-N	Area	L(22-6)	75,6	3,6	179,53	-56,1	2,8	-12,7	-0,3	0,3	12,6	12,6
BV2-O	Area	L(6-22)	73,8	2,4	178,56	-56,0	2,8	-26,0	-0,4	6,5	3,6	3,6
BV2-O	Area	L(22-6)	73,8	2,4	178,56	-56,0	2,8	-26,0	-0,4	6,5	3,6	3,6
BV2-S	Area	L(6-22)	75,6	3,6	180,34	-56,1	2,8	-19,4	-0,3	1,1	6,7	6,7
BV2-S	Area	L(22-6)	75,6	3,6	180,34	-56,1	2,8	-19,4	-0,3	1,1	6,7	6,7
BV2-T	Area	L(6-22)	77,8	6,0	179,93	-56,1	2,8	-15,6	-0,3	0,4	9,0	9,0
BV2-T	Area	L(22-6)	77,8	6,0	179,93	-56,1	2,8	-15,6	-0,3	0,4	9,0	9,0
BV3-E	Area	L(6-22)	73,8	2,4	185,27	-56,3	2,8	-18,0	-0,3	0,8	5,8	5,8
BV3-E	Area	L(22-6)	73,8	2,4	185,27	-56,3	2,8	-18,0	-0,3	0,8	5,8	5,8
BV3-N	Area	L(6-22)	75,6	3,6	183,47	-56,3	2,8	-17,9	-0,2	0,9	7,9	7,9
BV3-N	Area	L(22-6)	75,6	3,6	183,47	-56,3	2,8	-17,9	-0,2	0,9	7,9	7,9
BV3-O	Area	L(6-22)	73,8	2,4	182,57	-56,2	2,8	-24,9	-0,3	3,8	1,9	1,9
BV3-O	Area	L(22-6)	73,8	2,4	182,57	-56,2	2,8	-24,9	-0,3	3,8	1,9	1,9
BV3-S	Area	L(6-22)	75,6	3,6	184,37	-56,3	2,8	-20,5	-0,3	1,0	5,3	5,3
BV3-S	Area	L(22-6)	75,6	3,6	184,37	-56,3	2,8	-20,5	-0,3	1,0	5,3	5,3
BV3-T	Area	L(6-22)	77,8	6,0	183,92	-56,3	2,8	-15,4	-0,3	0,5	9,0	9,0
BV3-T	Area	L(22-6)	77,8	6,0	183,92	-56,3	2,8	-15,4	-0,3	0,5	9,0	9,0
C1	Area	L(6-22)	86,5	1,4	177,51	-56,0	2,7	-5,7	-1,8	0,0	25,8	25,8
C1	Area	L(22-6)	86,5	1,4	177,51	-56,0	2,7	-5,7	-1,8	0,0	25,8	25,8
C2	Area	L(6-22)	86,5	1,4	182,49	-56,2	2,7	-5,5	-1,6	0,0	25,8	25,8
C2	Area	L(22-6)	86,5	1,4	182,49	-56,2	2,7	-5,5	-1,6	0,0	25,8	25,8
C3	Area	L(6-22)	67,8	1,2	168,35	-55,5	2,7	-2,3	-0,3	0,0	12,4	12,4
C3	Area	L(22-6)	67,8	1,2	168,35	-55,5	2,7	-2,3	-0,3	0,0	12,4	12,4
C4	Area	L(6-22)	67,8	1,2	171,87	-55,7	2,7	-2,4	-0,3	0,0	12,1	12,1
C4	Area	L(22-6)	67,8	1,2	171,87	-55,7	2,7	-2,4	-0,3	0,0	12,1	12,1
C5	Area	L(6-22)	67,8	1,2	175,86	-55,9	2,7	-2,3	-0,3	0,0	12,0	12,0
C5	Area	L(22-6)	67,8	1,2	175,86	-55,9	2,7	-2,3	-0,3	0,0	12,0	12,0
C6	Area	L(6-22)	76,4	0,5	151,20	-54,6	2,6	-2,1	-0,3	0,0	22,1	22,1
C6	Area	L(22-6)	76,4	0,5	151,20	-54,6	2,6	-2,1	-0,3	0,0	22,1	22,1
CM-E	Area	L(6-22)	83,0	198,9	184,98	-56,3	2,8	-24,5	-1,5	0,5	7,0	7,0
CM-E	Area	L(22-6)	83,0	198,9	184,98	-56,3	2,8	-24,5	-1,5	0,5	7,0	7,0

MICHELIN CUNEO - TRIGENERAZIONE

ALLEGATO 17

Ident:
C330AV3P001

Valutazione previsionale impatto acustico

Simulazione DIFF

Sorgente	ipo sorgent	TR	Lw	A	S	Adiv	Agr	Abar	Aatm	dLrefl	Ls	Lr
			dB(A)	m ²	m	dB	dB	dB	dB	dB	dB(A)	dB(A)
CM-N	Area	L(6-22)	86,2	417,5	164,60	-55,3	2,7	-3,6	-2,5	1,3	31,9	31,9
CM-N	Area	L(22-6)	86,2	417,5	164,60	-55,3	2,7	-3,6	-2,5	1,3	31,9	31,9
CM-O	Area	L(6-22)	83,0	198,9	156,27	-54,9	2,7	-1,2	-2,6	0,0	30,1	30,1
CM-O	Area	L(22-6)	83,0	198,9	156,27	-54,9	2,7	-1,2	-2,6	0,0	30,1	30,1
CM-S	Area	L(6-22)	86,2	417,5	175,30	-55,9	2,7	-20,8	-1,2	0,2	14,4	14,4
CM-S	Area	L(22-6)	86,2	417,5	175,30	-55,9	2,7	-20,8	-1,2	0,2	14,4	14,4
CM-T	Area	L(6-22)	88,0	628,1	169,99	-55,6	2,7	-12,7	-2,0	1,6	22,0	22,0
CM-T	Area	L(22-6)	88,0	628,1	169,99	-55,6	2,7	-12,7	-2,0	1,6	22,0	22,0
CR1-E	Area	L(6-22)	79,9	19,6	192,22	-56,7	2,9	-21,6	-0,4	0,0	7,2	7,2
CR1-E	Area	L(22-6)	79,9	19,6	192,22	-56,7	2,9	-21,6	-0,4	0,0	7,2	7,2
CR1-N	Area	L(6-22)	83,2	42,0	188,07	-56,5	2,9	-16,8	-0,4	0,0	15,5	15,5
CR1-N	Area	L(22-6)	83,2	42,0	188,07	-56,5	2,9	-16,8	-0,4	0,0	15,5	15,5
CR1-O	Area	L(6-22)	79,9	19,6	185,84	-56,4	2,9	-21,5	-0,4	0,0	7,5	7,5
CR1-O	Area	L(22-6)	79,9	19,6	185,84	-56,4	2,9	-21,5	-0,4	0,0	7,5	7,5
CR1-S	Area	L(6-22)	83,2	42,0	189,93	-56,6	2,9	-23,8	-0,5	0,0	8,3	8,3
CR1-S	Area	L(22-6)	83,2	42,0	189,93	-56,6	2,9	-23,8	-0,5	0,0	8,3	8,3
CR1-T	Area	L(6-22)	81,2	26,3	189,04	-56,5	2,8	-19,8	-0,4	0,0	7,3	7,3
CR1-T	Area	L(22-6)	81,2	26,3	189,04	-56,5	2,8	-19,8	-0,4	0,0	7,3	7,3
CR2-E	Area	L(6-22)	79,9	19,6	196,66	-56,9	3,0	-23,8	-0,5	0,4	5,2	5,2
CR2-E	Area	L(22-6)	79,9	19,6	196,66	-56,9	3,0	-23,8	-0,5	0,4	5,2	5,2
CR2-N	Area	L(6-22)	83,2	42,0	192,53	-56,7	2,9	-22,0	-0,4	0,4	10,5	10,5
CR2-N	Area	L(22-6)	83,2	42,0	192,53	-56,7	2,9	-22,0	-0,4	0,4	10,5	10,5
CR2-O	Area	L(6-22)	79,9	19,6	190,42	-56,6	2,9	-24,4	-0,5	0,4	4,8	4,8
CR2-O	Area	L(22-6)	79,9	19,6	190,42	-56,6	2,9	-24,4	-0,5	0,4	4,8	4,8
CR2-S	Area	L(6-22)	83,2	42,0	194,50	-56,8	2,9	-24,6	-0,5	0,6	7,9	7,9
CR2-S	Area	L(22-6)	83,2	42,0	194,50	-56,8	2,9	-24,6	-0,5	0,6	7,9	7,9
CR2-T	Area	L(6-22)	81,2	26,3	193,54	-56,7	2,8	-22,7	-0,4	0,8	5,0	5,0
CR2-T	Area	L(22-6)	81,2	26,3	193,54	-56,7	2,8	-22,7	-0,4	0,8	5,0	5,0
CV1-E	Area	L(6-22)	81,6	29,1	175,60	-55,9	2,8	-18,1	-0,3	0,3	13,5	13,5
CV1-E	Area	L(22-6)	81,6	29,1	175,60	-55,9	2,8	-18,1	-0,3	0,3	13,5	13,5
CV1-N	Area	L(6-22)	83,9	48,6	170,36	-55,6	2,8	-11,1	-0,2	0,0	22,7	22,7
CV1-N	Area	L(22-6)	83,9	48,6	170,36	-55,6	2,8	-11,1	-0,2	0,0	22,7	22,7
CV1-O	Area	L(6-22)	81,6	29,1	167,25	-55,5	2,8	-14,0	-0,2	0,2	17,9	17,9
CV1-O	Area	L(22-6)	81,6	29,1	167,25	-55,5	2,8	-14,0	-0,2	0,2	17,9	17,9
CV1-S	Area	L(6-22)	83,9	48,6	172,41	-55,7	2,8	-17,1	-0,2	0,5	17,2	17,2
CV1-S	Area	L(22-6)	83,9	48,6	172,41	-55,7	2,8	-17,1	-0,2	0,5	17,2	17,2
CV1-T	Area	L(6-22)	83,9	48,5	171,38	-55,7	2,7	-15,2	-0,2	0,6	16,1	16,1
CV1-T	Area	L(22-6)	83,9	48,5	171,38	-55,7	2,7	-15,2	-0,2	0,6	16,1	16,1
CV2-E	Area	L(6-22)	81,6	29,1	179,09	-56,1	2,8	-19,5	-0,3	1,0	12,7	12,7
CV2-E	Area	L(22-6)	81,6	29,1	179,09	-56,1	2,8	-19,5	-0,3	1,0	12,7	12,7
CV2-N	Area	L(6-22)	83,9	48,6	173,82	-55,8	2,8	-9,4	-0,3	0,1	24,3	24,3
CV2-N	Area	L(22-6)	83,9	48,6	173,82	-55,8	2,8	-9,4	-0,3	0,1	24,3	24,3
CV2-O	Area	L(6-22)	81,6	29,1	170,91	-55,6	2,8	-10,1	-0,3	1,4	22,8	22,8
CV2-O	Area	L(22-6)	81,6	29,1	170,91	-55,6	2,8	-10,1	-0,3	1,4	22,8	22,8
CV2-S	Area	L(6-22)	83,9	48,6	176,11	-55,9	2,9	-21,3	-0,3	8,5	20,8	20,8
CV2-S	Area	L(22-6)	83,9	48,6	176,11	-55,9	2,9	-21,3	-0,3	8,5	20,8	20,8
CV2-T	Area	L(6-22)	83,9	48,5	174,97	-55,9	2,7	-13,5	-0,2	4,1	21,0	21,0
CV2-T	Area	L(22-6)	83,9	48,5	174,97	-55,9	2,7	-13,5	-0,2	4,1	21,0	21,0
CV3-E	Area	L(6-22)	81,6	29,1	183,15	-56,2	2,8	-19,6	-0,3	0,9	12,3	12,3
CV3-E	Area	L(22-6)	81,6	29,1	183,15	-56,2	2,8	-19,6	-0,3	0,9	12,3	12,3
CV3-N	Area	L(6-22)	83,9	48,6	177,86	-56,0	2,8	-11,9	-0,3	1,9	23,5	23,5
CV3-N	Area	L(22-6)	83,9	48,6	177,86	-56,0	2,8	-11,9	-0,3	1,9	23,5	23,5
CV3-O	Area	L(6-22)	81,6	29,1	175,16	-55,9	2,8	-15,2	-0,2	2,7	18,8	18,8
CV3-O	Area	L(22-6)	81,6	29,1	175,16	-55,9	2,8	-15,2	-0,2	2,7	18,8	18,8
CV3-S	Area	L(6-22)	83,9	48,6	180,38	-56,1	2,9	-21,6	-0,3	2,9	14,6	14,6

MICHELIN CUNEO - TRIGENERAZIONE

ALLEGATO 17

Ident:
C330AV3P001

Valutazione previsionale impatto acustico

Simulazione DIFF

Sorgente	ipo sorgent	TR	Lw	A	S	Adiv	Agr	Abar	Aatm	dLrefl	Ls	Lr	
			dB(A)	m ²	m	dB	dB	dB	dB	dB	dB(A)	dB(A)	
CV3-S	Area	L(22-6)	83,9	48,6	180,38	-56,1	2,9	-21,6	-0,3	2,9	14,6	14,6	
CV3-T	Area	L(6-22)	83,9	48,5	179,13	-56,1	2,7	-14,0	-0,3	1,6	17,9	17,9	
CV3-T	Area	L(22-6)	83,9	48,5	179,13	-56,1	2,7	-14,0	-0,3	1,6	17,9	17,9	
DIS1-E	Area	L(6-22)	76,1	6,5	166,90	-55,4	2,7	-11,0	-0,3	0,6	15,6	15,6	
DIS1-E	Area	L(22-6)	76,1	6,5	166,90	-55,4	2,7	-11,0	-0,3	0,6	15,6	15,6	
DIS1-N	Area	L(6-22)	83,1	32,4	161,28	-55,1	2,6	-1,3	-0,5	0,0	31,9	31,9	
DIS1-N	Area	L(22-6)	83,1	32,4	161,28	-55,1	2,6	-1,3	-0,5	0,0	31,9	31,9	
DIS1-O	Area	L(6-22)	76,1	6,5	157,31	-54,9	2,6	-1,7	-0,5	0,0	24,7	24,7	
DIS1-O	Area	L(22-6)	76,1	6,5	157,31	-54,9	2,6	-1,7	-0,5	0,0	24,7	24,7	
DIS1-S	Area	L(6-22)	83,1	32,4	162,73	-55,2	2,6	-12,8	-0,3	3,4	23,8	23,8	
DIS1-S	Area	L(22-6)	83,1	32,4	162,73	-55,2	2,6	-12,8	-0,3	3,4	23,8	23,8	
DIS1-T	Area	L(6-22)	82,6	28,8	162,09	-55,2	2,6	-7,3	-0,5	1,7	24,0	24,0	
DIS1-T	Area	L(22-6)	82,6	28,8	162,09	-55,2	2,6	-7,3	-0,5	1,7	24,0	24,0	
DIS2-E	Area	L(6-22)	76,1	6,5	169,70	-55,6	2,6	-15,5	-0,2	1,5	11,9	11,9	
DIS2-E	Area	L(22-6)	76,1	6,5	169,70	-55,6	2,6	-15,5	-0,2	1,5	11,9	11,9	
DIS2-N	Area	L(6-22)	83,1	32,4	164,14	-55,3	2,6	-6,4	-0,5	0,8	27,3	27,3	
DIS2-N	Area	L(22-6)	83,1	32,4	164,14	-55,3	2,6	-6,4	-0,5	0,8	27,3	27,3	
DIS2-O	Area	L(6-22)	76,1	6,5	160,27	-55,1	2,6	-3,3	-0,6	0,0	22,8	22,8	
DIS2-O	Area	L(22-6)	76,1	6,5	160,27	-55,1	2,6	-3,3	-0,6	0,0	22,8	22,8	
DIS2-S	Area	L(6-22)	83,1	32,4	165,64	-55,4	2,6	-13,4	-0,3	3,7	23,4	23,4	
DIS2-S	Area	L(22-6)	83,1	32,4	165,64	-55,4	2,6	-13,4	-0,3	3,7	23,4	23,4	
DIS2-T	Area	L(6-22)	82,6	28,8	164,99	-55,3	2,6	-7,7	-0,4	2,4	24,2	24,2	
DIS2-T	Area	L(22-6)	82,6	28,8	164,99	-55,3	2,6	-7,7	-0,4	2,4	24,2	24,2	
DIS3-E	Area	L(6-22)	76,1	6,5	172,64	-55,7	2,6	-16,5	-0,3	1,2	10,6	10,6	
DIS3-E	Area	L(22-6)	76,1	6,5	172,64	-55,7	2,6	-16,5	-0,3	1,2	10,6	10,6	
DIS3-N	Area	L(6-22)	83,1	32,4	167,15	-55,5	2,6	-7,3	-0,5	1,0	26,4	26,4	
DIS3-N	Area	L(22-6)	83,1	32,4	167,15	-55,5	2,6	-7,3	-0,5	1,0	26,4	26,4	
DIS3-O	Area	L(6-22)	76,1	6,5	163,38	-55,3	2,6	-3,3	-0,6	0,0	22,6	22,6	
DIS3-O	Area	L(22-6)	76,1	6,5	163,38	-55,3	2,6	-3,3	-0,6	0,0	22,6	22,6	
DIS3-S	Area	L(6-22)	83,1	32,4	168,69	-55,5	2,6	-13,3	-0,3	3,4	23,1	23,1	
DIS3-S	Area	L(22-6)	83,1	32,4	168,69	-55,5	2,6	-13,3	-0,3	3,4	23,1	23,1	
DIS3-T	Area	L(6-22)	82,6	28,8	168,01	-55,5	2,6	-7,9	-0,4	2,2	23,6	23,6	
DIS3-T	Area	L(22-6)	82,6	28,8	168,01	-55,5	2,6	-7,9	-0,4	2,2	23,6	23,6	
DIS4-E	Area	L(6-22)	76,1	6,5	175,57	-55,9	2,6	-17,0	-0,3	0,3	9,0	9,0	
DIS4-E	Area	L(22-6)	76,1	6,5	175,57	-55,9	2,6	-17,0	-0,3	0,3	9,0	9,0	
DIS4-N	Area	L(6-22)	83,1	32,4	170,15	-55,6	2,6	-7,0	-0,5	0,8	26,5	26,5	
DIS4-N	Area	L(22-6)	83,1	32,4	170,15	-55,6	2,6	-7,0	-0,5	0,8	26,5	26,5	
DIS4-O	Area	L(6-22)	76,1	6,5	166,49	-55,4	2,6	-3,1	-0,6	0,0	22,6	22,6	
DIS4-O	Area	L(22-6)	76,1	6,5	166,49	-55,4	2,6	-3,1	-0,6	0,0	22,6	22,6	
DIS4-S	Area	L(6-22)	83,1	32,4	171,73	-55,7	2,6	-12,9	-0,3	0,1	20,0	20,0	
DIS4-S	Area	L(22-6)	83,1	32,4	171,73	-55,7	2,6	-12,9	-0,3	0,1	20,0	20,0	
DIS4-T	Area	L(6-22)	82,6	28,8	171,04	-55,7	2,6	-7,8	-0,4	0,7	22,0	22,0	
DIS4-T	Area	L(22-6)	82,6	28,8	171,04	-55,7	2,6	-7,8	-0,4	0,7	22,0	22,0	
FM-E	Area	L(6-22)	66,7	4,7	147,21	-54,4	2,8	-12,3	-0,4	5,3	10,9	10,9	
FM-E	Area	L(22-6)	66,7	4,7	147,21	-54,4	2,8	-12,3	-0,4	5,3	10,9	10,9	
FM-N	Area	L(6-22)	72,3	16,9	142,74	-54,1	2,8	-5,8	-0,8	1,5	18,8	18,8	
FM-N	Area	L(22-6)	72,3	16,9	142,74	-54,1	2,8	-5,8	-0,8	1,5	18,8	18,8	
FM-O	Area	L(6-22)	66,7	4,7	138,96	-53,8	2,8	-5,9	-0,8	0,1	12,0	12,0	
FM-O	Area	L(22-6)	66,7	4,7	138,96	-53,8	2,8	-5,9	-0,8	0,1	12,0	12,0	
FM-S	Area	L(6-22)	72,3	16,9	143,26	-54,1	2,8	-8,2	-0,4	0,1	15,5	15,5	
FM-S	Area	L(22-6)	72,3	16,9	143,26	-54,1	2,8	-8,2	-0,4	0,1	15,5	15,5	
FM-T	Area	L(6-22)	73,0	19,9	143,01	-54,1	2,8	-7,6	-0,6	2,0	15,5	15,5	
FM-T	Area	L(22-6)	73,0	19,9	143,01	-54,1	2,8	-7,6	-0,6	2,0	15,5	15,5	
GC-E	Area	L(6-22)	65,0	10,0	147,44	-54,4	2,8	-17,6	-0,2	8,5	7,2	7,2	
GC-E	Area	L(22-6)	65,0	10,0	147,44	-54,4	2,8	-17,6	-0,2	8,5	7,2	7,2	

Ident:
C330AV3P001

Valutazione previsionale impatto acustico

Simulazione DIFF

Sorgente	ipo sorgent	TR	Lw	A	S	Adiv	Agr	Abar	Aatm	dLrefl	Ls	Lr	
			dB(A)	m ²	m	dB	dB	dB	dB	dB	dB	dB(A)	
GC-N	Area	L(6-22)	70,8	38,0	139,39	-53,9	2,8	-10,4	-0,4	3,0	14,9	14,9	
GC-N	Area	L(22-6)	70,8	38,0	139,39	-53,9	2,8	-10,4	-0,4	3,0	14,9	14,9	
GC-O	Area	L(6-22)	65,0	10,0	132,99	-53,5	2,8	-7,5	-0,4	0,1	9,5	9,5	
GC-O	Area	L(22-6)	65,0	10,0	132,99	-53,5	2,8	-7,5	-0,4	0,1	9,5	9,5	
GC-S	Area	L(6-22)	70,8	38,0	140,65	-54,0	2,8	-14,0	-0,3	0,6	8,9	8,9	
GC-S	Area	L(22-6)	70,8	38,0	140,65	-54,0	2,8	-14,0	-0,3	0,6	8,9	8,9	
GC-T	Area	L(6-22)	72,8	60,7	139,98	-53,9	2,8	-9,6	-0,4	1,9	13,6	13,6	
GC-T	Area	L(22-6)	72,8	60,7	139,98	-53,9	2,8	-9,6	-0,4	1,9	13,6	13,6	
IC1-E	Area	L(6-22)	68,0	2,0	148,68	-54,4	2,6	-8,2	-0,2	1,7	12,6	12,6	
IC1-E	Area	L(22-6)	68,0	2,0	148,68	-54,4	2,6	-8,2	-0,2	1,7	12,6	12,6	
IC1-N	Area	L(6-22)	68,0	2,0	147,33	-54,4	2,6	-1,6	-0,5	0,0	17,3	17,3	
IC1-N	Area	L(22-6)	68,0	2,0	147,33	-54,4	2,6	-1,6	-0,5	0,0	17,3	17,3	
IC1-O	Area	L(6-22)	68,0	2,0	146,87	-54,3	2,6	-3,2	-0,5	0,0	15,6	15,6	
IC1-O	Area	L(22-6)	68,0	2,0	146,87	-54,3	2,6	-3,2	-0,5	0,0	15,6	15,6	
IC1-S	Area	L(6-22)	68,0	2,0	148,22	-54,4	2,6	-7,0	-0,3	1,6	13,5	13,5	
IC1-S	Area	L(22-6)	68,0	2,0	148,22	-54,4	2,6	-7,0	-0,3	1,6	13,5	13,5	
IC1-T	Area	L(6-22)	71,0	4,0	147,79	-54,4	2,6	-5,5	-0,3	0,3	13,7	13,7	
IC1-T	Area	L(22-6)	71,0	4,0	147,79	-54,4	2,6	-5,5	-0,3	0,3	13,7	13,7	
IC2-E	Area	L(6-22)	68,0	2,0	151,15	-54,6	2,7	-13,3	-0,2	1,4	7,0	7,0	
IC2-E	Area	L(22-6)	68,0	2,0	151,15	-54,6	2,7	-13,3	-0,2	1,4	7,0	7,0	
IC2-N	Area	L(6-22)	68,0	2,0	149,80	-54,5	2,6	-6,7	-0,3	0,5	12,6	12,6	
IC2-N	Area	L(22-6)	68,0	2,0	149,80	-54,5	2,6	-6,7	-0,3	0,5	12,6	12,6	
IC2-O	Area	L(6-22)	68,0	2,0	149,33	-54,5	2,6	-6,8	-0,3	1,0	13,0	13,0	
IC2-O	Area	L(22-6)	68,0	2,0	149,33	-54,5	2,6	-6,8	-0,3	1,0	13,0	13,0	
IC2-S	Area	L(6-22)	68,0	2,0	150,68	-54,6	2,6	-10,2	-0,2	3,4	12,1	12,1	
IC2-S	Area	L(22-6)	68,0	2,0	150,68	-54,6	2,6	-10,2	-0,2	3,4	12,1	12,1	
IC2-T	Area	L(6-22)	71,0	4,0	150,25	-54,5	2,7	-8,2	-0,3	2,2	12,8	12,8	
IC2-T	Area	L(22-6)	71,0	4,0	150,25	-54,5	2,7	-8,2	-0,3	2,2	12,8	12,8	
P1	Punto	L(6-22)	89,0		144,24	-54,2	2,8	-7,6	-0,8	0,0	29,3	29,3	
P1	Punto	L(22-6)	89,0		144,24	-54,2	2,8	-7,6	-0,8	0,0	29,3	29,3	
P10	Punto	L(6-22)	89,0		161,49	-55,2	3,0	-9,6	-0,6	0,0	26,7	26,7	
P10	Punto	L(22-6)	89,0		161,49	-55,2	3,0	-9,6	-0,6	0,0	26,7	26,7	
P11	Punto	L(6-22)	89,0		163,21	-55,2	3,0	-9,6	-0,7	0,0	26,6	26,6	
P11	Punto	L(22-6)	89,0		163,21	-55,2	3,0	-9,6	-0,7	0,0	26,6	26,6	
P12	Punto	L(6-22)	89,0		164,87	-55,3	3,1	-9,7	-0,7	0,0	26,4	26,4	
P12	Punto	L(22-6)	89,0		164,87	-55,3	3,1	-9,7	-0,7	0,0	26,4	26,4	
P13	Punto	L(6-22)	89,0		166,59	-55,4	3,1	-22,7	-0,5	0,6	14,1	14,1	
P13	Punto	L(22-6)	89,0		166,59	-55,4	3,1	-22,7	-0,5	0,6	14,1	14,1	
P14	Punto	L(6-22)	89,0		168,55	-55,5	3,1	-23,1	-0,5	0,7	13,8	13,8	
P14	Punto	L(22-6)	89,0		168,55	-55,5	3,1	-23,1	-0,5	0,7	13,8	13,8	
P15	Punto	L(6-22)	89,0		170,26	-55,6	3,2	-23,0	-0,5	1,0	14,1	14,1	
P15	Punto	L(22-6)	89,0		170,26	-55,6	3,2	-23,0	-0,5	1,0	14,1	14,1	
P16	Punto	L(6-22)	89,0		376,85	-62,5	4,6	-22,1	-0,9	3,0	11,1	11,1	
P16	Punto	L(22-6)	89,0		376,85	-62,5	4,6	-22,1	-0,9	3,0	11,1	11,1	
P17	Punto	L(6-22)	89,0		377,80	-62,5	4,6	-22,5	-0,9	3,2	10,9	10,9	
P17	Punto	L(22-6)	89,0		377,80	-62,5	4,6	-22,5	-0,9	3,2	10,9	10,9	
P18	Punto	L(6-22)	89,0		378,80	-62,6	4,6	-22,8	-0,9	3,4	10,8	10,8	
P18	Punto	L(22-6)	89,0		378,80	-62,6	4,6	-22,8	-0,9	3,4	10,8	10,8	
P2	Punto	L(6-22)	89,0		144,88	-54,2	2,8	-7,6	-0,8	0,9	30,1	30,1	
P2	Punto	L(22-6)	89,0		144,88	-54,2	2,8	-7,6	-0,8	0,9	30,1	30,1	
P3	Punto	L(6-22)	89,0		145,55	-54,3	2,8	-24,4	-0,5	0,0	12,7	12,7	
P3	Punto	L(22-6)	89,0		145,55	-54,3	2,8	-24,4	-0,5	0,0	12,7	12,7	
P4	Punto	L(6-22)	89,0		146,26	-54,3	2,8	-24,6	-0,5	9,3	21,8	21,8	
P4	Punto	L(22-6)	89,0		146,26	-54,3	2,8	-24,6	-0,5	9,3	21,8	21,8	
P5	Punto	L(6-22)	89,0		147,01	-54,3	2,8	-24,7	-0,5	15,7	28,0	28,0	

Ident:
C330AV3P001

Valutazione previsionale impatto acustico

Simulazione DIFF

Sorgente	ipo sorgent	TR	Lw	A	S	Adiv	Agr	Abar	Aatm	dLrefl	Ls	Lr	
			dB(A)	m ²	m	dB	dB	dB	dB	dB	dB	dB(A)	
P5	Punto	L(22-6)	89,0		147,01	-54,3	2,8	-24,7	-0,5	15,7	28,0	28,0	
P6	Punto	L(6-22)	89,0		147,58	-54,4	2,8	-24,7	-0,5	17,1	29,4	29,4	
P6	Punto	L(22-6)	89,0		147,58	-54,4	2,8	-24,7	-0,5	17,1	29,4	29,4	
P7	Punto	L(6-22)	89,0		138,54	-53,8	2,8	-15,6	-0,4	0,0	22,1	22,1	
P7	Punto	L(22-6)	89,0		138,54	-53,8	2,8	-15,6	-0,4	0,0	22,1	22,1	
P8	Punto	L(6-22)	89,0		138,88	-53,8	2,8	-7,7	-0,7	0,5	30,1	30,1	
P8	Punto	L(22-6)	89,0		138,88	-53,8	2,8	-7,7	-0,7	0,5	30,1	30,1	
P9	Punto	L(6-22)	89,0		139,33	-53,9	2,8	-7,7	-0,7	1,4	31,0	31,0	
P9	Punto	L(22-6)	89,0		139,33	-53,9	2,8	-7,7	-0,7	1,4	31,0	31,0	
PM	Punto	L(6-22)	106,2		162,51	-55,2	2,8	-7,6	-1,0	0,2	45,5	45,5	
PM	Punto	L(22-6)	106,2		162,51	-55,2	2,8	-7,6	-1,0	0,2	45,5	45,5	
SC-E	Area	L(6-22)	68,4	22,1	146,96	-54,3	2,7	-15,1	-0,3	9,4	13,7	13,7	
SC-E	Area	L(22-6)	68,4	22,1	146,96	-54,3	2,7	-15,1	-0,3	9,4	13,7	13,7	
SC-N	Area	L(6-22)	68,8	24,0	145,60	-54,3	2,7	-11,1	-0,4	10,4	19,1	19,1	
SC-N	Area	L(22-6)	68,8	24,0	145,60	-54,3	2,7	-11,1	-0,4	10,4	19,1	19,1	
SC-O	Area	L(6-22)	68,4	22,1	144,86	-54,2	2,7	-13,0	-0,4	4,7	11,3	11,3	
SC-O	Area	L(22-6)	68,4	22,1	144,86	-54,2	2,7	-13,0	-0,4	4,7	11,3	11,3	
SC-S	Area	L(6-22)	68,8	24,0	146,21	-54,3	2,7	-14,2	-0,3	1,3	7,0	7,0	
SC-S	Area	L(22-6)	68,8	24,0	146,21	-54,3	2,7	-14,2	-0,3	1,3	7,0	7,0	
SC-T	Area	L(6-22)	61,4	4,4	146,15	-54,3	2,7	-13,4	-0,3	0,0	-3,9	-3,9	
SC-T	Area	L(22-6)	61,4	4,4	146,15	-54,3	2,7	-13,4	-0,3	0,0	-3,9	-3,9	
SS-E	Area	L(6-22)	73,6	72,6	141,30	-54,0	2,7	-14,0	-0,3	8,0	19,0	19,0	
SS-E	Area	L(22-6)	73,6	72,6	141,30	-54,0	2,7	-14,0	-0,3	8,0	19,0	19,0	
SS-N	Area	L(6-22)	70,7	36,8	139,07	-53,9	2,7	0,0	-0,5	0,0	22,0	22,0	
SS-N	Area	L(22-6)	70,7	36,8	139,07	-53,9	2,7	0,0	-0,5	0,0	22,0	22,0	
SS-O	Area	L(6-22)	73,6	72,6	138,56	-53,8	2,7	-0,3	-0,5	0,0	24,7	24,7	
SS-O	Area	L(22-6)	73,6	72,6	138,56	-53,8	2,7	-0,3	-0,5	0,0	24,7	24,7	
SS-S	Area	L(6-22)	70,7	37,3	140,80	-54,0	2,7	-7,4	-0,4	0,0	14,7	14,7	
SS-S	Area	L(22-6)	70,7	37,3	140,80	-54,0	2,7	-7,4	-0,4	0,0	14,7	14,7	
SS-T	Area	L(6-22)	67,0	15,9	140,32	-53,9	2,7	-6,9	-0,4	0,0	8,4	8,4	
SS-T	Area	L(22-6)	67,0	15,9	140,32	-53,9	2,7	-6,9	-0,4	0,0	8,4	8,4	
T1-E	Area	L(6-22)	76,8	4,8	146,46	-54,3	2,8	-15,7	-0,2	5,1	17,5	17,5	
T1-E	Area	L(22-6)	76,8	4,8	146,46	-54,3	2,8	-15,7	-0,2	5,1	17,5	17,5	
T1-N	Area	L(6-22)	78,5	7,1	144,57	-54,2	2,8	-9,3	-0,4	0,6	21,0	21,0	
T1-N	Area	L(22-6)	78,5	7,1	144,57	-54,2	2,8	-9,3	-0,4	0,6	21,0	21,0	
T1-O	Area	L(6-22)	76,8	4,8	143,87	-54,2	2,8	-7,7	-0,4	0,4	20,8	20,8	
T1-O	Area	L(22-6)	76,8	4,8	143,87	-54,2	2,8	-7,7	-0,4	0,4	20,8	20,8	
T1-S	Area	L(6-22)	78,5	7,1	145,75	-54,3	2,8	-13,7	-0,3	5,7	21,8	21,8	
T1-S	Area	L(22-6)	78,5	7,1	145,75	-54,3	2,8	-13,7	-0,3	5,7	21,8	21,8	
T1-T	Area	L(6-22)	78,1	6,5	145,15	-54,2	2,8	-7,1	-0,4	2,4	21,6	21,6	
T1-T	Area	L(22-6)	78,1	6,5	145,15	-54,2	2,8	-7,1	-0,4	2,4	21,6	21,6	
T2-E	Area	L(6-22)	76,8	4,8	149,06	-54,5	2,8	-16,1	-0,2	5,4	17,3	17,3	
T2-E	Area	L(22-6)	76,8	4,8	149,06	-54,5	2,8	-16,1	-0,2	5,4	17,3	17,3	
T2-N	Area	L(6-22)	78,5	7,1	147,17	-54,3	2,8	-9,6	-0,4	0,5	20,5	20,5	
T2-N	Area	L(22-6)	78,5	7,1	147,17	-54,3	2,8	-9,6	-0,4	0,5	20,5	20,5	
T2-O	Area	L(6-22)	76,8	4,8	146,51	-54,3	2,8	-7,5	-0,4	0,2	20,6	20,6	
T2-O	Area	L(22-6)	76,8	4,8	146,51	-54,3	2,8	-7,5	-0,4	0,2	20,6	20,6	
T2-S	Area	L(6-22)	78,5	7,1	148,39	-54,4	2,8	-14,0	-0,3	5,6	21,2	21,2	
T2-S	Area	L(22-6)	78,5	7,1	148,39	-54,4	2,8	-14,0	-0,3	5,6	21,2	21,2	
T2-T	Area	L(6-22)	78,1	6,5	147,78	-54,4	2,8	-7,0	-0,4	2,3	21,4	21,4	
T2-T	Area	L(22-6)	78,1	6,5	147,78	-54,4	2,8	-7,0	-0,4	2,3	21,4	21,4	
TE-E	Area	L(6-22)	80,0	10,0	180,11	-56,1	2,9	-18,8	-0,3	0,0	10,8	10,8	
TE-E	Area	L(22-6)	80,0	10,0	180,11	-56,1	2,9	-18,8	-0,3	0,0	10,8	10,8	
TE-N	Area	L(6-22)	83,0	20,0	175,90	-55,9	2,9	-9,9	-0,4	0,0	22,7	22,7	
TE-N	Area	L(22-6)	83,0	20,0	175,90	-55,9	2,9	-9,9	-0,4	0,0	22,7	22,7	

Ident:
C330AV3P001

Valutazione previsionale impatto acustico

Simulazione DIFF

Sorgente	ipo sorgent	TR	Lw	A	S	Adiv	Agr	Abar	Aatm	dLrefl	Ls	Lr	
			dB(A)	m ²	m	dB	dB	dB	dB	dB	dB(A)	dB(A)	
TE-O	Area	L(6-22)	80,0	10,0	174,74	-55,8	2,9	-10,2	-0,4	0,1	19,6	19,6	
TE-O	Area	L(22-6)	80,0	10,0	174,74	-55,8	2,9	-10,2	-0,4	0,1	19,6	19,6	
TE-S	Area	L(6-22)	83,0	20,0	178,89	-56,0	2,9	-19,1	-0,3	0,0	13,5	13,5	
TE-S	Area	L(22-6)	83,0	20,0	178,89	-56,0	2,9	-19,1	-0,3	0,0	13,5	13,5	
TE-T	Area	L(6-22)	85,1	32,0	177,39	-56,0	2,8	-7,8	-0,5	0,0	23,6	23,6	
TE-T	Area	L(22-6)	85,1	32,0	177,39	-56,0	2,8	-7,8	-0,5	0,0	23,6	23,6	
TO-E	Area	L(6-22)	85,1	32,0	389,12	-62,8	4,3	-23,5	-1,7	0,7	5,0	5,0	
TO-E	Area	L(22-6)	85,1	32,0	389,12	-62,8	4,3	-23,5	-1,7	0,7	5,0	5,0	
TO-N	Area	L(6-22)	86,4	43,6	382,37	-62,6	4,3	-20,6	-1,4	0,4	9,4	9,4	
TO-N	Area	L(22-6)	86,4	43,6	382,37	-62,6	4,3	-20,6	-1,4	0,4	9,4	9,4	
TO-O	Area	L(6-22)	85,1	32,0	379,64	-62,6	4,3	-22,8	-1,5	1,4	7,0	7,0	
TO-O	Area	L(22-6)	85,1	32,0	379,64	-62,6	4,3	-22,8	-1,5	1,4	7,0	7,0	
TO-S	Area	L(6-22)	86,4	43,6	386,35	-62,7	4,3	-26,5	-2,4	3,3	5,4	5,4	
TO-S	Area	L(22-6)	86,4	43,6	386,35	-62,7	4,3	-26,5	-2,4	3,3	5,4	5,4	
TO-T	Area	L(6-22)	89,4	87,2	384,35	-62,7	3,8	-20,8	-1,3	1,7	10,1	10,1	
TO-T	Area	L(22-6)	89,4	87,2	384,35	-62,7	3,8	-20,8	-1,3	1,7	10,1	10,1	
VF	Punto	L(6-22)	71,0		148,85	-54,4	2,8	-7,6	-0,6	2,5	13,7	13,7	
VF	Punto	L(22-6)	71,0		148,85	-54,4	2,8	-7,6	-0,6	2,5	13,7	13,7	

MICHELIN CUNEO - TRIGENERAZIONE

ALLEGATO 17

Ident:
C330AV3P001

Valutazione previsionale impatto acustico

Simulazione DIFF

Sorgente	ipo sorgent	TR	Lw	A	S	Adiv	Agr	Abar	Aatm	dLrefl	Ls	Lr	
			dB(A)	m ²	m	dB	dB	dB	dB	dB	dB(A)	dB(A)	
Ricevitore R3		L(6-22)	38,9 dB(A)	L(22-6)		38,5 dB(A)							
A1	Area	L(6-22)	79,4	27,5	311,76	-60,9	2,8	-21,9	-0,9	2,2	3,7	3,7	
A1	Area	L(22-6)	79,4	27,5	311,76	-60,9	2,8	-21,9	-0,9	2,2	3,7	3,7	
A2	Area	L(6-22)	79,4	27,5	304,54	-60,7	2,7	-19,5	-0,8	0,0	4,2	4,2	
A2	Area	L(22-6)	79,4	27,5	304,54	-60,7	2,7	-19,5	-0,8	0,0	4,2	4,2	
AC1	Area	L(6-22)	79,8	3,0	250,91	-59,0	2,8	-8,6	-0,6	0,2	17,6	17,6	
AC1	Area	L(22-6)	79,8	3,0	250,91	-59,0	2,8	-8,6	-0,6	0,2	17,6	17,6	
AC2	Area	L(6-22)	79,8	3,0	249,23	-58,9	2,9	-19,3	-0,4	0,6	7,6	7,6	
AC2	Area	L(22-6)	79,8	3,0	249,23	-58,9	2,9	-19,3	-0,4	0,6	7,6	7,6	
AU	Punto	L(6-22)	102,8		310,07	-60,8	3,1	-26,6	-1,2	6,1	23,4	23,4	
AU	Punto	L(22-6)	102,8		310,07	-60,8	3,1	-26,6	-1,2	6,1	23,4	23,4	
BV1-E	Area	L(6-22)	73,8	2,4	292,19	-60,3	2,9	-20,5	-0,5	0,0	-1,6	-1,6	
BV1-E	Area	L(22-6)	73,8	2,4	292,19	-60,3	2,9	-20,5	-0,5	0,0	-1,6	-1,6	
BV1-N	Area	L(6-22)	75,6	3,6	291,43	-60,3	2,8	-21,3	-0,5	0,0	-0,6	-0,6	
BV1-N	Area	L(22-6)	75,6	3,6	291,43	-60,3	2,8	-21,3	-0,5	0,0	-0,6	-0,6	
BV1-O	Area	L(6-22)	73,8	2,4	289,62	-60,2	2,8	-23,2	-0,4	0,0	-4,2	-4,2	
BV1-O	Area	L(22-6)	73,8	2,4	289,62	-60,2	2,8	-23,2	-0,4	0,0	-4,2	-4,2	
BV1-S	Area	L(6-22)	75,6	3,6	290,38	-60,3	2,9	-21,1	-0,5	0,0	-0,4	-0,4	
BV1-S	Area	L(22-6)	75,6	3,6	290,38	-60,3	2,9	-21,1	-0,5	0,0	-0,4	-0,4	
BV1-T	Area	L(6-22)	77,8	6,0	290,88	-60,3	2,7	-19,4	-0,4	0,0	0,4	0,4	
BV1-T	Area	L(22-6)	77,8	6,0	290,88	-60,3	2,7	-19,4	-0,4	0,0	0,4	0,4	
BV2-E	Area	L(6-22)	73,8	2,4	287,50	-60,2	2,8	-22,7	-0,5	0,0	-3,7	-3,7	
BV2-E	Area	L(22-6)	73,8	2,4	287,50	-60,2	2,8	-22,7	-0,5	0,0	-3,7	-3,7	
BV2-N	Area	L(6-22)	75,6	3,6	286,69	-60,1	2,8	-22,4	-0,5	1,1	-0,5	-0,5	
BV2-N	Area	L(22-6)	75,6	3,6	286,69	-60,1	2,8	-22,4	-0,5	1,1	-0,5	-0,5	
BV2-O	Area	L(6-22)	73,8	2,4	284,88	-60,1	2,8	-22,7	-0,4	0,0	-3,6	-3,6	
BV2-O	Area	L(22-6)	73,8	2,4	284,88	-60,1	2,8	-22,7	-0,4	0,0	-3,6	-3,6	
BV2-S	Area	L(6-22)	75,6	3,6	285,68	-60,1	2,8	-22,1	-0,5	0,0	-1,3	-1,3	
BV2-S	Area	L(22-6)	75,6	3,6	285,68	-60,1	2,8	-22,1	-0,5	0,0	-1,3	-1,3	
BV2-T	Area	L(6-22)	77,8	6,0	286,18	-60,1	2,6	-21,4	-0,4	0,0	-1,6	-1,6	
BV2-T	Area	L(22-6)	77,8	6,0	286,18	-60,1	2,6	-21,4	-0,4	0,0	-1,6	-1,6	
BV3-E	Area	L(6-22)	73,8	2,4	283,03	-60,0	2,8	-21,0	-0,4	0,8	-1,1	-1,1	
BV3-E	Area	L(22-6)	73,8	2,4	283,03	-60,0	2,8	-21,0	-0,4	0,8	-1,1	-1,1	
BV3-N	Area	L(6-22)	75,6	3,6	282,18	-60,0	2,8	-20,7	-0,4	1,7	1,8	1,8	
BV3-N	Area	L(22-6)	75,6	3,6	282,18	-60,0	2,8	-20,7	-0,4	1,7	1,8	1,8	
BV3-O	Area	L(6-22)	73,8	2,4	280,37	-59,9	2,8	-23,0	-0,4	3,4	-0,3	-0,3	
BV3-O	Area	L(22-6)	73,8	2,4	280,37	-59,9	2,8	-23,0	-0,4	3,4	-0,3	-0,3	
BV3-S	Area	L(6-22)	75,6	3,6	281,22	-60,0	2,8	-21,0	-0,4	0,4	0,4	0,4	
BV3-S	Area	L(22-6)	75,6	3,6	281,22	-60,0	2,8	-21,0	-0,4	0,4	0,4	0,4	
BV3-T	Area	L(6-22)	77,8	6,0	281,67	-60,0	2,6	-20,8	-0,4	1,3	0,5	0,5	
BV3-T	Area	L(22-6)	77,8	6,0	281,67	-60,0	2,6	-20,8	-0,4	1,3	0,5	0,5	
C1	Area	L(6-22)	86,5	1,4	256,65	-59,2	2,0	-5,2	-2,4	0,0	21,7	21,7	
C1	Area	L(22-6)	86,5	1,4	256,65	-59,2	2,0	-5,2	-2,4	0,0	21,7	21,7	
C2	Area	L(6-22)	86,5	1,4	253,00	-59,1	2,0	-5,5	-2,5	0,0	21,4	21,4	
C2	Area	L(22-6)	86,5	1,4	253,00	-59,1	2,0	-5,5	-2,5	0,0	21,4	21,4	
C3	Area	L(6-22)	67,8	1,2	285,40	-60,1	1,8	-2,7	-0,5	0,0	6,3	6,3	
C3	Area	L(22-6)	67,8	1,2	285,40	-60,1	1,8	-2,7	-0,5	0,0	6,3	6,3	
C4	Area	L(6-22)	67,8	1,2	280,53	-60,0	1,9	-2,9	-0,5	0,0	6,4	6,4	
C4	Area	L(22-6)	67,8	1,2	280,53	-60,0	1,9	-2,9	-0,5	0,0	6,4	6,4	
C5	Area	L(6-22)	67,8	1,2	275,90	-59,8	1,9	-2,9	-0,5	0,0	6,5	6,5	
C5	Area	L(22-6)	67,8	1,2	275,90	-59,8	1,9	-2,9	-0,5	0,0	6,5	6,5	
C6	Area	L(6-22)	76,4	0,5	294,40	-60,4	1,7	-2,7	-0,5	0,0	14,6	14,6	
C6	Area	L(22-6)	76,4	0,5	294,40	-60,4	1,7	-2,7	-0,5	0,0	14,6	14,6	
CM-E	Area	L(6-22)	83,0	198,9	261,19	-59,3	2,3	-20,1	-1,5	0,2	7,6	7,6	
CM-E	Area	L(22-6)	83,0	198,9	261,19	-59,3	2,3	-20,1	-1,5	0,2	7,6	7,6	

MICHELIN CUNEO - TRIGENERAZIONE

ALLEGATO 17

Ident:
C330AV3P001

Valutazione previsionale impatto acustico

Simulazione DIFF

Sorgente	ipo sorgent	TR	Lw	A	S	Adiv	Agr	Abar	Aatm	dLrefl	Ls	Lr
			dB(A)	m ²	m	dB	dB	dB	dB	dB	dB(A)	dB(A)
CM-N	Area	L(6-22)	86,2	417,5	248,46	-58,9	2,2	-19,6	-1,5	8,7	20,2	20,2
CM-N	Area	L(22-6)	86,2	417,5	248,46	-58,9	2,2	-19,6	-1,5	8,7	20,2	20,2
CM-O	Area	L(6-22)	83,0	198,9	228,83	-58,2	2,2	-1,4	-3,2	0,0	25,5	25,5
CM-O	Area	L(22-6)	83,0	198,9	228,83	-58,2	2,2	-1,4	-3,2	0,0	25,5	25,5
CM-S	Area	L(6-22)	86,2	417,5	240,53	-58,6	2,3	-1,1	-3,4	0,1	28,5	28,5
CM-S	Area	L(22-6)	86,2	417,5	240,53	-58,6	2,3	-1,1	-3,4	0,1	28,5	28,5
CM-T	Area	L(6-22)	88,0	628,1	244,45	-58,8	2,0	-11,0	-2,9	1,3	18,7	18,7
CM-T	Area	L(22-6)	88,0	628,1	244,45	-58,8	2,0	-11,0	-2,9	1,3	18,7	18,7
CR1-E	Area	L(6-22)	79,9	19,6	273,29	-59,7	2,7	-20,5	-0,6	0,0	4,9	4,9
CR1-E	Area	L(22-6)	79,9	19,6	273,29	-59,7	2,7	-20,5	-0,6	0,0	4,9	4,9
CR1-N	Area	L(6-22)	83,2	42,0	270,62	-59,6	2,7	-23,0	-0,6	0,1	5,8	5,8
CR1-N	Area	L(22-6)	83,2	42,0	270,62	-59,6	2,7	-23,0	-0,6	0,1	5,8	5,8
CR1-O	Area	L(6-22)	79,9	19,6	266,49	-59,5	2,7	-20,4	-0,6	0,1	5,2	5,2
CR1-O	Area	L(22-6)	79,9	19,6	266,49	-59,5	2,7	-20,4	-0,6	0,1	5,2	5,2
CR1-S	Area	L(6-22)	83,2	42,0	269,11	-59,6	2,7	-17,8	-0,6	0,0	10,9	10,9
CR1-S	Area	L(22-6)	83,2	42,0	269,11	-59,6	2,7	-17,8	-0,6	0,0	10,9	10,9
CR1-T	Area	L(6-22)	81,2	26,3	269,83	-59,6	2,4	-17,9	-0,6	0,0	5,5	5,5
CR1-T	Area	L(22-6)	81,2	26,3	269,83	-59,6	2,4	-17,9	-0,6	0,0	5,5	5,5
CR2-E	Area	L(6-22)	79,9	19,6	269,72	-59,6	2,7	-14,9	-0,6	0,2	10,8	10,8
CR2-E	Area	L(22-6)	79,9	19,6	269,72	-59,6	2,7	-14,9	-0,6	0,2	10,8	10,8
CR2-N	Area	L(6-22)	83,2	42,0	266,96	-59,5	2,7	-22,5	-0,6	0,3	6,7	6,7
CR2-N	Area	L(22-6)	83,2	42,0	266,96	-59,5	2,7	-22,5	-0,6	0,3	6,7	6,7
CR2-O	Area	L(6-22)	79,9	19,6	262,84	-59,4	2,7	-13,0	-0,6	0,0	12,7	12,7
CR2-O	Area	L(22-6)	79,9	19,6	262,84	-59,4	2,7	-13,0	-0,6	0,0	12,7	12,7
CR2-S	Area	L(6-22)	83,2	42,0	265,55	-59,5	2,7	-4,8	-1,0	0,1	23,8	23,8
CR2-S	Area	L(22-6)	83,2	42,0	265,55	-59,5	2,7	-4,8	-1,0	0,1	23,8	23,8
CR2-T	Area	L(6-22)	81,2	26,3	266,23	-59,5	2,4	-7,9	-0,7	0,1	15,6	15,6
CR2-T	Area	L(22-6)	81,2	26,3	266,23	-59,5	2,4	-7,9	-0,7	0,1	15,6	15,6
CV1-E	Area	L(6-22)	81,6	29,1	288,98	-60,2	2,7	-21,1	-0,4	0,0	5,5	5,5
CV1-E	Area	L(22-6)	81,6	29,1	288,98	-60,2	2,7	-21,1	-0,4	0,0	5,5	5,5
CV1-N	Area	L(6-22)	83,9	48,6	286,55	-60,1	2,7	-21,7	-0,4	0,0	7,2	7,2
CV1-N	Area	L(22-6)	83,9	48,6	286,55	-60,1	2,7	-21,7	-0,4	0,0	7,2	7,2
CV1-O	Area	L(6-22)	81,6	29,1	281,32	-60,0	2,7	-17,8	-0,4	0,0	9,2	9,2
CV1-O	Area	L(22-6)	81,6	29,1	281,32	-60,0	2,7	-17,8	-0,4	0,0	9,2	9,2
CV1-S	Area	L(6-22)	83,9	48,6	283,69	-60,0	2,6	-17,4	-0,4	0,0	11,6	11,6
CV1-S	Area	L(22-6)	83,9	48,6	283,69	-60,0	2,6	-17,4	-0,4	0,0	11,6	11,6
CV1-T	Area	L(6-22)	83,9	48,5	285,09	-60,1	2,2	-12,9	-0,4	0,0	12,6	12,6
CV1-T	Area	L(22-6)	83,9	48,5	285,09	-60,1	2,2	-12,9	-0,4	0,0	12,6	12,6
CV2-E	Area	L(6-22)	81,6	29,1	284,27	-60,1	2,7	-22,9	-0,5	0,0	3,9	3,9
CV2-E	Area	L(22-6)	81,6	29,1	284,27	-60,1	2,7	-22,9	-0,5	0,0	3,9	3,9
CV2-N	Area	L(6-22)	83,9	48,6	281,72	-60,0	2,6	-22,6	-0,4	1,2	7,7	7,7
CV2-N	Area	L(22-6)	83,9	48,6	281,72	-60,0	2,6	-22,6	-0,4	1,2	7,7	7,7
CV2-O	Area	L(6-22)	81,6	29,1	276,48	-59,8	2,6	-18,1	-0,4	0,0	9,0	9,0
CV2-O	Area	L(22-6)	81,6	29,1	276,48	-59,8	2,6	-18,1	-0,4	0,0	9,0	9,0
CV2-S	Area	L(6-22)	83,9	48,6	278,99	-59,9	2,6	-16,2	-0,4	0,0	13,0	13,0
CV2-S	Area	L(22-6)	83,9	48,6	278,99	-59,9	2,6	-16,2	-0,4	0,0	13,0	13,0
CV2-T	Area	L(6-22)	83,9	48,5	280,32	-59,9	2,2	-13,0	-0,4	0,0	12,7	12,7
CV2-T	Area	L(22-6)	83,9	48,5	280,32	-59,9	2,2	-13,0	-0,4	0,0	12,7	12,7
CV3-E	Area	L(6-22)	81,6	29,1	279,80	-59,9	2,6	-22,0	-0,4	1,1	6,0	6,0
CV3-E	Area	L(22-6)	81,6	29,1	279,80	-59,9	2,6	-22,0	-0,4	1,1	6,0	6,0
CV3-N	Area	L(6-22)	83,9	48,6	277,11	-59,8	2,6	-19,8	-0,4	0,3	9,7	9,7
CV3-N	Area	L(22-6)	83,9	48,6	277,11	-59,8	2,6	-19,8	-0,4	0,3	9,7	9,7
CV3-O	Area	L(6-22)	81,6	29,1	271,88	-59,7	2,6	-15,8	-0,4	2,2	13,6	13,6
CV3-O	Area	L(22-6)	81,6	29,1	271,88	-59,7	2,6	-15,8	-0,4	2,2	13,6	13,6
CV3-S	Area	L(6-22)	83,9	48,6	274,52	-59,8	2,6	-16,0	-0,4	3,1	16,4	16,4

MICHELIN CUNEO - TRIGENERAZIONE

ALLEGATO 17

Ident:
C330AV3P001

Valutazione previsionale impatto acustico

Simulazione DIFF

Sorgente	ipo sorgent	TR	Lw	A	S	Adiv	Agr	Abar	Aatm	dLrefl	Ls	Lr	
			dB(A)	m ²	m	dB	dB	dB	dB	dB	dB	dB(A)	
CV3-S	Area	L(22-6)	83,9	48,6	274,52	-59,8	2,6	-16,0	-0,4	3,1	16,4	16,4	
CV3-T	Area	L(6-22)	83,9	48,5	275,78	-59,8	2,3	-13,1	-0,4	2,5	15,3	15,3	
CV3-T	Area	L(22-6)	83,9	48,5	275,78	-59,8	2,3	-13,1	-0,4	2,5	15,3	15,3	
DIS1-E	Area	L(6-22)	76,1	6,5	248,88	-58,9	1,9	-15,4	-0,4	1,0	7,3	7,3	
DIS1-E	Area	L(22-6)	76,1	6,5	248,88	-58,9	1,9	-15,4	-0,4	1,0	7,3	7,3	
DIS1-N	Area	L(6-22)	83,1	32,4	244,15	-58,7	1,9	-11,5	-0,4	0,0	17,3	17,3	
DIS1-N	Area	L(22-6)	83,1	32,4	244,15	-58,7	1,9	-11,5	-0,4	0,0	17,3	17,3	
DIS1-O	Area	L(6-22)	76,1	6,5	238,38	-58,5	1,8	-2,6	-0,8	0,0	19,0	19,0	
DIS1-O	Area	L(22-6)	76,1	6,5	238,38	-58,5	1,8	-2,6	-0,8	0,0	19,0	19,0	
DIS1-S	Area	L(6-22)	83,1	32,4	242,97	-58,7	1,9	-5,3	-0,7	0,5	23,8	23,8	
DIS1-S	Area	L(22-6)	83,1	32,4	242,97	-58,7	1,9	-5,3	-0,7	0,5	23,8	23,8	
DIS1-T	Area	L(6-22)	82,6	28,8	243,59	-58,7	1,9	-6,5	-0,7	0,3	18,8	18,8	
DIS1-T	Area	L(22-6)	82,6	28,8	243,59	-58,7	1,9	-6,5	-0,7	0,3	18,8	18,8	
DIS2-E	Area	L(6-22)	76,1	6,5	246,64	-58,8	1,9	-15,4	-0,4	0,9	7,4	7,4	
DIS2-E	Area	L(22-6)	76,1	6,5	246,64	-58,8	1,9	-15,4	-0,4	0,9	7,4	7,4	
DIS2-N	Area	L(6-22)	83,1	32,4	241,84	-58,7	1,9	-11,3	-0,4	3,5	21,2	21,2	
DIS2-N	Area	L(22-6)	83,1	32,4	241,84	-58,7	1,9	-11,3	-0,4	3,5	21,2	21,2	
DIS2-O	Area	L(6-22)	76,1	6,5	236,03	-58,5	1,9	-2,0	-0,8	0,0	19,7	19,7	
DIS2-O	Area	L(22-6)	76,1	6,5	236,03	-58,5	1,9	-2,0	-0,8	0,0	19,7	19,7	
DIS2-S	Area	L(6-22)	83,1	32,4	240,69	-58,6	1,9	-4,9	-0,7	0,5	24,2	24,2	
DIS2-S	Area	L(22-6)	83,1	32,4	240,69	-58,6	1,9	-4,9	-0,7	0,5	24,2	24,2	
DIS2-T	Area	L(6-22)	82,6	28,8	241,33	-58,6	1,9	-6,5	-0,7	0,2	18,9	18,9	
DIS2-T	Area	L(22-6)	82,6	28,8	241,33	-58,6	1,9	-6,5	-0,7	0,2	18,9	18,9	
DIS3-E	Area	L(6-22)	76,1	6,5	244,56	-58,8	1,9	-15,3	-0,3	0,6	7,3	7,3	
DIS3-E	Area	L(22-6)	76,1	6,5	244,56	-58,8	1,9	-15,3	-0,3	0,6	7,3	7,3	
DIS3-N	Area	L(6-22)	83,1	32,4	239,70	-58,6	1,9	-11,2	-0,4	3,9	21,7	21,7	
DIS3-N	Area	L(22-6)	83,1	32,4	239,70	-58,6	1,9	-11,2	-0,4	3,9	21,7	21,7	
DIS3-O	Area	L(6-22)	76,1	6,5	233,87	-58,4	1,9	-1,8	-0,8	0,0	20,0	20,0	
DIS3-O	Area	L(22-6)	76,1	6,5	233,87	-58,4	1,9	-1,8	-0,8	0,0	20,0	20,0	
DIS3-S	Area	L(6-22)	83,1	32,4	238,59	-58,5	1,9	-4,5	-0,7	0,4	24,7	24,7	
DIS3-S	Area	L(22-6)	83,1	32,4	238,59	-58,5	1,9	-4,5	-0,7	0,4	24,7	24,7	
DIS3-T	Area	L(6-22)	82,6	28,8	239,19	-58,6	1,9	-6,6	-0,7	1,0	19,7	19,7	
DIS3-T	Area	L(22-6)	82,6	28,8	239,19	-58,6	1,9	-6,6	-0,7	1,0	19,7	19,7	
DIS4-E	Area	L(6-22)	76,1	6,5	242,40	-58,7	1,9	-10,1	-0,5	0,2	11,9	11,9	
DIS4-E	Area	L(22-6)	76,1	6,5	242,40	-58,7	1,9	-10,1	-0,5	0,2	11,9	11,9	
DIS4-N	Area	L(6-22)	83,1	32,4	237,46	-58,5	1,9	-10,9	-0,4	3,9	22,1	22,1	
DIS4-N	Area	L(22-6)	83,1	32,4	237,46	-58,5	1,9	-10,9	-0,4	3,9	22,1	22,1	
DIS4-O	Area	L(6-22)	76,1	6,5	231,60	-58,3	1,9	-0,9	-0,7	0,0	21,1	21,1	
DIS4-O	Area	L(22-6)	76,1	6,5	231,60	-58,3	1,9	-0,9	-0,7	0,0	21,1	21,1	
DIS4-S	Area	L(6-22)	83,1	32,4	236,40	-58,5	1,9	-0,4	-0,7	0,0	28,5	28,5	
DIS4-S	Area	L(22-6)	83,1	32,4	236,40	-58,5	1,9	-0,4	-0,7	0,0	28,5	28,5	
DIS4-T	Area	L(6-22)	82,6	28,8	236,96	-58,5	1,9	-6,4	-0,7	0,7	19,6	19,6	
DIS4-T	Area	L(22-6)	82,6	28,8	236,96	-58,5	1,9	-6,4	-0,7	0,7	19,6	19,6	
FM-E	Area	L(6-22)	66,7	4,7	293,00	-60,3	2,7	-18,7	-0,7	1,1	-6,1	-6,1	
FM-E	Area	L(22-6)	66,7	4,7	293,00	-60,3	2,7	-18,7	-0,7	1,1	-6,1	-6,1	
FM-N	Area	L(6-22)	72,3	16,9	290,48	-60,3	2,7	-12,7	-0,8	0,3	4,5	4,5	
FM-N	Area	L(22-6)	72,3	16,9	290,48	-60,3	2,7	-12,7	-0,8	0,3	4,5	4,5	
FM-O	Area	L(6-22)	66,7	4,7	286,49	-60,1	2,7	-6,5	-1,2	0,3	4,9	4,9	
FM-O	Area	L(22-6)	66,7	4,7	286,49	-60,1	2,7	-6,5	-1,2	0,3	4,9	4,9	
FM-S	Area	L(6-22)	72,3	16,9	288,96	-60,2	2,7	-7,5	-1,1	0,4	9,6	9,6	
FM-S	Area	L(22-6)	72,3	16,9	288,96	-60,2	2,7	-7,5	-1,1	0,4	9,6	9,6	
FM-T	Area	L(6-22)	73,0	19,9	289,70	-60,2	2,4	-6,8	-1,1	0,5	7,8	7,8	
FM-T	Area	L(22-6)	73,0	19,9	289,70	-60,2	2,4	-6,8	-1,1	0,5	7,8	7,8	
GC-E	Area	L(6-22)	65,0	10,0	282,32	-60,0	3,0	-21,8	-0,4	0,1	-11,3	-11,3	
GC-E	Area	L(22-6)	65,0	10,0	282,32	-60,0	3,0	-21,8	-0,4	0,1	-11,3	-11,3	

Ident:
C330AV3P001

Valutazione previsionale impatto acustico

Simulazione DIFF

Sorgente	ipo sorgent	TR	Lw	A	S	Adiv	Agr	Abar	Aatm	dLrefl	Ls	Lr	
			dB(A)	m ²	m	dB	dB	dB	dB	dB	dB(A)	dB(A)	
GC-N	Area	L(6-22)	70,8	38,0	277,51	-59,9	2,9	-17,6	-0,5	0,6	-0,6	-0,6	
GC-N	Area	L(22-6)	70,8	38,0	277,51	-59,9	2,9	-17,6	-0,5	0,6	-0,6	-0,6	
GC-O	Area	L(6-22)	65,0	10,0	270,39	-59,6	2,8	-7,6	-0,7	0,1	3,0	3,0	
GC-O	Area	L(22-6)	65,0	10,0	270,39	-59,6	2,8	-7,6	-0,7	0,1	3,0	3,0	
GC-S	Area	L(6-22)	70,8	38,0	275,02	-59,8	2,9	-9,5	-0,7	0,2	6,9	6,9	
GC-S	Area	L(22-6)	70,8	38,0	275,02	-59,8	2,9	-9,5	-0,7	0,2	6,9	6,9	
GC-T	Area	L(6-22)	72,8	60,7	276,24	-59,8	2,5	-9,1	-0,7	0,8	6,6	6,6	
GC-T	Area	L(22-6)	72,8	60,7	276,24	-59,8	2,5	-9,1	-0,7	0,8	6,6	6,6	
IC1-E	Area	L(6-22)	68,0	2,0	263,78	-59,4	1,9	-15,1	-0,4	1,0	-1,0	-1,0	
IC1-E	Area	L(22-6)	68,0	2,0	263,78	-59,4	1,9	-15,1	-0,4	1,0	-1,0	-1,0	
IC1-N	Area	L(6-22)	68,0	2,0	263,52	-59,4	1,9	-7,3	-0,5	0,0	5,6	5,6	
IC1-N	Area	L(22-6)	68,0	2,0	263,52	-59,4	1,9	-7,3	-0,5	0,0	5,6	5,6	
IC1-O	Area	L(6-22)	68,0	2,0	262,12	-59,4	1,9	-5,3	-0,9	0,0	7,4	7,4	
IC1-O	Area	L(22-6)	68,0	2,0	262,12	-59,4	1,9	-5,3	-0,9	0,0	7,4	7,4	
IC1-S	Area	L(6-22)	68,0	2,0	262,37	-59,4	1,9	-6,5	-0,6	0,0	6,4	6,4	
IC1-S	Area	L(22-6)	68,0	2,0	262,37	-59,4	1,9	-6,5	-0,6	0,0	6,4	6,4	
IC1-T	Area	L(6-22)	71,0	4,0	262,95	-59,4	1,8	-6,0	-0,6	0,0	6,8	6,8	
IC1-T	Area	L(22-6)	71,0	4,0	262,95	-59,4	1,8	-6,0	-0,6	0,0	6,8	6,8	
IC2-E	Area	L(6-22)	68,0	2,0	266,03	-59,5	1,9	-17,0	-0,4	0,0	-4,0	-4,0	
IC2-E	Area	L(22-6)	68,0	2,0	266,03	-59,5	1,9	-17,0	-0,4	0,0	-4,0	-4,0	
IC2-N	Area	L(6-22)	68,0	2,0	265,77	-59,5	1,9	-13,3	-0,4	0,0	-0,3	-0,3	
IC2-N	Area	L(22-6)	68,0	2,0	265,77	-59,5	1,9	-13,3	-0,4	0,0	-0,3	-0,3	
IC2-O	Area	L(6-22)	68,0	2,0	264,37	-59,4	1,9	-11,7	-0,5	0,0	1,4	1,4	
IC2-O	Area	L(22-6)	68,0	2,0	264,37	-59,4	1,9	-11,7	-0,5	0,0	1,4	1,4	
IC2-S	Area	L(6-22)	68,0	2,0	264,63	-59,4	1,9	-9,6	-0,5	0,0	3,3	3,3	
IC2-S	Area	L(22-6)	68,0	2,0	264,63	-59,4	1,9	-9,6	-0,5	0,0	3,3	3,3	
IC2-T	Area	L(6-22)	71,0	4,0	265,20	-59,5	1,8	-9,5	-0,5	0,0	3,4	3,4	
IC2-T	Area	L(22-6)	71,0	4,0	265,20	-59,5	1,8	-9,5	-0,5	0,0	3,4	3,4	
P1	Punto	L(6-22)	89,0		271,84	-59,7	3,3	-27,1	-1,1	11,7	16,2	16,2	
P1	Punto	L(22-6)	89,0		271,84	-59,7	3,3	-27,1	-1,1	11,7	16,2	16,2	
P10	Punto	L(6-22)	89,0		285,79	-60,1	3,4	-27,6	-1,2	0,0	3,5	3,5	
P10	Punto	L(22-6)	89,0		285,79	-60,1	3,4	-27,6	-1,2	0,0	3,5	3,5	
P11	Punto	L(6-22)	89,0		287,27	-60,2	3,4	-27,9	-1,3	0,0	3,1	3,1	
P11	Punto	L(22-6)	89,0		287,27	-60,2	3,4	-27,9	-1,3	0,0	3,1	3,1	
P12	Punto	L(6-22)	89,0		288,73	-60,2	3,4	-27,8	-1,2	0,0	3,2	3,2	
P12	Punto	L(22-6)	89,0		288,73	-60,2	3,4	-27,8	-1,2	0,0	3,2	3,2	
P13	Punto	L(6-22)	89,0		290,27	-60,2	3,4	-27,6	-1,2	3,1	6,6	6,6	
P13	Punto	L(22-6)	89,0		290,27	-60,2	3,4	-27,6	-1,2	3,1	6,6	6,6	
P14	Punto	L(6-22)	89,0		291,97	-60,3	3,4	-24,8	-0,8	1,8	8,4	8,4	
P14	Punto	L(22-6)	89,0		291,97	-60,3	3,4	-24,8	-0,8	1,8	8,4	8,4	
P15	Punto	L(6-22)	89,0		293,47	-60,3	3,5	-25,0	-0,8	1,9	8,3	8,3	
P15	Punto	L(22-6)	89,0		293,47	-60,3	3,5	-25,0	-0,8	1,9	8,3	8,3	
P16	Punto	L(6-22)	89,0		410,32	-63,3	4,2	-24,6	-1,0	2,7	7,0	7,0	
P16	Punto	L(22-6)	89,0		410,32	-63,3	4,2	-24,6	-1,0	2,7	7,0	7,0	
P17	Punto	L(6-22)	89,0		410,27	-63,3	4,2	-24,6	-1,0	2,7	7,0	7,0	
P17	Punto	L(22-6)	89,0		410,27	-63,3	4,2	-24,6	-1,0	2,7	7,0	7,0	
P18	Punto	L(6-22)	89,0		410,19	-63,3	4,2	-24,8	-1,1	2,7	6,8	6,8	
P18	Punto	L(22-6)	89,0		410,19	-63,3	4,2	-24,8	-1,1	2,7	6,8	6,8	
P2	Punto	L(6-22)	89,0		270,82	-59,6	3,3	-26,9	-1,0	9,0	13,7	13,7	
P2	Punto	L(22-6)	89,0		270,82	-59,6	3,3	-26,9	-1,0	9,0	13,7	13,7	
P3	Punto	L(6-22)	89,0		269,70	-59,6	3,3	-20,6	-0,7	4,7	16,1	16,1	
P3	Punto	L(22-6)	89,0		269,70	-59,6	3,3	-20,6	-0,7	4,7	16,1	16,1	
P4	Punto	L(6-22)	89,0		268,69	-59,6	3,2	-22,7	-0,6	5,3	14,7	14,7	
P4	Punto	L(22-6)	89,0		268,69	-59,6	3,2	-22,7	-0,6	5,3	14,7	14,7	
P5	Punto	L(6-22)	89,0		267,63	-59,5	3,2	-24,8	-0,8	0,0	7,2	7,2	

Ident:
C330AV3P001

Valutazione previsionale impatto acustico

Simulazione DIFF

Sorgente	Ipo sorgent	TR	Lw	A	S	Adiv	Agr	Abar	Aatm	dLrefl	Ls	Lr	
			dB(A)	m ²	m	dB	dB	dB	dB	dB	dB	dB(A)	
P5	Punto	L(22-6)	89,0		267,63	-59,5	3,2	-24,8	-0,8	0,0	7,2	7,2	
P6	Punto	L(6-22)	89,0		266,50	-59,5	3,2	-26,3	-0,9	0,0	5,5	5,5	
P6	Punto	L(22-6)	89,0		266,50	-59,5	3,2	-26,3	-0,9	0,0	5,5	5,5	
P7	Punto	L(6-22)	89,0		272,06	-59,7	3,2	-8,1	-1,3	2,6	25,9	25,9	
P7	Punto	L(22-6)	89,0		272,06	-59,7	3,2	-8,1	-1,3	2,6	25,9	25,9	
P8	Punto	L(6-22)	89,0		271,35	-59,7	3,2	-8,1	-1,3	2,2	25,5	25,5	
P8	Punto	L(22-6)	89,0		271,35	-59,7	3,2	-8,1	-1,3	2,2	25,5	25,5	
P9	Punto	L(6-22)	89,0		270,61	-59,6	3,2	-26,7	-1,0	13,7	18,6	18,6	
P9	Punto	L(22-6)	89,0		270,61	-59,6	3,2	-26,7	-1,0	13,7	18,6	18,6	
PM	Punto	L(6-22)	106,2		311,80	-60,9	3,3	-26,9	-1,3	6,5	26,9	26,9	
PM	Punto	L(22-6)	106,2		311,80	-60,9	3,3	-26,9	-1,3	6,5	26,9	26,9	
SC-E	Area	L(6-22)	68,4	22,1	281,80	-60,0	2,0	-14,5	-0,7	0,0	-1,8	-1,8	
SC-E	Area	L(22-6)	68,4	22,1	281,80	-60,0	2,0	-14,5	-0,7	0,0	-1,8	-1,8	
SC-N	Area	L(6-22)	68,8	24,0	281,55	-60,0	2,0	-11,5	-0,8	0,0	1,6	1,6	
SC-N	Area	L(22-6)	68,8	24,0	281,55	-60,0	2,0	-11,5	-0,8	0,0	1,6	1,6	
SC-O	Area	L(6-22)	68,4	22,1	280,06	-59,9	2,1	-4,7	-1,2	0,0	7,6	7,6	
SC-O	Area	L(22-6)	68,4	22,1	280,06	-59,9	2,1	-4,7	-1,2	0,0	7,6	7,6	
SC-S	Area	L(6-22)	68,8	24,0	280,31	-59,9	2,1	-6,2	-1,2	0,0	6,5	6,5	
SC-S	Area	L(22-6)	68,8	24,0	280,31	-59,9	2,1	-6,2	-1,2	0,0	6,5	6,5	
SC-T	Area	L(6-22)	61,4	4,4	281,00	-60,0	1,8	-6,6	-1,4	0,0	-4,6	-4,6	
SC-T	Area	L(22-6)	61,4	4,4	281,00	-60,0	1,8	-6,6	-1,4	0,0	-4,6	-4,6	
SS-E	Area	L(6-22)	73,6	72,6	278,26	-59,9	2,0	-13,6	-0,6	0,2	4,7	4,7	
SS-E	Area	L(22-6)	73,6	72,6	278,26	-59,9	2,0	-13,6	-0,6	0,2	4,7	4,7	
SS-N	Area	L(6-22)	70,7	36,8	278,88	-59,9	2,0	-10,0	-0,7	0,0	5,1	5,1	
SS-N	Area	L(22-6)	70,7	36,8	278,88	-59,9	2,0	-10,0	-0,7	0,0	5,1	5,1	
SS-O	Area	L(6-22)	73,6	72,6	276,01	-59,8	1,9	-0,4	-0,9	0,0	17,5	17,5	
SS-O	Area	L(22-6)	73,6	72,6	276,01	-59,8	1,9	-0,4	-0,9	0,0	17,5	17,5	
SS-S	Area	L(6-22)	70,7	37,3	275,40	-59,8	2,0	-0,6	-0,9	0,0	14,4	14,4	
SS-S	Area	L(22-6)	70,7	37,3	275,40	-59,8	2,0	-0,6	-0,9	0,0	14,4	14,4	
SS-T	Area	L(6-22)	67,0	15,9	277,24	-59,8	1,8	-6,5	-0,9	0,0	1,6	1,6	
SS-T	Area	L(22-6)	67,0	15,9	277,24	-59,8	1,8	-6,5	-0,9	0,0	1,6	1,6	
T1-E	Area	L(6-22)	76,8	4,8	245,95	-58,8	2,8	-19,7	-0,4	6,7	10,4	10,4	
T1-E	Area	L(22-6)	76,8	4,8	245,95	-58,8	2,8	-19,7	-0,4	6,7	10,4	10,4	
T1-N	Area	L(6-22)	78,5	7,1	245,23	-58,8	2,8	-18,6	-0,4	8,1	14,7	14,7	
T1-N	Area	L(22-6)	78,5	7,1	245,23	-58,8	2,8	-18,6	-0,4	8,1	14,7	14,7	
T1-O	Area	L(6-22)	76,8	4,8	243,35	-58,7	2,7	-9,4	-0,6	0,4	14,2	14,2	
T1-O	Area	L(22-6)	76,8	4,8	243,35	-58,7	2,7	-9,4	-0,6	0,4	14,2	14,2	
T1-S	Area	L(6-22)	78,5	7,1	244,06	-58,7	2,8	-12,2	-0,5	0,6	13,4	13,4	
T1-S	Area	L(22-6)	78,5	7,1	244,06	-58,7	2,8	-12,2	-0,5	0,6	13,4	13,4	
T1-T	Area	L(6-22)	78,1	6,5	244,62	-58,8	2,3	-6,3	-0,6	1,9	16,6	16,6	
T1-T	Area	L(22-6)	78,1	6,5	244,62	-58,8	2,3	-6,3	-0,6	1,9	16,6	16,6	
T2-E	Area	L(6-22)	76,8	4,8	243,37	-58,7	2,7	-19,5	-0,4	6,3	10,3	10,3	
T2-E	Area	L(22-6)	76,8	4,8	243,37	-58,7	2,7	-19,5	-0,4	6,3	10,3	10,3	
T2-N	Area	L(6-22)	78,5	7,1	242,62	-58,7	2,7	-18,5	-0,4	7,6	14,2	14,2	
T2-N	Area	L(22-6)	78,5	7,1	242,62	-58,7	2,7	-18,5	-0,4	7,6	14,2	14,2	
T2-O	Area	L(6-22)	76,8	4,8	240,74	-58,6	2,7	-9,4	-0,6	0,3	14,3	14,3	
T2-O	Area	L(22-6)	76,8	4,8	240,74	-58,6	2,7	-9,4	-0,6	0,3	14,3	14,3	
T2-S	Area	L(6-22)	78,5	7,1	241,49	-58,6	2,7	-11,6	-0,6	0,4	13,8	13,8	
T2-S	Area	L(22-6)	78,5	7,1	241,49	-58,6	2,7	-11,6	-0,6	0,4	13,8	13,8	
T2-T	Area	L(6-22)	78,1	6,5	242,02	-58,7	2,3	-7,1	-0,6	2,0	16,0	16,0	
T2-T	Area	L(22-6)	78,1	6,5	242,02	-58,7	2,3	-7,1	-0,6	2,0	16,0	16,0	
TE-E	Area	L(6-22)	80,0	10,0	222,72	-57,9	2,6	-13,5	-0,4	3,5	17,2	17,2	
TE-E	Area	L(22-6)	80,0	10,0	222,72	-57,9	2,6	-13,5	-0,4	3,5	17,2	17,2	
TE-N	Area	L(6-22)	83,0	20,0	219,75	-57,8	2,6	-12,4	-0,4	0,3	18,2	18,2	
TE-N	Area	L(22-6)	83,0	20,0	219,75	-57,8	2,6	-12,4	-0,4	0,3	18,2	18,2	

Ident:
C330AV3P001

Valutazione previsionale impatto acustico

Simulazione DIFF

Sorgente	ipo sorgent	TR	Lw	A	S	Adiv	Agr	Abar	Aatm	dLrefl	Ls	Lr	
			dB(A)	m ²	m	dB	dB	dB	dB	dB	dB(A)	dB(A)	
TE-O	Area	L(6-22)	80,0	10,0	215,31	-57,7	2,6	-7,3	-0,6	0,2	20,2	20,2	
TE-O	Area	L(22-6)	80,0	10,0	215,31	-57,7	2,6	-7,3	-0,6	0,2	20,2	20,2	
TE-S	Area	L(6-22)	83,0	20,0	218,21	-57,8	2,6	-7,3	-0,6	1,1	24,0	24,0	
TE-S	Area	L(22-6)	83,0	20,0	218,21	-57,8	2,6	-7,3	-0,6	1,1	24,0	24,0	
TE-T	Area	L(6-22)	85,1	32,0	218,98	-57,8	2,3	-7,1	-0,6	1,1	22,9	22,9	
TE-T	Area	L(22-6)	85,1	32,0	218,98	-57,8	2,3	-7,1	-0,6	1,1	22,9	22,9	
TO-E	Area	L(6-22)	85,1	32,0	423,16	-63,5	3,9	-26,5	-2,5	0,0	-0,6	-0,6	
TO-E	Area	L(22-6)	85,1	32,0	423,16	-63,5	3,9	-26,5	-2,5	0,0	-0,6	-0,6	
TO-N	Area	L(6-22)	86,4	43,6	417,91	-63,4	3,9	-26,3	-2,4	0,0	1,2	1,2	
TO-N	Area	L(22-6)	86,4	43,6	417,91	-63,4	3,9	-26,3	-2,4	0,0	1,2	1,2	
TO-O	Area	L(6-22)	85,1	32,0	412,26	-63,3	3,8	-24,0	-1,6	0,0	3,0	3,0	
TO-O	Area	L(22-6)	85,1	32,0	412,26	-63,3	3,8	-24,0	-1,6	0,0	3,0	3,0	
TO-S	Area	L(6-22)	86,4	43,6	417,42	-63,4	3,9	-23,9	-1,6	0,0	4,4	4,4	
TO-S	Area	L(22-6)	86,4	43,6	417,42	-63,4	3,9	-23,9	-1,6	0,0	4,4	4,4	
TO-T	Area	L(6-22)	89,4	87,2	417,69	-63,4	3,4	-20,7	-1,4	0,0	7,3	7,3	
TO-T	Area	L(22-6)	89,4	87,2	417,69	-63,4	3,4	-20,7	-1,4	0,0	7,3	7,3	
VF	Punto	L(6-22)	71,0		296,41	-60,4	3,1	-24,5	-0,8	4,2	-7,4	-7,4	
VF	Punto	L(22-6)	71,0		296,41	-60,4	3,1	-24,5	-0,8	4,2	-7,4	-7,4	



IMPIANTO / Plant

MICHELIN CUNEO - TRIGENERAZIONE

TITOLO/Title

Valutazione Previsionale Impatto Acustico

Allegato: 18

Codifica Doc.

C330AV3P001

Rev.0 del/of 09/08/21

ALLEGATO 18
CERTIFICATI DI TARATURA STRUMENTAZIONE

CERTIFICATO DI TARATURA LAT 062 EPT.20.CAL.042
Certificate of Calibration

- data di emissione <i>date of issue</i>	2020/02/06
- cliente <i>customer</i>	DOTT. LORENZO PAVESE Strada Pecenasco, 12/bis 10024 – Moncalieri (TO)
- destinatario <i>receiver</i>	DOTT. LORENZO PAVESE Strada Pecenasco, 12/bis 10024 – Moncalieri (TO)
- richiesta <i>application</i>	Ordine
- in data <i>date</i>	2020/01/27
<u>Si riferisce a</u> <i>Referring to</i>	
- oggetto <i>item</i>	calibratore
- costruttore <i>manufacturer</i>	LARSON DAVIS
- modello <i>model</i>	CAL 200
- matricola <i>serial number</i>	15418
- data di ricevimento oggetto <i>date of receipt of item</i>	2020/01/29
- data delle misure <i>date of measurements</i>	2020/02/06
- registro di laboratorio <i>laboratory reference</i>	/

Il presente certificato di taratura è emesso in base all'accreditamento LAT N° 062 rilasciato in accordo ai decreti attuativi della legge n. 273/1991 che ha istituito il Sistema Nazionale di Taratura (SNT). ACCREDIA attesta le capacità di misura e di taratura, le competenze metrologiche del Centro e la riferibilità delle tarature eseguite ai campioni nazionali e internazionali delle unità di misura del Sistema Internazionale delle Unità (SI). Questo certificato non può essere riprodotto in modo parziale, salvo espressa autorizzazione scritta da parte del Centro.

This certificate of calibration is issued in compliance with the accreditation LAT N° 062 granted according to decrees connected with Italian law No. 273/1991 which has established the National Calibration System. ACCREDIA attests the calibration and measurement capability, the metrological competence of the Centre and the traceability of calibration results to the national and international standards of the International System of Units (SI). This certificate may not be partially reproduced, except with the prior written permission of the issuing Centre.

I risultati di misura riportati nel presente Certificato sono stati ottenuti applicando le procedure di taratura citate alla pagina seguente, dove sono specificati anche i campioni o gli strumenti che garantiscono la catena di riferibilità del Centro e i rispettivi certificati di taratura in corso di validità. Essi si riferiscono esclusivamente all'oggetto in taratura e sono validi nel momento e nelle condizioni di taratura, salvo diversamente specificato.

The measurement results reported in this Certificate were obtained following the calibration procedures given in the following page, where the reference standards or instruments are indicated which guarantee the traceability chain of the laboratory, and the related calibration certificates in the course of validity are indicated as well. They relate only to the calibrated item and they are valid for the time and conditions of calibration, unless otherwise specified.

Le incertezze di misura dichiarate in questo documento sono state determinate conformemente alla Guida ISO/IEC 98 e al documento EA-4/02. Solitamente sono espresse come incertezza estesa ottenuta moltiplicando l'incertezza*tipo per il fattore di copertura *k* corrispondente ad un livello di fiducia di circa il 95 %. Normalmente tale fattore *k* vale 2.

*The measurement uncertainties stated in this document have been determined according to the ISO/IEC Guide 98 and to EA-4/02. Usually, they have been estimated as expanded uncertainty obtained multiplying the standard uncertainty by the coverage factor *k* corresponding to a confidence level of about 95%. Normally, this factor *k* is 2.*

Per il Responsabile del Centro
For Head of the Centre

Per. Ind. Flavio Dolce

CERTIFICATO DI TARATURA LAT 062 EPT.21.FON.002
Certificate of Calibration

- data di emissione
date of issue 2021/01/11

- cliente
customer DOTT. LORENZO PAVESE
Strada Pecenasco, 12/bis
10024 – Moncalieri (TO)

- destinatario
receiver DOTT. LORENZO PAVESE
Strada Pecenasco, 12/bis
10024 – Moncalieri (TO)

Si riferisce a
Referring to

- oggetto
item Fonometro

- costruttore
manufacturer LARSON DAVIS / PCB

- modello
model 831C / 377B02

- matricola
serial number 10553 / 307597

- data di ricevimento oggetto
date of receipt of item 2021/01/08

- data delle misure
date of measurements 2021/01/11

- registro di laboratorio
laboratory reference /

Il presente certificato di taratura è emesso in base all'accreditamento LAT N° 062 rilasciato in accordo ai decreti attuativi della legge n. 273/1991 che ha istituito il Sistema Nazionale di Taratura (SNT). ACCREDIA attesta le capacità di misura e di taratura, le competenze metrologiche del Centro e la riferibilità delle tarature eseguite ai campioni nazionali e internazionali delle unità di misura del Sistema Internazionale delle Unità (SI). Questo certificato non può essere riprodotto in modo parziale, salvo espressa autorizzazione scritta da parte del Centro.

This certificate of calibration is issued in compliance with the accreditation LAT N° 062 granted according to decrees connected with Italian law No. 273/1991 which has established the National Calibration System. ACCREDIA attests the calibration and measurement capability, the metrological competence of the Centre and the traceability of calibration results to the national and international standards of the International System of Units (SI). This certificate may not be partially reproduced, except with the prior written permission of the issuing Centre.

I risultati di misura riportati nel presente Certificato sono stati ottenuti applicando le procedure di taratura citate alla pagina seguente, dove sono specificati anche i campioni o gli strumenti che garantiscono la catena di riferibilità del Centro e i rispettivi certificati di taratura in corso di validità. Essi si riferiscono esclusivamente all'oggetto in taratura e sono validi nel momento e nelle condizioni di taratura, salvo diversamente specificato.

The measurement results reported in this Certificate were obtained following the calibration procedures given in the following page, where the reference standards or instruments are indicated which guarantee the traceability chain of the laboratory, and the related calibration certificates in the course of validity are indicated as well. They relate only to the calibrated item and they are valid for the time and conditions of calibration, unless otherwise specified.

Le incertezze di misura dichiarate in questo documento sono state determinate conformemente alla Guida ISO/IEC 98 e al documento EA-4/02. Solitamente sono espresse come incertezza estesa ottenuta moltiplicando l'incertezza tipo per il fattore di copertura k corrispondente ad un livello di fiducia di circa il 95 %. Normalmente tale fattore k vale 2.

The measurement uncertainties stated in this document have been determined according to the ISO/IEC Guide 98 and to EA-4/02. Usually, they have been estimated as expanded uncertainty obtained multiplying the standard uncertainty by the coverage factor k corresponding to a confidence level of about 95%. Normally, this factor k is 2.

Direzione tecnica
(Approving officer)

